



ITS
Institut
Teknologi
Sepuluh Nopember

TUGAS AKHIR TERAPAN (RC 146599)

**PERBAIKAN TANAH DASAR PADA PROYEK JALAN
TOL PORONG - GEMPOL STA 35+060 s.d STA
37+340 MENGGUNAKAN METODE PREFABRICATED
VERTICAL DRAINED DAN PERKUATAN TIMBUNAN**

ZAKKY RACHMADI MA'RUF
NRP. 10111410000019

Dosen Pembimbing :
M. KHOIRI, ST. MT. PhD
NIP. 19740626 200312 1 001

PROGRAM STUDI DIPLOMA IV TEKNIK SIPIL
DEPARTEMEN TEKNIK INFRASTRUKTUR SIPIL
FAKULTAS VOKASI
INSTITUT TEKNOLOGI SEPULUH NOPEMBER
SURABAYA 2018



ITS
Institut
Teknologi
Sepuluh Nopember

FINAL PROJECT (RC 146599)

**SUBGRADE IMPROVEMENT ON PORONG - GEMPOL HIGHWAY
PROJECT STA 35+060 TO STA 37+340 WITH
PREFABRICATED VERTICAL DRAIN AND REINFORCEMENT
FOR SLOPE STABILITY**

ZAKKY RACHMADI MA'RUF
NRP. 10111410000019

Supervisor :
M. KHOIRI, ST. MT. PhD
NIP. 19740626 200312 1 001

D-IV STUDY PROGRAM IN CIVIL ENGINEERING
DEPARTEMEN OF CIVIL INFRASTRUCTURE ENGINEERING
VOCATIONAL FACULTY
INSTITUT TEKNOLOGI SEPULUH NOPEMBER
SURABAYA 2018



TUGAS AKHIR TERAPAN (RC 146599)

**PERBAIKAN TANAH DASAR PADA PROYEK JALAN TOL
PORONG - GEMPOL STA 35+060 s.d STA 37+340
MENGUNAKAN METODE PREFABRICATED VERTICAL
DRAINED DAN PERKUATAN TIMBUNAN**

ZAKKY RACHMADI MA'RUF
NRP. 10111410000019

Dosen Pembimbing :
M. KHOIRI, ST. MT. PhD
NIP. 19740626 200312 1 001

PROGRAM STUDI DIPLOMA IV TEKNIK SIPIL
DEPARTEMEN TEKNIK INFRASTRUKTUR SIPIL
FAKULTAS VOKASI
INSTITUT TEKNOLOGI SEPULUH NOPEMBER
SURABAYA 2018



FINAL PROJECT (RC 146599)

**SUBGRADE IMPROVEMENT ON PORONG - GEMPOL HIGHWAY
PROJECT STA 35+060 TO STA 37+340 WITH
PREFABRICATED VERTICAL DRAIN AND REINFORCEMENT
FOR SLOPE STABILITY**

ZAKKY RACHMADI MA'RUF
NRP. 1011141000019

Supervisor :
M. KHOIRI, ST. MT. PhD
NIP. 19740626 200312 1 001

**D-IV STUDY PROGRAM IN CIVIL ENGINEERING
DEPARTEMEN OF CIVIL INFRASTRUCTURE ENGINEERING
VOCATIONAL FACULTY
INSTITUT TEKNOLOGI SEPULUH NOPEMBER
SURABAYA 2018**

LEMBAR PENGESAHAN

PERBAIKAN TANAH DASAR PADA PROYEK JALAN TOL PORONG – GEMPOL STA 35 + 060 s.d STA 37 + 340 MENGGUNAKAN METODE *PREFABRICATED VERTICAL DRAIN*

PROYEK AKHIR TERAPAN

Diajukan Untuk Memenuhi Salah Satu Syarat Memperoleh
Gelar Sarjana Terapan Teknik

Pada

Program Studi Diploma IV Teknik Infrastruktur Sipil

Fakultas Vokasi

Institut Teknologi Sepuluh Nopember

Surabaya 10 Januari 2018

Disusun Oleh:

MAHASISWA

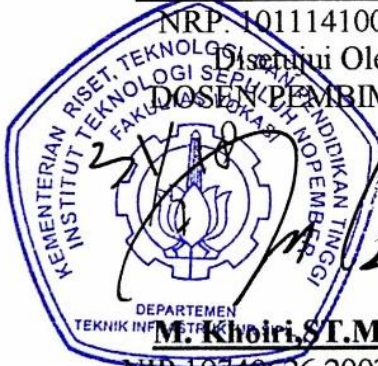


Zakky Rachmadi Ma'ruf

NRP. 10111410000019

Disetujui Oleh:

DOSEN PEMBIMBING



M. Khoiri, ST, MT, PhD

NIP 19740626 200312 1 001

01 AUG 2018



BERITA ACARA
TUGAS AKHIR TERAPAN
 PROGRAM STUDI DIPLOMA EMPAT TEKNIK SIPIL
 DEPARTEMEN TEKNIK INFRASTRUKTUR SIPIL
 FAKULTAS VOKASI ITS

No. Agenda :
 041523/IT2.VI.8.1/PP.05.02/2018

Tanggal : 17 Juli 2018

| | | | |
|----------------------------------|---|--------------|----------------|
| Judul Tugas Akhir Terapan | Perbaikan Tanah Dasar pada Proyek Pembangunan Jalan Tol Porong - Gempol STA 35+060 - 37+340 dengan Metode Pre-Loading dan Pre-Fabricated Vertical Drain (PVD) | | |
| Nama Mahasiswa | Zakky Rachmad Ma'ruf | NRP | 10111410000019 |
| Dosen Pembimbing 1 | M. Khoiri, ST. MT. PhD NIP 19740626 200312 1 001 | Tanda tangan | |
| Dosen Pembimbing 2 | - NIP - | Tanda tangan | |

| URAIAN REVISI | Dosen Penguji |
|---|--|
| 1. Penjelasan keberlakuan lahan urudubrunan (Perbaikan jalan). 2. Penjelasan Btkm dan kakuat pada kesimpulan, Perzau 3. Cek tabel Perencanaan. a. kakuat komposit: Perbandingan < metode | Dr. Machus, ST. MT NIP 19730914 200501 1 002 |
| - Gars untuk data, hal 51-59. - Gambar Blok-blok. - Trajes temporary load (pad load). - Gambar zone PVD. | M. Khoiri, ST. MT. PhD NIP 19740626 200312 1 001 |
| - Detil gambar Gravelpile. - Penjelasan kakuat pemukiman us Lagen Pemukiman. - Cost harga Padat / work. - Penulisan daftar pustaka. - Hal "1 | Ir. Djoko Sulistiono, MT. NIP 19541002 198512 1 001 |
| | NIP - |

| PERSETUJUAN HASIL REVISI | | | |
|---|---|--|-----------------|
| Dosen Penguji 1 | Dosen Penguji 2 | Dosen Penguji 3 | Dosen Penguji 4 |
| | | | |
| Dr. Machus, ST. MT NIP 19730914 200501 1 002 | M. Khoiri, ST. MT. PhD NIP 19740626 200312 1 001 | Ir. Djoko Sulistiono, MT. NIP 19541002 198512 1 001 | - NIP - |

| Persetujuan Dosen Pembimbing Untuk Penjilidan Buku Laporan Tugas Akhir Terapan | Dosen Pembimbing 1 | Dosen Pembimbing 2 |
|--|------------------------|--------------------|
| | | |
| | M. Khoiri, ST. MT. PhD | - |



KEMENTERIAN RISET, TEKNOLOGI, DAN PENDIDIKAN TINGGI
INSTITUT TEKNOLOGI SEPULUH NOPEMBER

FAKULTAS VOKASI

DEPARTEMEN TEKNIK INFRASTRUKTUR SIPIL

Kampus ITS, Jl. Menur 127 Surabaya 60116

Telp. 031-5947637 Fax. 031-5938025

<http://www.diplomasipil-its.ac.id>

ASISTENSI TUGAS AKHIR TERAPAN

Nama : 1 Zaky Rachmasi Ma'rif 2
NRP : 1 101111 2200019 2
Judul Tugas Akhir : Perbaikan Tanah Dasar pada Proyek Pembangunan Jalan Tol PORANG - GEMPOL STA 35+060 - STA 37+240 dengan Metode Pro loading dan prefabricated Vertical Drain (PVD)
Dosen Pembimbing : M. Khoiri, ST, MT, PhD

| No | Tanggal | Tugas / Materi yang dibahas | Tanda tangan | Keterangan | | |
|----|---------------|---|--------------|--------------------------|--------------------------|--------------------------|
| 1. | 9 APRIL 2018 | • Denah lokasi proyek, Sketsa - grafi tanah, Rekapitulasi Data Laboratorium, perhitu- ngan Co - Varian Data Labo- ratorium. | | B | C | K |
| | | | | <input type="checkbox"/> | <input type="checkbox"/> | <input type="checkbox"/> |
| 2. | 26 APRIL 2018 | • Bandingkan Stratigrafi • Mengidealkan data tanah • Lama penurunan tanah dengan timbunan Asumsi (Tanpa PVD) • Penurunan tanah per layer • lama penurunan tanah dengan PVD, dengan pola pemasangan dan jarak pemasangan. | | B | C | K |
| | | | | <input type="checkbox"/> | <input type="checkbox"/> | <input type="checkbox"/> |
| | | | | B | C | K |
| | | | | <input type="checkbox"/> | <input type="checkbox"/> | <input type="checkbox"/> |
| 3. | 27 APRIL 2018 | • menambahkan data pada Stratigrafi • hitung penurunan, dan gambar Denah serta potongan • menghitung waktu penurunan tanpa pvd dan pvd dengan Data yang di analisa secara Visual. | | B | C | K |
| | | | | <input type="checkbox"/> | <input type="checkbox"/> | <input type="checkbox"/> |
| | | | | B | C | K |
| | | | | <input type="checkbox"/> | <input type="checkbox"/> | <input type="checkbox"/> |

Ket. :
 B = Lebih cepat dari jadwal
 C = Sesuai dengan jadwal
 K = Terlambat dari jadwal



KEMENTERIAN RISET, TEKNOLOGI, DAN PENDIDIKAN TINGGI
INSTITUT TEKNOLOGI SEPULUH NOPEMBER

FAKULTAS VOKASI

DEPARTEMEN TEKNIK INFRASTRUKTUR SIPIL

Kampus ITS, Jl. Menur 127 Surabaya 60116

Telp. 031-5947637 Fax. 031-5938025

<http://www.diplomasipil-its.ac.id>

ASISTENSI TUGAS AKHIR TERAPAN

Nama : 1 2
 NRP : 1 2
 Judul Tugas Akhir :

Dosen Pembimbing :

| No | Tanggal | Tugas / Materi yang dibahas | Tanda tangan | Keterangan | | |
|----|-------------|---|--------------|--------------------------|--------------------------|--------------------------|
| 4. | 2 Mei 2018 | Perbaiki Gambar. | | | | |
| | | | | B | C | K |
| | | | | <input type="checkbox"/> | <input type="checkbox"/> | <input type="checkbox"/> |
| 5. | 9 Mei 2018 | • membuat Grafik P_o' / P_c (OCR) • menambah panjang yang harus dibuat cast in situ • menghitung penurunan berdasarkan OCR. | | | | |
| | | | | B | C | K |
| | | | | <input type="checkbox"/> | <input type="checkbox"/> | <input type="checkbox"/> |
| 6. | 18 Mei 2018 | • mendetailkan Grafik OCR. | | | | |
| | | | | B | C | K |
| | | | | <input type="checkbox"/> | <input type="checkbox"/> | <input type="checkbox"/> |
| 7. | 21 Mei 2018 | • Periksa penurunan dengan Ca menurut Braja M. Das | | | | |
| | | | | B | C | K |
| | | | | <input type="checkbox"/> | <input type="checkbox"/> | <input type="checkbox"/> |
| 8. | 28 Mei 2018 | • hitung Safety Factor pada timbunan 4m • PWF 0,5 m dari atas tanah lunak • Urutkan alat pekerjaan TA | | | | |
| | | | | B | C | K |
| | | | | <input type="checkbox"/> | <input type="checkbox"/> | <input type="checkbox"/> |

Ket. :
 B = Lebih cepat dari jadwal
 C = Sesuai dengan jadwal
 K = Terlambat dari jadwal



KEMENTERIAN RISET, TEKNOLOGI, DAN PENDIDIKAN TINGGI
INSTITUT TEKNOLOGI SEPULUH NOPEMBER
FAKULTAS VOKASI

DEPARTEMEN TEKNIK INFRASTRUKTUR SIPIL

Kampus ITS, Jl. Menur 127 Surabaya 60116

Telp. 031-5947637 Fax. 031-5938025

<http://www.diplomasipil-its.ac.id>

ASISTENSI TUGAS AKHIR TERAPAN

Nama : 1 2
NRP : 1 2
Judul Tugas Akhir :

Dosen Pembimbing :

| No | Tanggal | Tugas / Materi yang dibahas | Tanda tangan | Keterangan | | |
|-----|--------------|---|--------------|--|-------------------------------|-------------------------------|
| 9. | 31. Mei 2018 | <ul style="list-style-type: none"> Lengkapi semua Gambar Cari data timbunan hitung cu baru, SF baru Rekapitulasi hasil semua. | | B <input checked="" type="checkbox"/> | C <input type="checkbox"/> | K <input type="checkbox"/> |
| 10 | 4 Juni 2018 | <ul style="list-style-type: none"> Buat Power point dengan urut | | B <input checked="" type="checkbox"/> | C <input type="checkbox"/> | K <input type="checkbox"/> |
| 11. | 6 Juni 2018 | <ul style="list-style-type: none"> lengkapi gambar teknis Ilustrasi Laporan Geotekstil butir berapa lapis dan berapa panjang | | B <input checked="" type="checkbox"/> | C <input type="checkbox"/> | K <input type="checkbox"/> |
| 12 | 3 Juli 2018 | <ul style="list-style-type: none"> Perhitungan penurunan Akibat timbunan Bertahap Laporan. | | B <input type="checkbox"/> | C <input type="checkbox"/> | K <input type="checkbox"/> |
| 13. | 9 Juli 2018 | <ul style="list-style-type: none"> PPT persiapkan yang bagus Rapikan Laporan. | | B <input checked="" type="checkbox"/> | C <input type="checkbox"/> | K <input type="checkbox"/> |

Ket. :
 B = Lebih cepat dari jadwal
 C = Sesuai dengan jadwal
 K = Terlambat dari jadwal

**PERBAIKAN TANAH DASAR PADA PROYEK
JALAN TOL PORONG – GEMPOL STA 35 + 060 s.d
STA 37 + 340 MENGGUNAKAN METODE
PREFABRICATED VERTICAL DRAIN DAN
PERKUATAN TIMBUNAN**

Nama Mahasiswa : Zakky Rachmadi Ma'ruf
NRP : 1011141000019
Departemen : Teknik Infrastruktur Sipil
Dosen Pembimbing : M. Khoiri, ST. MT. PhD

Abstrak

Proyek pembangunan jalan tol Porong – Gempol merupakan solusi dari pemerintah provinsi Jawa Timur untuk mengurangi angka kemacetan yang terjadi di jalan raya porong, dikarenakan adanya pengaruh dari terputusnya jalan tol lama akibat banjir lumpur panas yang berasal dari pengeboran zat bumi oleh PT. LAPINDO, sehingga jalan tol Porong – Gempol paket 1 yang dikerjakan oleh PT. Wijaya Karya (Persero) Tbk. terletak pada sisi tengah dari arteri porong tersebut memiliki panjang 3,815 km, dan disambung oleh PT. Waskita Karya di paket 2. Struktur tipikal yang digunakan oleh 2 pelaksana tersebut adalah struktur pile slab, dengan makna pile menjadi suatu penopang dari struktur badan jalan di atasnya. Pada proyek akhir terapan ini hanya meninjau dari STA 35+060 s.d STA 37+340 yang terbagi menjadi 2 zona sebagai berikut: zona 1 (STA 35+060 s.d STA 36+630) dan zona 2 (STA 36+630 s.d STA 37+340), Pada pemeriksaan kondisi tanah eksisting mendapatkan hasil kedalaman tanah lunak sedalam 27 m pada zona 1 dan sedalam 10 m pada zona 2. Sehingga memungkinkan adanya perbaikan tanah dasar. Apabila terdapat suatu timbunan di atas tanah lunak, maka akan menimbulkan kelongsoran, sehingga diperlukan adanya perkuatan timbunan untuk menghindari terjadinya kelongsoran.

Metode yang digunakan untuk perbaikan tanah dasar dalam pengerjaan proyek akhir terapan tersebut menggunakan metode Prefabricated Vertical Drain (PVD) yang diberi timbunan preloading di atasnya, pada perencanaan PVD, digunakan PVD dengan panjang yang sesuai dengan kedalaman tanah lunak, sehingga pada zona 1 menggunakan PVD sedalam 27 m dan pada zona 2 menggunakan PVD sedalam 10 m, hal ini bertujuan untuk meningkatkan efisiensi biaya pada perawatan jalan. Pola pemasangan PVD yang digunakan adalah pola pemasangan segitiga dengan jarak 1,5 m. dan untuk metode perkuatan timbunan menggunakan goetekstile uw 250 sebanyak 4 lapis pada setengah lebar timbunan.

Hasil dari biaya material yang dibutuhkan untuk kontruksi bawah dari STA 35+060 s.d 37+340 adalah Rp. 26.193.392.348,88 dengan waktu sekitar 5 bulan sedangkan biaya material yang sesuai pada pekerjaan dari PT. Wijaya Karya Tbk. adalah Rp. 29.612.188.640,00 dengan waktu 7,5 bulan.

Kata Kunci : Konsolidasi, Pile Slab, Preloading, PVD, Perbaikan Tanah Dasar

SUBGRADE IMPROVEMENT ON PORONG – GEMPOL HIGHWAY PROJECT STA 35 + 060 TO STA 37 + 340 WITH PREFABRICATED VERTICAL DRAIN AND REINFORCEMENT FOR SLOPE STABILITY

Student Name : Zakky Rachmadi Ma'ruf
NRP : 1011141000019
Department : Civil Infrastructure Engineering
Supervisor : M. Khoiri, ST. MT. PhD

Abstract

The Porong - Gempol toll road project is a solution from the East Java provincial government to reduce the number of congestion on the Porong highway, due to the influence of the breakdown of the old toll road because the mud flood that occurred from the drilling of earth substances by PT. LAPINDO, Porong - Gempol toll road 1 package undertaken by PT. Wijaya Karya (Persero) Tbk. located on the middle side of the Porong arterial road has a length of 3.815 km, and continued by PT. Waskita Karya in package 2. The typical structure used by the two contractors is the pile slab structure, with the meaning of pile being a contributor of the road body structure on it. This final project is only reviewed from STA 35 + 060 to STA 37 + 340 which is divided into 2 zones : zone 1 (STA 35 + 060 sd STA 36 + 630) and zone 2 (STA 36 + 630 sd STA 37 + 340), the investigation of existing soil conditions has a result that depth of soft soil is 27 m in zone 1 and 10 m deep in zone 2. So as to enable the improvement of the soil subgrade. If there are embankments on the soft soil, it will lump, so there needs to be a reinforcement to avoid sliding.

The method used for the improvement of the soil in this final project is using a Prefabricated Vertical Drain (PVD) method which is stacked of embankments above it, in PVD planning, PVD is used with a length corresponding to soft soil depth, so in zone 1

using PVD as deep as 27 m and in zone 2 using PVD as deep as 10 m, it aims to improve cost efficiency on road maintenance. The pattern of installation of PVD used is triangle pattern with a distance of 1.5 m. and for reinforcement stability using goetekstile uw 250, 4 layers on half width of embankment.

The result of the material cost in this final project of STA 35 + 060 s.d 37 + 340 is Rp. 26.193,392,348.88 with 5 months while the appropriate material costs on the work of PT. Wijaya Karya Tbk. is Rp. 29.612.188.640,00 with 7.5 months.

Keyword : ***Consolidation, Pile Slab, Preloading, PVD, Subgrade Improvement***

KATA PENGANTAR

Assalamualaikum wr.wb

Puji dan syukur kepada Allah SWT karena berkat limpahan rahmat dan karuniaNya lah Proyek Akhir Tersebut dengan judul “Perbaikan Tanah Dasar Pada Proyek Jalan Tol Porong – Gempol Sta 35 + 060 s.d Sta 37 + 340 Menggunakan Metode *Prefabricated Vertical Drain* dan Perkuatan Timbunan” ini dapat diselesaikan dengan baik. Penulis juga mengucapkan terimakasih kepada berbagai pihak yang telah membantu selama pengerjaan proyek akhir terapan tersebut, terutama kepada :

1. Allah SWT, atas segala rahmat dan karunia-Nya.
2. Bapak, Ibu, beserta keluarga dirumah yang telah mendukung dan memberi masukan terhadap kebaikan pengerjaan proyek akhir terapan tersebut.
3. Bapak M. Khoiri, ST. MT. PhD selaku dosen pembimbing, atas segala bimbingan dan waktunya dalam penyelesaian proyek akhir terapan.
4. Mua’dz Sofyan Hilmy, Moch. Mardani S, serta teman teman “lanang mbois” lainnya yang telah mendukung dan memberi masukan terhadap kebaikan pengerjaan proyek akhir terapan tersebut.
5. Teman – teman “Laskar Cangkruk” dan “Warjem“ yang telah mendukung dan memberi masukan terhadap kebaikan pengerjaan proyek akhir terapan tersebut.
6. Teman – teman motor “HCOI Surabaya” yang telah mendukung, memberi masukan, dan semangat terhadap kebaikan pengerjaan proyek akhir terapan tersebut.
7. Kakak tingkat Saya Mbak Safitri Nur Wulandari dan Mas Adi Firmansyah atas ilmu dasar dari perbaikan tanah dasar.
8. Bapak Aries Sugiarto Rachman dari Quantity Survey Manager PT. WIJAYA KARYA (Persero) Tbk. yang telah mendukung dan memberi bimbingan terhadap pengerjaan proyek akhir terapan tersebut.

9. Ibu Suci Nuzulla dari Staf Rekrutmen dan Penempatan Human Capital PT. WIJAYA KARYA (Persero) Tbk. yang telah mendukung dan memberi semangat terhadap pengerjaan proyek akhir terapan tersebut.

Penulis memohon maaf apabila dalam proses penyusunan laporan proyek akhir terapan ini mungkin terdapat kesalahan atau kekurangan. Oleh karena itu kritik dan saran yang membangun sangat diharapkan penulis agar dimasa datang menjadi lebih baik.

Wassalamualaikum wr. wb

Surabaya, Juli 2018

Penulis

DAFTAR ISI

| | |
|---|--------------|
| lembar Pengesahan Proyek Akhir Terapan..... | |
| Abstrak..... | i |
| Abstract..... | iii |
| Kata Pengantar | v |
| Daftar Isi | vii |
| Daftar Gambar..... | x |
| Daftar Tabel | xiii |
| Daftar Grafik..... | xvi |
| Daftar Lampiran | xviii |
| | |
| BAB I PENDAHULUAN | 1 |
| 1.1 Latar Belakang | 1 |
| 1.2 Rumusan Masalah | 5 |
| 1.3 Tujuan | 5 |
| 1.4 Batasan Masalah | 6 |
| | |
| BAB II TINJAUAN PUSTAKA | 7 |
| 2.1 Prinsip – Prinsip Dasar Tanah Lunak | 7 |
| 2.2 Perencanaan Jalan Tol Diatas Tanah Lunak | 8 |
| 2.2.1 Analisa Tanah Eksisting di Lapangan | 8 |
| 2.2.2 Penurunan Tanah | 11 |
| 2.3 Perbaikan Tanah Dasar pada Tanah Lunak | 13 |
| 2.3.1 Pemampatan Tanah dengan <i>Preloading</i> | 15 |
| 2.3.2 Perencanaan Timbunan | 19 |
| 2.3.3 Percepatan Perbaikan Tanah dengan Metode <i>Pre Fabricated Vertical Drain (PVD)</i> | 29 |
| 2.4 Perkuatan Timbunan menggunakan Geotekstile | 32 |
| | |
| BAB III METODOLOGI | 35 |
| 3.1 Bagan Alir Pekerjaan Proyek Akhir Terapan | 35 |
| 3.2 Studi Literatur | 37 |
| 3.3 Pengolahan Data dan Analisa Tanah di Lapangan | 37 |
| 3.4 Perencanaan Timbunan | 38 |

| | | |
|--|---|-----------|
| 3.4.1 | Perhitungan Tinggi Timbunan Awal (H_{inisial}) dan Tinggi Timbunan Akhir (H_{final}) | 38 |
| 3.5 | Analisa Stabilitas Timbunan dengan Menggunakan Program Bantu <i>Geoslope</i> | 39 |
| 3.6 | Waktu Pemampatan Tanah dengan Beban Preloading | 40 |
| 3.7 | Perencanaan Perbaikan Tanah Dasar | 40 |
| 3.8 | Penimbunan Secara Bertahap serta Penurunannya | 40 |
| 3.9 | Perkuatan pada Timbunan dengan Geotekstile | 41 |
| 3.10 | Hasil Pembahasan | 41 |
| 3.11 | Kesimpulan | 41 |
| BAB IV DATA DAN ANALISA..... | | 43 |
| 4.1 | Data Tanah Dasar | 43 |
| 4.2 | Data Tanah Timbunan | 56 |
| 4.3 | Data Spesifikasi Bahan | 57 |
| 4.3.1 | <i>Prefabricated Vertical Drained (PVD)</i> | 57 |
| 4.3.2 | Geotekstile | 57 |
| BAB V PERENCANAAN TIMBUNAN DAN PENURUNAN TANAH..... | | 58 |
| 5.1 | Perencanaan Timbunan Zona 1 | 59 |
| 5.1.1 | Lapisan Tanah <i>Compressible</i> | 59 |
| 5.1.2 | Tegangan <i>Overburden</i> Efektif (P_o') pada Tiap Lapisan | 59 |
| 5.1.3 | Penambahan Tegangan (Δp) | 60 |
| 5.1.4 | Menentukan Jenis Lapisan Tanah pada Tanah <i>Compressible</i> | 61 |
| 5.1.5 | Penurunan (<i>settlement</i>) pada Setiap Kedalaman Tanah | 70 |
| 5.1.6 | Tinggi Timbunan Awal (H_{inisial}) dan Timbunan Akhir (H_{final}) | 80 |
| 5.2 | Analisa Stabilitas Timbunan dengan <i>Geoslope</i> | 82 |
| 5.3 | Waktu Penurunan Tanah dengan Beban Preloading | 84 |
| BAB VI PERBAIKAN TANAH DASAR..... | | 89 |

| | | |
|-------|--|----|
| 6.1 | Pola Pemasangan PVD dan Waktu Penurunan Tanah dengan PVD | 89 |
| 6.1.1 | Pola Pemasangan Segitiga..... | 89 |
| 6.1.2 | Pola Pemasangan Segiempat..... | 96 |

BAB VII PENURUNAN AKIBAT PENIMBUNAN SECARA BERTAHAP 103

| | | |
|-----|--|-----|
| 7.1 | Penjadwalan Timbunan Bertahap..... | 103 |
| 7.2 | Tegangan pada Setiap Lapisan Tanah untuk Derajat Konsolidasi 100 % | 104 |
| 7.3 | Kenaikan daya dukung tanah dasar dengan Cu yang baru | 108 |
| 7.4 | Penurunan Tanah Akibat Beban Timbunan Bertahap..... | 110 |

BAB VIII PERKUATAN TIMBUNAN MENGGUNAKAN GEOTEKSTILE 115

BAB IX PERHITUNGAN BIAYA MATERIAL 125

| | | |
|-----|---------------------------------|-----|
| 9.1 | Perhitungan Biaya Material..... | 125 |
|-----|---------------------------------|-----|

BAB X KESIMPULAN DAN SARAN..... 143

| | | |
|------|------------------|-----|
| 10.1 | Kesimpulan | 143 |
| 10.2 | Saran | 144 |

DAFTAR PUSTAKA 145

LAMPIRAN..... 146

“halaman ini sengaja dikosongkan”

DAFTAR GAMBAR

| | |
|---|----|
| Gambar 1. 1 Tipikal potongan memanjang struktur pile slab (cast in site)..... | 2 |
| Gambar 1. 2 Denah lokasi proyek mulai BH – 4 (STA 35 + 060) | 3 |
| Gambar 1. 3 Denah lokasi proyek BH 5 (STA 36+070) | 4 |
| Gambar 1. 4 Denah lokasi Proyek BH 6 (STA 36+550) | 4 |
| Gambar 2. 1 Klasifikasi tanah berdasarkan data sondir | 10 |
| Gambar 2. 2 Grafik hubungan antara penurunan dengan waktu 12 | |
| Gambar 2. 3 Perkuatan tanah lunak pada timbunan dengan menggunakan geotekstil | 13 |
| Gambar 2. 4 Perkuatan tanah lunak pada timbunan dengan menggunakan <i>Vertical Drain</i> | 14 |
| Gambar 2. 5 Perkuatan tanah lunak pada timbunan dengan <i>Stone Mattress</i> | 14 |
| Gambar 2. 6 Perkuatan tanah lunak pada timbunan dengan menggunakan <i>Pile</i> | 15 |
| Gambar 2. 7 Ilustrasi timbunan dalam perhitungan tegangan overburden efektif (P_o') | 16 |
| Gambar 2. 8 Ilustrasi timbunan untuk perhitungan penambahan tegangan | 18 |
| Gambar 2. 9 Bidang luncur pada kelongsoran timbunan | 21 |
| Gambar 2. 10 Ilustrasi penimbunan secara bertahap | 23 |
| Gambar 2. 11 Pola pemasangan Prefabricated Vertical Drain (PVD) | 30 |
| Gambar 3. 1 Diagram alir langkah - langkah pengerjaan proyek akhir terapan..... | 35 |
| Gambar 3. 2 Diagram alir langkah – langkah pengerjaan proyek akhir terapan (lanjutan) | 36 |

| | | |
|--------------------|--|----|
| Gambar 4. 1 | 11 Titik <i>Bore Hole</i> yang digunakan sebagai sampel tanah | 43 |
| Gambar 4. 2 | Denah lokasi BH - 04 s.d BH - 07 | 44 |
| Gambar 4. 3 | Denah, Potongan memanjang, dan Pembagian zona | 45 |
| Gambar 4. 4 | <i>Consolidation test</i> BH - 04 (STA 35 + 060) | 47 |
| Gambar 4. 5 | Grafik rekapitulasi data laboratorium (Cv, Cc, e, Pp) Zona 1 | 52 |
| Gambar 4. 6 | Grafik rekapitulasi data laboratorium (Cs, C, γ_t , phi) Zona 1 | 53 |
| Gambar 4. 7 | Grafik rekapitulasi data laboratorium (Cv, Cc, e, Pp) Zona 2 | 54 |
| Gambar 4. 8 | Grafik rekapitulasi data laboratorium (Cs, C, γ_t , phi) Zona 2 | 55 |
| Gambar 4. 9 | Ilustrasi geometri timbunan | 57 |
| Gambar 5. 1 | Grafik dari hasil OCR sementara | 66 |
| Gambar 5. 2 | Grafik OCR zona 1 | 68 |
| Gambar 5. 3 | Ilustrasi penambahan tegangan akibat beban perkerasan | 73 |
| Gambar 5. 4 | Grafik hubungan H_{final} dan $H_{inisial}$ | 81 |
| Gambar 5. 5 | Analisa stabilitas timbunan 2 m | 83 |

DAFTAR TABEL

| | |
|---|----|
| Tabel 2. 1 Klasifikasi Tanah Kohesi Berdasarkan NSPT | 9 |
| Tabel 2. 2 Klasifikasi Tanah Kohesi Berdasarkan Data Laboratorium | 10 |
| Tabel 2. 3 Faktor Waktu terhadap Variasi dari Derajat Konsolidasi | 28 |
| Tabel 2. 4 Angka Keamanan Penggunaan Geotekstil | 33 |
| | |
| Tabel 4. 1 Pembagian Zona serta Kedalaman Tanah Lunaknya. | 45 |
| Tabel 4. 2 Rekapitulasi Data Laboratorium Zona 1 | 47 |
| Tabel 4. 3 Rekapitulasi Data Laboratorium Zona 1 (Lanjutan).. | 48 |
| Tabel 4. 4 Rekapitulasi Data Laboratorium Zona 1 (Lanjutan).. | 48 |
| Tabel 4. 5 Rata – Rata Rekapitulasi Data Laboratorium Zona 1 | 49 |
| Tabel 4. 6 Rekapitulasi Data Laboratorium Zona 2 | 49 |
| Tabel 4. 7 Rekapitulasi Data Laboratorium Zona 2 (Lanjutan).. | 50 |
| Tabel 4. 8 Rekapitulasi Data Laboratorium Zona 2 (Lanjutan).. | 50 |
| Tabel 4. 9 Rata – Rata Rekapitulasi Data Laboratorium Zona 2 | 51 |
| Tabel 4. 10 Rekapitulasi Perhitungan Tinggi Timbunan Rencana | 56 |
| | |
| Tabel 5. 1 Data Tegangan Pra Konsolidasi Zona 1 | 62 |
| Tabel 5. 2 Rata – Rata P_c' Pada Kedalaman Tertentu | 63 |
| Tabel 5. 3 Hasil Tegangan <i>Overburden</i> Efektif | 64 |
| Tabel 5. 4 <i>Overconsolidation Ratio</i> | 65 |
| Tabel 5. 5 Hasil OCR Zona 1 | 67 |
| Tabel 5. 6 Hasil dari Tegangan Pra Konsolidasi Zona 1 | 69 |
| Tabel 5. 7 Rekapitulasi Hasil Penurunan Total Kedalaman Tanah <i>Compressible</i> dengan Variasi Tinggi Timbunan..... | 72 |
| Tabel 5. 8 Hasil Rekapitulasi $H_{inisial}$ dan H_{final} | 81 |
| Tabel 5. 9 Rekapitulasi Angka Keamanan sebelum Perbaikan Tanah Dasar..... | 83 |

| | | |
|--------------------|---|-----|
| Tabel 5. 10 | Penurunan Tanah dan Selisih Besar Penurunan Tanah Setiap Tahun | 86 |
| Tabel 6. 1 | Diameter Ekuivalen dengan Variasi Jarak antar PVD. | 90 |
| Tabel 6. 2 | Fungsi Hambatan PVD Pola Pemasangan Segitiga... | 91 |
| Tabel 6. 3 | Hasil Derajat Konsolidasi Total untuk Pola Pemasangan Segitiga dengan Spasi 1 M..... | 95 |
| Tabel 6. 4 | Diameter Ekuivalen dengan Variasi Jarak antar PVD. | 97 |
| Tabel 6. 5 | Fungsi Hambatan PVD Pola Pemasangan Segiempat | 98 |
| Tabel 6. 6 | Hasil Derajat Konsolidasi Total untuk Pola Pemasangan Segiempat dengan Spasi 1 M | 102 |
| Tabel 7. 1 | Umur Timbunan Ke-i pada Minggu Ke-6..... | 103 |
| Tabel 7. 2 | Penambahan Tegangan untuk Derajat Konsolidasi % | 106 |
| Tabel 7. 3 | Penambahan Tegangan untuk Derajat Konsolidasi < 100 % | 108 |
| Tabel 7. 4 | Hasil Kenaikan Cu Baru | 109 |
| Tabel 7. 5 | Rekapitulasi Penurunan Akibat Timbunan Bertahap | 112 |
| Tabel 8. 1 | Rekapitulasi Angka Keamanan Akibat Tinggi Timbunan sebelum PVD..... | 115 |
| Tabel 8. 2 | Rekapitulasi Angka Keamanan Akibat Timbunan setelah Diberi PVD..... | 116 |
| Tabel 8. 3 | Hasil Output Slide Mass dari Program Bantu Geoslope dengan Tinggi Timbunan 4 m Zona 2..... | 117 |
| Tabel 8. 4 | Hasil Output Slide Mass dari Program Bantu Geoslope dengan Tinggi Timbunan 3 m Zona 1..... | 117 |
| Tabel 8. 5 | Hasil Perhitungan Momen Penahan oleh Geotekstile dan Panjang Geotekstile di Belakang Bidang Longsor | 120 |

| | |
|---|-----|
| Tabel 8. 6 Hasil Perhitungan Panjang Geotekstile didepan Bidang Longsor | 120 |
| Tabel 8. 7 Hasil Panjang Total Geotekstile..... | 120 |
| Tabel 8. 8 Hasil Perhitungan Momen Penahan oleh Geotekstile dan Panjang Geotekstile di Belakang Bidang Longsor | 122 |
| Tabel 8. 9 Hasil Perhitungan Panjang Geotekstile didepan Bidang Longsor | 123 |
| Tabel 8. 10 Hasil Panjang Total Geotekstile..... | 123 |

“halaman ini sengaja dikosongkan“

DAFTAR GRAFIK

| | |
|---|-----|
| Grafik 2. 1 Hubungan Faktor Waktu terhadap Variasi Derajat Konsolidasi | 28 |
| Grafik 6. 1 Hubungan Antara Waktu Konsolidasi dengan Derajat Konsolidasi | 95 |
| Grafik 6. 2 Hubungan Antara Waktu Konsolidasi dengan Derajat Konsolidasi | 102 |
| Grafik 7. 1 Penurunan akibat penimbunan bertahap..... | 113 |

“halaman ini sengaja dikosongkan“

DAFTAR LAMPIRAN

| | | |
|--------------------|---|-----|
| Lampiran 1 | Data Borlog BH - 04 (STA 35 + 060) | 146 |
| Lampiran 2 | Data Borlog BH - 04 (STA 35 + 060) (lanjutan) . | 147 |
| Lampiran 3 | Data Borlog BH - 05 (STA 36 + 070) | 148 |
| Lampiran 4 | Data Borlog BH - 05 (STA 36 + 070) (lanjutan) . | 149 |
| Lampiran 5 | Data Borlog BH - 07 (STA 37 + 550) | 150 |
| Lampiran 6 | Data Borlog BH - 07 (STA 37 + 550) (lanjutan) . | 151 |
| Lampiran 7 | Data Borlog BH - 06 (STA 36 + 630) | 152 |
| Lampiran 8 | Spesifikasi PVD | 153 |
| Lampiran 9 | Spesifikasi Geotekstile | 154 |
| Lampiran 10 | Rekapitulasi Data Laboratorium..... | 155 |
| Lampiran 11 | Hasil Consolidation Settlement Total dengan Timbunan 1 meter | 156 |
| Lampiran 12 | Hasil <i>Consolidation Settlement</i> Total dengan Timbunan 2 meter | 157 |
| Lampiran 13 | Hasil <i>Consolidation Settlement</i> Total dengan Timbunan 3 meter | 158 |
| Lampiran 14 | Hasil <i>Consolidation Settlement</i> Total dengan Timbunan 4 meter | 159 |
| Lampiran 15 | Hasil Consolidation Settlement Total (Lalu Lintas) dengan Timbunan 1 meter | 160 |
| Lampiran 16 | Hasil Consolidation Settlement Total (Lalu Lintas) dengan Timbunan 2 meter | 161 |
| Lampiran 17 | Hasil Consolidation Settlement Total (Lalu Lintas) dengan Timbunan 3 meter | 162 |
| Lampiran 18 | Hasil Consolidation Settlement Total (Lalu Lintas) dengan Timbunan 4 meter | 163 |
| Lampiran 19 | Hasil Consolidation Settlement Total (Perkerasan) dengan Timbunan 1 meter | 164 |
| Lampiran 20 | Hasil Consolidation Settlement Total (Perkerasan) dengan Timbunan 2 meter | 165 |

| | |
|---|-----|
| Lampiran 21 Hasil Consolidation Settlement Total (Perkerasan) dengan Timbunan 3 meter | 166 |
| Lampiran 22 Hasil Consolidation Settlement Total (Perkerasan) dengan Timbunan 4 meter | 167 |
| Lampiran 23 Hasil <i>Consolidation Settlement</i> Total dengan Timbunan 1 meter..... | 168 |
| Lampiran 24 Hasil <i>Consolidation Settlement</i> Total dengan Timbunan 2 meter..... | 168 |
| Lampiran 25 Hasil <i>Consolidation Settlement</i> Total dengan Timbunan 3 meter..... | 169 |
| Lampiran 26 Hasil <i>Consolidation Settlement</i> Total dengan Timbunan 4 meter..... | 169 |
| Lampiran 27 Penurunan total akibat beban timbunan tahap 1 | 170 |
| Lampiran 28 Penurunan total akibat beban timbunan tahap 2 | 171 |
| Lampiran 29 Penurunan total akibat beban timbunan tahap 3 | 172 |
| Lampiran 30 Penurunan total akibat beban timbunan tahap 4 | 173 |
| Lampiran 31 Penurunan total akibat beban timbunan tahap 5 | 174 |
| Lampiran 32 Penurunan total akibat beban timbunan tahap 6 | 175 |

BAB I

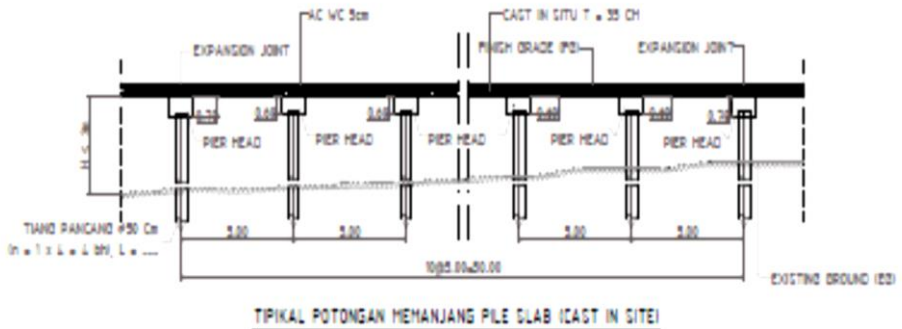
PENDAHULUAN

1.1 LATAR BELAKANG

Jalan bebas hambatan (*toll*) Porong – Gempol atau dapat disebut juga jalan *toll* Por – Gem merupakan salah satu jalan *toll* yang berlokasi di Provinsi Jawa Timur. Selama ini akses jalan *toll* untuk menuju jalur selatan yang menghubungkan antara Kota Surabaya dan Kota Malang dan menuju zona timur yang menghubungkan antara Kota Surabaya dan Kabupaten Probolinggo terputus dikarenakan kejadian banjir lumpur panas yang disebabkan oleh proses pengeboran lumpur dari PT. Lapindo sejak tanggal 29 Mei 2006. Dampak yang terjadi karena hal tersebut menjadi permasalahan tambahan yaitu terjadinya kemacetan pada jalan provinsi di Kecamatan Porong. Seiring dengan timbulnya permasalahan tambahan dari dampak kejadian banjir lumpur panas Lapindo, pemerintah mengusulkan dengan adanya pembangunan jalan arteri Porong yang bertujuan untuk mengurangi panjang antrian dari kemacetan pada jalan Provinsi di Kecamatan Porong. Yang selesai pada bulan Desember 2012 silam. Selain itu untuk meningkatkan laju perekonomian antar daerah, pemerintah merencanakan jalan *toll* yang merupakan pengganti jalan tol lama yang terputus. Meskipun pada jalan arteri Porong pun angka kemacetan tidak terlalu tinggi.

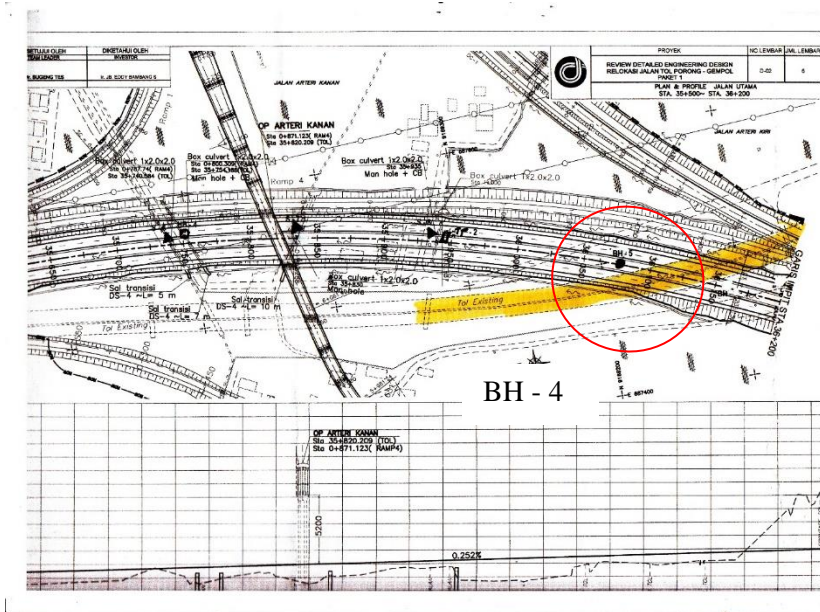
Pada pembangunan jalan *toll* Porong – Gempol paket 1 yang dilaksanakan oleh PT. Wijaya Karya (Persero) Tbk. Tersebut mempunyai panjang jalan 3,815 km dengan lebar jalan 2 x 16,3 m. Pekerjaan konstruksi pada jalan *toll* tersebut adalah menggunakan struktur *pile slab*, dengan pengertian bahwa struktur pada *Slab on Pile* terdiri dari pelat (*slab*), *pier head* dan tiang pancang (*pile*). Pada seluruh pekerjaan pondasi bawah dalam pembangunan jalan *toll* Porong – Gempol paket 1 tersebut menggunakan konstruksi tiang pancang dan pekerjaan tersebut memiliki durasi pekerjaan selama 7,5 Bulan dengan biaya material yang direncanakan.

Dengan meninjau jumlah biaya material dan durasi pekerjaan pondasi bawah pada pembangunan jalan tol Porong – Gempol STA 35 + 060 hingga STA 37 + 340 tersebut secara umum, maka pada proyek akhir terapan ini akan membahas perbandingan tentang waktu dan biaya pelaksanaan pada pekerjaan pondasi bawah dengan cara membandingkan pondasi bawah yang pada kondisi eksisting menggunakan tiang pancang dan pondasi bawah yang menggunakan urugan yang telah di perbaiki dengan metode preloading dan PVD (*Prefabricated Vertical Drain*).



Gambar 1. 1 Tipikal potongan memanjang struktur pile slab (cast in site)

(Sumber : Shop drawing PT. Wijaya Karya tipikal main road, 2017)



Gambar 1. 2 Denah lokasi proyek mulai BH - 4 (STA 35 + 060)

(Sumber : Denah lokasi PT. Jasa Marga, 2017)

1.2 RUMUSAN MASALAH

Berdasarkan latar belakang yang telah dijelaskan sebelumnya maka terdapat perumusan masalah sebagai berikut:

1. Berapa besar pemampatan pada tanah dasar di jalan tol Porong – Gempol STA 35 + 060 hingga STA 37 + 340 ?
2. Berapa waktu yang dibutuhkan untuk proses pemampatan tanah dasar sebelum dan sesudah menggunakan *Prefabricated Vertical Drain* (PVD) ?
3. Bagaimana pertimbangan yang diperhatikan sebelum menyimpulkan harus menggunakan perbaikan tanah dasar ?
4. Bagaimana bentuk pola pemasangan, jarak dan kedalaman yang paling efektif pada pekerjaan *Prefabricated Vertical Drain* (PVD) yang akan dipasang di jalan tol porong – gempol 35 + 060 hingga STA 37 + 340 ?
5. Bagaimana hasil dan dampak dari pemilihan pondasi bawah pada proyek jalan tol Porong – Gempol Paket 1 terhadap biaya dan waktu pekerjaan ?

1.3 TUJUAN

Dari perumusan masalah yang ada pada penulisan proyek akhir terapan tersebut, maka tujuan dari proyek akhir terapan tersebut adalah untuk:

- a) Mendapatkan besar pemampatan tanah dasar di jalan tol Porong – Gempol STA 35 + 060 hingga STA 37 + 340.
- b) Mendapatkan durasi pemampatan tanah dasar sebelum dan sesudah menggunakan metode *Prefabricated Vertical Drain* (PVD).
- c) Mengetahui beberapa pertimbangan yang diperhatikan sebelum menyimpulkan harus menggunakan perbaikan tanah dasar.

- d) Mengetahui bentuk pola pemasangan, jarak, dan kedalaman yang paling efektif pada pekerjaan *Prefabricated Vertical Drain* (PVD) yang akan dipasang di jalan tol porong – gempol STA 35 + 060 hingga STA 37 + 340.
- e) Mengetahui hasil dan dampak dari pemilihan pondasi bawah pada proyek jalan tol Porong – Gempol Paket 1 terhadap biaya material dan waktu pekerjaan.

1.4 BATASAN MASALAH

Dalam penyusunan Proyek Akhir Terapan tersebut penulis membatasi beberapa permasalahan diantaranya:

1. Tidak membahas mengenai permasalahan yang terkait dengan pembebasan lahan.
2. Tidak membahas mengenai manajemen lalu lintas disekitar lokasi proyek pada saat pengerjaan.
3. Tidak membahas mengenai estetika bangunan bawah
4. Tidak membahas mengenai produktivitas alat dan pekerja
5. Hanya membandingkan biaya dan durasi keseluruhan atau secara umum
6. Untuk stabilitas timbunan penulis mengacu pada perbandingan 1:2
7. Tidak membahas perawatan perkerasan yang harus dilakukan setelah pekerjaan jalan tol selesai.

BAB II

TINJAUAN PUSTAKA

2.1 Prinsip – Prinsip Dasar Tanah Lunak

Tanah merupakan dasar dari suatu konstruksi, baik itu konstruksi gedung maupun konstruksi jalan, dan akan menjadi permasalahan apabila tanah tersebut memiliki sifat – sifat yang buruk. Sifat – sifat yang buruk dari tanah dapat mengganggu suatu konstruksi sehingga dapat mengalami kerusakan struktur, hal tersebut sangat tidak diinginkan dalam suatu pekerjaan konstruksi.

Mayoritas dari sifat buruk tanah terdapat pada tanah lunak, di antaranya adalah mempunyai plastisitas yang tinggi, kembang susut yang besar, dan kekuatan geser yang rendah. Pada prinsipnya tanah lunak sangat berpengaruh buruk pada konstruksi bawah pada seluruh bangunan. [1] Tanah lempung adalah tanah yang memiliki partikel – partikel mineral tertentu yang menghasilkan sifat plastis pada tanah bila dicampur dengan air (Grim, 1953). Tanah lempung terdiri dari butir – butir yang sangat kecil (< 0.002 mm) dan menunjukkan sifat – sifat plastisitas dan kohesi.

Kohesi menunjukkan kenyataan bahwa bagian – bagian itu melekat satu sama lainnya, sedangkan plastisitas adalah sifat yang memungkinkan bentuk bahan itu berubah – ubah tanpa perubahan isi atau tanpa kembali ke bentuk aslinya, dan tanpa terjadi retakan atau terpecah – pecah (Wesley, 1977). Sifat – sifat yang dimiliki tanah lempung adalah sebagai berikut :

1. Ukuran butir halus, kurang dari 0,002 mm.
2. Permeabilitas rendah.
3. Kenaikan air kapiler tinggi.
4. Bersifat sangat kohesif.
5. Kadar kembang susut yang tinggi.
6. Proses konsolidasi lambat.

Di sisi lain dari buruknya tanah lempung untuk konstruksi bawah suatu bangunan. Tanah lunak atau tanah lempung memiliki

kegunaan atau kelebihan, akan tetapi mayoritas dari kelebihan tanah lunak tersebut tidaklah merujuk kepada konstruksi bangunan melainkan untuk kerajinan tangan, media tanaman – tanaman kota, dan lain – lain.

2.2 Perencanaan Jalan Tol Diatas Tanah Lunak

Berdasarkan penjelasan mengenai prinsip dasar dan sifat – sifat tanah lunak terdapat pertimbangan yang harus di perhatikan mengenai perencanaan pembangunan jalan tol diatas tanah lunak, untuk menghindari terjadinya kerusakan – kerusakan struktur yang akan terjadi karena karakteristik dari tanah lunak tersebut tidak memiliki peran yang baik sebagai konstruksi bawah pada pembangunan jalan tol.

2.2.1 Analisa Tanah Eksisting di Lapangan

Menganalisa tanah eksisting di lapangan merupakan kegiatan awal dari perencanaan bangunan, tujuan dari proses penganalisaan tanah adalah memperoleh keputusan yang tepat dalam pemilihan pondasi, terdapat langkah – langkah untuk dapat menganalisa tanah di lapangan :

- **Pembuatan Stratigrafi Tanah**

Dalam menganalisa tanah eksisting di lapangan, membuat stratigrafi tanah merupakan langkah pertama yang harus diperhatikan karena stratigrafi tanah bertujuan untuk mengetahui kondisi dan jenis tanah dasar di lokasi pembangunan jalan tol Porong – Gempol, atau dengan makna lain, untuk mengamankan struktur badan jalan sepanjang rencana trase terhadap tanah lunak, maka perlu diketahui tebal dan lokasi tanah lunak berdasarkan hasil test lapangan dan laboratorium agar dapat memastikan penanganan yang sesuai untuk tiap lokasi.

Dibawah ini merupakan suatu kriteria tanah lunak berdasarkan data NSPT test, sondir dan data laboratorium.

A. Tanah lunak/lepas , berdasarkan NSPT

- Cohesive Soil

- Cohesionless Soil

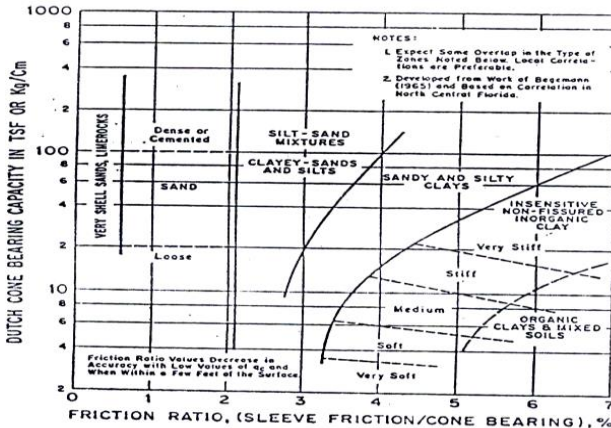
Tabel 2. 1 Klasifikasi Tanah Kohesi Berdasarkan NSPT

| NSPT | Consistency |
|---------|-------------|
| < 2 | Very soft |
| 2 – 4 | Soft |
| 4 – 8 | Medium |
| 8 – 15 | Stiff |
| 15 – 30 | Very stiff |
| > 30 | Hard |

| NSPT | Relative Density |
|---------|------------------|
| 0 – 4 | Very loose |
| 4 – 10 | Loose |
| 10 – 30 | Medium |
| 30 – 50 | Dense |
| > 50 | Very dense |

(Sumber : Laporan analisa geoteknik)

B. Tanah lunak/lepas berdasarkan tahanan konus



Gambar 2. 1 Klasifikasi tanah berdasarkan data sondir

(Sumber : Schmertmann, 1978)

C. Berdasarkan data laboratorium Tanah Kohesif

Tabel 2. 2 Klasifikasi Tanah Kohesi Berdasarkan Data Laboratorium

| Konsistensi | Nilai NSPT Test | Unconfined Compression Strenght q_{all} (kn/m^2) |
|--------------|-----------------|--|
| Very soft | < 2 | < 25 |
| Soft | 2 – 4 | 25 – 40 |
| Medium | 4 – 8 | 50 – 100 |
| Stiff (firm) | 8 – 15 | 100 – 200 |
| Very stiff | 15 – 30 | 200 – 400 |
| Hard | > 30 | > 400 |

(Sumber : Laporan analisa geoteknik)

2.2.2 Penurunan Tanah

Penurunan tanah adalah hal utama yang harus diperhatikan dalam perencanaan jalan tol di atas tanah lunak, dikarenakan hal tersebut berpengaruh terhadap kuatnya suatu konstruksi bangunan yang akan dibangun di atasnya, salah satu yang menjadikan permasalahan dalam melakukan pekerjaan pembangunan di atas tanah lunak yaitu penurunan tanah yang sangat besar. Penurunan yang besar tersebut disebabkan oleh penurunan konsolidasi pada tanah. Penambahan beban di atas suatu permukaan tanah dapat menyebabkan lapisan tanah di bawahnya mengalami pemampatan. Pemampatan tersebut disebabkan oleh adanya deformasi partikel tanah, relokasi partikel, keluarnya air atau udara dari dalam pori, dan sebab – sebab lain [2].

Beberapa faktor tersebut mempunyai hubungan dengan keadaan tanah yang bersangkutan. Secara umum, penurunan (*Settlement*) pada tanah yang disebabkan oleh pembebanan dapat dibagi dalam dua kelompok besar, yaitu :

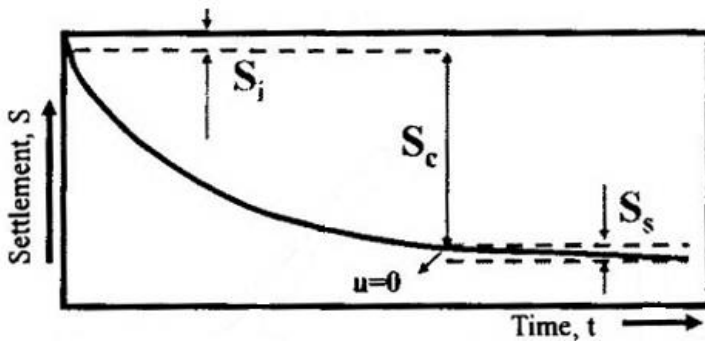
1. **Penurunan Seketika (*Immediate Settlement*)**, yang merupakan akibat dari deformasi elastis tanah kering, basah, dan jenuh air tanpa adanya perubahan kadar air. Perhitungan penurunan segera umumnya didasarkan pada penurunan yang diturunkan dari teori elastisitas.
2. **Penurunan Konsolidasi (*Consolidation Settlement*)**, yang merupakan hasil dari perubahan volume tanah jenuh air sebagai akibat dari keluarnya air yang menempati pori – pori tanah
3. **Penurunan Sekunder (*Creep/Secondary Settlement*)**, yang merupakan penurunan yang terjadi setelah penurunan konsolidasi. Penurunan ini terjadi seiring dengan waktu berlalu dan biasanya terjadi sangat lama setelah beban mulai bekerja, di mana partikel tanah mengalami *creep*. Penurunan ini terjadi saat semua tegangan air pori berlebih di dalam tanah telah terdisipasi dan saat tegangan efektif yang terjadi berada dalam keadaan konstan.

Dengan demikian, penurunan total dari suatu tanah yang dibebani adalah :

$$S_t = S_i + S_c + S_s \quad (2.1)$$

Keterangan :

- $S_t = \text{Settlement Total}$ (cm)
- $S_i = \text{Settlement Immidiately}$ (cm)
- $S_c = \text{Settlement Consolidation}$ (cm)
- $S_s = \text{Settlement Secondary}$ (cm)



Gambar 2. 2 Grafik hubungan antara penurunan dengan waktu
(Sumber : Gouw, 2010)

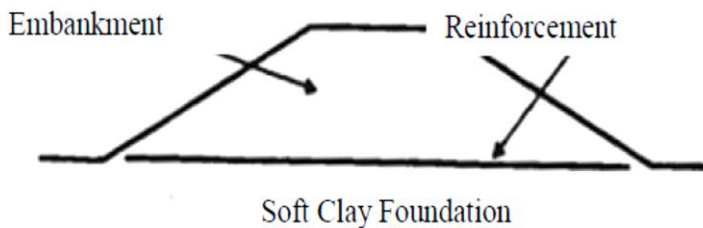
Dengan makna lain, penurunan sekunder terjadi ketika Penurunan konsolidasi telah selesai, yaitu pada saat tegangan air pori berlebih, U , sama dengan nol.

Terlihat pada grafik hubungan antara penurunan dengan waktu, bahwa penurunan tanah sebagian besar terjadi pada saat penurunan konsolidasi, dan pada saat penurunan konsolidasi tanah mengalami peningkatan kekuatan dan stabilitas.

2.3 Perbaikan Tanah Dasar pada Tanah Lunak

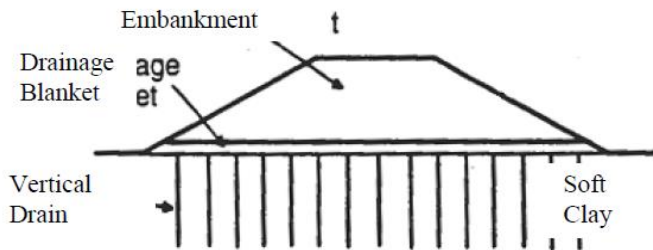
Seperti yang disebutkan pada subbab (2.2.1), salah satu yang menjadikan permasalahan utama adalah penurunan yang sangat besar ketika dibebani, maka untuk menanggulangi permasalahan tersebut diperlukan untuk perbaikan tanah dasar, terdapat beberapa cara perbaikan tanah dasar yang dapat dilakukan:

- Perkuatan dengan Geotekstil
- *Prefabricated Vertical Drain*
- Perkuatan dengan *Stone Mattress*
- Perkuatan tanah dengan *Pile*



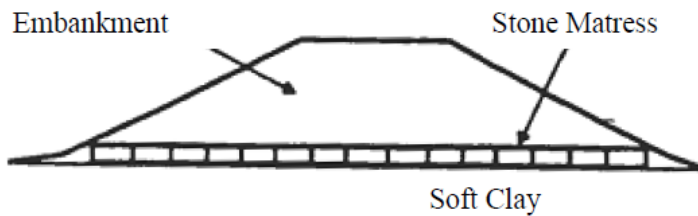
Gambar 2. 3 Perkuatan tanah lunak pada timbunan dengan menggunakan geotekstil

(Sumber : Gourc, 2003)



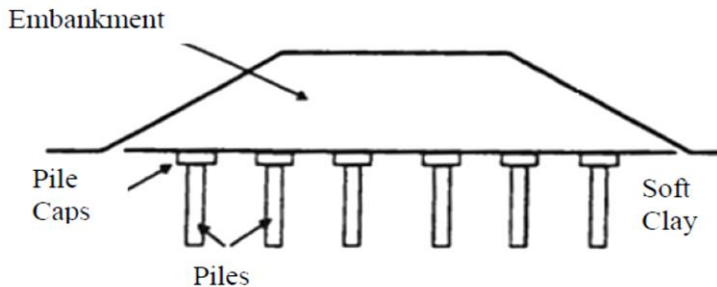
Gambar 2. 4 Perkuatan tanah lunak pada timbunan dengan menggunakan *Vertical Drain*

(Sumber : Gourc, 2003)



Gambar 2. 5 Perkuatan tanah lunak pada timbunan dengan *Stone Mattress*

(Sumber : Gourc, 2003)



Gambar 2. 6 Perkuatan tanah lunak pada timbunan dengan menggunakan *Pile*

(Sumber : Gourc, 2003)

Metode perbaikan tanah yang sering digunakan adalah metode PVD (*Prefabricated Vertical Drain*), yang berarti perkuatan tanah dilakukan dengan cara mempercepat penurunan dari tanah akibat beban. Dengan menggunakan PVD, maka penurunan konsolidasi yang ingin dicapai dapat diperoleh dengan waktu yang lebih singkat.

2.3.1 Pemampatan Tanah dengan *Preloading*

Pemampatan pada tanah dasar terjadi akibat diberikannya beban *preload* diatas tanah dasar tersebut yang menyebabkan deformasi partikel tanah serta mengecilnya pori – pori pada tanah tersebut akibat keluarnya air atau udara dari dalam pori. Dalam kasus pemampatan disebut pemampatan konsolidasi (*Consolidation Settlement*). Terdapat dua jenis penurunan atau pemampatan konsolidasi, yaitu konsolidasi normal (*Normally Consolidated, NC*), dan konsolidasi berlebih (*Over Consolidated, OC*).

1. **Tanah terkonsolidasi secara normal, *Normally Consolidated Soil (NC-Soil)***, yang merupakan tegangan *overburden* efektif pada saat ini adalah merupakan tegangan maksimum yang pernah dialami tanah tersebut.

2. **Tanah terkonsolidasi lebih, *Over Consolidated Soil (OC-Soil)***, yang merupakan tegangan *overburden* efektif saat ini adalah lebih kecil daripada tegangan yang pernah dialami oleh tanah yang bersangkutan sebelumnya.

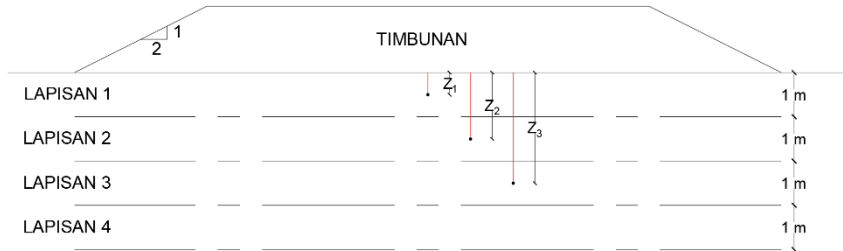
Tanah disebut sebagai NC-Soil atau OC-soil tergantung dari harga *Over Consolidation Ratio (OCR)*, yang didefinisikan dengan persamaan berikut ini:

$$\text{OCR} = \frac{P_c'}{P'_o} \quad (2.2)$$

Keterangan :

P_c' = tegangan prakonsolidasi

P'_o = tegangan efektif *overburden*



Gambar 2. 7 Ilustrasi timbunan dalam perhitungan tegangan *overburden* efektif (P'_o)

Perhitungan tegangan *overburden* efektif untuk lapisan ke-1 menggunakan persamaan sebagai berikut:

$$P_o'{}_1 = \gamma' \times Z_1 \quad (2.3)$$

$$P_o'{}_1 = (\gamma_{sat} - \gamma_{air}) \times Z_1 \quad (2.4)$$

Keterangan :

- Z_1 = setengah tebal lapisan tanah kedalaman tanah 1 m

Perhitungan tegangan *overburden* efektif untuk lapisan ke-2 dan kedalaman selanjutnya menggunakan persamaan sebagai berikut:

$$Po'_2 = \left(\frac{\gamma' \times h_1}{2} \right) + \left(\frac{\gamma' \times h_1}{2} \right) + Po'_1 \quad (2.5)$$

$$Po'_2 = \left(\frac{(\gamma_{sat} 1 - \gamma_{air}) \times h_1}{2} \right) + \left(\frac{(\gamma_{sat} 2 - \gamma_{air}) \times h_2}{2} \right) + Po'_1 \quad (2.6)$$

Berdasarkan teori Terzaghi (1925) untuk perhitungan pemampatan pada tanah lempung adalah:

1. Untuk tanah terkonsolidasi normal (*Normally Consolidated Soil*)

$$S_{ci} = \left[\frac{Cc}{1+e_0} \log \frac{p'_0 + \Delta p}{p'_0} \right] \times Hi \quad (2.7)$$

2. Untuk tanah terkonsolidasi lebih (*Over Consolidated Soil*)

Jika $p'_0 + \Delta p < P'_c$ maka :

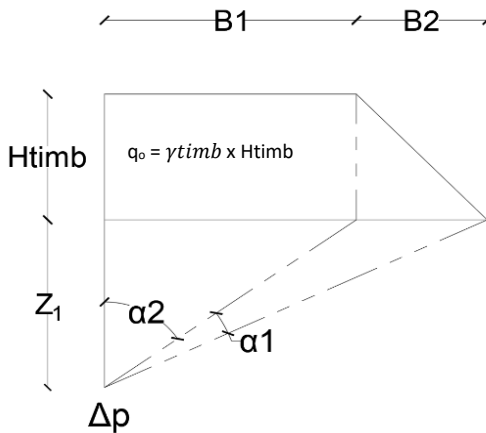
$$S_{ci} = \left[\frac{Cs}{1+e_0} \log \frac{p'_0 + \Delta p}{p'_0} \right] \times Hi \quad (2.8)$$

Jika $p'_0 + \Delta p > p'_c$ maka :

$$S_c = \left[\frac{Cs}{1+e_0} \log \left[\left(\frac{P'_c}{p'_0} \right) + \left(\frac{Cc}{1+e_0} \right) \right] \log \frac{p'_0 + \Delta p}{P'_c} \right] \times Hi \quad (2.9)$$

Keterangan :

- S_{ci} : pemampatan konsolidasi pada lapisan tanah yang ke-i yang ditinjau
 H_i : tebal lapisan tanah ke-i
 E_o : angka pori awal dari lapisan tanah ke-i
 C_c : indeks kompresi dari lapisan ke-i
 C_s : indeks mengembang dari lapisan ke-i
 P_o' : tegangan Overburden efektif
 P_c' : tegangan prakonsolidasi efektif
 Δp : penambahan beban vertikal pada lapisan yang ditinjau akibat beban timbunan dihitung dengan persamaan:



Gambar 2. 8 Ilustrasi timbunan untuk perhitungan penambahan tegangan

$$\Delta p = \frac{q_o}{\pi} \left[\frac{(B_1+B_2)}{B_2} \right] x (\alpha_1 + \alpha_2) - \left[\left(\frac{B_1}{B_2} \right) x \alpha_2 \right] \quad (2.10)$$

Keterangan :

- q_0 = beban timbunan ($H_{\text{timb}} \times \gamma_{\text{timb}}$)
- $B1$ = $\frac{1}{2}$ lebar timbunan
- $B2$ = lebar kemiringan timbunan ($2 \times H_{\text{timb}}$)
- $\alpha1$ = $\tan^{-1} \frac{(B1+B2)}{z} - \tan^{-1} \frac{B1}{z}$ (radian)
- $\alpha2$ = $\tan^{-1} \frac{B1}{z}$ (radian)

2.3.2 Perencanaan Timbunan

A. Stabilitas Timbunan terhadap Kelongsoran

Pemeriksaan stabilitas timbunan merupakan salah satu hal yang harus di perhatikan dalam perbaikan tanah dasar dikarenakan dengan pemeriksaan tersebut dapat mengetahui tinggi timbunan yang aman dan tidak menjadikan kelongsoran pada timbunan. Dalam hal pemampatan tanah dasar dengan pemberian beban *preloading* di atasnya, Semakin tinggi timbunan yang digunakan maka semakin cepat juga pemampatan tanah yang akan terjadi, akan tetapi dalam menentukan tinggi timbunan juga harus melalui perhitungan terlebih dahulu. Dengan mengklasifikasikan tinggi timbunan sebagai berikut:

1. Tinggi Timbunan Awal

Perencanaan tinggi timbunan pada awal pelaksanaan, berbeda dengan tinggi timbunan rencana untuk perkerasan jalan tersebut, dikarenakan pada tinggi timbunan awal berperan sebagai beban untuk memampatkan tanah. Oleh karena itu tinggi timbunan awal lebih tinggi daripada tinggi timbunan rencananya. Timbunan awal dapat dihitung dengan persamaan sebagai berikut :

$$q = (H_{\text{initial}} - S_c)\gamma_{\text{timb}} + S_c \cdot \gamma'_{\text{timb}} \quad (2.11)$$

$$q = (H_{initial} X \gamma_{timb}) - (Sc X \gamma_{timb}) + (Sc \cdot \gamma'_{timb}) \quad (2.12)$$

$$H_{initial} = \frac{q + (Sc X \gamma_{timb}) - (Sc \cdot \gamma'_{timb})}{\gamma_{timb}} \quad (2.13)$$

$$H_{Akhir} = H_{initial} - Sc \quad (2.14)$$

Keterangan :

$H_{initial}$ = tinggi timbunan awal

H_{Akhir} = tinggi timbunan akhir

Sc = total penurunan tanah akibat timbunan H

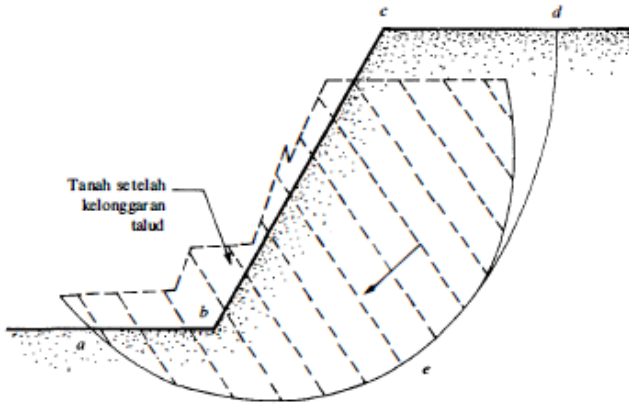
γ'_{Timb} = berat volume efektif material timbunan

2. Tinggi Timbunan Kritis

Tinggi timbunan kritis merupakan tinggi yang menyebabkan stabilitas timbunan kurang dari angka keamanan adalah 1,2. Tinggi timbunan kritis dapat diperiksa melalui software – software. Terdapat beberapa software yang dapat menganalisa tinggi timbunan kritis, jari-jari bidang longsor, koordinat bidang longsor, angka keamanan (SF), dan momen penahan dari tanah yaitu *Geoslope*, *Xstable*, dan lain – lain. Untuk analisa stabilitas timbunan pada proyek akhir terapan ini Penulis menggunakan program bantu *Geoslope*.

3. Kelongsoran Timbunan

Kelongsoran timbunan dapat terjadi jika tinggi timbunan mencapai batas maksimal (kritis), Kelongsoran terjadi karena gaya dorong yang berasal dari timbunan melampaui gaya berlawanan yang berasal dari kekuatan geser tanah sepanjang bidang longsor. Ilustrasi bidang longsor pada timbunan ditunjukkan pada gambar 2.9 sebagai berikut:



Gambar 2. 9 Bidang luncur pada kelongsoran timbunan

(Sumber : Braja M. Das Jilid 2)

Timbunan dapat dikatakan longsor jika angka keamanannya (SF) $< 1,2$ apabila $SF = 1,2$ maka timbunan tersebut mencapai keadaan kritis, apabila $SF > 1,2$ timbunan tersebut aman dan tidak mengalami kelongsoran. Untuk menentukan angka keamanan dari suatu timbunan dapat menggunakan persamaan sebagai berikut :

$$F_S = \frac{\tau_f}{\tau_d} \quad (2.15)$$

Keterangan :

- F_S = angka keamanan
- τ_f = kekuatan geser rata – rata dari tanah
- τ_d = tegangan geser rata – rata yang bekerja sepanjang bidang longsor.

(τ_f) kekuatan geser rata tanah terdiri dari dua komponen, yaitu kohesi dan geseran, dapat dituliskan dengan persamaan berikut :

$$\tau_f = c + \sigma \tan \theta \quad (2.16)$$

Keterangan :

- c = kohesi
 σ = tegangan normal rata – rata pada permukaan bidang longsor
 θ = sudut geser tanah

Untuk perhitungan tegangan geser rata – rata yang bekerja sepanjang bidang longsor (τ_d) dapat dihitung dengan persamaan berikut :

$$\tau_d = C_d + \sigma \tan \theta_d \quad (2.17)$$

Pada umumnya untuk harga dari angka keamanan terhadap kekuatan geser dapat diterima untuk merencanakan stabilitas timbunan adalah senilai 1,2.

4. Faktor yang Menyebabkan Terjadinya Kelongsoran

Faktor – faktor penyebab dari kelongsoran pada timbunan yang dapat dibagi menjadi dua kelompok besar (Terzaghi, 1950) adalah :

a. Faktor Dari Luar

Faktor ini disebabkan karena meningkatnya tegangan geser yang terjadi pada tanah sehingga faktor keamanannya menjadi turun ($f_k < 1,2$). Hal ini dapat disebabkan oleh :

1. Turunnya tegangan horizontal tanah
2. Peningkatan tegangan vertikal tanah
3. Gempa bumi

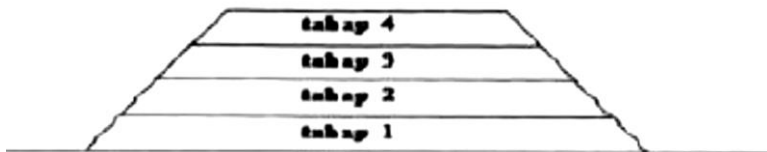
b. Faktor Dari Dalam

Faktor ini disebabkan oleh penurunan kekuatan geser tanah yang disebabkan oleh:

1. Peningkatan kadar air yang terjadi pada tanah lempung
2. Struktur geologi dan keadaan geometri talud
3. Absorpsi oleh mineral lempung yang biasanya diikuti oleh penurunan harga kohesi tanah
4. Penyusutan tanah lempung
5. Perubahan berat volume dan tekanan air pori tanah

B. Timbunan Secara Bertahap dan Besar Pemampatan Tanah

Pelaksanaan timbunan dilapangan pasti dilaksanakan secara bertahap dengan asumsi kecepatan penimbunan 50 cm/minggu dan untuk memadatkan tanah timbunan secara optimal alat berat dapat memadatkan tanah timbunan setinggi 25 cm/ 4 hari sedangkan untuk maksimalnya setinggi 30 cm dan proses penimbunan bertahap harus sangat diperhatikan, agar timbunan kritis (H_{cr}) tidak terjadi kelongsoran.



Gambar 2. 10 Ilustrasi penimbunan secara bertahap

(Sumber : Modul ajar perbaikan tanah, 2012)

Besar pemampatan tanah yang terjadi akibat penimbunan secara bertahap adalah dengan persamaan sebagai berikut:

$$\text{Apabila } P'_{o} + \Delta p_1 \leq P_c$$

$$S_c = \left[\frac{C_s}{1+e_0} \log \left(\frac{P'_{o(i)} + \Delta p_1}{P'_{o(i)}} \right) \right] H_i \quad (2.18)$$

Apabila $P'_{o} + \Delta p_1 + \Delta p_2 > P_c$

$$S_c = \frac{C_s H}{1+e_0} \log \frac{P'_{rc}}{P'_{ro} + \Delta p_1} + \frac{C_c H}{1+e_0} \log \left(\frac{P'_{ro} + \Delta p_1 + \Delta p_2}{P'_{rc}} \right) \quad (2.19)$$

Apabila $P'_{o} + \Delta p_1 + \Delta p_2 + \Delta p_3 > P_c$

$$S_c = \frac{C_c H}{1+e_0} \log \left(\frac{P'_{ro} + \Delta p_1 + \Delta p_2 + \Delta p_3}{P'_{ro} + \Delta p_1 + \Delta p_2} \right) \quad (2.20)$$

Keterangan :

C_c = indeks pemampatan (*compression index*)

C_s = indeks pemuaiian (*swelling index*)

P'_{o} = tegangan efektif *overburden*

Δp = penambahan tekanan vertical

e_0 = angka pori

C. Peningkatan Daya Dukung Tanah Akibat Beban Timbunan

Peningkatan daya dukung tanah akan terjadi apabila beban preload diletakkan pada tanah secara bertahap hingga tinggi timbunan kritis, karena pori – pori yang terdapat di tanah dasar akan tertekan sehingga keluar dan menjadikan menurunnya jumlah pori. Untuk dapat mengetahui peningkatan daya dukung tanah yang terjadi dihitung dengan persamaan menurut Ardana dan Mochtar:

Untuk PI yang memiliki harga $< 120\%$

$$C_u \text{ baru} = 0,0737 + [0,1899 - 0,0016 PI] x \sigma' \quad (2.21)$$

Untuk PI yang memiliki harga $\geq 120\%$

$$C_u \text{ baru} = 0,0737 + [0,0454 - 0,00004 PI] x \sigma' \quad (2.22)$$

Keterangan :

Cu baru = daya dukung tanah setelah beban timbunan (kg/cm^2)

PI = indeks plastisitas tanah

σ' = tegangan yang terjadi pada lapisan tanah (kg/cm^2)

Untuk harga σ' yang berubah sesuai dengan waktu pemampatan dapat dicari dengan persamaan menurut Ardana dan Mochtar (1999)

$$\sigma'_p = \left(\frac{Po' + \Delta p'}{Po'} \right)^U \cdot Po' \quad (2.23)$$

Keterangan :

Po' : tegangan *overburden* efektif

σ'_p : tegangan terhadap vertikal efektif

$\Delta p'$: penambahan beban vertikal pada lapisan yang ditinjau akibat beban timbunan

Bila : $U = 100\% = 1$, maka persamaan (2.23) dapat didistribusikan menjadi

$$\sigma'_p = Po' + \Delta p'$$

$$U < 100\% = \text{maka } \sigma'_p < Po' + \Delta p'$$

D. Analisa Stabilitas Timbunan dengan Menggunakan Software Geoslope

Terdapat beberapa software yang dapat menganalisa tinggi timbunan kritis, jari-jari bidang longsor, koordinat bidang longsor, angka keamanan (SF), dan momen penahan dari tanah untuk stabilitas timbunan yaitu *Geoslope*, *Xstable*, dan lain – lain. Untuk analisa stabilitas timbunan pada proyek akhir terapan ini Penulis menggunakan program bantu *Geoslope*.

E. Waktu Pemampatan Tanah Dasar dengan Preloading

Proses pemampatan pada tanah lempung yang tebal membutuhkan waktu yang sangat lama. Sehingga menggunakan perbandingan yang menghubungkan antara pemampatan tanah pada saat t (waktu) dengan pemampatan total yang terjadi yang disebut dengan derajat konsolidasi. Nilai dari derajat konsolidasi memiliki *range* antara 0% sampai 100%. Waktu pemampatan tanah dasar dengan beban di atasnya dapat dihitung dengan cara:

$$t = \frac{(Hdr)^2 T}{Cv} \quad (2.24)$$

Perhitungan tersebut untuk menghitung pemampatan tanah dasar dengan *single drainage*, yang berarti keluarnya air pori ke lapisan yang lebih porous (lolos air) dengan satu drainase saja, atau air pori hanya keluar melalui satu arah vertical, hanya mengarah ke atas atau hanya mengarah ke bawah, sedangkan untuk *double drainage* mempunyai makna keluarnya air pori ke lapisan yang lebih porous (lolos air) dengan dua drainase, atau air pori dapat keluar melalui 2 arah vertical (atas dan bawah) sekaligus. Dalam hal durasi *double drainage* merupakan pilihan yang tepat dalam proses pemampatan tanah dasar dengan *preloading*.

$$t = \frac{\left(\frac{(Hdr)^2 T}{2}\right)}{Cv} \quad (2.25)$$

Perhitungan tersebut untuk menghitung pemampatan tanah dasar dengan *double drainage*.

Keterangan :

- t = waktu pemampatan tanah dasar yang dibutuhkan
- T = faktor waktu yang bergantung dengan besaran derajat konsolidasi
- Hdr = panjang aliran air pori untuk keluar dari dalam tanah
- Cv = koefisien konsolidasi air pori tanah arah vertikal

Untuk tanah berlapis – lapis dengan ketebalan dan harga C_v yang berbeda, maka harga C_v gabungan dapat dicari dengan formula sebagai berikut:

$$C_v \text{ gabungan} = \frac{(H_1+H_2+\dots+H_n)^2}{\left[\frac{H_1}{\sqrt{C_{v1}}} + \frac{H_2}{\sqrt{C_{v2}}} + \dots + \frac{H_n}{\sqrt{C_{vn}}}\right]^2} \quad (2.26)$$

Perhitungan faktor waktu untuk derajat konsolidasi dengan nilai 0 – 60 % dirumuskan dengan :

$$T = \frac{\pi}{4} \cdot U^2 = \frac{\pi}{4} \left(\frac{u\%}{100}\right)^2 \quad (2.27)$$

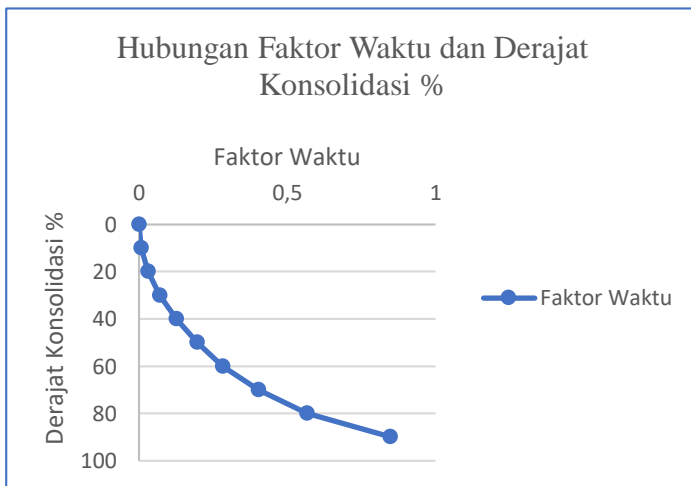
Untuk derajat konsolidasi dengan nilai > 60% dirumuskan dengan :

$$T = 1.781 - 0.933 \log (100 - U\%) \quad (2.28)$$

Dengan persamaan (2.27) dan (2.28) tersebut dapat ditabelkan seperti berikut untuk memudahkan perhitungan dari waktu pemampatan tanah dasar.

Tabel 2. 3 Faktor Waktu terhadap Variasi dari Derajat Konsolidasi

| Derajat Konsolidasi % | Faktor Waktu |
|-----------------------|--------------|
| 0 | 0 |
| 10 | 0.00785 |
| 20 | 0.0314 |
| 30 | 0.07065 |
| 40 | 0.1256 |
| 50 | 0.19625 |
| 60 | 0.2826 |
| 70 | 0.4028459 |
| 80 | 0.567139 |
| 90 | 0.848 |
| 100 | - |



Grafik 2. 1 Hubungan Faktor Waktu terhadap Variasi Derajat Konsolidasi

2.3.3 Percepatan Perbaikan Tanah dengan Metode *Pre Fabricated Vertical Drain (PVD)*

Pemampatan konsolidasi yang terjadi pada tanah lempung dengan hanya diberi pembebanan preloading di atasnya berlangsung sangat lambat. Oleh sebab itu solusi yang diambil untuk mengatasi permasalahan dari lamanya durasi pemampatan adalah melakukan percepatan perbaikan tanah dengan metode Preloading ditambahkan dengan pemasangan prefabricated vertical drain (PVD). Dengan adanya vertical drain maka air pori tanah tidak hanya mengalir keluar arah vertical saja tetapi juga arah horizontal, vertical drain mempunyai beberapa macam, diantaranya:

- a) Kolom Pasir
Vertical drain terbuat dari tiang – tiang pasir yang dimasukkan ke dalam tanah dengan bantuan pipa bergetar.
- b) *Prefabricated Vertical Drain*
PVD terbuat dari bahan *geosynthetic*s yang diproduksi dipabrik, bahan ini dapat mengalirkan air dengan baik dan cepat.

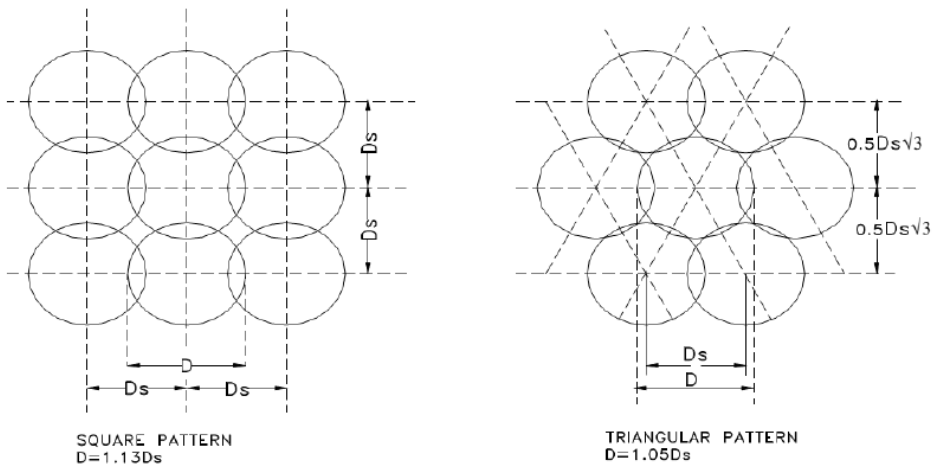
Untuk penulisan proyek akhir terapan ini akan membahas formula untuk PVD saja, dikarenakan PVD lebih umum digunakan di lapangan dibandingkan dengan kolom pasir yang jauh lebih rumit pemasangannya dan lebih mahal biayanya.

A. Menentukan Kedalaman Optimal PVD

PVD dapat dipasang hingga kedalaman tanah *compressible* untuk mengatasi penurunan akibat pemampatan tanah. Namun dengan mempertimbangkan biaya dan waktu pengerjaan, PVD dapat juga dipasang tidak mencapai seluruh tanah *compressible*. Hal ini dapat terjadi bila penurunan yang terjadi setelah pemampatan dengan PVD (Pemampatan Sisa) dilapis lagi dengan pelaksanaan *overlay* dalam kurun waktu tertentu. Untuk menentukan kedalaman optimal PVD dapat dilakukan dengan mencoba berbagai kedalaman PVD [1].

B. Pola Pemasangan PVD

Cara pemasangan PVD terdapat 2 pola, yaitu pola segitiga dan pola segiempat. Pola segitiga (**Gambar 2.11**) mengacu pada bentuk pola pemasangan titik-titik PVD yang dipasang sehingga membentuk pola segitiga, sedangkan pola segiempat (**Gambar 2.11**) berdasarkan bentuk pola pemasangan titik-titik PVD yang dipasang sehingga bentuk pola berupa segiempat. Apabila meninjau pada daerah cakupan drainase air tanah akibat pemasangan PVD, pola segitiga sangat efektif digunakan karena daerah yang tercakup bias hampir mendekati dengan daerah tangkap titik PVD yang lain sehingga hanya menyisakan daerah tak terdrainase yang kecil. Apabila dibandingkan dengan pola segiempat, daerah yang tercakup menyisakan sisa luas yang masih besar sehingga nantinya konsolidasi berjalan tidak maksimal.



Gambar 2. 11 Pola pemasangan Prefabricated Vertical Drain (PVD)

(Sumber :

<https://reader001.docslide.net/reader001/html5/20170731/55cf881955034664618d5c90/bg3.png>)

C. Waktu Konsolidasi dengan Menggunakan PVD

Sistem drainase vertikal sangat efektif untuk mempercepat konsolidasi dari tanah kompresif (seperti lempung atau lempung berlanau) sehingga dapat memperpendek periode konstruksi. Sistem drainase vertikal telah dijelaskan oleh Baron (1948) berdasarkan teori aliran arah vertikal yang menggunakan asumsi teori Terzaghi tentang konsolidasi linier satu dimensi. Teori Barron tersebut menetapkan hubungan antara waktu, diameter drain, jarak antar drain, koefisien konsolidasi dan rata – rata derajat konsolidasi. [3] Penentuan waktu konsolidasi dari teori ini dapat dibuat persamaan sebagai berikut :

$$t = \left(\frac{D^2}{8.C_h} \right) \cdot F(n) \cdot \ln \left(\frac{1}{1-U_h} \right) \quad (2.29)$$

Keterangan :

- T = waktu yang diperlukan untuk mencapai U_h
 D = diameter ekivalen dari lingkaran tanah yang merupakan daerah pengaruh dari vertical drain
 = 1.13 x S, untuk pola susunan bujur sangkar, dan
 = 1.05 x S, untuk pola susunan segitiga
 Ch = koefisien konsolidasi tanah akibat aliran air pori arah radial, Ch berkisar 2 sampai 5 kali Cv
 Uh = derajat konsolidasi tanah akibat aliran air arah radial

Diameter equivalent untuk PVD

$$d_w = \frac{2(a+b)}{\pi} \quad (2.30)$$

Persamaan (2.24) oleh Barron diatas kemudian dikembangkan lagi oleh Hansbo (1979) untuk PVD. Teori Hansbo tersebut mendekati teori Barron, tetapi lebih disederhanakan dengan memasukkan dimensi fisik dan karakteristik dari PVD. Oleh Hansbo (1979) harga F(n) didefinisikan sebagai berikut:

$$F(n) = (n^2/(n^2-1)) \times (\ln(n) - 3/4 - (1/4 n^2)) \quad (2.31)$$

Keterangan :

$$n = D/dw$$

2.4 Perkuatan Timbunan menggunakan Geotekstile

Tinggi timbunan kritis yang mengakibatkan kelongsoran pada timbunan dapat diatasi dengan menggunakan geotekstile sebagai perkuatan timbunan. Perencanaan jumlah geotekstile sebagai perkuatan tergantung pada besar peningkatan momen perlawanan (ΔMR) yang direncanakan. Perhitungan untuk mencari (ΔMR) dapat menggunakan persamaan berikut:

$$\Delta MR = (MD \times SF) - MR \quad (2.32)$$

dimana :

MR = momen *resistance* (momen penahan) didapatkan pada hasil *Geoslope*

ΔMR = momen penahan tambahan yang harus dipikul oleh geotekstile

MD = momen dorong $\left(\frac{MR}{SF}\right)$ atau didapatkan pada hasil *Geoslope*

SF = angka keamanan (didapatkan dengan program bantu *Geoslope*, *Xstable* atau program sejenis lainnya)

Untuk menghitung besarnya kekuatan geotekstile yang diizinkan digunakan persamaan berikut:

$$T_{allow} = \frac{T}{FS_{id} \times FS_{cr} \times FS_{cd} \times FS_{bd}} \quad (2.33)$$

dimana :

T_{allow} = kekuatan geotekstile yang tersedia

T = kekuatan tarik maksimum geotekstile yang digunakan

FS_{id} = faktor keamanan terhadap kerusakan pada pemasangan (untuk timbunan = 1,1 – 2,0) \rightarrow digunakan = 1,5

FS_{cr} = faktor keamanan terhadap kerusakan akibat rangkai

- (untuk timbunan = 2,0 – 3,0) → digunakan = 3,0
- FS_{cd} = faktor keamanan terhadap kerusakan akibat bahan-bahan kimia (untuk timbunan = 1,1 – 1,5) → digunakan = 1,25
- FS_{bd} = faktor keamanan terhadap kerusakan akibat aktifitas biologi dalam tanah (untuk timbunan = 1,1 – 1,5) → digunakan = 1,25

Tabel 2. 4 Angka Keamanan Penggunaan Geotekstile

| Penggunaan Geotextile | Faktor Pemasangan, FS_{id} | Faktor Rangkap, FS_{cr} | Faktor Kimia, FS_{cd} | Faktor Biologi, FS_{bd} |
|-----------------------|------------------------------|---------------------------|-------------------------|---------------------------|
| Separation | 1,1 – 2,5 | 1,1 – 1,2 | 1,0 – 1,5 | 1,0 – 1,2 |
| Cushioning | 1,1 – 2,0 | 1,2 – 1,5 | 1,0 – 2,0 | 1,0 – 1,2 |
| Unpaved Roads | 1,1 – 2,0 | 1,5 – 2,5 | 1,0 – 1,5 | 1,0 – 1,2 |
| Walls | 1,1 – 2,0 | 2,0 – 4,0 | 1,0 – 1,5 | 1,0 – 1,3 |
| Embankments | 1,1 – 2,0 | 2,0 – 3,0 | 1,0 – 1,5 | 1,0 – 1,3 |
| Bearing Capacity | 1,1 – 2,0 | 2,0 – 4,0 | 1,0 – 1,5 | 1,0 – 1,3 |
| Slope Stabilization | 1,1 – 1,5 | 1,5 – 2,0 | 1,0 – 1,5 | 1,0 – 1,3 |
| Pavement Overlays | 1,1 – 1,5 | 1,0 – 1,2 | 1,0 – 1,5 | 1,0 – 1,1 |
| Railroads | 1,5 – 3,0 | 1,0 – 1,5 | 1,5 – 2,0 | 1,0 – 1,2 |
| Flexible Form | 1,1 – 1,5 | 1,5 – 3,0 | 1,0 – 1,5 | 1,0 – 1,1 |
| Silt Fences | 1,1 – 1,5 | 1,5 – 2,5 | 1,0 – 1,5 | 1,0 – 1,1 |

Untuk menghitung kebutuhan panjang *Geotextile* di belakang bidang longsor (L_e), di depan bidang longsor (L_d), dan panjang lipatan (L_o) digunakan persamaan berikut :

$$T_{allow} \times FS = (\tau_1 + \tau_2) \times L_e \times E \quad (2.34)$$

$$L_e = \frac{T_{allow} \times FS}{(\tau_1 + \tau_2) \times E} \quad (2.35)$$

di mana :

L_e = panjang geotekstile di belakang bidang longsor

τ_1 = tegangan geser antara tanah timbunan dengan geotekstile ($C_{u1} + \sigma_v \tan \phi_1$)

τ = tegangan geser antara tanah dasar dengan geotekstile ($C_{u2} + \sigma_v \tan \phi_2$)

E = efisiensi, diambil $E = 0,8$

Untuk menghitung panjang geotekstile di depan bidang longsor (L_D), panjang geotekstile tersebut dapat dihitung dengan bantuan output dari program bantu *Geoslope* dengan cara:

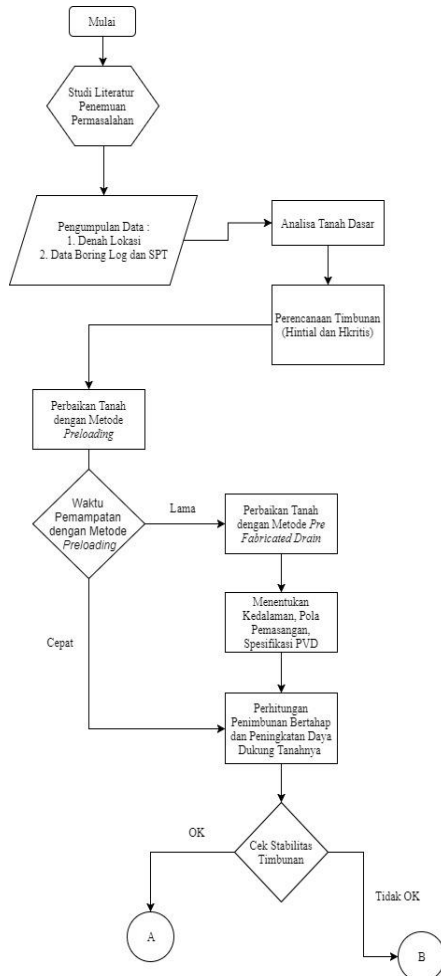
$$L_D = (\text{Koordinat X bidang longsor lapisan i geotekstile terpasang}) - (\text{koordinat tepi timbunan lapisan i geotekstile dipasang}) \quad (2.36)$$

Untuk menghitung panjang total geotekstile yakni dengan cara menambahkan $(L_e + L_D) \times 2$ dikarenakan total lebar timbunan.

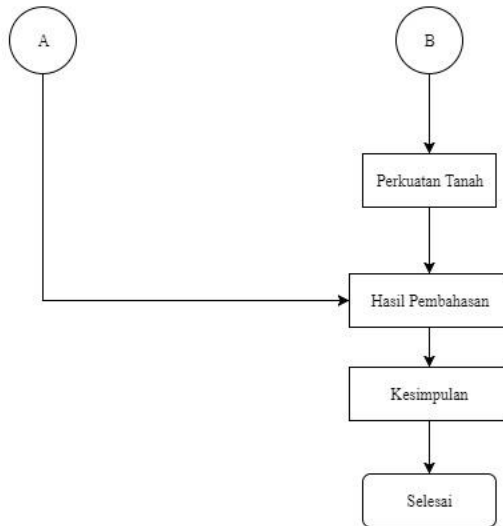
BAB III METODOLOGI

3.1 Bagan Alir Pekerjaan Proyek Akhir Terapan

Pada subbab 3.1 tersebut merupakan bagian yang menjelaskan langkah – langkah pengerjaan proyek akhir terapan tersebut, gambar 3.1 merupakan penjelasan tentang diagram alir langkah – langkah pengerjaan.



Gambar 3. 1 Diagram alir langkah - langkah pengerjaan proyek akhir terapan



Gambar 3. 2 Diagram alir langkah – langkah pengerjaan proyek akhir terapan (lanjutan)

3.2 Studi Literatur

Berdasarkan pengertiannya studi literatur merupakan teknik pengumpulan data dengan cara melakukan penelaahan terhadap berbagai buku, literatur, catatan, serta berbagai laporan yang berkaitan dengan masalah yang ingin dipecahkan. (menurut nazir 1988). Dengan mempelajari dan menelaah dari beberapa referensi yang diambil maka dapat mempermudah dalam pengerjaan proyek akhir terapan tersebut. Berikut merupakan teori – teori yang menunjang pengerjaan pada proyek akhir terapan tersebut :

1. Teori Pengolahan Data Tanah
2. Teori Perencanaan Timbunan
3. Teori Analisa Stabilitas Timbunan
4. Teori Waktu Konsolidasi Tanpa PVD
5. Teori Perencanaan *PreFabricated Vertical Drain*
6. Teori Perkuatan Timbunan
7. Teori Perhitungan Biaya Material

3.3 Pengolahan Data dan Analisa Tanah di Lapangan

Data – data yang digunakan dalam pengerjaan proyek akhir terapan tersebut, data sekunder dari PT. Wijaya Karya (Persero) Tbk. Sebagai kontraktor pelaksana proyek pembangunan jalan tol Porong – Gempol, data yang digunakan meliputi:

1. Data tanah dasar bor laboratorium
2. Data beban lalu lintas
3. Denah lokasi proyek
4. Kurva S pekerjaan pondasi bawah
5. Rencana Biaya Pekerjaan

Analisa tanah merupakan tahapan penganalisaan data tanah dasar yang ada di lapangan untuk mengetahui klasifikasi tanah dan kedalaman tanah lunak.

3.4 Perencanaan Timbunan

Berdasarkan hasil data yang telah diolah dengan cara merata – rata data tersebut selanjutnya digunakan untuk merencanakan timbunan *preloading* melalui tahap – tahap sebagai berikut:

3.4.1 Perhitungan Tinggi Timbunan Awal (H_{inisial}) dan Tinggi Timbunan Akhir (H_{final})

Terdapat tahapan dalam perhitungan tinggi timbunan awal (H_{inisial}) dan tinggi timbunan akhir (H_{final}) sebagai berikut:

a. Pembagian Lapisan Tanah *Compressible*

Membagi lapisan tanah *compressible* bertujuan untuk mengetahui penurunan konsolidasi yang terjadi di setiap tebal lapisan tanah. Untuk menentukan ketebalan lapisan tanah dapat diasumsikan sendiri. Pembuatan stratigrafi tanah berdasarkan data *bor log* yang terlampir pada lampiran 1 s.d 5 merupakan tahap yang bertujuan untuk mengetahui kedalaman tanah *compressible*.

b. Tegangan *Overburden* Efektif

Besaran tegangan *overburden* efektif pada setiap kedalaman tanah berbeda, hasil dari perhitungan *overburden* efektif tersebut bertujuan untuk mengetahui jenis klasifikasi tanah serta kedalamannya melalui perhitungan *overconsolidation ratio*. Persamaan yang digunakan pada tahap ini adalah Persamaan (2.3) s.d. (2.4).

c. Penambahan Tegangan (Δp)

Tambahan tegangan akibat pengaruh beban timbunan yang ditinjau di tengah – tengah lapisan sama seperti besaran tegangan *overburden* efektif. Mengacu pada gambar 2.8 dan menggunakan persamaan (2.10) besaran penambahan tegangan pada setiap tebal lapisan tanah didapat.

d. Menentukan Jenis Lapisan Tanah pada Tanah *Compressible*

Menentukan jenis lapisan tanah pada tanah *compressible* dengan cara menghitung *overconsolidation ratio*. Untuk

menghitung *overconsolidation ratio* dengan hasil dari penambahan tegangan (Δp) dan tegangan *overburden* efektif yang kemudian disubstitusikan dalam persamaan (2.2). Apabila hasil OCR > 1 maka tanah termasuk jenis lapisan tanah yang terkonsolidasi lebih (*Overconsolidated*), akan tetapi jika hasil OCR < 1 , maka tanah tersebut termasuk jenis lapisan tanah yang terkonsolidasi normal (*Normally Consolidated*).

e. Penurunan (*settlement*) pada Setiap Kedalaman Tanah

Pada setiap kedalaman tanah yang telah dibagi melalui pembagian tanah *compressible* (poin a) mempunyai besaran penurunan. Tahapan untuk mendapatkan besaran penurunan yang terjadi pada setiap kedalaman tanah yakni menggunakan persamaan yang sesuai dengan jenis tanahnya. Apabila lapisan tanah termasuk tanah yang terkonsolidasi lebih, maka persamaan yang digunakan untuk menghitung penurunan yaitu persamaan (2.8) dan (2.9). akan tetapi jika lapisan tanah termasuk tanah yang terkonsolidasi normal, maka persamaan yang digunakan untuk menghitung penurunan yaitu persamaan (2.7). dan untuk mengetahui penurunan total yang terjadi yaitu dengan cara menambahkan semua hasil penurunan yang terjadi pada setiap kedalaman tanah.

f. Menentukan Tinggi Timbunan Awal (H_{inisial}) dan Tinggi Timbunan Akhir (H_{final})

Untuk menentukan tinggi timbunan awal dan tinggi timbunan akhir dengan menggunakan persamaan (2.13) dan (2.14) dengan hasil dari perhitungan poin a – poin e yang disubstitusikan ke persamaan tersebut.

3.5 Analisa Stabilitas Timbunan dengan Menggunakan Program Bantu *Geoslope*

Setiap ketinggian timbunan harus diperiksa kestabilannya agar tidak terjadi kelongsoran timbunan, pada proyek akhir terapan ini untuk memeriksa stabilitas timbunan, menggunakan program bantu *Geoslope* dengan tujuan hasil angka keamanan (SF) $\geq 1,2$.

3.6 Waktu Pemampatan Tanah dengan Beban Preloading

Pada perhitungan waktu penurunan tanah dengan beban preloading tersebut persamaan yang digunakan adalah persamaan (2.24) s.d (2.28), apabila hasil dari perhitungan tersebut menghasilkan waktu penurunan yang sangat lama, maka tanah tersebut harus diperbaiki. Selain dari hasil penurunan yang sangat lama, perbaikan tanah dasar dilakukan apabila penurunan pada tahun pertama melebihi *rate of settlement* yakni 1,5 cm/tahun.

3.7 Perencanaan Perbaikan Tanah Dasar

Perencanaan perbaikan tanah dasar meliputi dari beberapa pekerjaan, yakni :

1. Perhitungan waktu pemampatan tanah dasar dengan metode *Preloading* dan daya dukung tanahnya
2. Perhitungan percepatan pemampatan dengan metode *Prefabricated Vertical Drain* dengan meninjau spesifikasi PVD, pola pemasangan PVD, jarak antar PVD

3.8 Penimbunan Secara Bertahap serta Penurunannya

Pada tahap berikut merupakan perhitungan penurunan akibat beban timbunan secara bertahap, dengan hasil penurunan yang lebih kecil dari penurunan akibat beban timbunan secara langsung (poin 3.6) dikarenakan pada timbunan secara bertahap memiliki umur timbunan, berdasarkan dengan umur timbunan maka kenaikan daya dukung tanah terjadi, untuk mendapatkan hasil dari perhitungan pada tahap ini, dengan menggunakan persamaan (2.18) s.d (2.20). Untuk kondisi tanah terkonsolidasi normal menggunakan persamaan (2.18) untuk tanah terkonsolidasi berlebih menggunakan persamaan (2.19) dan (2.20) bergantung dengan nilai P_o dan P_c .

3.9 Perkuatan pada Timbunan dengan Geotekstile

Perkuatan pada timbunan dengan geotekstile diperlukan karena hasil dari analisa stabilitas timbunan menghasilkan angka keamanan yang kurang dari 1,2. Persamaan yang digunakan dalam menghitung kebutuhan geotekstile, panjang geotekstile adalah persamaan (2.32) s.d (2.36).

3.10 Hasil Pembahasan

Perencanaan yang digunakan pada permasalahan perbaikan tanah pada proyek pembangunan jalan tol Porong – Gempol, maka didapatkan hasil dari berbagai subjek pembandingan seperti pola pemasangan PVD, jarak antar PVD, dan kedalaman PVD dengan variable biaya dan waktu pelaksanaan terhadap perhitungan pekerjaan pondasi bawah yang direncanakan PT. Wijaya Karya (Persero) Tbk.

3.11 Kesimpulan

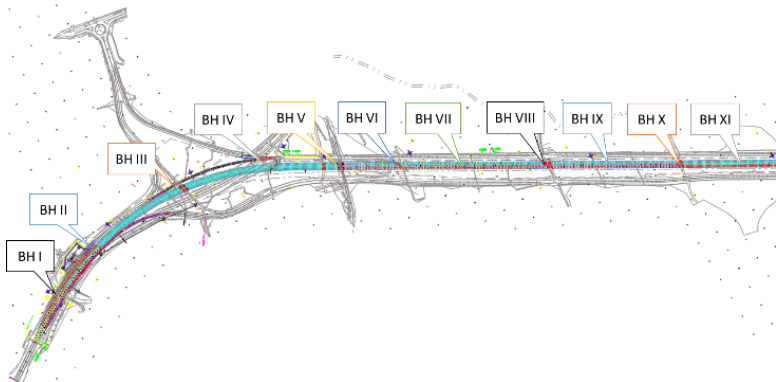
Kesimpulan merupakan penentuan akhir dari pemilihan dari beberapa perbedaan perencanaan dengan meninjau biaya yang ekonomis serta waktu pekerjaan yang lebih singkat, diharapkan perencanaan yang digunakan dapat menjadi solusi yang tepat dalam pemilihan pekerjaan pondasi bawah pada proyek pembangunan jalan tol Porong – Gempol dengan PT. Wijaya Karya (Persero) Tbk. Selaku kontraktor pelaksanaan pembangunan.

“halaman ini sengaja dikosongkan“

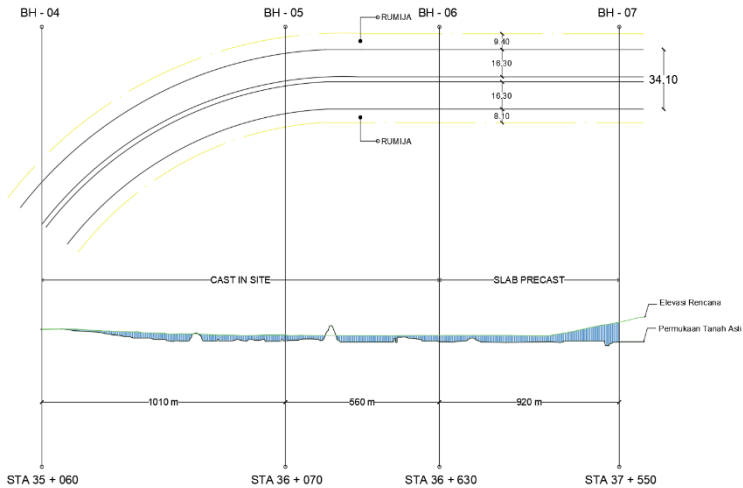
BAB IV DATA DAN ANALISA

4.1 Data Tanah Dasar

Pada perencanaan pembangunan jalan tol dibutuhkan data tanah yang akurat dan pasti, bertujuan dengan perencanaan metode perbaikan tanah yang sesuai dengan data yang diperoleh, Data tanah yang digunakan adalah data tanah hasil pengujian di lapangan dan di laboratorium. PT. Wijaya Karya (Persero) Tbk. menunjuk laboratorium dari Institut Teknologi Sepuluh Nopember dalam penganalisaan tanah di laboratorium. Terdapat 11 *bore hole* yang di ambil dan dijadikan sebagai sampel tanah pada jalan tol porong – gempol paket 1 tersebut, akan tetapi pada proyek akhir terapan ini penulis hanya menghitung perencanaan perbaikan tanah dasar dengan menggunakan PVD pada *bore hole* 4 – 7, dikarenakan pada *bore hole* tersebut masih terdapat kemungkinan untuk mengganti metode perbaikan tanah dasar yang menggunakan tiang pancang pada eksisting dilapangan, dengan perencanaan penulis yaitu menggunakan metode perbaikan tanah dasar dengan *Prefabricated Vertical Drained* (PVD) dan timbunan.



Gambar 4. 1 11 Titik *Bore Hole* yang digunakan sebagai sampel tanah



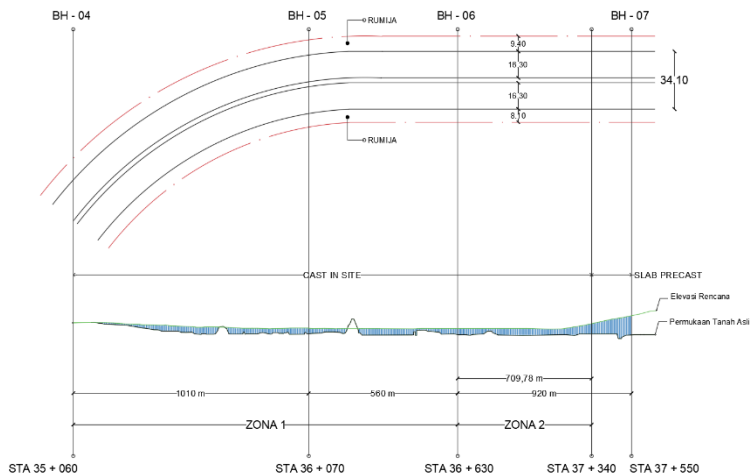
Gambar 4. 2 Denah lokasi BH - 04 s.d BH - 07

Terjadi perubahan desain struktur, pada gambar 4.2 merupakan denah lokasi eksisting BH – 04 s.d BH – 07 dengan menggunakan *slab precast* pada STA 36+630 (BH – 06). sedangkan pada proyek akhir terapan ini menggunakan *slab precast* pada STA 37+340 dikarenakan pada STA 36+630 s.d STA 37+340 masih memungkinkan menggunakan *slab cast in site*. Gambar perubahan desain tersaji pada gambar 4.3.

Data hasil laboratorium akan dianalisa, dimana data-data tanah seluruh *bore hole* akan dianalisa secara grafis sehingga dapat disederhanakan menjadi satu data tanah. Hal tersebut bertujuan untuk mempermudah dalam pemilihan metode perbaikan tanah. Terdapat 2 zona yang terbagi dalam perencanaan perbaikan tanah dasar.

Tabel 4. 1 Pembagian Zona serta Kedalaman Tanah Lunaknya

| Titik BH | STA | ZONA | Kedalaman Tanah Lunak / NSPT ≤ 5 (m) |
|----------|--------|------|---|
| 4 | 35+060 | 1 | 27 |
| 5 | 36+070 | | |
| 6 | 36+630 | | |
| 6 | 36+630 | 2 | 10 |
| | 37+340 | | |

**Gambar 4. 3** Denah, Potongan memanjang, dan Pembagian zona

Pengolahan data tanah laboratorium tersebut tanpa melakukan proses pendekatan statistik maupun korelasi NSPT terhadap C_u , D_r , ϕ (sudut geser dalam tanah), γ (berat volume tanah) dikarenakan terdapat data yang mempunyai C_o – Varian lebih dari 30 % sehingga menjadikan pengolahan data secara statistik menghasilkan ketidakvalidan pada data tanah jika data tersebut digabung menjadi satu data.

Oleh karena itu selain menggunakan metode statistik terdapat metode yang lain, yakni metode pengolahan data untuk

perhitungan selanjutnya dengan merata – rata data tanah laboratorium pada setiap zonanya. Data tanah laboratorium yang akan digunakan dalam perhitungan perbaikan tanah dasar pada proyek pembangunan jalan tol porong – gempol STA 35 + 060 hingga 37 + 340 adalah sebagai berikut :

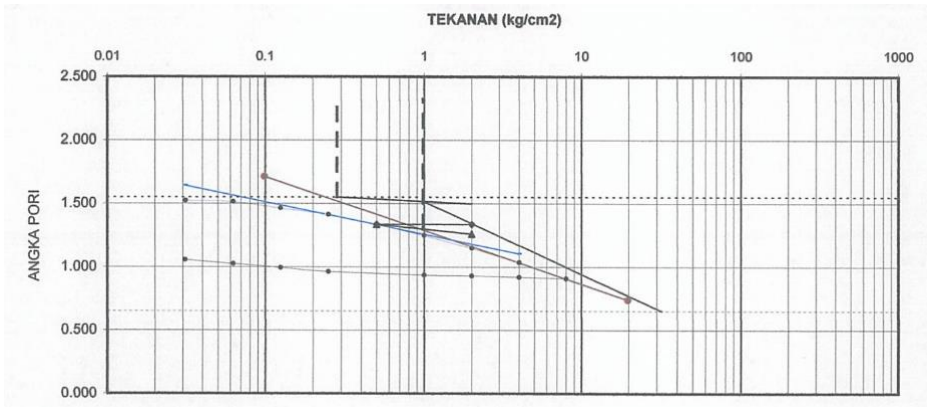
- C_c (koefisien kompresi)
- e (angka pori)
- C_v (koefisien konsolidasi)
- P_p (tekanan prakonsolidasi)
- C (kohesi)
- C_s
- ϕ (sudut geser dalam tanah)

Untuk menentukan nilai C_s berdasarkan tes konsolidasi laboratorium (**Gambar 4.4**) dengan menggunakan persamaan sebagai berikut :

$$C_s = \frac{\Delta e}{\log(2) - \log(1)}$$

$$C_s = \frac{e_2 - e_1}{\log(2) - \log(1)}$$

$$C_s = \frac{1,05 - 0,9}{\log 8 - \log 0,2} = 0,057$$



Gambar 4. 4 Consolidation test BH - 04 (STA 35 + 060)
(Sumber : Data laboratorium bore hole)

Untuk nilai C_s pada *bore hole* selanjutnya beserta kedalamannya akan disajikan dalam bentuk tabel pada tabel 4.4 untuk zona 1 dan tabel 4.7 untuk zona 2.

Tabel 4. 2 Rekapitulasi Data Laboratorium Zona 1

| REKAPITULASI (γ_t), C_c , C_v | | | | | | | | | | | |
|--|--|--------|--------|--------|--------|--------|--------|--------|------------------------------------|---------|---------|
| DEPTH | γ_t (gr/cm^3) | | | | C_c | | | | C_v (cm^2/det) | | |
| | BH - 4 | BH - 5 | BH - 6 | BH - 7 | BH - 4 | BH - 5 | BH - 6 | BH - 7 | BH - 4 | BH - 5 | BH - 6 |
| 0 | | | | | | | | | | | |
| 1 | | | | | | | | | | | |
| 2 | | | | | | | | | | | |
| 3 | | | | | | | | | | | |
| 4 | 1,706 | 1,69 | | | 0,526 | 0,7 | | | 4,5E-05 | 0,0007 | |
| 5 | | | | | | | | | | | |
| 6 | 1,665 | | | 1,64 | 0,539 | | | 0,786 | 0,00066 | | |
| 7 | | | | | | | | | | | |
| 8 | | | 1,664 | | | | 0,955 | | | | 0,00134 |
| 9 | | | | | | | | | | | |
| 10 | 1,683 | | | | 0,571 | | | | 0,00053 | | |
| 11 | | | | | | | | | | | |
| 12 | 1,63 | 1,618 | | | 0,601 | 0,732 | | | 0,00078 | 0,00088 | |
| 13 | | | | | | | | | | | |
| 14 | | | | 1,744 | | | | 0,742 | | | |
| 15 | | | | | | | | | | | |
| 16 | | | 1,707 | | | | 0,965 | | | | 0,0009 |

Tabel 4. 3 Rekapitulasi Data Laboratorium Zona 1 (Lanjutan)

| DEPTH | Angka pori | | | | Tekanan Pra Konsolidasi | | | | Kohesi kg/cm ² | | |
|-------|------------|--------|--------|--------|-------------------------|--------|--------|--------|---------------------------|--------|--------|
| | BH - 4 | BH - 5 | BH - 6 | BH - 7 | BH - 4 | BH - 5 | BH - 6 | BH - 7 | BH - 4 | BH - 5 | BH - 6 |
| 0 | | | | | | | | | | | |
| 1 | | | | | | | | | | | |
| 2 | | | | | | | | | | | |
| 3 | | | | | | | | | | | |
| 4 | 1,274 | 1,468 | | | 0,98 | 1,03 | | | 0,245 | 0,201 | |
| 5 | | | | | | | | | | | |
| 6 | 1,597 | | | 1,585 | 0,98 | | | 1,05 | 0,052 | | |
| 7 | | | | | | | | | | | |
| 8 | | | 1,566 | | | | 1,1 | | | | 0,033 |
| 9 | | | | | | | | | | | |
| 10 | 1,383 | | | | 0,98 | | | | 0,064 | | |
| 11 | | | | | | | | | | | |
| 12 | 1,555 | 1,614 | | | 0,78 | 1,24 | | | 0,13 | 0,036 | |
| 13 | | | | | | | | | | | |
| 14 | | | | 1,277 | | | | 1,05 | | | |
| 15 | | | | | | | | | | | |
| 16 | | | 1,475 | | | | 1,13 | | | | 0,04 |

Tabel 4. 4 Rekapitulasi Data Laboratorium Zona 1 (Lanjutan)

| DEPTH | Sudut Geser Dalam (ϕ) | | | | Cs | | | |
|-------|------------------------------|--------|--------|--------|--------|--------|--------|--------|
| | BH - 4 | BH - 5 | BH - 6 | BH - 7 | BH - 4 | BH - 5 | BH - 6 | BH - 7 |
| 0 | | | | | | | | |
| 1 | | | | | | | | |
| 2 | | | | | | | | |
| 3 | | | | | | | | |
| 4 | 14,18 | 9,53 | | | 0,0384 | 0,0769 | | |
| 5 | | | | | | | | |
| 6 | 16,3 | | | 8,36 | 0,0769 | | | 0,0384 |
| 7 | | | | | | | | |
| 8 | | | 13,04 | | | | 0,0769 | |
| 9 | | | | | | | | |
| 10 | 14,21 | | | | 0,0576 | | | |
| 11 | | | | | | | | |
| 12 | 13,15 | 6,04 | | | 0,0769 | 0,0384 | | |
| 13 | | | | | | | | |
| 14 | | | | 11,61 | | | | 0,0576 |
| 15 | | | | | | | | |
| 16 | | | 12,4 | | | | 0,0384 | |

Tabel 4. 5 Rata – Rata Rekapitulasi Data Laboratorium Zona 1

| Rata - Rata Rekapitulasi data laboratorium zona 1 | | | | | | |
|---|------|---------------------------|-----|-------------------------|-------|-------|
| yt (gr/cm ³) | Cc | Cv (cm ² /det) | e | C (kg/cm ²) | Cs | ∅ |
| 1,670375 | 0,70 | 0,0007 | 1,5 | 0,100125 | 0,060 | 12,36 |

Tabel 4. 6 Rekapitulasi Data Laboratorium Zona 2

| REKAPITULASI (yt), Cc, Cv | | | | | | | | | | | | |
|---------------------------|--------------------------|--------|--------|--------|--------|--------|--------|--------|---------------------------|---------|---------|---------|
| DEPTH | yt (gr/cm ³) | | | | Cc | | | | Cv (cm ² /det) | | | |
| | BH - 4 | BH - 5 | BH - 6 | BH - 7 | BH - 4 | BH - 5 | BH - 6 | BH - 7 | BH - 4 | BH - 5 | BH - 6 | BH - 7 |
| 0 | | | | | | | | | | | | |
| 1 | | | | | | | | | | | | |
| 2 | | | | | | | | | | | | |
| 3 | | | | | | | | | | | | |
| 4 | 1,706 | 1,69 | | | 0,526 | 0,7 | | | 4,5E-05 | 0,0007 | | |
| 5 | | | | | | | | | | | | |
| 6 | 1,665 | | | 1,64 | 0,539 | | | 0,786 | 0,00066 | | | 0,00087 |
| 7 | | | | | | | | | | | | |
| 8 | | | 1,664 | | | | 0,955 | | | | 0,00134 | |
| 9 | | | | | | | | | | | | |
| 10 | 1,683 | | | | 0,571 | | | | 0,00053 | | | |
| 11 | | | | | | | | | | | | |
| 12 | 1,63 | 1,618 | | | 0,601 | 0,732 | | | 0,00078 | 0,00088 | | |
| 13 | | | | | | | | | | | | |
| 14 | | | | 1,744 | | | | 0,742 | | | | 0,00065 |
| 15 | | | | | | | | | | | | |
| 16 | | | 1,707 | | | | 0,965 | | | | 0,0009 | |

Tabel 4. 7 Rekapitulasi Data Laboratorium Zona 2 (Lanjutan)

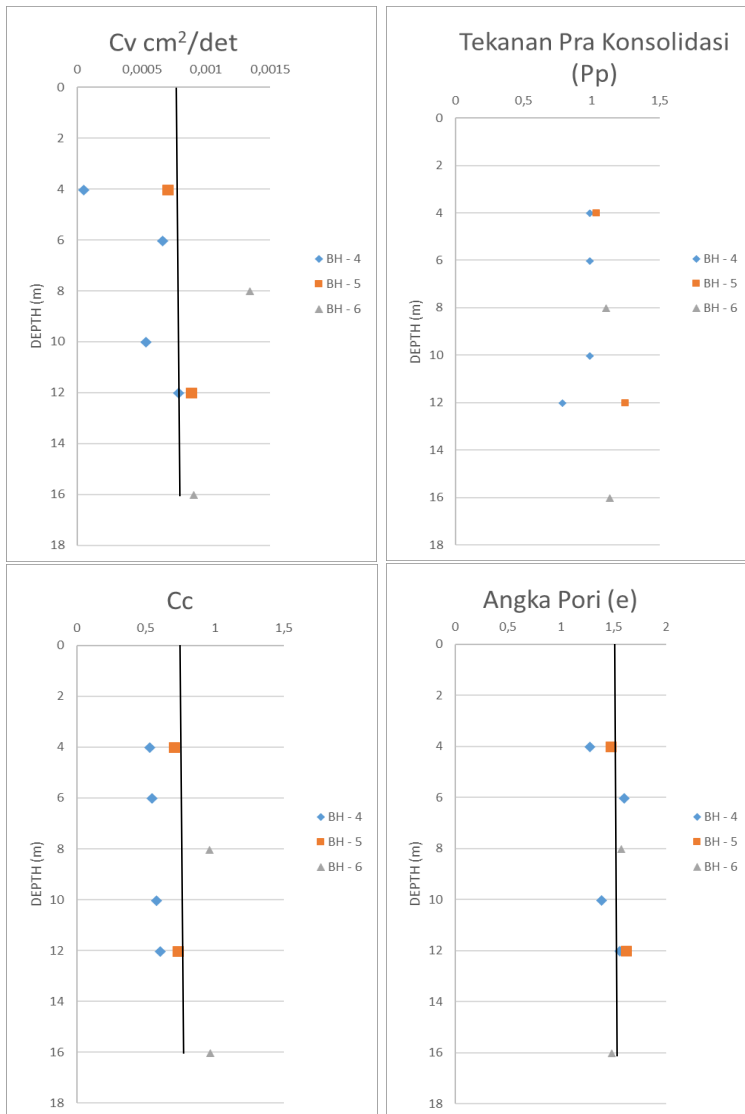
| DEPTH | Angka pori | | | | Tekanan Pra Konsolidasi | | | | Kohesi kg/cm ² | | | |
|-------|------------|--------|--------|--------|-------------------------|--------|--------|--------|---------------------------|--------|--------|--------|
| | BH - 4 | BH - 5 | BH - 6 | BH - 7 | BH - 4 | BH - 5 | BH - 6 | BH - 7 | BH - 4 | BH - 5 | BH - 6 | BH - 7 |
| 0 | | | | | | | | | | | | |
| 1 | | | | | | | | | | | | |
| 2 | | | | | | | | | | | | |
| 3 | | | | | | | | | | | | |
| 4 | 1,274 | 1,468 | | | 0,98 | 1,03 | | | 0,245 | 0,201 | | |
| 5 | | | | | | | | | | | | |
| 6 | 1,597 | | | 1,585 | 0,98 | | | 1,05 | 0,052 | | | 0,092 |
| 7 | | | | | | | | | | | | |
| 8 | | | 1,566 | | | | 1,1 | | | | 0,033 | |
| 9 | | | | | | | | | | | | |
| 10 | 1,383 | | | | 0,98 | | | | 0,064 | | 0,0625 | |
| 11 | | | | | | | | | | | | |
| 12 | 1,555 | 1,614 | | | 0,78 | 1,24 | | | 0,13 | 0,036 | | |
| 13 | | | | | | | | | | | | |
| 14 | | | | 1,277 | | | | 1,05 | | | | 0,201 |
| 15 | | | | | | | | | | | | |
| 16 | | | 1,475 | | | | 1,13 | | | | 0,04 | |

Tabel 4. 8 Rekapitulasi Data Laboratorium Zona 2 (Lanjutan)

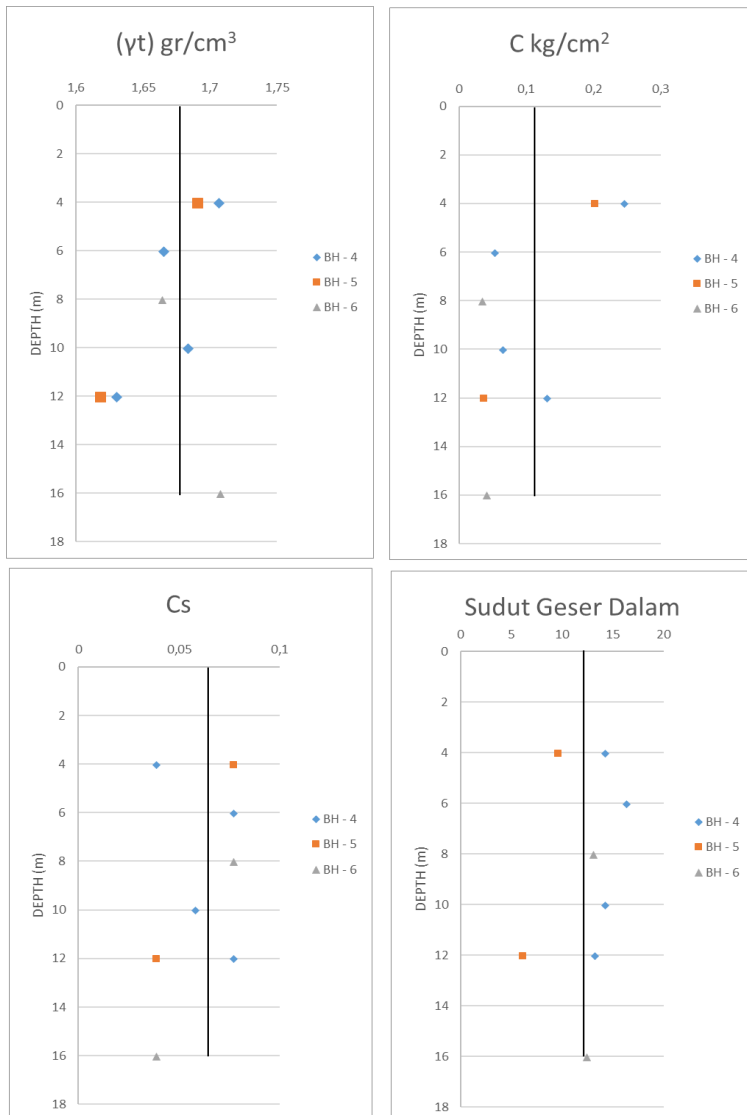
| DEPTH | Sudut Geser Dalam (ϕ) | | | | Cs | | | |
|-------|------------------------------|--------|--------|--------|--------|--------|--------|--------|
| | BH - 4 | BH - 5 | BH - 6 | BH - 7 | BH - 4 | BH - 5 | BH - 6 | BH - 7 |
| 0 | | | | | | | | |
| 1 | | | | | | | | |
| 2 | | | | | | | | |
| 3 | | | | | | | | |
| 4 | 14,18 | 9,53 | | | 0,0384 | 0,0769 | | |
| 5 | | | | | | | | |
| 6 | 16,3 | | | 8,36 | 0,0769 | | | 0,0384 |
| 7 | | | | | | | | |
| 8 | | | 13,04 | | | | 0,0769 | |
| 9 | | | | | | | | |
| 10 | 14,21 | | | | 0,0576 | | | |
| 11 | | | | | | | | |
| 12 | 13,15 | 6,04 | | | 0,0769 | 0,0384 | | |
| 13 | | | | | | | | |
| 14 | | | | 11,61 | | | | 0,0576 |
| 15 | | | | | | | | |
| 16 | | | 12,4 | | | | 0,0384 | |

Tabel 4. 9 Rata – Rata Rekapitulasi Data Laboratorium Zona 2

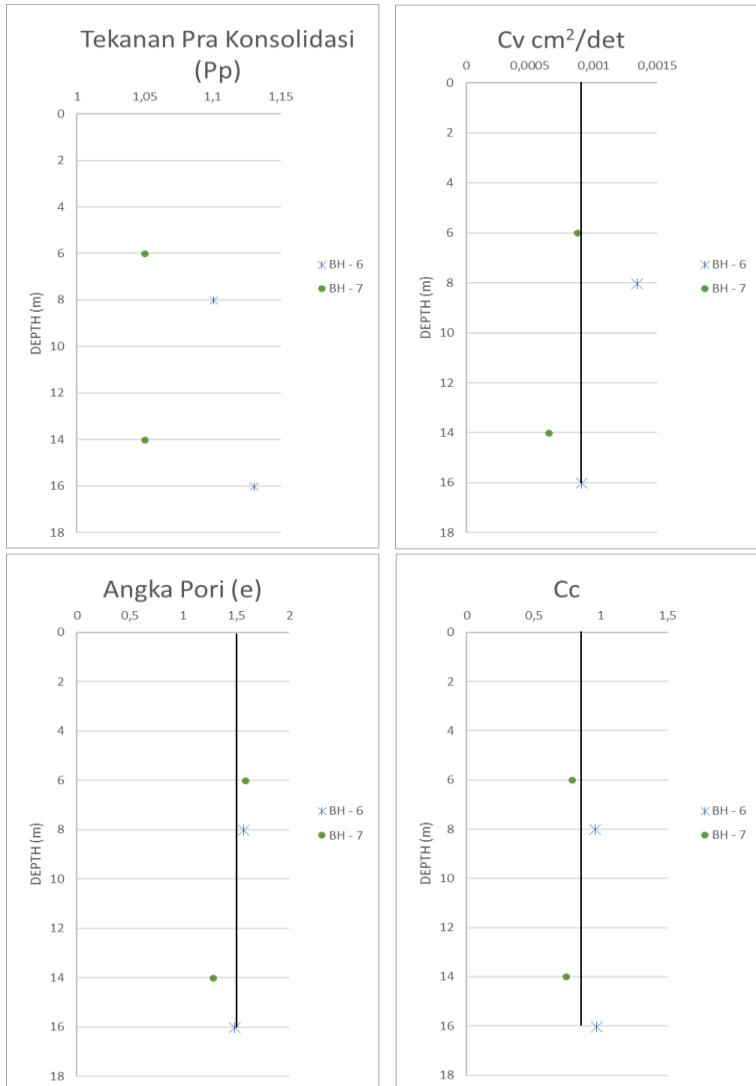
| Rata - Rata Rekapitulasi data laboratorium zona 2 | | | | | | |
|---|------|---------------------------|-----|-------------------------|-------|--------|
| γ_t (gr/cm ³) | Cc | Cv (cm ² /det) | e | C (kg/cm ²) | Cs | ϕ |
| 1,68875 | 0,86 | 0,0009 | 1,5 | 0,0915 | 0,053 | 11,35 |



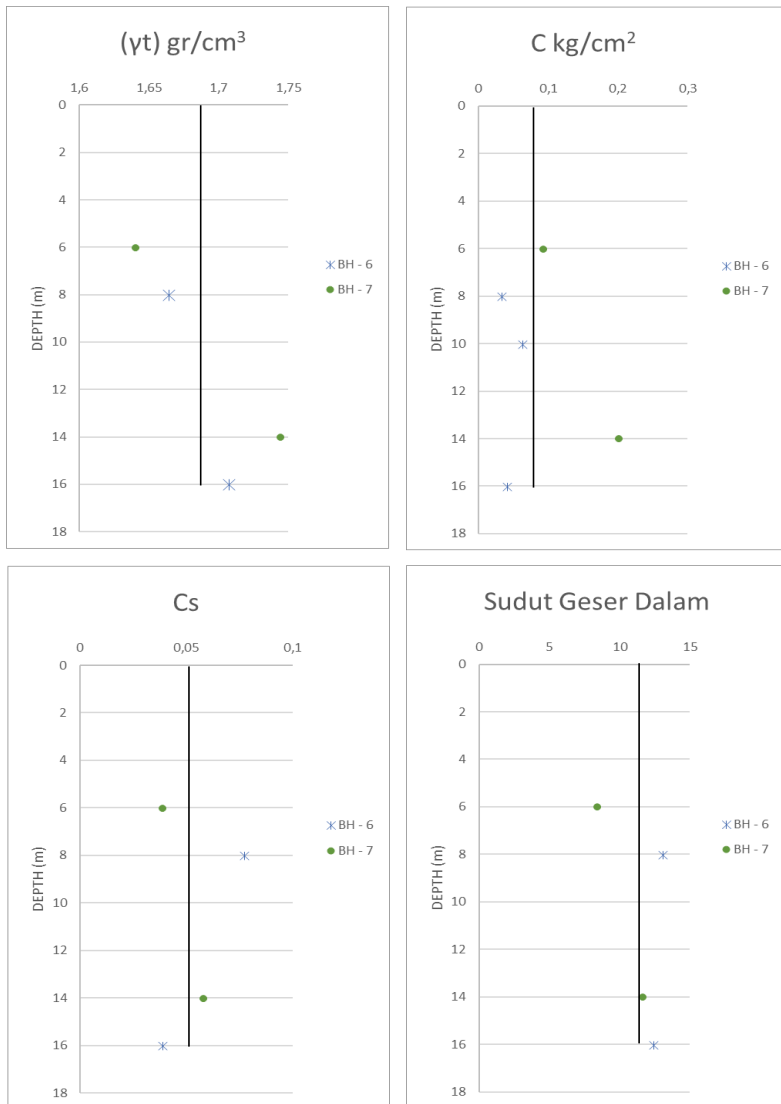
Gambar 4. 5 Grafik rekapitulasi data laboratorium (C_v , C_c , e , P_p) Zona 1



Gambar 4. 6 Grafik rekapitulasi data laboratorium (Cs, C, γ_t , phi) Zona 1



Gambar 4. 7 Grafik rekapitulasi data laboratorium (C_v , C_c , e , P_p) Zona 2



Gambar 4. 8 Grafik rekapitulasi data laboratorium (C_s , C , γ_t , ϕ) Zona 2

4.2 Data Tanah Timbunan

Pada tanah timbunan memiliki sifat fisik sebagai berikut :

$$C = 0 \text{ kPa}$$

$$\gamma_{timb} = 18 \text{ kN/m}^3$$

$$\phi = 30^0$$

Timbunan yang terjadi di lapangan sangat bervariasi, untuk mendapatkan tinggi timbunan rencana dengan cara menghitung selisih antara tinggi elevasi rencana dengan elevasi tanah asli dari BH 4 – 7.

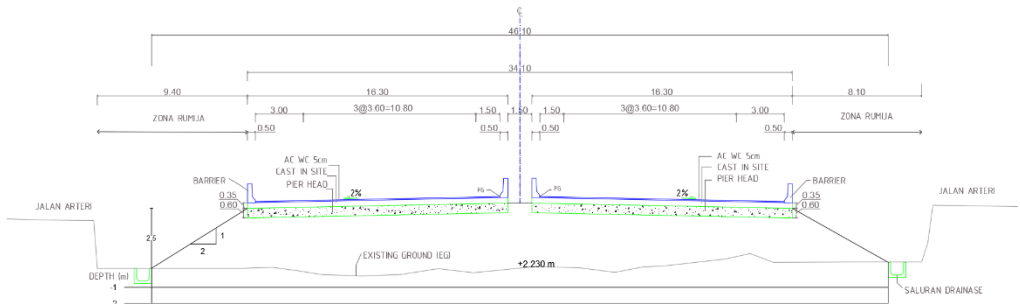
Contoh perhitungan adalah sebagai berikut pada BH – 5 (STA 36 + 070) :

$$\begin{aligned} \text{Elevasi rencana} &= + 4,357 \text{ m} \\ \text{Elevasi tanah asli} &= + 2,230 \text{ m} \\ \text{Tinggi timbunan} &= \text{Elevasi rencana} - \text{Elevasi tanah asli} \\ &= 4,357 \text{ m} - 2,230 \text{ m} \\ &= 2,127 \text{ m} \end{aligned}$$

Untuk perhitungan pada tinggi timbunan rencana pada STA lainnya akan disajikan dalam bentuk rekapitulasi pada tabel dibawah ini dan potongan melintang sebagai geometri timbunan pada gambar 4.9:

Tabel 4. 10 Rekapitulasi Perhitungan Tinggi Timbunan Rencana

| Titik BH | STA | Elevasi Tanah Asli (m) | Elevasi Tanah Rencana (m) | Tinggi Timbunan (m) |
|----------|--------|------------------------|---------------------------|---------------------|
| 4 | 35+060 | 5,896 | 6,198 | 0,302 |
| 5 | 36+070 | 2,23 | 4,357 | 2,127 |
| 6 | 36+630 | 3,54 | 5,338 | 1,798 |
| 7 | 37+550 | 2,17 | 12,765 | 10,595 |



Gambar 4. 9 Ilustrasi geometri timbunan

4.3 Data Spesifikasi Bahan

4.3.1 *Prefabricated Vertical Drained (PVD)*

Untuk mempercepat pemampatan tanah, maka dilakukan perencanaan dalam mengatur jarak antar PVD dan pola pemasangannya, jenis PVD yang akan digunakan dalam perencanaan perbaikan tanah ini adalah CeTeau Drain CT – D822 distributor oleh PT. Teknindo Geosistem Unggul dengan spesifikasi sebagai berikut:

- *Weight* = 75 g/m
- *Thickness (a)* = 100 mm
- *Width (b)* = 4 mm

Untuk spesifikasi lebih lengkap terlampir pada lampiran 6

4.3.2 *Geotekstile*

Untuk perkuatan stabilitas pada timbunan dan mencegah terjadinya kelongsoran maka dilakukan dalam perhitungan jumlah dari geotekstile serta panjang yang dibutuhkan dalam pemasangan geotekstile. Jenis geotekstile yang digunakan pada perencanaan ini adalah (UW – 250) dengan nilai tensile strength sebesar 52 kNm. Spesifikasi geotekstile terlampir pada lampiran 9.

“halaman ini sengaja dikosongkan“

BAB V

PERENCANAAN TIMBUNAN DAN PENURUNAN TANAH

Dalam perencanaan timbunan serta menentukan jenis perbaikan tanah dasar, hal yang harus diperhatikan adalah penurunan total pada tanah dengan variasi tinggi timbunan, stabilitas timbunan dengan tinggi timbunan yang direncanakan, penurunan tiap tahun (*rate of settlement*).

5.1 Perencanaan Timbunan Zona 1

Dalam subbab ini bertujuan untuk mengetahui penurunan total yang terjadi apabila menggunakan variasi dari timbunan, yakni dengan variasi timbunan 1 m, 2 m, 3 m, 4 m. Pada tahap perencanaan timbunan menghasilkan persamaan antara tinggi timbunan awal (H_{inisial}) dengan tinggi timbunan akhir atau yang direncanakan (H_{final}), sehingga persamaan tersebut dapat digunakan untuk menghitung penurunan total pada tinggi timbunan yang telah direncanakan pada masing – masing zona. Adapun timbunan pada zona 1 (STA 35 + 060 s/d STA 36 + 630) mempunyai *range* tinggi timbunan akhir (H_{final}) seperti yang tertera pada Tabel 4.10, yakni sekitar 0,6 m s.d 2,2 m.

5.1.1 Lapisan Tanah *Compressible*

Menjadi lapisan dengan ketebalan yang lebih tipis agar dapat mengetahui penurunannya. Sehingga dapat mengetahui penurunan setiap layernya yaitu 1 meter. Merujuk pada **Tabel 4.1**, zona 1 mempunyai kedalaman tanah lunak sedalam 27 m, oleh karena itu terdapat 27 lapisan tanah *Compressible*.

5.1.2 Tegangan *Overburden* Efektif (Po') pada Tiap Lapisan

Perhitungan tegangan *overburden* efektif untuk lapisan ke-1 menggunakan persamaan (2.3) s.d. (2.4):

$$Po'_1 = (16,7 \text{ kN/m}^3 - 10 \text{ kN/m}^3) \times 0,5 \text{ m}$$

$$Po'_1 = 3,35 \text{ kN/m}^2$$

Perhitungan tegangan *overburden* efektif untuk lapisan ke-2 menggunakan persamaan (2.5):

$$Po'_2 = \left(\frac{(16,7 \text{ kN/m}^3 - 10 \text{ kN/m}^3) \times 1 \text{ m}}{2} \right) + \left(\frac{(16,7 \text{ kN/m}^3 - 10 \text{ kN/m}^3) \times 1 \text{ m}}{2} \right) + 3,35 \text{ kN/m}^2$$

$$Po'_2 = 10,05 \text{ kN/m}^2$$

Hasil perhitungan tegangan *overburden* efektif pada kedalaman 3 m – 27 m disajikan pada tabel 5.3

5.1.3 Penambahan Tegangan (Δp)

Penambahan tegangan didapatkan dengan menggunakan persamaan (2.10) Berdasarkan **Gambar 4.9** sebagai acuan dalam perhitungan penambahan tegangan (Δp), maka didapatkan hasil sebagai berikut:

- $H_{\text{timb}} = 2 \text{ m}$
- $\gamma_{\text{timb}} = 18 \text{ kN/m}^3$
- $q_o = (H_{\text{timb}} \times \gamma_{\text{timb}})$
 $= (2 \text{ m} \times 18 \text{ kN/m}^3)$
 $= 36 \text{ kN/m}^2$
- $B1 = \frac{1}{2} \text{ lebar timbunan}$
 $= \frac{1}{2} \times 34,10 \text{ m}$
 $= 17,05 \text{ m}$
- $B2 = \text{lebar kemiringan timbunan } (2 \times H_{\text{timb}})$
 $= 2 \times 2 \text{ m}$
 $= 4 \text{ m}$
- $\alpha 1 = \tan^{-1} \frac{(B1+B2)}{Z} - \tan^{-1} \frac{B1}{Z} \text{ (radian)}$
 $= \tan^{-1} \frac{(17,05 \text{ m} + 4 \text{ m})}{0,5 \text{ m}} - \tan^{-1} \frac{17,05 \text{ m}}{0,5}$ (radian)
 $= \tan^{-1} (42,1) - \tan^{-1} (34,1) \text{ (radian)}$
 $= 0,319$
- $\alpha 2 = \tan^{-1} \frac{B1}{Z} \text{ (radian)}$

$$\begin{aligned}
 &= \tan^{-1} \frac{17,05 \text{ m}}{0,5 \text{ m}} \text{ (radian)} \\
 &= \tan^{-1} (34,1) \text{ (radian)} \\
 &= 88,320
 \end{aligned}$$

$$\begin{aligned}
 \bullet \quad \Delta p &= \frac{36 \text{ kN/m}^2}{180} \left[\frac{(17,05 \text{ m} + 4 \text{ m})}{4 \text{ m}} \right] \times (0,319 + \\
 &\quad 88,320) - \left[\left(\frac{17,05 \text{ m}}{4 \text{ m}} \right) \times 88,320 \right] \\
 \Delta p &= 18 \text{ kN/m}^2
 \end{aligned}$$

Hasil perhitungan Δp merupakan akibat dari beban $\frac{1}{2}$ timbunan, untuk penambahan tegangan total timbunan, yakni $2x$ dari Δp , didapatkan hasil:

$$\begin{aligned}
 2\Delta p &= 2 \times 18 \text{ kN/m}^2 \\
 2\Delta p &= 36 \text{ kN/m}^2
 \end{aligned}$$

5.1.4 Menentukan Jenis Lapisan Tanah pada Tanah *Compressible*

Tanah pada perencanaan ini memiliki dua sifat tanah yang terdiri dari tanah dengan normal konsolidasi (*normally consolidated*) dan tanah dengan konsolidasi berlebih (*overconsolidated*), untuk mengetahui bagian kedalaman tanah yang *normally consolidated* dan yang *overconsolidated* dengan menggunakan persamaan (2.2).

P_c' didapatkan dari perhitungan rata – rata data tanah laboratorium, karena pada setiap *bore hole* hanya mengambil 2 atau 4 sampel tanah yang diuji di laboratorium.

Tabel 5. 1 Data Tegangan Pra Konsolidasi Zona 1

| DEPTH | Tekanan Pra Konsolidasi kg/cm^2 | | | |
|-------|--|--------|--------|--------|
| | BH - 4 | BH - 5 | BH - 6 | BH - 7 |
| 0 | | | | |
| 1 | | | | |
| 2 | | | | |
| 3 | | | | |
| 4 | 0,98 | 1,03 | | |
| 5 | | | | |
| 6 | 0,98 | | | 1,05 |
| 7 | | | | |
| 8 | | | 1,1 | |
| 9 | | | | |
| 10 | 0,98 | | | |
| 11 | | | | |
| 12 | 0,78 | 1,24 | | |
| 13 | | | | |
| 14 | | | | 1,05 |
| 15 | | | | |
| 16 | | | 1,13 | |

Karena pada zona 1 terdiri dari 3 *bore hole* (BH – 4 s.d BH – 6) sehingga rata – rata data yang dihitung hanya data pada 3 *bore hole* tersebut.

Nilai P_c' pada kedalaman 4 m:

$$\begin{aligned} \frac{0,98 \text{ kg/cm}^2 + 1,03 \text{ kg/cm}^2}{2} &= 1,005 \text{ kg/cm}^2 \\ &= 100,5 \text{ kN/m}^2 \end{aligned}$$

Hasil dari rata – rata P_c' pada kedalaman tertentu dapat dilihat pada Tabel 5.2.

Tabel 5. 2 Rata – Rata P_c Pada Kedalaman Tertentu

| DEPTH | P_c kN/m ² |
|-------|----------------------------|
| 1 | |
| 2 | |
| 3 | |
| 4 | 100,5 |
| 5 | |
| 6 | 98 |
| 7 | |
| 8 | 110 |
| 9 | |
| 10 | 98 |
| 11 | |
| 12 | 101 |
| 13 | |
| 14 | |
| 15 | |
| 16 | 113 |

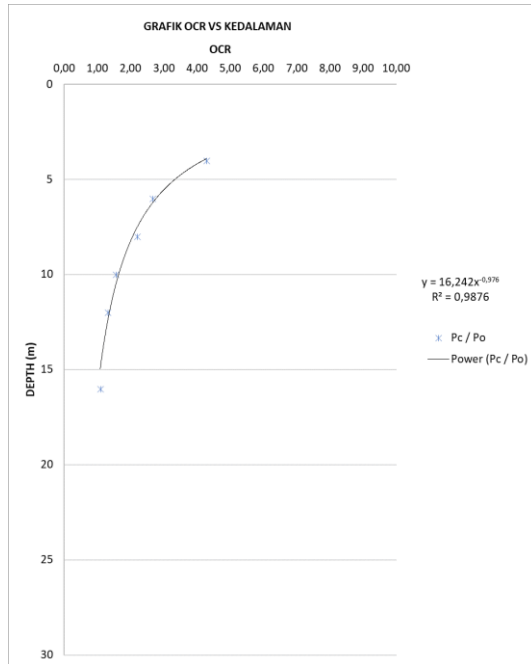
Dengan nilai P'_o yang didapatkan pada perhitungan dalam subbab 5.1.2 dan hasilnya disajikan dalam tabel 5.3 sebagai berikut:

Tabel 5. 3 Hasil Tegangan *Overburden* Efektif

| No. | Po kN/m ² |
|-----|-------------------------|
| 1 | 3.35 |
| 2 | 10.05 |
| 3 | 16.75 |
| 4 | 23.45 |
| 5 | 30.15 |
| 6 | 36.85 |
| 7 | 43.55 |
| 8 | 50.25 |
| 9 | 56.95 |
| 10 | 63.65 |
| 11 | 70.35 |
| 12 | 77.05 |
| 13 | 83.75 |
| 14 | 90.45 |
| 15 | 97.15 |
| 16 | 103.85 |
| 17 | 110.55 |
| 18 | 117.25 |
| 19 | 123.95 |
| 20 | 130.65 |
| 21 | 137.35 |
| 22 | 144.05 |
| 23 | 150.75 |
| 24 | 157.45 |
| 25 | 164.15 |
| 26 | 170.85 |
| 27 | 177.55 |

Tabel 5. 4 *Overconsolidation Ratio*

| DEPTH | Po kN/m ² | Pc kN/m ² | OCR kN/m ² |
|-------|-------------------------|-------------------------|--------------------------|
| 1 | 3,35 | | |
| 2 | 10,05 | | |
| 3 | 16,75 | | |
| 4 | 23,45 | 100,5 | 4,29 |
| 5 | 30,15 | | |
| 6 | 36,85 | 98 | 2,66 |
| 7 | 43,55 | | |
| 8 | 50,25 | 110 | 2,19 |
| 9 | 56,95 | | |
| 10 | 63,65 | 98 | 1,54 |
| 11 | 70,35 | | |
| 12 | 77,05 | 101 | 1,31 |
| 13 | 83,75 | | |
| 14 | 90,45 | | |
| 15 | 97,15 | | |
| 16 | 103,85 | 113 | 1,09 |



Gambar 5. 1 Grafik dari hasil OCR sementara

Berdasarkan Gambar 5.1 untuk mendapatkan nilai OCR pada kedalaman tanah lainnya dihitung menggunakan persamaan $y = 16,242 \cdot x^{-0,976}$ dengan $R^2 = 0,9876$. Nilai dari R^2 mendekati 1. Untuk mencari nilai OCR pada kedalaman tanah 1m menggunakan perhitungan sebagai berikut:

$$y = 16,242 \cdot X^{-0,976} \text{ atau } X = \left(\frac{16,242}{y} \right)^{\frac{1}{0,976}}$$

sumbu (x) merupakan nilai dari OCR dan sumbu (y) merupakan kedalaman (m). Kedalaman tanah 1 m merupakan sumbu y sehingga:

$$X = \left(\frac{16,242}{1} \right)^{\frac{1}{0,976}} = 17,39.$$

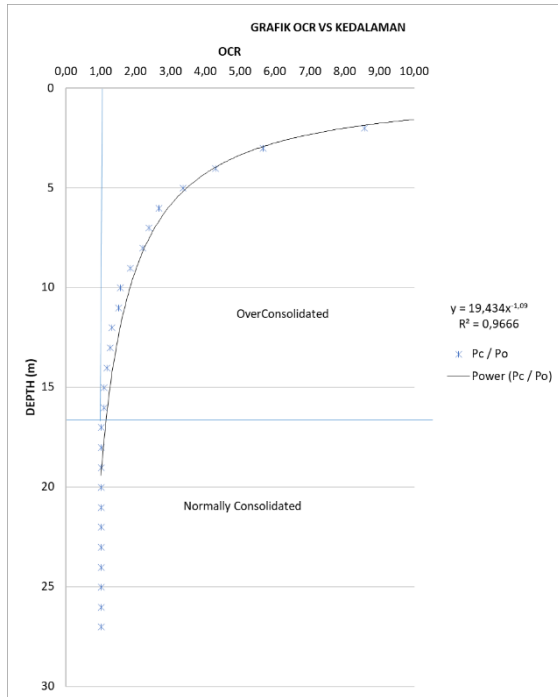
Kedalaman tanah 2 m :

$$X = \left(\frac{16,242}{2} \right)^{\frac{1}{0,976}} = 8,55.$$

Untuk hasil dari OCR pada kedalaman selanjutnya disajikan pada Tabel 5.5.

Tabel 5. 5 Hasil OCR Zona 1

| DEPTH | OCR kN/m ² |
|-------|--------------------------|
| 1 | 17,39 |
| 2 | 8,55 |
| 3 | 5,64 |
| 4 | 4,29 |
| 5 | 3,34 |
| 6 | 2,66 |
| 7 | 2,37 |
| 8 | 2,19 |
| 9 | 1,83 |
| 10 | 1,54 |
| 11 | 1,49 |
| 12 | 1,31 |
| 13 | 1,26 |
| 14 | 1,16 |
| 15 | 1,08 |
| 16 | 1,09 |
| 17 | 1,00 |
| 18 | 1,00 |
| 19 | 1,00 |
| 20 | 1,00 |
| 21 | 1,00 |
| 22 | 1,00 |
| 23 | 1,00 |
| 24 | 1,00 |
| 25 | 1,00 |
| 26 | 1,00 |
| 27 | 1,00 |



Gambar 5. 2 Grafik OCR zona 1

Tabel 5.5 menunjukkan bahwa bagian yang termasuk tanah terkonsolidasi lebih pada kedalaman 0 – 16 m, dan tanah terkonsolidasi normal pada kedalaman 16 – 27 m. merujuk pada gambar 5.2 dapat digunakan untuk menghitung tekanan pra konsolidasi pada kedalaman tanah yang datanya belum tersedia dengan menggunakan persamaan (2.2).

Tegangan Pra konsolidasi (P_c') pada kedalaman 1m :

$$P_c' = OCR \times P'_{o1}$$

$$P_c' = 17,39 \times 3,35 \text{ kN/m}^2$$

$$P_c' = 58,27 \text{ kN/m}^2$$

Tegangan Pra konsolidasi (P_c') pada kedalaman 2m :

$$P_c'_{2} = \text{OCR} \times P'_{o_2}$$

$$P_c'_{2} = 8,55 \times 3,35 \text{ kN/m}^2$$

$$P_c'_{2} = 58,27 \text{ kN/m}^2$$

Hasil tegangan pra konsolidasi pada kedalaman selanjutnya disajikan pada Tabel 5.5.

Tabel 5. 6 Hasil dari Tegangan Pra Konsolidasi Zona 1

| DEPTH | P_c kN/m ² |
|-------|----------------------------|
| 1 | 58,27 |
| 2 | 85,93 |
| 3 | 94,53 |
| 4 | 100,50 |
| 5 | 100,82 |
| 6 | 98,00 |
| 7 | 103,16 |
| 8 | 110,00 |
| 9 | 104,28 |
| 10 | 98,00 |
| 11 | 104,88 |
| 12 | 101,00 |
| 13 | 105,21 |
| 14 | 105,32 |
| 15 | 105,40 |
| 16 | 113,00 |
| 17 | 110,55 |
| 18 | 117,25 |
| 19 | 123,95 |
| 20 | 130,65 |
| 21 | 137,35 |
| 22 | 144,05 |
| 23 | 150,75 |
| 24 | 157,45 |
| 25 | 164,15 |
| 26 | 170,85 |
| 27 | 177,55 |

5.1.5 Penurunan (*settlement*) pada Setiap Kedalaman Tanah

a. Akibat beban timbunan

Perhitungan penurunan (*settlement*) pada setiap tebal lapisan harus memperhatikan bagian dari jenis tanah. Tanah tersebut termasuk NC atau OC, berdasarkan gambar 5.2 menunjukkan bahwa untuk jenis tanah OC pada kedalaman 0 – 16 m dan jenis tanah NC pada kedalaman 16 – 27 m. Perhitungan tanah terkonsolidasi normal (*Normally Consolidated Soil*) kedalaman 16 – 27 m menggunakan persamaan (2.3). Untuk tanah terkonsolidasi lebih (*Overconsolidated Soil*) kedalaman 0 – 16 m menggunakan persamaan (2.4) atau (2.5).

Berdasarkan data pada tabel 4.5 dapat digunakan untuk menghitung penurunan yang terjadi pada kedalaman tanah 1 m.

$$(2\Delta p + P'o) \text{ kN/m}^2 < P_c' \Leftrightarrow 39,35 \text{ kN/m}^2 < 58,27 \text{ kN/m}^2.$$

Untuk *overconsolidated soil* dan $2\Delta p + P'o < P_c'$, menggunakan persamaan (2.4).

$$S_{ci} = \left[\frac{C_s}{1+e_o} \log \frac{p'_o + \Delta p}{p'_o} \right] \times H_i$$

- $C_s = 0,06$
- $e_o = 1,5$
- $P'o = 3,35 \text{ kN/m}^2$
- $2\Delta p = 36 \text{ kN/m}^2$
- $H_i = \text{Tebal lapisan (1m)}$

$$S_{c1} = \left[\frac{0,06}{1+1,5} \log \frac{39,35 \text{ kN/m}^2}{3,35 \text{ kN/m}^2} \right] \times 1$$

$$S_{c1} = 0,257 \text{ m}.$$

Berdasarkan data pada tabel 4.5 dapat digunakan untuk menghitung penurunan yang terjadi pada kedalaman tanah 12 m.

$$(2\Delta p + P'o) \text{ kN/m}^2 > Pc' \Leftrightarrow 110,713 \text{ kN/m}^2 > 101 \text{ kN/m}^2$$

Untuk *overconsolidated soil* dan $2\Delta p + P'o > Pc'$, menggunakan persamaan (2.5).

$$S_{ci} = \left[\frac{C_s}{1+e_o} \log\left[\left(\frac{Pc'}{P'o}\right) + \left(\frac{Cc}{1+e_o}\right)\right] \log \frac{P'o + \Delta p}{Pc'} \right] \times H_i$$

- $C_s = 0,06$
- $C_c = 0,7$
- $e_o = 1,5$
- $P'o = 77,05 \text{ kN/m}^2$
- $2\Delta p = 33,663 \text{ kN/m}^2$
- $Pc' = 101 \text{ kN/m}^2$
- $H_i = \text{tebal lapisan (1m)}$

$$S_{C12} = \left[\frac{0,06}{1+1,5} \log\left[\left(\frac{101 \text{ kN/m}^2}{3,35 \text{ kN/m}^2}\right) + \left(\frac{0,7}{1+1,5}\right)\right] \log \frac{110,713 \text{ kN/m}^2}{101 \text{ kN/m}^2} \right] \times 1$$

$$S_{C12} = 0.002m.$$

Berdasarkan data pada tabel 4.5 dapat digunakan untuk menghitung penurunan yang terjadi pada kedalaman tanah 16 m.

$$(2\Delta p + P'o) \text{ kN/m}^2 > Pc' \Leftrightarrow 135,377 \text{ kN/m}^2 > 113 \text{ kN/m}^2.$$

Pada kedalaman tanah 16 m termasuk jenis tanah terkonsolidasi normal, menggunakan persamaan (2.3).

$$S_{ci} = \left[\frac{Cc}{1+e_o} \log \frac{P'o + \Delta p}{P'o} \right] \times H_i$$

- $C_c = 0,7$
- $e_o = 1,5$
- $P'o = 103,85 \text{ kN/m}^2$
- $2\Delta p = 31,527 \text{ kN/m}^2$

- H_i = tebal lapisan (1m)

$$S_{c16} = \left[\frac{0,7}{1+1,5} \log \frac{135,377 \text{ kN/m}^2}{103,85 \text{ kN/m}^2} \right] \times 1$$

$$S_{c16} = 0,032 \text{ m} .$$

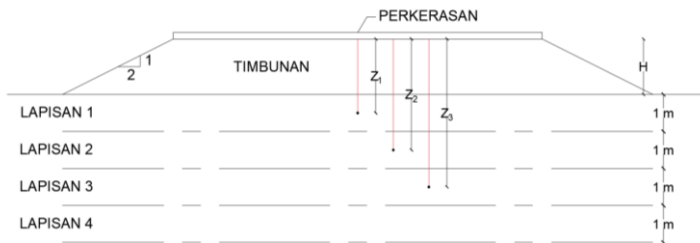
Untuk hasil perhitungan penurunan total pada tinggi timbunan 2 m lebih detail pada lampiran 12. Pada tabel 5.7 tersaji hasil rekapitulasi penurunan total dengan variasi tinggi timbunan.

Tabel 5. 7 Rekapitulasi Hasil Penurunan Total Kedalaman Tanah *Compressible* dengan Variasi Tinggi Timbunan

| REKAPITULASI PENURUNAN (S_c) m | | |
|------------------------------------|-----------------|----------|
| zona | Tinggi Timbunan | akibat |
| | | timbunan |
| ZONA 1 (27 m) | 1 | 0.213 |
| | 2 | 0.376 |
| | 3 | 0.518 |
| | 4 | 0.586 |

b. Akibat beban perkerasan

Pada perhitungan penurunan akibat perkerasan, langkah yang digunakan sama dengan menghitung penurunan akibat timbunan, namun pada penurunan akibat beban perkerasan tidak perlu menghitung lagi tegangan overburden efektif, yang berubah adalah besaran penambahan tegangan yang diterima oleh tanah lunak. Untuk ilustrasi penambahan tegangan akibat beban perkerasan tersaji pada gambar 5.3 sebagai berikut:



Gambar 5. 3 Ilustrasi penambahan tegangan akibat beban perkerasan

Penambahan tegangan akibat dari beban perkerasan dengan ketinggian timbunan 2 meter didapatkan dengan menggunakan persamaan (2.10) Berdasarkan **Gambar 4.9** sebagai acuan dalam perhitungan penambahan tegangan (Δp), maka didapatkan hasil sebagai berikut:

- $H_{\text{perkerasan}} = 0,35 \text{ m}$
- $\gamma_{\text{beton}} = 24 \text{ kN/m}^3$
- $q_0 = (H_{\text{timb}} \times \gamma_{\text{timb}})$
 $= (0,35 \text{ m} \times 24 \text{ kN/m}^3)$
 $= 8,4 \text{ kN/m}^2$
- $B1 = \frac{1}{2} \text{ lebar timbunan}$
 $= \frac{1}{2} \times 34,10 \text{ m}$
 $= 17,05 \text{ m}$
- $B2 = \text{lebar kemiringan timbunan } (2 \times H_{\text{timb}})$
 $= 2 \times 2 \text{ m}$
 $= 4 \text{ m}$
- $Z = H_{\text{timb}} + z_1$
 $= 2 \text{ m} + 0,5 \text{ m}$
 $= 2,5 \text{ m}$
- $\alpha 1 = \tan^{-1} \frac{(B1+B2)}{Z} - \tan^{-1} \frac{B1}{Z} \text{ (radian)}$

$$\begin{aligned}
 &= \tan^{-1} \frac{(17,05 \text{ m} + 4 \text{ m})}{2,5 \text{ m}} - \tan^{-1} \frac{17,05 \text{ m}}{2,5} \text{ (radian)} \\
 &= \tan^{-1} (8,42) - \tan^{-1} (6,82) \text{ (radian)} \\
 &= 1,569 \\
 \bullet \quad \alpha_2 &= \tan^{-1} \frac{B_1}{Z} \text{ (radian)} \\
 &= \tan^{-1} \frac{17,05 \text{ m}}{2,5 \text{ m}} \text{ (radian)} \\
 &= \tan^{-1} (6,82) \text{ (radian)} \\
 &= 81,658 \\
 \bullet \quad \Delta p &= \frac{8,4 \text{ kN/m}^2}{180} \left[\frac{(17,05 \text{ m} + 4 \text{ m})}{4 \text{ m}} \right] \times (1,569 + \\
 &\quad 81,658) - \left[\left(\frac{17,05 \text{ m}}{4 \text{ m}} \right) \times 81,658 \right] \\
 \Delta p &= 4,196 \text{ kN/m}^2
 \end{aligned}$$

Hasil perhitungan Δp merupakan akibat dari beban $\frac{1}{2}$ timbunan, untuk penambahan tegangan total timbunan, yakni $2x$ dari Δp , didapatkan hasil:

$$\begin{aligned}
 2\Delta p &= 2 \times 4,196 \text{ kN/m}^2 \\
 2\Delta p &= 8,392 \text{ kN/m}^2
 \end{aligned}$$

Berdasarkan data pada tabel 4.5 dapat digunakan untuk menghitung penurunan yang terjadi pada kedalaman tanah 1 m.

$$(2\Delta p + P'_o) \text{ kN/m}^2 < P_c' \Leftrightarrow 11,742 \text{ kN/m}^2 < 58,27 \text{ kN/m}^2.$$

Untuk *overconsolidated soil* dan $2\Delta p + P'_o < P_c'$, menggunakan persamaan (2.4).

$$S_{ci} = \left[\frac{C_s}{1+e_o} \log \frac{p'_o + \Delta p}{p'_o} \right] \times H_i$$

- $C_s = 0,06$
- $e_o = 1,5$
- $P'_o = 3,35 \text{ kN/m}^2$
- $2\Delta p = 8,392 \text{ kN/m}^2$

- H_i = Tebal lapisan (1m)

$$S_{c1} = \left[\frac{0,06}{1+1,5} \log \frac{11,742 \text{ kN/m}^2}{3,35 \text{ kN/m}^2} \right] \times 1$$

$$S_{c1} = 0,013 \text{ m} .$$

Berdasarkan data pada tabel 4.5 dapat digunakan untuk menghitung penurunan yang terjadi pada kedalaman tanah 16 m.

$$(2\Delta p + P'_o) \text{ kN/m}^2 > P_c' \Leftrightarrow 110,931 \text{ kN/m}^2 > 113 \text{ kN/m}^2 .$$

Pada kedalaman tanah 16 m termasuk jenis tanah terkonsolidasi normal, menggunakan persamaan (2.3).

$$S_{ci} = \left[\frac{C_c}{1+e_o} \log \frac{p'_o + \Delta p}{p'_o} \right] \times H_i$$

- C_c = 0,7
- e_o = 1,5
- P'_o = 103,85 kN/m²
- $2\Delta p$ = 7,081 kN/m²
- H_i = tebal lapisan (1m)

$$S_{c16} = \left[\frac{0,7}{1+1,5} \log \frac{110,931 \text{ kN/m}^2}{103,85 \text{ kN/m}^2} \right] \times 1$$

$$S_{c16} = 0,008 \text{ m} .$$

Untuk hasil penurunan akibat beban timbunan pada kedalaman selanjutnya terlampir pada lampiran 20. Pada tabel 5.8 tersaji hasil rekapitulasi penurunan total akibat beban perkerasan.

Tabel 5. 8 Rekapitulasi Hasil Penurunan Total Kedalaman Tanah Compressible Akibat Beban Perkerasan

| REKAPITULASI PENURUNAN (Sc) m | | |
|-------------------------------|-----------------|------------|
| zona | Tinggi Timbunan | akibat |
| | | perkerasan |
| ZONA 1 (27 | 1 | 0.109 |
| | 2 | 0.109 |
| | 3 | 0.109 |
| | 4 | 0.109 |

c. Akibat beban lalu lintas

Pada perhitungan penurunan akibat beban lalu lintas, langkah yang digunakan sama dengan menghitung penurunan akibat beban perkerasan, namun pada penurunan akibat beban perkerasan tidak perlu menghitung lagi tegangan overburden efektif, yang berubah adalah besaran penambahan tegangan yang diterima oleh tanah lunak. Untuk ilustrasi penambahan tegangan akibat beban lalu lintas tersaji pada gambar 5.3.

Penambahan tegangan akibat dari beban lalu lintas dengan ketinggian timbunan 2 meter didapatkan dengan menggunakan persamaan (2.10) Berdasarkan **Gambar 4.9** sebagai acuan dalam perhitungan penambahan tegangan (Δp), maka didapatkan hasil sebagai berikut:

- $q_0 = (0,8 \text{ m} \times \gamma_{timb})$
 $= (0,8 \text{ m} \times 18 \text{ kN/m}^3)$
 $= 14,4 \text{ kN/m}^2$
- $B1 = \frac{1}{2} \text{ lebar timbunan}$
 $= \frac{1}{2} \times 34,10 \text{ m}$
 $= 17,05 \text{ m}$
- $B2 = \text{lebar kemiringan timbunan} (2 \times H_{timb})$
 $= 2 \times 2 \text{ m}$

- $Z = 4 \text{ m}$
 $Z = H_{\text{timb}} + z_1$
 $= 2 \text{ m} + 0,5 \text{ m}$
 $= 2,5 \text{ m}$
- $\alpha_1 = \tan^{-1} \frac{(B_1+B_2)}{Z} - \tan^{-1} \frac{B_1}{Z} \text{ (radian)}$
 $= \tan^{-1} \frac{(17,05 \text{ m} + 4 \text{ m})}{2,5 \text{ m}} - \tan^{-1} \frac{17,05 \text{ m}}{2,5}$ (radian)
 $= \tan^{-1} (8,42) - \tan^{-1} (6,82) \text{ (radian)}$
 $= 1,569$
- $\alpha_2 = \tan^{-1} \frac{B_1}{Z} \text{ (radian)}$
 $= \tan^{-1} \frac{17,05 \text{ m}}{2,5 \text{ m}} \text{ (radian)}$
 $= \tan^{-1} (6,82) \text{ (radian)}$
 $= 81,658$
- $\Delta p = \frac{14,4 \text{ kN/m}^2}{180} \left[\frac{(17,05 \text{ m} + 4 \text{ m})}{4 \text{ m}} \right] \times (1,569 + 81,658) - \left[\left(\frac{17,05 \text{ m}}{4 \text{ m}} \right) \times 81,658 \right]$
 $\Delta p = 7,193 \text{ kN/m}^2$

Hasil perhitungan Δp merupakan akibat dari beban $\frac{1}{2}$ timbunan, untuk penambahan tegangan total timbunan, yakni $2x$ dari Δp , didapatkan hasil:

$$2\Delta p = 2 \times 7,193 \text{ kN/m}^2$$

$$2\Delta p = 14,386 \text{ kN/m}^2$$

Berdasarkan data pada tabel 4.5 dapat digunakan untuk menghitung penurunan yang terjadi pada kedalaman tanah 1 m.

$$(2\Delta p + P'o) \text{ kN/m}^2 < Pc' \Leftrightarrow 17,736 \text{ kN/m}^2 < 58,27 \text{ kN/m}^2.$$

Untuk *overconsolidated soil* dan $2\Delta p + P'o < Pc'$, menggunakan persamaan (2.4).

$$S_{ci} = \left[\frac{C_s}{1+e_o} \log \frac{p'_o + \Delta p}{p'_o} \right] \times H_i$$

- $C_s = 0,06$
- $e_o = 1,5$
- $P'_o = 3,35 \text{ kN/m}^2$
- $2\Delta p = 14,386 \text{ kN/m}^2$
- $H_i = \text{Tebal lapisan (1m)}$

$$S_{c1} = \left[\frac{0,06}{1+1,5} \log \frac{17,736 \text{ kN/m}^2}{3,35 \text{ kN/m}^2} \right] \times 1$$

$$S_{c1} = 0,017 \text{ m} .$$

Berdasarkan data pada tabel 4.5 dapat digunakan untuk menghitung penurunan yang terjadi pada kedalaman tanah 16 m.

$$(2\Delta p + P'_o) \text{ kN/m}^2 > P_c' \Leftrightarrow 115,989 \text{ kN/m}^2 > 113 \text{ kN/m}^2 .$$

Pada kedalaman tanah 16 m termasuk jenis tanah terkonsolidasi normal, menggunakan persamaan (2.3).

$$S_{ci} = \left[\frac{C_c}{1+e_o} \log \frac{p'_o + \Delta p}{p'_o} \right] \times H_i$$

- $C_c = 0,7$
- $e_o = 1,5$
- $P'_o = 103,85 \text{ kN/m}^2$
- $2\Delta p = 12,139 \text{ kN/m}^2$
- $H_i = \text{tebal lapisan (1m)}$

$$S_{c16} = \left[\frac{0,7}{1+1,5} \log \frac{115,989 \text{ kN/m}^2}{103,85 \text{ kN/m}^2} \right] \times 1$$

$$S_{c16} = 0,0134 \text{ m} .$$

Untuk hasil penurunan akibat beban timbunan pada kedalaman selanjutnya terlampir pada lampiran 16. Pada tabel 5.9 tersaji hasil rekapitulasi penurunan total akibat beban perkerasan.

Tabel 5. 9 Rekapitulasi Hasil Penurunan Total Kedalaman Tanah Compressible Akibat Beban Lalu Lintas

| REKAPITULASI PENURUNAN (Sc) m | | |
|-------------------------------|-----------------|-------------|
| zona | Tinggi Timbunan | akibat |
| | | lalu lintas |
| ZONA 1 (27 m) | 1 | 0.174 |
| | 2 | 0.174 |
| | 3 | 0.174 |
| | 4 | 0.174 |

Sehingga penurunan total dari 3 akibat tersebut tersaji pada tabel 5.10 sebagai berikut:

Tabel 5. 10 Rekapitulasi Hasil Penurunan Total

| REKAPITULASI PENURUNAN (Sc) m | | | | | Total Sc (m) |
|-------------------------------|-----------------|----------|------------|-------------|--------------|
| zona | Tinggi Timbunan | akibat | | | |
| | | timbunan | perkerasan | lalu lintas | |
| ZONA 1 (27 m) | 1 | 0.213 | 0.1085 | 0.1738 | 0.495 |
| | 2 | 0.376 | 0.1086 | 0.1739 | 0.659 |
| | 3 | 0.518 | 0.1086 | 0.1739 | 0.800 |
| | 4 | 0.586 | 0.1085 | 0.1739 | 0.868 |

5.1.6 Tinggi Timbunan Awal (H_{inisial}) dan Timbunan Akhir (H_{final})

Dalam subbab ini bertujuan untuk menentukan persamaan yang dapat di gunakan dalam perhitungan variasi tinggi timbunan yang sesuai pada perencanaan tinggi timbunan di lapangan. Dengan tinggi timbunan rencana merujuk pada tabel 4.10.

Pada subbab ini perhitungan menggunakan persamaan (2.13 s.d. 2.14) untuk menghitung tinggi timbunan awal dan tinggi timbunan akhir.

- h_{timb} = 2 m
- γ_{timb} = 18 kN/m²
- γ_w = 10 kN/m²
- q_{final} = $\gamma_{\text{timb}} \times h_{\text{timb}}$
= $18 \text{ kN/m}^2 \times 2 \text{ m} = 36 \text{ kN/m}^2$
- Sc_2 = 0,3762 m (Tabel 5.6)
- H_{initial} = $\frac{q + (Sc \times \gamma_{\text{timb}}) - (Sc \cdot \gamma'_{\text{timb}})}{\gamma_{\text{timb}}}$
- H_{initial} = $\frac{36 \text{ kN/m}^2 + (0,3762 \text{ m} \times 18 \text{ kN/m}^2) - (0,3762 \text{ m} \times 18 \text{ kN/m}^2)}{18 \text{ kN/m}^2}$
- H_{inisial} = 2,20899 m

Sehingga didapatkan tinggi timbunan akhir dengan persamaan (2.9) sebagai berikut :

$$H_{\text{final}} = H_{\text{inisial}} - Sc_{\text{timb}} - Sc_{\text{perkerasan}} - Sc_{\text{lalin}}$$

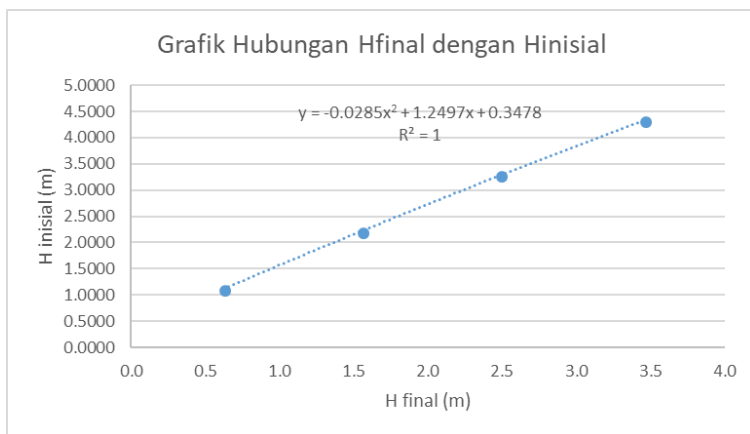
$$H_{\text{final}} = 2,20899 \text{ m} - 0,3762 \text{ m} - 0,1085 \text{ m} - 0,1738 \text{ m}$$

$$H_{\text{final}} = 1,5505 \text{ m}$$

Hasil perhitungan tinggi timbunan awal (H_{inisial}) dan tinggi timbunan akhir (H_{final}) dengan variasi tinggi timbunan disajikan dalam tabel 5.11.

Tabel 5. 11 Hasil Rekapitulasi H_{inisial} dan H_{final}

| H rencana (m) | q rencana t/m^2 | H inisial (m) | Sc (m) | H final (m) |
|---------------|-------------------|---------------|--------|-------------|
| 1 | 18 | 1.1181 | 0.2125 | 0.6231 |
| 2 | 36 | 2.2090 | 0.3762 | 1.5503 |
| 3 | 54 | 3.2876 | 0.5178 | 2.4874 |
| 4 | 72 | 4.3254 | 0.5857 | 3.4573 |

**Gambar 5. 4** Grafik hubungan H_{final} dan H_{inisial}

Berdasarkan tabel 5.11 didapatkan grafik yang menghasilkan persamaan

$$y = -0,0285 x^2 + 1,2497 x + 0,3478 \quad (*)$$

yang dapat membantu perhitungan variasi tinggi timbunan yang akan direncanakan di lapangan.

Pada perencanaan dilapangan, dengan meninjau ketinggian yang direncanakan pada *bore hole* 5, yakni + 4,357 m dan ketinggian awal + 2,23 m maka dengan persamaan (*) yang didapatkan dari grafik dapat disubstitusikan dengan + 4,357 m

sebagai sumbu x, sehingga dapat di hitung tinggi timbunan awal yang harus di laksanakan dilapangan, yakni

$$y = -0,0285 x^2 + 1,2497 x + 0,3478$$

Dengan $x = 4,357$ m

Sehingga,

$$y = -0,0285 \times 4,357^2 + 1,2497 \times 4,357 + 0,3478$$

$$y = -0,541 + 5,445 + 0,3478$$

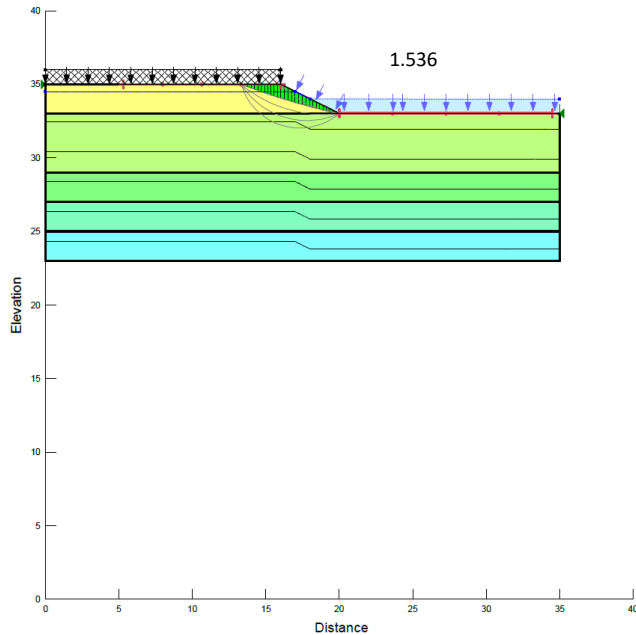
$$y = 5,251 \text{ m.}$$

Berdasarkan hasil tersebut menunjukkan bahwa pada *bore hole* 5 yang mempunyai ketinggian timbunan rencana + 4,357 m, maka tinggi penimbunan awal yang harus dilakukan dilapangan adalah 5,251 m – 2,23 m (elevasi tanah asli) = 3,022 m. Untuk mengetahui ketinggian akhir dan tinggi timbunan yang diperlukan pada STA selanjutnya didapat dari perhitungan yang sama dengan menghitung ketinggian rencana pada *bore hole* 5.

5.2 Analisa Stabilitas Timbunan dengan Geoslope

Pada subbab ini menjelaskan tentang hasil dari stabilitas timbunan dengan program bantu *geoslope*, data yang digunakan berdasarkan data pada tabel 4.5 dan menggunakan variasi tinggi timbunan seperti pada perhitungan yang lain, yakni 1 m, 2 m, 3 m, 4 m.

Tabel 5.12 merupakan rekapitulasi hasil angka keamanan dari stabilitas dengan variasi tinggi timbunan sebelum tahap perbaikan tanah dasar.



Gambar 5. 5 Analisa stabilitas timbunan 2 m

Tabel 5. 12 Rekapitulasi Angka Keamanan sebelum Perbaikan Tanah Dasar

| REKAPITULASI SAFETY FACTOR (LAMA) | | | |
|-----------------------------------|----------|-------|------------|
| ZONA 1 (27 m) | TIMBUNAN | SF | KETERANGAN |
| | 1 | 4.397 | AMAN |
| | 1.5 | 3.571 | AMAN |
| | 2 | 1.536 | AMAN |
| | 2.5 | 1.866 | AMAN |
| | 3 | 1.518 | AMAN |
| | 3.5 | 0.600 | TIDAK AMAN |
| | 4 | 1.003 | TIDAK AMAN |

Untuk hasil analisa stabilitas timbunan dengan program bantu *Geoslope* terlampir pada lampiran stabilitas timbunan.

5.3 Waktu Penurunan Tanah dengan Beban Preloading

Analisa waktu penurunan tanah dapat dihitung dengan menggunakan persamaan (2.24), data yang digunakan berdasarkan pada tabel 4.5 dan untuk detail gambar kondisi tanah terlampir pada lampiran A3:

$$t = \frac{(Hdr)^2 T}{Cv}$$

Faktor waktu untuk derajat konsolidasi T 90 % berdasarkan pada tabel 2.3.

$$\begin{aligned} Hdr &= 27 \text{ m} \\ Cv &= 0,00073 \text{ cm}^2/\text{sec} \\ &= 2,302 \text{ m}^2/\text{thn} \\ T_{90\%} &= 0,848 \end{aligned}$$

$$t = \frac{(27 \text{ m})^2 \times 0,848}{2,302 \text{ m}^2/\text{thn}} \Leftrightarrow 268,531 \text{ tahun}$$

Dibutuhkan waktu 268,531 tahun untuk proses penurunan tanah lunak dengan ketebalan 27 m, sehingga merujuk pada waktu penurunan tanah yang sangat lama, langkah selanjutnya adalah menganalisa penurunan tanah dalam kurun waktu 1 tahun. Apabila penurunan dalam tahun pertama (*rate of settlement*) melebihi 1,5 cm maka diperlukan adanya perbaikan tanah dasar. Untuk mengetahui besar penurunan dengan tinggi timbunan 2 meter pada tahun pertama hingga umur rencana jalan yang diasumsikan 10 tahun adalah sebagai berikut:

$$Tv = \frac{t \times Cv}{(Hdr)^2}, \text{ dimana } t = 1 \text{ (tahun pertama)}$$

$$Tv = \frac{1 \times 2,302 \text{ m}^2/\text{thn}}{(27 \text{ m})^2} \Leftrightarrow 0,003$$

$$\text{Untuk } U_v \text{ antara } 0 \text{ s.d } 60 \% = \left(2 \sqrt{\frac{Tv}{\pi}} \right) \times 100\%$$

$$U_v > 60 \% = (100 - a)\%$$

$$\text{Dimana: } a = 10^{\left(\frac{1,781-T}{0,933}\right)}$$

$$\text{Pada tahun ke 1 } U_v < 60 \% = \left(2 \sqrt{\frac{0,003}{3,14}} \right) \times 100\%$$

Sehingga U_v pada tahun pertama sebesar 6,343 % dan penurunan tanah pada tahun pertama adalah sebagai berikut:

$$S_{c1} = U_{v1} \times S_c \text{ total (Tabel 5.10)}$$

$$S_{c1} = \frac{6,343}{100} \times 65,90 \text{ cm} = 4,2 \text{ cm} > 1,5 \text{ cm}$$

Penurunan tanah pada tahun ke 2.

$$Tv = \frac{t \times Cv}{(Hdr)^2}, \text{ dimana } t = 2 \text{ (tahun kedua)}$$

$$Tv = \frac{2 \times 2,302 \text{ m}^2 / \text{thn}}{(27 \text{ m})^2} \Leftrightarrow 0,006$$

$$\text{Untuk } U_v \text{ antara } 0 \text{ s.d } 60 \% = \left(2 \sqrt{\frac{Tv}{\pi}} \right) \times 100\%$$

$$U_v > 60 \% = (100 - a)\%$$

$$\text{Dimana: } a = 10^{\left(\frac{1,781-T}{0,933}\right)}$$

$$\text{Pada tahun ke 2 } U_v < 60 \% = \left(2 \sqrt{\frac{0,006}{3,14}} \right) \times 100\% \Leftrightarrow 8,970 \%$$

Sehingga U_v pada tahun pertama sebesar 8,970 % dan penurunan tanah pada tahun kedua adalah sebagai berikut:

$$S_{c2} = U_{v2} \times S_c \text{ total (Tabel 5.10)}$$

$$S_{c2} = \frac{8,970}{100} \times 65,90 \text{ cm} = 5,9 \text{ cm}$$

$$\Delta S_c = S_{c2} - S_{c1}$$

$$\Delta S_c = 5,9 \text{ cm} - 4,2 \text{ cm}$$

$\Delta S_c = 1,7 \text{ cm}$, selisih penurunan antara tahun kedua dengan tahun pertama adalah sebesar 1,7 cm. untuk hasil dari penurunan setiap tahun serta selisih besar penurunan setiap tahun tersaji pada tabel 5.13 sebagai berikut:

Tabel 5. 13 Penurunan Tanah dan Selisih Besar Penurunan Tanah Setiap Tahun

| Tahun ke | Tv | Uv (%) | Sct (m) | ΔS_c (m) |
|----------|-------|--------|---------|------------------|
| 1 | 0.003 | 6.343 | 0.042 | |
| 2 | 0.006 | 8.970 | 0.059 | 0.017 |
| 3 | 0.009 | 10.986 | 0.072 | 0.013 |
| 4 | 0.013 | 12.685 | 0.084 | 0.011 |
| 5 | 0.016 | 14.182 | 0.093 | 0.010 |
| 6 | 0.019 | 15.536 | 0.102 | 0.009 |
| 7 | 0.022 | 16.781 | 0.111 | 0.008 |
| 8 | 0.025 | 17.940 | 0.118 | 0.008 |
| 9 | 0.028 | 19.028 | 0.125 | 0.007 |
| 10 | 0.032 | 20.057 | 0.132 | 0.007 |

Berdasarkan hasil pada tabel 5.13, didapatkan pada umur rencana jalan 10 tahun masih terjadi *consolidation settlement* sebesar $65,90 \text{ cm} - 13,2 \text{ cm} = 52,70 \text{ cm}$ dan sisa *consolidation settlement* tersebut yang dapat mengakibatkan kerusakan pada struktur perkerasan jalan. Oleh karena itu berdasarkan dengan hasil penurunan pada tahun pertama yang melebihi *rate of settlement* (1,5 cm/tahun), maka diperlukan adanya perbaikan tanah dasar,

dalam proyek akhir terapan perbaikan tanah dasar menggunakan metode *Prefabricated Vertical Drain* (PVD) dan panjang STA yang harus menggunakan perbaikan tanah terlampir pada lampiran A3.

“halaman ini sengaja dikosongkan“

BAB VI

PERBAIKAN TANAH DASAR

6.1 Pola Pemasangan PVD dan Waktu Penurunan Tanah dengan PVD

Terdapat 2 cara dalam pemasangan PVD, yakni dengan pola segitiga atau menggunakan pola segiempat, untuk memilih pola pemasangan PVD yang optimal, perencana dapat mempertimbangkan dengan durasi dan biaya pekerjaan yang sesuai dengan yang direncanakan.

6.1.1 Pola Pemasangan Segitiga

Pola pemasangan segitiga merupakan pola pemasangan yang lebih efisien daripada pola segiempat dari segi lama pemampatan tanah dan kekuatan pada daya dukung tanah, akan tetapi dalam segi biaya pola pemasangan segitiga lebih mahal karena membutuhkan PVD dengan jumlah yang banyak.

a. Perhitungan Diameter Ekuivalen

Perhitungan diameter ekuivalen untuk PVD menggunakan persamaan (2.30) berdasarkan data spesifikasi PVD yang merujuk pada subbab 4.3.1.

$$dw = \frac{2(a+b)}{\pi}$$

dimana:

- *Thickness* (a) = 100 mm
- *Width* (b) = 4 mm

$$dw = \frac{2(100 \text{ mm} + 4 \text{ mm})}{3,14}$$

$$dw = 66,242 \text{ mm}$$

Diameter ekuivalen (D) dari lingkaran tanah pengaruh dari PVD. Harga D (pola segitiga) = 1,05 S (S = jarak antar pemasangan PVD). Untuk analisa perbaikan tanah tersebut, jarak pemasangan PVD (S) diasumsi dengan jarak 0,8 m, 1 m, 1,25 m, 1,5 m, 1,75 m. Diameter Ekuivalen dengan S = 0,8 m

$$D_{0,8} = 1,05 \times S$$

$$D_{0,8} = 1,05 \times 0,8$$

$$D_{0,8} = 0,84 \text{ mm} \Leftrightarrow 840 \text{ mm}$$

Diameter Ekuivalen dengan S = 1 m

$$D_{0,8} = 1,05 \times S$$

$$D_{0,8} = 1,05 \times 1$$

$$D_{0,8} = 1,05 \text{ mm} \Leftrightarrow 1050 \text{ mm}$$

Untuk diameter ekuivalen pada jarak antar pemasangan PVD selanjutnya tersaji pada tabel sebagai berikut:

Tabel 6. 1 Diameter Ekuivalen dengan Variasi Jarak antar PVD

| Jarak PVD | D |
|-----------|--------|
| s (m) | (mm) |
| 0.8 | 840 |
| 1.25 | 1312.5 |
| 1 | 1050 |
| 1.5 | 1575 |
| 1.75 | 1837.5 |

b. Fungsi Hambatan Akibat Jarak Antar PVD (F(n))

Perhitungan besar fungsi hambatan yang diakibatkan jarak antar PVD untuk berbagai variasi jarak pemasangan PVD dihitung dengan menggunakan persamaan (2.31) sebagai berikut:

$$F(n) = (n^2/(n^2-1)) \times (\ln(n) - \frac{3}{4} - (\frac{1}{4} n^2))$$

$$n = D/dw$$

Fungsi hambatan dengan (S) = 0,8 m

$$n_{0,8} = \frac{D_{0,8}}{dw_{0,8}}$$

$$n_{0,8} = \frac{840 \text{ mm}}{66,242 \text{ mm}}$$

$$n_{0,8} = 12,681$$

$$F(n) = (12,681^2 / (12,681^2 - 1)) \times (\ln(12,681) - \frac{3}{4} - (\frac{1}{4} 12,681^2))$$

$$F(n) = 1,804$$

Fungsi hambatan dengan (S) = 1 m

$$n_1 = \frac{D_1}{dw_1}$$

$$n_1 = \frac{1050 \text{ mm}}{66,242 \text{ mm}}$$

$$n_1 = 15,851$$

$$F(n) = (15,851^2 / (15,851^2 - 1)) \times (\ln(15,851) - \frac{3}{4} - (\frac{1}{4} 15,851^2))$$

$$F(n) = 2,023$$

Untuk perhitungan fungsi hambatan pada jarak antar pemasangan PVD yang lainnya tersaji pada tabel 6.2 sebagai berikut:

Tabel 6. 2 Fungsi Hambatan PVD Pola Pemasangan Segitiga

| Jarak PVD | D | a | b | Dw | D/Dw (n) | n ² | F (n) |
|-----------|--------|------|------|--------|----------|----------------|-------|
| s (m) | (mm) | (mm) | (mm) | (mm) | | | |
| 0.8 | 840 | 100 | 4 | 66.242 | 12.681 | 160.802 | 1.804 |
| 1.25 | 1312.5 | 100 | 4 | 66.242 | 19.814 | 392.583 | 2.243 |
| 1 | 1050 | 100 | 4 | 66.242 | 15.851 | 251.253 | 2.023 |
| 1.5 | 1575 | 100 | 4 | 66.242 | 23.776 | 565.319 | 2.424 |
| 1.75 | 1837.5 | 100 | 4 | 66.242 | 27.739 | 769.462 | 2.577 |

c. Perhitungan Derajat Konsolidasi Total

Perhitungan derajat konsolidasi arah horizontal dan vertikal untuk jarak pemasangan PVD (S) = 1 m, dengan pola pemasangan segitiga dapat dihitung dengan menggunakan persamaan (2.24) sebagai berikut:

Derajat konsolidasi total minggu ke 1

Untuk :

$$\begin{aligned} S &= 1 \text{ m} \\ D &= 1050 \text{ mm} \\ F(n) &= 2,023 \\ T &= 1 \text{ (minggu) asumsi} \\ C_v &= 0,00073 \text{ cm}^2/\text{sec} \\ &= 0,044 \text{ m}^2/\text{minggu} \\ C_h &= (2-5) \cdot C_v \end{aligned}$$

$$\begin{aligned} \text{Dipakai } C_h &= 3 \times C_v \\ &= 3 \times 0,044 \text{ m}^2/\text{minggu} \\ &= 0,132 \text{ m}^2/\text{minggu} \end{aligned}$$

Derajat konsolidasi vertikal

$$t = \frac{(Hdr)^2 T}{C_v} \Leftrightarrow T_v = \frac{t \times C_v}{(Hdr)^2}$$

$$T_v = \frac{1 \times 0,044 \text{ m}^2/\text{minggu}}{(27 \text{ m})^2}$$

$$T_v = 6,0563 \times 10^{-5}$$

$$U_v = \left(2 \sqrt{\frac{T_v}{\pi}} \right)$$

$$U_v = \left(2 \sqrt{\frac{6,0563 \times 10^{-5}}{3,14}} \right)$$

$$Uv = 0,009$$

Derajat konsolidasi horizontal

$$Uh = \left[1 - \left[\frac{1}{e^{\left(\frac{t \times 8 \times ch}{D^2 \times 2 \times F(n)} \right)}} \right] \right]$$

$$Uh = \left[1 - \left[\frac{1}{e^{\left(\frac{1 \times 8 \times 0,132 \text{ m}^2/\text{minggu}}{(1050 \text{ mm})^2 \times 2 \times 2,023} \right)}} \right] \right]$$

$$Uh = 0,211$$

Derajat konsolidasi total

$$U_{total} = (1 - (1 - Uh) \times (1 - Uv)) \times 100\%$$

$$U_{total} = (1 - (1 - 0,211) \times (1 - 0,009)) \times 100\%$$

$$U_{total} = 21,834 \%$$

Derajat konsolidasi total minggu ke 2

Untuk :

$$S = 1 \text{ m}$$

$$D = 1050 \text{ mm}$$

$$F(n) = 2,023$$

$$T = 2 \text{ (minggu)}$$

$$Cv = 0,00073 \text{ cm}^2/\text{sec}$$

$$= 0,044 \text{ m}^2/\text{minggu}$$

$$Ch = (2-5) \cdot Cv$$

$$\text{Dipakai } Ch = 3 \times Cv$$

$$= 3 \times 0,044 \text{ m}^2/\text{minggu}$$

$$= 0,132 \text{ m}^2/\text{minggu}$$

Derajat konsolidasi vertikal

$$t = \frac{(Hdr)^2 T}{Cv} \Leftrightarrow Tv = \frac{t \times Cv}{(Hdr)^2}$$

$$Tv = \frac{2 \times 0,044 \text{ m}^2 / \text{minggu}}{(27 \text{ m})^2}$$

$$Tv = 0,00012$$

$$Uv = \left(2 \sqrt{\frac{Tv}{\pi}} \right)$$

$$Uv = \left(2 \sqrt{\frac{0,00012}{3,14}} \right)$$

$$Uv = 0,012$$

Derajat konsolidasi horizontal

$$Uh = \left[1 - \left[\frac{1}{e^{\left(\frac{t \times 8 \times ch}{D^2 \times 2 \times F(n)} \right)}} \right] \right]$$

$$Uh = \left[1 - \left[\frac{1}{e^{\left(\frac{2 \times 8 \times 0,132 \text{ m}^2 / \text{minggu}}{(1050 \text{ mm})^2 \times 2 \times 2,023} \right)}} \right] \right]$$

$$Uh = 0,378$$

Derajat konsolidasi total

$$U_{total} = (1 - (1 - Uh) \times (1 - Uv)) \times 100\%$$

$$U_{total} = (1 - (1 - 0,378) \times (1 - 0,012)) \times 100\%$$

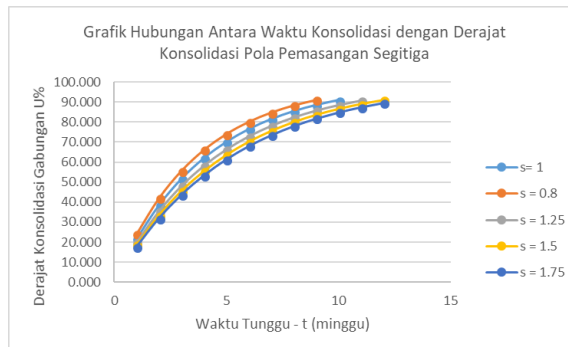
$$U_{total} = 38,585 \%$$

Perhitungan derajat konsolidasi total (U_{total}) untuk minggu selanjutnya dapat dilihat pada tabel 6.3

Tabel 6. 3 Hasil Derajat Konsolidasi Total untuk Pola Pemasangan Segitiga dengan Spasi 1 m

| t (minggu) | Tv | Uv (%) | Uh (%) | U total (%) |
|------------|----------|--------|--------|-------------|
| 1 | 6.06E-05 | 0.009 | 0.211 | 21.834 |
| 2 | 0.00012 | 0.012 | 0.378 | 38.585 |
| 3 | 0.00018 | 0.015 | 0.510 | 51.706 |
| 4 | 0.00024 | 0.018 | 0.613 | 62.007 |
| 5 | 0.00030 | 0.020 | 0.695 | 70.102 |
| 6 | 0.00036 | 0.022 | 0.760 | 76.468 |
| 7 | 0.00042 | 0.023 | 0.810 | 81.476 |
| 8 | 0.00048 | 0.025 | 0.850 | 85.416 |
| 9 | 0.00055 | 0.026 | 0.882 | 88.517 |
| 10 | 0.00061 | 0.028 | 0.907 | 90.958 |

Untuk mencapai derajat konsolidasi total 90 % akibat beban timbuan dapat dicapai dengan waktu 10 minggu, dalam hal ini penurunan 90 % sebesar 33,858 cm dapat ditempuh dalam 10 minggu dengan pola pemasangan segitiga.



Grafik 6. 1 Hubungan Antara Waktu Konsolidasi dengan Derajat Konsolidasi

6.1.2 Pola Pemasangan Segiempat

a. Perhitungan Diameter Ekuivalen

Perhitungan diameter ekuivalen untuk PVD menggunakan persamaan (2.30) berdasarkan data spesifikasi PVD yang merujuk pada subbab 4.3.1.

$$dw = \frac{2(a+b)}{\pi}$$

dimana:

- *Thickness* (a) = 100 mm
- *Width* (b) = 4 mm

$$dw = \frac{2(100 \text{ mm} + 4 \text{ mm})}{3,14}$$

$$dw = 66,242 \text{ mm}$$

Diameter ekuivalen (D) dari lingkaran tanah pengaruh dari PVD. Harga D (pola segiempat) = 1,13 S (S = jarak antar pemasangan PVD). Untuk analisa perbaikan tanah tersebut, jarak pemasangan PVD (S) diasumsi dengan jarak 0,8 m, 1 m, 1,25 m, 1,5 m, 1,75 m.

Diameter Ekivalen dengan S = 0,8 m

$$D_{0,8} = 1,13 \times S$$

$$D_{0,8} = 1,13 \times 0,8$$

$$D_{0,8} = 0,94 \text{ mm} \Leftrightarrow 940 \text{ mm}$$

Diameter Ekivalen dengan S = 1 m

$$D_{0,8} = 1,13 \times S$$

$$D_{0,8} = 1,13 \times 1$$

$$D_{0,8} = 1,13 \text{ mm} \Leftrightarrow 1130 \text{ mm}$$

Untuk diameter ekivalen pada jarak antar pemasangan PVD selanjutnya tersaji pada tabel sebagai berikut:

Tabel 6. 4 Diameter Ekuivalen dengan Variasi Jarak antar PVD

| Jarak PVD | D |
|-----------|--------|
| s (m) | (mm) |
| 0.8 | 904 |
| 1.25 | 1412.5 |
| 1 | 1130 |
| 1.5 | 1695 |
| 1.75 | 1977.5 |

b. Fungsi Hambatan Akibat Jarak Antar PVD (F(n))

Perhitungan besar fungsi hambatan yang diakibatkan jarak antar PVD untuk berbagai variasi jarak pemasangan PVD dihitung dengan menggunakan persamaan (2.31) sebagai berikut:

$$F(n) = (n^2/(n^2-1)) \times (\ln(n) - \frac{3}{4} - (\frac{1}{4} n^2))$$

$$n = D/dw$$

Fungsi hambatan dengan (S) = 0,8 m

$$n_{0,8} = \frac{D_{0,8}}{dw_{0,8}}$$

$$n_{0,8} = \frac{940 \text{ mm}}{66,242 \text{ mm}}$$

$$n_{0,8} = 13,647$$

$$F(n) = (13,467^2/(13,467^2 - 1)) \times (\ln(13,467) - \frac{3}{4} - (\frac{1}{4} 13,467^2))$$

$$F(n) = 1,876$$

Fungsi hambatan dengan (S) = 1 m

$$n_1 = \frac{D_1}{dw_1}$$

$$n_1 = \frac{1130 \text{ mm}}{66,242 \text{ mm}}$$

$$n_1 = 17,059$$

$$F(n) = (17,059^2 / (17,059^2 - 1)) \times (\ln(17,059) - \frac{3}{4} - (\frac{1}{4} 17,059^2))$$

$$F(n) = 2,096$$

Untuk perhitungan fungsi hambatan pada jarak antar pemasangan PVD yang lainnya tersaji pada tabel 6.2 sebagai berikut:

Tabel 6. 5 Fungsi Hambatan PVD Pola Pemasangan Segiempat

| Jarak PVD | D | a | b | Dw | D/Dw (n) | n ² | F (n) |
|-----------|--------|------|------|--------|----------|----------------|-------|
| s (m) | (mm) | (mm) | (mm) | (mm) | | | |
| 0.8 | 904 | 100 | 4 | 66.242 | 13.647 | 186.239 | 1.876 |
| 1.25 | 1412.5 | 100 | 4 | 66.242 | 21.323 | 454.684 | 2.316 |
| 1 | 1130 | 100 | 4 | 66.242 | 17.059 | 290.998 | 2.096 |
| 1.5 | 1695 | 100 | 4 | 66.242 | 25.588 | 654.745 | 2.497 |
| 1.75 | 1977.5 | 100 | 4 | 66.242 | 29.853 | 891.180 | 2.650 |

c. Perhitungan Derajat Konsolidasi Total

Perhitungan derajat konsolidasi arah horizontal dan vertikal untuk jarak pemasangan PVD (S) = 1 m, dengan pola pemasangan segiempat dapat dihitung dengan menggunakan persamaan (2.24) sebagai berikut:

Derajat konsolidasi total minggu ke 1

Untuk :

$$S = 1 \text{ m}$$

$$D = 1130 \text{ mm}$$

$$F(n) = 2,096$$

$$t = 1 \text{ (minggu) asumsi}$$

$$C_v = 0,00073 \text{ cm}^2/\text{sec}$$

$$= 0,044 \text{ m}^2/\text{minggu}$$

$$C_h = (2-5) \cdot C_v$$

$$\text{Dipakai } C_h = 3 \times C_v$$

$$= 3 \times 0,044 \text{ m}^2/\text{minggu}$$

$$= 0,132 \text{ m}^2/\text{minggu}$$

Derajat konsolidasi vertikal

$$t = \frac{(Hdr)^2 T}{Cv} \Leftrightarrow Tv = \frac{t \times Cv}{(Hdr)^2}$$

$$Tv = \frac{1 \times 0,044 \text{ m}^2/\text{minggu}}{(27 \text{ m})^2}$$

$$Tv = 6,0563 \times 10^{-5}$$

$$Uv = \left(2 \sqrt{\frac{Tv}{\pi}} \right)$$

$$Uv = \left(2 \sqrt{\frac{6,0563 \times 10^{-5}}{3,14}} \right)$$

$$Uv = 0,009$$

Derajat konsolidasi horizontal

$$Uh = \left[1 - \left[\frac{1}{e^{\left(\frac{t \times 8 \times ch}{D^2 \times 2 \times F(n)} \right)}} \right] \right]$$

$$Uh = \left[1 - \left[\frac{1}{e^{\left(\frac{1 \times 8 \times 0,132 \text{ m}^2/\text{minggu}}{(1130 \text{ mm})^2 \times 2 \times 2,096} \right)}} \right] \right]$$

$$Uh = 0,180$$

Derajat konsolidasi total

$$U_{total} = (1 - (1 - Uh) \times (1 - Uv)) \times 100\%$$

$$U_{total} = (1 - (1 - 0,180) \times (1 - 0,009)) \times 100\%$$

$$U_{total} = 18,683 \%$$

Derajat konsolidasi total minggu ke 2

Untuk :

$$S = 1 \text{ m}$$

$$D = 1130 \text{ mm}$$

$$F(n) = 2,096$$

$$T = 2 \text{ (minggu)}$$

$$C_v = 0,00073 \text{ cm}^2/\text{sec}$$

$$= 0,044 \text{ m}^2/\text{minggu}$$

$$Ch = (2-5) \cdot C_v$$

$$\text{Dipakai } Ch = 3 \times C_v$$

$$= 3 \times 0,044 \text{ m}^2/\text{minggu}$$

$$= 0,132 \text{ m}^2/\text{minggu}$$

Derajat konsolidasi vertikal

$$t = \frac{(Hdr)^2 T}{c_v} \Leftrightarrow Tv = \frac{t \times c_v}{(Hdr)^2}$$

$$Tv = \frac{2 \times 0,044 \text{ m}^2/\text{minggu}}{(27 \text{ m})^2}$$

$$Tv = 0,00012$$

$$Uv = \left(2 \sqrt{\frac{Tv}{\pi}} \right)$$

$$Uv = \left(2 \sqrt{\frac{0,00012}{3,14}} \right)$$

$$Uv = 0,012$$

Derajat konsolidasi horizontal

$$U_h = \left[1 - \left[\frac{1}{e^{\left(\frac{t \times 8 \times ch}{D^2 \times 2 \times F(n)} \right)}} \right] \right]$$

$$U_h = \left[1 - \left[\frac{1}{e^{\left(\frac{2 \times 8 \times 0,132 \text{ m}^2/\text{minggu}}{(1130 \text{ mm})^2 \times 2 \times 2,096} \right)}} \right] \right]$$

$$U_h = 0,327$$

Derajat konsolidasi total

$$U_{total} = (1 - (1 - U_h) \times (1 - U_v)) \times 100\%$$

$$U_{total} = (1 - (1 - 0,327) \times (1 - 0,012)) \times 100\%$$

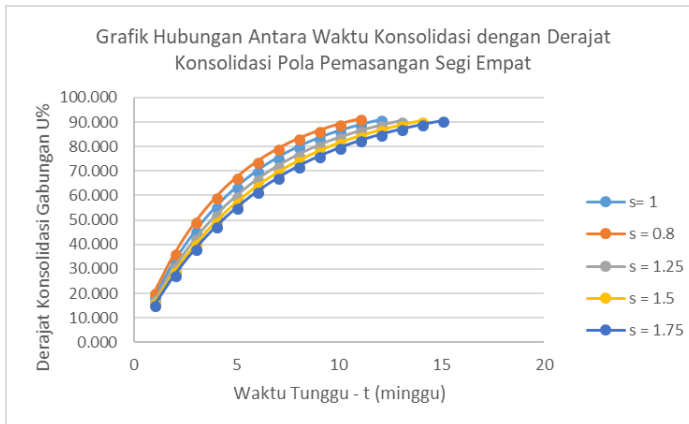
$$U_{total} = 33,535 \%$$

Perhitungan derajat konsolidasi total (U_{total}) untuk minggu selanjutnya dapat dilihat pada tabel 6.6

Tabel 6. 6 Hasil Derajat Konsolidasi Total untuk Pola Pemasangan Segiempat dengan Spasi 1 m

| t (minggu) | Tv | Uv (%) | Uh (%) | U total (%) |
|------------|----------|--------|--------|-------------|
| 1 | 6.06E-05 | 0.009 | 0.180 | 18.683 |
| 2 | 0.000121 | 0.012 | 0.327 | 33.535 |
| 3 | 0.00018 | 0.015 | 0.448 | 45.628 |
| 4 | 0.00024 | 0.018 | 0.547 | 55.501 |
| 5 | 0.00030 | 0.020 | 0.628 | 63.571 |
| 6 | 0.00036 | 0.022 | 0.695 | 70.172 |
| 7 | 0.00042 | 0.023 | 0.750 | 75.573 |
| 8 | 0.00048 | 0.025 | 0.795 | 79.994 |
| 9 | 0.00055 | 0.026 | 0.832 | 83.613 |
| 10 | 0.00061 | 0.028 | 0.862 | 86.576 |
| 11 | 0.00067 | 0.029 | 0.887 | 89.003 |
| 12 | 0.00073 | 0.030 | 0.907 | 90.990 |

Untuk mencapai derajat konsolidasi total 90 % akibat beban timbunan dapat dicapai dengan waktu 12 minggu, dalam hal ini penurunan 90 % sebesar 33,858 cm dapat ditempuh dalam 12 minggu dengan pola pemasangan segiempat.



Grafik 6. 2 Hubungan Antara Waktu Konsolidasi dengan Derajat Konsolidasi

BAB VII

PENURUNAN AKIBAT PENIMBUNAN SECARA BERTAHAP

Pada tahap berikut merupakan perhitungan penurunan akibat beban timbunan secara bertahap, dengan hasil penurunan yang lebih kecil dari penurunan akibat beban timbunan secara langsung dikarenakan pada timbunan secara bertahap memiliki umur timbunan, berdasarkan dengan umur timbunan maka kenaikan daya dukung tanah terjadi, untuk mendapatkan hasil dari perhitungan pada tahap ini, dengan menggunakan persamaan (2.18) s.d (2.20). namun pada perhitungan penurunan akibat beban timbunan bertahap memiliki tahapan – tahapan perhitungan sebagai berikut :

7.1 Penjadwalan Timbunan Bertahap

Pada subbab ini untuk menentukan penjadwalan secara bertahap dengan mengacu pada tinggi kritis dari timbunan pada zona tersebut dengan menggunakan *Geoslope*. Pada zona 1 tersebut tinggi timbunan kritis adalah 3 m, dengan makna pada zona 1 dapat melakukan penimbunan bertahap secara terus menerus setinggi 3 m pada tabel 5.12 merupakan hasil analisis stabilitas timbunan. Di asumsikan kecepatan penimbunan 50 cm/minggu, sehingga untuk menimbun setinggi 3 m diperlukan 6 tahap.

Tabel 7. 1 Umur Timbunan Ke-I pada Minggu Ke-6

| Umur Timbunan | | | | | | |
|-----------------|--------------------|----------|----------|----------|----------|----------|
| Tinggi Timbunan | Tahapan Penimbunan | | | | | |
| | 1 | 2 | 3 | 4 | 5 | 6 |
| 0.5 m | 1 minggu | 0 | 0 | 0 | 0 | 0 |
| 1 m | 2 minggu | 1 minggu | 0 | 0 | 0 | 0 |
| 1,5 m | 3 minggu | 2 minggu | 1 minggu | 0 | 0 | 0 |
| 2 m | 4 minggu | 3 minggu | 2 minggu | 1 minggu | 0 | 0 |
| 2,5 m | 5 minggu | 4 minggu | 3 minggu | 2 minggu | 1 minggu | 0 |
| 3 m | 6 minggu | 5 minggu | 4 minggu | 3 minggu | 2 minggu | 1 minggu |

7.2 Tegangan pada Setiap Lapisan Tanah untuk Derajat Konsolidasi 100 %

Untuk menghitung penambahan tegangan (Δp) pada subbab ini sama dengan pada perhitungan penambahan tegangan seperti pada subbab 5.1.3

- $H_{\text{timb}} = 0,5 \text{ m}$
- $\gamma_{\text{timb}} = 18 \text{ kN/m}^3$
- $q_0 = (H_{\text{timb}} \times \gamma_{\text{timb}})$
 $= (0,5 \text{ m} \times 18 \text{ kN/m}^3)$
 $= 9 \text{ kN/m}^2$
- $B1 = \frac{1}{2} \text{ lebar timbunan}$
 $= \frac{1}{2} \times 34,10 \text{ m}$
 $= 17,05 \text{ m}$
- $B2 = \text{lebar kemiringan timbunan } (2 \times H_{\text{timb}})$
 $= 2 \times 0,5 \text{ m}$
 $= 1 \text{ m}$
- $\alpha 1 = \tan^{-1} \frac{(B1+B2)}{Z} - \tan^{-1} \frac{B1}{Z} \text{ (radian)}$
 $= \tan^{-1} \frac{(17,05 \text{ m} + 1 \text{ m})}{0,5 \text{ m}} - \tan^{-1} \frac{17,05 \text{ m}}{0,5}$ (radian)
 $= \tan^{-1} (36,1) - \tan^{-1} (34,1) \text{ (radian)}$
 $= 0,093$
- $\alpha 2 = \tan^{-1} \frac{B1}{Z} \text{ (radian)}$
 $= \tan^{-1} \frac{17,05 \text{ m}}{0,5 \text{ m}} \text{ (radian)}$
 $= \tan^{-1} (34,1) \text{ (radian)}$
 $= 88,320$
- $\Delta p = \frac{9 \text{ kN/m}^2}{180} \left[\left(\frac{17,05 \text{ m} + 1 \text{ m}}{1 \text{ m}} \right) \right] \times (0,093 +$
 $88,320) - \left[\left(\frac{17,05 \text{ m}}{1 \text{ m}} \right) \times 88,320 \right]$
 $\Delta p = 4,5 \text{ kN/m}^2$

Hasil perhitungan Δp merupakan akibat dari beban $\frac{1}{2}$ timbunan, ΔP_1 , ΔP_2 , ΔP_3 hasilnya sama, untuk penambahan tegangan total timbunan, yakni $2x$ dari Δp , didapatkan hasil:

$$2\Delta p = 2 \times 4,5 \text{ kN/m}^2$$

$$2\Delta p = 9 \text{ kN/m}^2$$

Perhitungan Perubahan tegangan didapatkan dari :

$$\sigma_1' = P_0 + \Delta P_1$$

$$\sigma_2' = \sigma_1' + \Delta P_2$$

Perhitungan tersebut dilakukan hingga tinggi timbunan kritis tercapai, hasil dari P_0 , σ_1' , σ_2' berbeda – beda pada setiap kedalaman tanah. Berikut merupakan contoh perhitungan penambahan tegangan dengan derajat konsolidasi 100 % pada penimbunan tahap 1 untuk tegangan pada kedalaman tanah 1 m. Untuk besaran nilai P_0 mengacu pada tabel 5.3.

$$\sigma_1' = P_0 + \Delta P_1$$

$$\sigma_1' = 3,35 \text{ kN/m}^2 + 9 \text{ kN/m}^2$$

$$\sigma_1' = 12,35 \text{ kN/m}^2$$

Untuk hasil penambahan tegangan akibat penimbunan tahap 1 pada kedalaman tanah selanjutnya disajikan dalam tabel 7.2. Perhitungan penambahan tegangan pada penimbunan tahap 2 untuk tegangan pada kedalaman tanah 1 m adalah sebagai berikut:

$$\sigma_2' = \sigma_1' + \Delta P_2$$

$$\sigma_2' = 12,35 \text{ kN/m}^2 + 9 \text{ kN/m}^2$$

$$\sigma_2' = 21,35 \text{ kN/m}^2$$

Untuk hasil penambahan tegangan akibat penimbunan tahap 2 pada kedalaman tanah selanjutnya disajikan dalam tabel 7.2.

Tabel 7. 2 Penambahan Tegangan untuk Derajat Konsolidasi 100 %

| Derajat Konsolidasi 100 % | | | | | | | |
|---------------------------|-------------------------|-------------------------------------|-------------------------------------|-------------------------------------|-------------------------------------|-------------------------------------|-------------------------------------|
| Tegangan | Po kN/m ² | σ ₁ kN/m ² | σ ₂ kN/m ² | σ ₃ kN/m ² | σ ₄ kN/m ² | σ ₅ kN/m ² | σ ₆ kN/m ² |
| Kedalaman (m) | H = 0 m | H = 0,5 m | H = 1 m | H = 1,5 m | H = 2 m | H = 2,5 m | H = 3 m |
| 1 | 3.350 | 12.350 | 21.350 | 30.350 | 39.350 | 48.350 | 57.350 |
| 2 | 10.050 | 19.050 | 28.050 | 37.050 | 46.050 | 55.050 | 64.050 |
| 3 | 16.750 | 25.750 | 34.750 | 43.750 | 52.750 | 61.750 | 70.750 |
| 4 | 23.450 | 32.450 | 41.450 | 50.450 | 59.450 | 68.450 | 77.450 |
| 5 | 30.150 | 39.150 | 48.150 | 57.150 | 66.150 | 75.150 | 84.150 |
| 6 | 36.850 | 45.850 | 54.850 | 63.850 | 72.850 | 81.850 | 90.850 |
| 7 | 43.550 | 52.550 | 61.550 | 70.550 | 79.550 | 88.550 | 97.550 |
| 8 | 50.250 | 59.250 | 68.250 | 77.250 | 86.250 | 95.250 | 104.250 |
| 9 | 56.950 | 65.950 | 74.950 | 83.950 | 92.950 | 101.950 | 110.950 |
| 10 | 63.650 | 72.650 | 81.650 | 90.650 | 99.650 | 108.650 | 117.650 |
| 11 | 70.350 | 79.350 | 88.350 | 97.350 | 106.350 | 115.350 | 124.350 |
| 12 | 77.050 | 86.050 | 95.050 | 104.050 | 113.050 | 122.050 | 131.050 |
| 13 | 83.750 | 92.750 | 101.750 | 110.750 | 119.750 | 128.750 | 137.750 |
| 14 | 90.450 | 99.450 | 108.450 | 117.450 | 126.450 | 135.450 | 144.450 |
| 15 | 97.150 | 106.150 | 115.150 | 124.150 | 133.150 | 142.150 | 151.150 |
| 16 | 103.850 | 112.850 | 121.850 | 130.850 | 139.850 | 148.850 | 157.850 |
| 17 | 110.550 | 119.550 | 128.550 | 137.550 | 146.550 | 155.550 | 164.550 |
| 18 | 117.250 | 126.250 | 135.250 | 144.250 | 153.250 | 162.250 | 171.250 |
| 19 | 123.950 | 132.950 | 141.950 | 150.950 | 159.950 | 168.950 | 177.950 |
| 20 | 130.650 | 139.650 | 148.650 | 157.650 | 166.650 | 175.650 | 184.650 |
| 21 | 137.350 | 146.350 | 155.350 | 164.350 | 173.350 | 182.350 | 191.350 |
| 22 | 144.050 | 153.050 | 162.050 | 171.050 | 180.050 | 189.050 | 198.050 |
| 23 | 150.750 | 159.750 | 168.750 | 177.750 | 186.750 | 195.750 | 204.750 |
| 24 | 157.450 | 166.450 | 175.450 | 184.450 | 193.450 | 202.450 | 211.450 |
| 25 | 164.150 | 173.150 | 182.150 | 191.150 | 200.150 | 209.150 | 218.150 |
| 26 | 170.850 | 179.850 | 188.850 | 197.850 | 206.850 | 215.850 | 224.850 |
| 27 | 177.550 | 186.550 | 195.550 | 204.550 | 213.550 | 222.550 | 231.550 |

Setelah mendapatkan nilai penambahan tegangan akibat beban bertahap dengan $U = 100\%$, maka untuk mendapatkan nilai C_u baru harus menghitung penambahan tegangan efektif akibat beban timbunan apabila $U < 100\%$. Untuk perhitungan tegangan efektif $U < 100\%$ menggunakan rumus sebagai berikut.

$$\Delta p_1 = \left\{ \left(\frac{\sigma_1'}{P_o} \right)^{U \text{ 6 minggu}} \times P_o \right\} - P_o$$

$$\Delta p2 = \left\{ \left(\frac{\sigma_2'}{\sigma_1'} \right)^{U \text{ 5 minggu}} \times \sigma_1' \right\} - \sigma_1'$$

Dimana nilai U mengacu pada jenis pola pemasangan dan jarak pemasangan PVD yang digunakan, hasil dari nilai U tersaji pada tabel 6.3 karena pada proyek akhir terapan ini menggunakan pola pemasangan segitiga dan jarak pemasangan antar PVD adalah 1 m. Sehingga penambahan tegangan dengan $U < 100 \%$ untuk tahap 1 pada kedalaman tanah 1 m adalah sebagai berikut:

$$\Delta p1 = \left\{ \left(\frac{12,35 \text{ kN/m}^2}{3,35 \text{ kN/m}^2} \right)^{0,76468} \times 3,35 \text{ kN/m}^2 \right\} - 3,35 \text{ kN/m}^2$$

$$\Delta p1 = 5,735 \text{ kN/m}^2$$

Untuk tahap 2 pada kedalaman tanah 1 m

$$\Delta p2 = \left\{ \left(\frac{21,35 \text{ kN/m}^2}{12,35 \text{ kN/m}^2} \right)^{0,70102} \times 12,35 \text{ kN/m}^2 \right\} - 12,35 \text{ kN/m}^2$$

$$\Delta p2 = 5,777 \text{ kN/m}^2$$

Untuk hasil dari perhitungan penambahan tegangan pada tahapan selanjutnya tersaji pada tabel 7.3

Tabel 7. 3 Penambahan Tegangan untuk Derajat Konsolidasi < 100 %

| Perubahan Tegangan | Po kN/m ² | σ_1 kN/m ² | σ_2 kN/m ² | σ_3 kN/m ² | σ_4 kN/m ² | σ_5 kN/m ² | σ_6 kN/m ² | $\sigma \Sigma$ kN/m ² |
|--------------------|-------------------------|------------------------------|------------------------------|------------------------------|------------------------------|------------------------------|------------------------------|--------------------------------------|
| Tinggi Penimbun | H = 0 m | H = 0,5 m | H = 1 m | H = 1,5 m | H = 2 m | H = 2,5 m | H = 3 m | |
| Umur Timbunan | - | 6 minggu | 5 minggu | 4 minggu | 3 minggu | 2 minggu | 1 minggu | |
| U (%) | 100 | 76.468 | 70.102 | 62.007 | 51.706 | 38.585 | 21.834 | |
| Kedalaman | | | | | | | | |
| 1 | 3.350 | 5.735 | 5.777 | 5.203 | 4.362 | 3.255 | 1.836 | 29.518 |
| 2 | 10.050 | 6.339 | 5.936 | 5.283 | 4.409 | 3.284 | 1.850 | 37.150 |
| 3 | 16.750 | 6.522 | 6.021 | 5.334 | 4.443 | 3.306 | 1.862 | 44.238 |
| 4 | 23.450 | 6.612 | 6.075 | 5.371 | 4.469 | 3.323 | 1.871 | 51.171 |
| 5 | 30.150 | 6.666 | 6.111 | 5.398 | 4.489 | 3.337 | 1.879 | 58.031 |
| 6 | 36.850 | 6.702 | 6.138 | 5.419 | 4.505 | 3.349 | 1.886 | 64.849 |
| 7 | 43.550 | 6.728 | 6.159 | 5.435 | 4.519 | 3.359 | 1.891 | 71.640 |
| 8 | 50.250 | 6.747 | 6.175 | 5.449 | 4.530 | 3.367 | 1.896 | 78.413 |
| 9 | 56.950 | 6.762 | 6.188 | 5.460 | 4.539 | 3.374 | 1.901 | 85.173 |
| 10 | 63.650 | 6.774 | 6.198 | 5.469 | 4.547 | 3.381 | 1.904 | 91.924 |
| 11 | 70.350 | 6.784 | 6.207 | 5.477 | 4.554 | 3.386 | 1.908 | 98.666 |
| 12 | 77.050 | 6.792 | 6.215 | 5.484 | 4.560 | 3.391 | 1.911 | 105.403 |
| 13 | 83.750 | 6.799 | 6.221 | 5.490 | 4.566 | 3.396 | 1.913 | 112.135 |
| 14 | 90.450 | 6.805 | 6.227 | 5.496 | 4.571 | 3.400 | 1.916 | 118.864 |
| 15 | 97.150 | 6.810 | 6.232 | 5.501 | 4.575 | 3.403 | 1.918 | 125.589 |
| 16 | 103.850 | 6.814 | 6.236 | 5.505 | 4.579 | 3.406 | 1.920 | 132.311 |
| 17 | 110.550 | 6.818 | 6.240 | 5.509 | 4.582 | 3.409 | 1.922 | 139.031 |
| 18 | 117.250 | 6.822 | 6.244 | 5.512 | 4.586 | 3.412 | 1.924 | 145.749 |
| 19 | 123.950 | 6.825 | 6.247 | 5.515 | 4.588 | 3.414 | 1.925 | 152.466 |
| 20 | 130.650 | 6.828 | 6.250 | 5.518 | 4.591 | 3.417 | 1.927 | 159.181 |
| 21 | 137.350 | 6.830 | 6.253 | 5.521 | 4.594 | 3.419 | 1.928 | 165.895 |
| 22 | 144.050 | 6.833 | 6.255 | 5.523 | 4.596 | 3.421 | 1.929 | 172.607 |
| 23 | 150.750 | 6.835 | 6.257 | 5.525 | 4.598 | 3.423 | 1.931 | 179.319 |
| 24 | 157.450 | 6.837 | 6.259 | 5.527 | 4.600 | 3.424 | 1.932 | 186.030 |
| 25 | 164.150 | 6.839 | 6.261 | 5.529 | 4.602 | 3.426 | 1.933 | 192.740 |
| 26 | 170.850 | 6.840 | 6.263 | 5.531 | 4.604 | 3.427 | 1.934 | 199.449 |
| 27 | 177.550 | 6.842 | 6.265 | 5.533 | 4.605 | 3.429 | 1.935 | 206.158 |

7.3 Kenaikan daya dukung tanah dasar dengan Cu yang baru

Berdasarkan hasil pada tabel 7.3, didapatkan kenaikan daya dukung tanah dasar dengan Cu yang baru. Menggunakan persamaan (2.21) dikarenakan PI yang tertera pada data laboratorium yang terlampir pada lampiran 10 < 120 %, sehingga kenaikan Cu pada setiap lapisan tanah di zona 1 sebagai berikut:

Kenaikan Cu pada 0 – 4 m dikarenakan memiliki PI yang sama yakni 31,6 %. Untuk perhitungan kenaikan Cu pada kedalaman 1 m.

$$Cu \text{ baru} = 0,0737 + [0,1899 - 0,0016 PI] \times \sum \sigma_1'$$

$$Cu \text{ baru} = 0,0737 + [0,1899 - 0,0016 \times 31,6 / 100] \times 29,518 \text{ kN/m}^2$$

$$Cu \text{ baru } 1 \text{ m} = 5,664 \text{ kN/m}^2$$

Untuk hasil dari kenaikan Cu pada kedalaman tanah selanjutnya tersaji pada tabel 7.4

Tabel 7. 4 Hasil Kenaikan Cu Baru

| Kedalaman (m) | PI | Cu lama | Cu baru | Cu baru pakai |
|---------------|--------|-------------------|-------------------|-------------------|
| | | kN/m ² | kN/m ² | kN/m ² |
| 1 | 31.6 | 22.3 | 5.664 | 5.664 |
| 2 | 31.6 | 22.3 | 7.110 | |
| 3 | 31.6 | 22.3 | 8.452 | |
| 4 | 31.6 | 22.3 | 9.765 | |
| 5 | 24 | 5.2 | 11.071 | 11.071 |
| 6 | 24 | 5.2 | 12.364 | |
| 7 | 26.25 | 3.3 | 13.648 | 13.648 |
| 8 | 26.25 | 3.3 | 14.931 | |
| 9 | 29.28 | 6.4 | 16.208 | 16.208 |
| 10 | 29.28 | 6.4 | 17.487 | |
| 11 | 27.215 | 8.3 | 18.767 | 18.767 |
| 12 | 27.215 | 8.3 | 20.044 | |
| 13 | 27.215 | 8.3 | 21.319 | |
| 14 | 27.215 | 8.3 | 22.594 | |
| 15 | 21.47 | 4 | 23.880 | 23.880 |
| 16 | 21.47 | 4 | 25.154 | |
| 17 | 21.47 | 4 | 26.428 | |
| 18 | 21.47 | 4 | 27.701 | |
| 19 | 21.47 | 4 | 28.975 | |
| 20 | 21.47 | 4 | 30.247 | |
| 21 | 21.47 | 4 | 31.520 | |
| 22 | 21.47 | 4 | 32.793 | |
| 23 | 21.47 | 4 | 34.065 | |
| 24 | 21.47 | 4 | 35.337 | |
| 25 | 21.47 | 4 | 36.609 | |
| 26 | 21.47 | 4 | 37.881 | |
| 27 | 21.47 | 4 | 39.152 | |

7.4 Penurunan Tanah Akibat Beban Timbunan Bertahap

Pada perhitungan penurunan akibat penimpunan bertahap menggunakan persamaan (2.18), (2.19), dan (2.20) sesuai dengan perubahan tegangan akibat setiap tahap timbunan. Berikut adalah contoh perhitungan penurunan akibat timbunan bertahap di STA 35 + 060 pada kedalaman 1 m. Dengan H inisial pada STA 35 + 060 adalah 2,736, sehingga penurunan akibat beban timbunan pada tahap 1 (50 cm) dengan derajat konsolidasi $< 100\%$ adalah sebagai berikut:

$$\sigma_1 = 5,735 \text{ kN/m}^2$$

$$Po1 = 3,35 \text{ kN/m}^2$$

$$Pc' = 58,27 \text{ kN/m}^2$$

$$Po1 + \sigma_1 = 5,735 \text{ kN/m}^2 + 3,35 \text{ kN/m}^2$$

$$Po1 + \sigma_1 = 9,085 \text{ kN/m}^2 < Pc'$$

Sehingga persamaan yang digunakan adalah persamaan (2.18)

$$Sc1 = \left[\frac{0,06005}{1+1,5} \log \left(\frac{3,35 \text{ kN/m}^2 + 5,735 \text{ kN/m}^2}{3,35 \text{ kN/m}^2} \right) \right] 1$$

$$Sc1 = 0,0104 \text{ m}$$

Berdasarkan pada gambar 5.2 kedalaman 16 m, tanah termasuk jenis tanah yang terkonsolidasi normal, sehingga persamaan yang digunakan adalah persamaan (2.20).

$$Sc16 = \left[\frac{0,7}{1+1,5} \log \left(\frac{3,35 \text{ kN/m}^2 + 5,735 \text{ kN/m}^2}{3,35 \text{ kN/m}^2} \right) \right] 1$$

$$Sc16 = 0,077 \text{ m}$$

Untuk hasil penurunan setiap lapisan akibat timbunan tahap 1 selengkapnya tersaji pada lampiran 19. Pada perhitungan penurunan akibat timbunan tahap 2 di STA 35 + 060 pada kedalaman 1 m. Adalah sebagai berikut:

$$\sigma_1 = 5,735 \text{ kN/m}^2$$

$$\begin{aligned}\sigma_2 &= 5,777 \text{ kN/m}^2 \\ Po1 &= 3,35 \text{ kN/m}^2 \\ Pc' &= 58,27 \text{ kN/m}^2 \\ Po1 + \sigma_1 + \sigma_2 &= (5,735 + 3,35 + 5,777) \text{ kN/m}^2 \\ Po1 + \sigma_1 + \sigma_2 &= 14,862 \text{ kN/m}^2 < Pc'\end{aligned}$$

Sehingga persamaan yang digunakan adalah persamaan (2.18)

$$\begin{aligned}Sc1 &= \left[\frac{0,06005}{1+1,5} \log \left(\frac{(3,35 + 5,735 + 5,777) \text{ kN/m}^2}{(3,35 + 5,735) \text{ kN/m}^2} \right) \right] 1 \\ Sc1 &= 0,0051 \text{ m}\end{aligned}$$

Pada kedalaman tanah 15 m

$$\begin{aligned}\sigma_1 &= 6,810 \text{ kN/m}^2 \\ \sigma_2 &= 6,232 \text{ kN/m}^2 \\ Po1 &= 97,150 \text{ kN/m}^2 \\ Pc' &= 105,40 \text{ kN/m}^2 \\ Po1 + \sigma_1 + \sigma_2 &= (97,150 + 6,81 + 6,232) \text{ kN/m}^2 \\ Po1 + \sigma_1 + \sigma_2 &= 110,192 \text{ kN/m}^2 < Pc'\end{aligned}$$

$$Sc = \frac{0,06005 \times 1}{1 + 1,5} \log \frac{105,40 \text{ kN/m}^2}{(97,150 + 6,810) \text{ kN/m}^2} + \frac{0,7 \times 1}{1 + 1,5} \log \left(\frac{110,192 \text{ kN/m}^2}{105,40 \text{ kN/m}^2} \right)$$

$$Sc = 0,0001 \text{ m}$$

Berdasarkan pada gambar 5.2 kedalaman 16 m, tanah termasuk jenis tanah yang terkonsolidasi normal, sehingga persamaan yang digunakan adalah persamaan (2.20).

$$\begin{aligned}Sc16 &= \left[\frac{0,7}{1+1,5} \log \left(\frac{110,192 \text{ kN/m}^2}{(97,150 + 6,810) \text{ kN/m}^2} \right) \right] 1 \\ Sc16 &= 0,0067 \text{ m}\end{aligned}$$

Untuk perhitungan dari penurunan akibat beban timbunan bertahap selengkapnya terlampir pada lampiran 19, dan

rekapitulasi hasil penurunan akibat timbunan bertahap tersaji pada tabel 7.5.

Tabel 7. 5 Rekapitulasi Penurunan Akibat Timbunan Bertahap

| Rekapitulasi Penurunan akibat timbunan bertahap (m) | |
|---|--------|
| Sc tahap 1 | 0.1055 |
| Sc tahap 2 | 0.0848 |
| Sc tahap 3 | 0.0688 |
| Sc tahap 4 | 0.0538 |
| Sc tahap 5 | 0.0383 |
| Sc tahap 6 | 0.0237 |

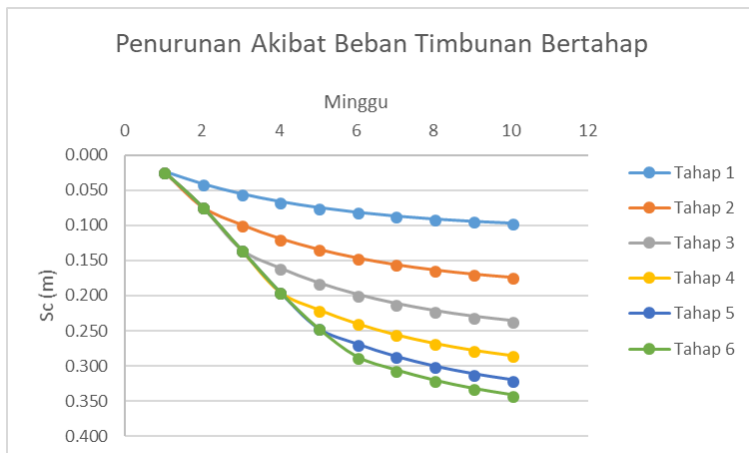
Pemampatan yang terjadi akan sesuai dengan derajat konsolidasi yang dipengaruhi PVD. Besarnya pemampatan akibat penahanan digunakan untuk menghitung pemampatan yang terjadi per minggunya. Berikut adalah contoh perhitungan pemampatan di zona 1 dengan kedalaman PVD penuh pada minggu 1 dan minggu 2 :

- Minggu 1
 - Sc = Sc total 1 (Sc kumulatif akibat tahap 1)
= 0,1055 m
 - $U_1 = 21,834 \%$
 - Sc minggu 1 = $0,21834 \times 0,1055 \text{ m}$
= 0,023 m
- Minggu 2
 - Sc = Sc total 1 + 2
= 0,1903 m
 - $U_2 = 35,585 \%$
 - Sc minggu 2 = $0,35584 \times 0,1903 \text{ m}$
= 0,073 m

Hasil dari perhitungan penurunan akibat beban timbunan bertahap tersaji pada tabel sebagai berikut:

Tabel 7. 6 Hasil Penurunan Akibat Penimbunan Bertahap

| Tahap Penimbunan | Sc | Sc kumulatif | Umur Timbunan | | | | | | | | | |
|------------------|--------|--------------|---------------|--------|--------|--------|--------|--------|--------|--------|--------|--------|
| | | | 1 | 2 | 3 | 4 | 5 | 6 | 7 | 8 | 9 | 10 |
| | | | U % | | | | | | | | | |
| | | | 21.834 | 38.585 | 51.706 | 62.007 | 70.102 | 76.468 | 81.476 | 85.416 | 88.517 | 90.958 |
| 1 | 0.1055 | 0.1055 | 0.023 | 0.041 | 0.055 | 0.065 | 0.074 | 0.081 | 0.086 | 0.090 | 0.093 | 0.096 |
| 2 | 0.0848 | 0.1903 | 0.023 | 0.073 | 0.098 | 0.118 | 0.133 | 0.146 | 0.155 | 0.163 | 0.168 | 0.173 |
| 3 | 0.0688 | 0.2591 | 0.023 | 0.073 | 0.134 | 0.161 | 0.182 | 0.198 | 0.211 | 0.221 | 0.229 | 0.236 |
| 4 | 0.0538 | 0.3129 | 0.023 | 0.073 | 0.134 | 0.194 | 0.219 | 0.239 | 0.255 | 0.267 | 0.277 | 0.285 |
| 5 | 0.0383 | 0.3512 | 0.023 | 0.073 | 0.134 | 0.194 | 0.246 | 0.269 | 0.286 | 0.300 | 0.311 | 0.319 |
| 6 | 0.0237 | 0.3749 | 0.023 | 0.073 | 0.134 | 0.194 | 0.246 | 0.287 | 0.305 | 0.320 | 0.332 | 0.341 |



Grafik 7. 1 Penurunan akibat penimbunan bertahap

“halaman ini sengaja dikosongkan“

BAB VIII

PERKUATAN TIMBUNAN MENGGUNAKAN GEOTEKSTILE

Berdasarkan penjelasan pada subbab 3.9 bahwa tinggi timbunan yang mencapai tinggi kritis mendapat perlakuan yakni, memberi perkuatan timbunan menggunakan geotekstile, apabila tidak ingin menggunakan perkuatan timbunan maka harus memperhatikan jadwal penimbunan secara bertahap, ketika penimbunan bertahap dilakukan secara terus menerus melampaui batas tinggi kritis maka harus dilakukan penundaan penimbunan hingga mencapai kenaikan daya dukung tanah yang membuat tinggi timbunan menjadi aman. Berikut adalah langkah – langkah menghitung perkuatan timbunan menggunakan geotekstile.

Tabel 8. 1 Rekapitulasi Angka Keamanan Akibat Tinggi Timbunan sebelum PVD

| REKAPITULASI SAFETY FACTOR (LAMA) | | | |
|-----------------------------------|----------|------------|------------|
| ZONA 1 (27 m) | TIMBUNAN | SF | KETERANGAN |
| | 1 | 4.453 | AMAN |
| | 1.5 | 3.615 | AMAN |
| | 2 | 1.536 | AMAN |
| | 2.5 | 1.883 | AMAN |
| | 3 | 1.529 | AMAN |
| | 3.5 | 1.087 | TIDAK AMAN |
| 4 | 1.071 | TIDAK AMAN | |
| ZONA 2 (10 m) | TIMBUNAN | SF | KETERANGAN |
| | 1 | 2.614 | AMAN |
| | 1.5 | 2.037 | AMAN |
| | 2 | 1.498 | AMAN |
| | 2.5 | 1.176 | TIDAK AMAN |
| | 3 | 1.102 | TIDAK AMAN |
| | 3.5 | 1.015 | TIDAK AMAN |
| 4 | 0.827 | TIDAK AMAN | |

Setelah dilakukannya perbaikan tanah dasar menggunakan PVD dan melalui perhitungan kenaikan daya dukung tanah dasar, mengakibatkan terjadinya perubahan angka keamana pada timbunan. Berikut merupakan perubahan angka keamanan yang tersaji pada tabel 8.2.

Tabel 8. 2 Rekapitulasi Angka Keamanan Akibat Timbunan setelah Diberi PVD

| REKAPITULASI SAFETY FACTOR (BARU) | | | |
|-----------------------------------|----------|-------|------------|
| ZONA 1 (27 m) | TIMBUNAN | SF | KETERANGAN |
| | 1 | 1.946 | AMAN |
| | 1.5 | 1.49 | AMAN |
| | 2 | 1.392 | AMAN |
| | 2.5 | 1.214 | AMAN |
| | 3 | 1.16 | TIDAK AMAN |
| | 3.5 | 1.020 | TIDAK AMAN |
| | 4 | 0.923 | TIDAK AMAN |
| ZONA 2 (10 m) | TIMBUNAN | SF | KETERANGAN |
| | 1 | 5.198 | AMAN |
| | 1.5 | 3.186 | AMAN |
| | 2 | 2.122 | AMAN |
| | 2.5 | 1.547 | AMAN |
| | 3 | 1.317 | AMAN |
| | 3.5 | 1.324 | AMAN |
| | 4 | 0.908 | TIDAK AMAN |

Berdasarkan dari hasil pada tabel 8.2, pada zona 1 angka keamanan menunjukkan tidak aman pada tinggi timbunan 3 – 4 m. Pada zona 1 STA 35 + 328 melakukan penimbunan dengan ketinggian 2 m – 3 m, dan pada zona 2 melakukan penimbunan dengan ketinggian > 3,5 m pada STA 37 + 340. Oleh karena itu

pada tinggi timbunan yang tidak aman tersebut harus di beri perkuatan timbunan agar dapat dilakukan penimbunan bertahap secara terus menerus tanpa penundaan penimbunan.

Perhitungan perkuatan timbunan dengan geotekstil menggunakan persamaan (2.32) s.d (2.36)

Tabel 8. 3 Hasil Output Slide Mass dari Program Bantu Geoslope dengan Tinggi Timbunan 4 m Zona 2

| | |
|-------------------------|-----------------------|
| Parameter | |
| Method | Bishop |
| Factor of Safety | 0.908 |
| Total Volume | 13.116 m ³ |
| Total Weight | 236.08 kN |
| Total Resisting Moment | 1,289.7 kN-m |
| Total Activating Moment | 1,420.3 kN-m |
| Total Resisting Force | |
| Total Activating Force | |

Tabel 8. 4 Hasil Output Slide Mass dari Program Bantu Geoslope dengan Tinggi Timbunan 3 m Zona 1

| | |
|-------------------------|-----------------------|
| Parameter | |
| Method | Bishop |
| Factor of Safety | 1.116 |
| Total Volume | 9.4221 m ³ |
| Total Weight | 169.58 kN |
| Total Resisting Moment | 831.61 kN-m |
| Total Activating Moment | 745.31 kN-m |
| Total Resisting Force | |
| Total Activating Force | |

Perhitungan geotekstile dengan tinggi timbunan 3,92 m pada zona 2 berdasarkan data spesifikasi geotekstil yang tertera pada subbab 4.3.2

$$\Delta MR = (MD \times SF) - MR$$

$$\Delta MR = (1.420,3 \text{ kNm} \times 1,2) - 1.289,7 \text{ kNm}$$

$$\Delta MR = 414,75 \text{ kNm}$$

Untuk menghitung besarnya kekuatan Geotextile yang diizinkan digunakan persamaan (2.33).

$$T_{allow} = \frac{52 \text{ kNm}}{1,5 \times 3 \times 1,25 \times 1,15}$$

$$T_{allow} = \frac{52 \text{ kNm}}{6,46875}$$

$$T_{allow} = 8,039 \text{ kNm}$$

Dengan data timbunan:

- $H_i = 3,92 \text{ m}$
- $\gamma_{timb} = 18 \text{ kN/m}^3$
- $\sigma_v = \gamma_{timb} \times H_i$
- $\sigma_v = 18 \text{ kN/m}^3 \times 3,92 \text{ m}$
- $\sigma_v = 70,56 \text{ kN/m}^2$
- $C_u = 0$
- $\phi_{timb} = 30^\circ$
- $\tau_1 = C_u + (\sigma_v \times \tan \phi)$
- $\tau_1 = 0 + (70,56 \text{ kN/m}^2 \times \tan 30^\circ)$
- $\tau_1 = 40,738 \text{ kN/m}^2$

Data lapisan tanah dasar:

- $\gamma = 16,8 \text{ kN/m}^3$

- $Cu = 17,176 \text{ kN/m}^2$
- $\phi = 11,35^\circ$
- $\tau_2 = Cu + (\sigma_v \times \tan \phi)$
 $\tau_2 = 17,176 \text{ kN/m}^2 + (70,56 \text{ kN/m}^2 \times \tan 11,35^\circ)$
 $\tau_2 = 31,340 \text{ kN/m}^2$

Panjang geotekstile dibelakang bidang longsor

$$L_e = \frac{8,039 \text{ kNm} \times 1,2}{(40,738 \text{ kN/m}^2 + 31,340 \text{ kN/m}^2) \times 0,8}$$

$$L_e = 0,167 \text{ m}$$

Menghitung kebutuhan geotekstile dapat digunakan dengan rumus sebagai berikut:

$$M_{\text{geotekstile}} = T_{\text{allow}} \times Ti$$

Dimana:

T_{allow} = Kekuatan geotekstile yang tersedia

Ti = Y_0 (koordinat Y_{center} *geoslope*) – Yz (koordinat Y tepi dasar

timbunan)

$$M_{\text{geotekstile}} = 8,039 \text{ kNm} \times (48,493 - 33) \text{ meter}$$

$$M_{\text{geotekstile}} = 124,543 \text{ kNm}$$

Berikut adalah tabel hasil perhitungan momen penahan serta panjang L_e .

Tabel 8. 5 Hasil Perhitungan Momen Penahan oleh Geotekstle dan Panjang Geotekstile di Belakang Bidang Longsor

| Jumlah (n) | Hi (m) | Ti (m) | (τ_1) kN/m ² | (τ_2) kN/m ² | Mgeotekstile kNm | Σ Mgeotekstile kNm | Le (m) |
|------------|--------|--------|-----------------------------------|-----------------------------------|---------------------|------------------------------|--------|
| 1 | 3.92 | 15.49 | 40.74 | 31.34 | 124.54 | 124.54 | 0.167 |
| 2 | 3.67 | 15.24 | 38.14 | 38.14 | 122.53 | 247.08 | 0.158 |
| 3 | 3.42 | 14.99 | 35.54 | 35.54 | 120.52 | 367.60 | 0.170 |
| 4 | 3.17 | 14.74 | 32.94 | 32.94 | 118.51 | 486.11 | 0.183 |

Jumlah geotekstil = 4 lapis untuk mendapatkan hasil:

$$\Sigma \text{Momen} > \Delta M_R$$

$$486,11 \text{ kNm} > 414,75 \text{ kNm}$$

Menghitung Panjang Geotekstile di depan bidang longsor (L_D), dengan menggunakan persamaan (2.35), maka hasil dari perhitungan panjang geotekstile di depan bidang longsor tersaji pada tabel 8.6 sebagai berikut:

Tabel 8. 6 Hasil Perhitungan Panjang Geotekstile didepan Bidang Longsor

| Jumlah (n) | Hi (m) | Koordinat Pakai | | Koordinat X tepi timbunan | Ld |
|------------|--------|-----------------|-------|---------------------------|------|
| | | X | Y | | |
| 1 | 3.92 | 23.25 | 33.00 | 24.00 | 0.75 |
| 2 | 3.67 | 21.05 | 33.25 | 23.50 | 2.45 |
| 3 | 3.42 | 19.91 | 33.50 | 22.98 | 3.07 |
| 4 | 3.17 | 19.10 | 33.74 | 22.49 | 3.39 |

Sehingga didapatkan Panjang geotekstil total selebar timbunan sebagai berikut:

Tabel 8. 7 Hasil Panjang Total Geotekstile

| Jumlah (n) | Le | Ld | L total (m) | L lebar timbunan (m) |
|------------|-------|------|-------------|----------------------|
| 1 | 0.167 | 0.75 | 0.917 | 1.835 |
| 2 | 0.158 | 2.45 | 2.610 | 5.220 |
| 3 | 0.170 | 3.07 | 3.238 | 6.475 |
| 4 | 0.183 | 3.39 | 3.569 | 7.138 |

Perhitungan geotekstile dengan tinggi timbunan 2,736 m pada zona 1 berdasarkan data spesifikasi geotekstile yang tertera pada subbab 4.3.2

$$\Delta MR = (MD \times SF) - MR$$

$$\Delta MR = (745,31 \text{ kNm} \times 1,2) - 831,61 \text{ kNm}$$

$$\Delta MR = 62,59 \text{ kNm}$$

Untuk menghitung besarnya kekuatan Geotextile yang diizinkan digunakan persamaan (2.33).

$$T_{allow} = \frac{52 \text{ kNm}}{1,5 \times 3 \times 1,25 \times 1,15}$$

$$T_{allow} = \frac{52 \text{ kNm}}{6,46875}$$

$$T_{allow} = 8,039 \text{ kNm}$$

Dengan data timbunan:

- $H_i = 2,736 \text{ m}$
- $\gamma_{timb} = 18 \text{ kN/m}^3$
- $\sigma_v = \gamma_{timb} \times H_i$
- $\sigma_v = 18 \text{ kN/m}^3 \times 2,726 \text{ m}$
- $\sigma_v = 49,248 \text{ kN/m}^2$
- $C_u = 0$
- $\phi_{timb} = 30^\circ$
- $\tau_1 = C_u + (\sigma_v \times \tan \phi)$
- $\tau_1 = 0 + (49,248 \text{ kN/m}^2 \times \tan 30^\circ)$
- $\tau_1 = 28,433 \text{ kN/m}^2$

Data lapisan tanah dasar:

- $\gamma = 16,7 \text{ kN/m}^3$

- $Cu = 11,648 \text{ kN/m}^2$
- $\phi = 12,36^\circ$
- $\tau_2 = Cu + (\sigma_v \times \tan \phi)$
 $\tau_2 = 11,648 \text{ kN/m}^2 + (49,248 \text{ kN/m}^2 \times \tan 12,36^\circ)$
 $\tau_2 = 22,440 \text{ kN/m}^2$

Panjang geotekstile dibelakang bidang longsor

$$L_e = \frac{8,039 \text{ kNm} \times 1,2}{(28,433 \text{ kN/m}^2 + 22,440 \text{ kN/m}^2) \times 0,8}$$

$$L_e = 0,237 \text{ m}$$

Menghitung kebutuhan geotekstile dapat digunakan dengan rumus sebagai berikut:

$$M_{\text{geotekstile}} = T_{\text{allow}} \times T_i$$

Dimana:

T_{allow} = Kekuatan geotekstile yang tersedia

T_i = Y_0 (koordinat Y_{center} *geoslope*) – Y_z (koordinat Y tepi dasar timbunan)

$$M_{\text{geotekstile}} = 8,039 \text{ kNm} \times (45,118 - 33) \text{ meter}$$

$$M_{\text{geotekstile}} = 97,412 \text{ kNm}$$

Berikut adalah tabel hasil perhitungan momen penahan serta panjang L_e .

Tabel 8. 8 Hasil Perhitungan Momen Penahan oleh Geotekstile dan Panjang Geotekstile di Belakang Bidang Longsor

| Jumlah (n) | Hi (m) | Ti (m) | (τ_1) kN/m ² | (τ_2) kN/m ² | Mgeotekstile kNm | $\Sigma M_{\text{geotekstile}}$ kNm | Le (m) |
|------------|--------|--------|-----------------------------------|-----------------------------------|---------------------|--|--------|
| 1 | 2.736 | 12.12 | 28.43 | 22.44 | 97.41 | 97.41 | 0.237 |

Jumlah geotekstil = 1 lapis untuk mendapatkan hasil:

$$\Sigma \text{Momen} > \Delta M_R$$

$$97,11 \text{ kNm} > 62,59 \text{ kNm}$$

Menghitung Panjang Geotekstile di depan bidang longsor (L_D), dengan menggunakan persamaan (2.35), maka hasil dari perhitungan panjang geotekstile di depan bidang longsor tersaji pada tabel 8.9 sebagai berikut:

Tabel 8. 9 Hasil Perhitungan Panjang Geotekstile didepan Bidang Longsor

| Jumlah (n) | Hi (m) | Koordinat Pakai | | Koordinat X tepi timbunan | Ld |
|------------|--------|-----------------|-------|---------------------------|------|
| | | X | Y | | |
| 1 | 2.736 | 20.61 | 33.00 | 22.00 | 1.39 |

Sehingga didapatkan panjang total selebar timbunan sebagai berikut:

Tabel 8. 10 Hasil Panjang Total Geotekstile

| Jumlah (n) | Le | Ld | L total (m) | L lebar timbunan (m) |
|------------|-------|------|-------------|----------------------|
| 1 | 0.237 | 1.39 | 1.631 | 3.262 |

“halaman ini sengaja dikosongkan“

BAB IX

PERHITUNGAN BIAYA MATERIAL

9.1 Perhitungan Biaya Material

Berikut merupakan contoh perhitungan biaya material pada zona 1 dan zona 2:

- **Biaya Perbaikan Tanah**

Pada proyek akhir terapan ini STA yang menggunakan PVD adalah STA 35 + 328 s.d STA 37 + 340. Material yang digunakan untuk perbaikan tanah dasar adalah menggunakan *Prefabricated Vertical Drained* (PVD) dari PT. Teknindo Geosistem Unggul, dengan harga satuan sebagai berikut:

Harga satuan PVD : Rp 3.500,00/m'

Perhitungan PVD Penuh pada STA 35+328 s.d STA 35+364 (tikungan)

Berdasarkan gambar geometri timbunan di autocad, STA tersebut memiliki data sebagai berikut:

STA 35+328

Tinggi timbunan = 1,145 m

Sisi atas timbunan = 34,1 m

Lebar sisi bawah timbunan = 36,37 m

STA 35+364

Tinggi timbunan = 1,433 m

Sisi atas timbunan = 34,1 m

Lebar sisi bawah timbunan = 37,35 m

Lebar sisi bawah rata – rata = 36,86 m

PVD segitiga 1,5 m = 36,86 m : 1,5 m

= 24,57 titik

$$\begin{aligned}
 \text{Jarak memanjang antar PVD} &= 0,5 \times 1,5 \text{ m} \times \sqrt{3} \\
 &= 1,299 \text{ m} \\
 \text{Panjang PVD setiap 50 m} &= 24,57 \times \frac{50 \text{ m}}{1,299 \text{ m}} \times 27 \text{ m} \\
 &= 25.538,11 \text{ m}
 \end{aligned}$$

Sehingga Panjang total PVD STA 35+328 s.d STA 35+364 adalah sebagai berikut:

$$\frac{25.538,11 \text{ m} \times 36 \text{ m}}{50 \text{ m}} = 18.387,44 \text{ m}$$

$$\begin{aligned}
 \text{Dan memiliki harga} &= 18.387,44 \text{ m} \times \text{Rp } 3.500,00 \\
 &= \text{Rp } 64.356.027,71
 \end{aligned}$$

Perhitungan PVD Penuh pada STA 35+364 s.d STA 35+400 (tikungan)

Berdasarkan gambar geometri timbunan di autocad, STA tersebut memiliki data sebagai berikut:

$$\begin{aligned}
 \text{STA 35+364} \\
 \text{Tinggi timbunan} &= 1,433 \text{ m} \\
 \text{Sisi atas timbunan} &= 34,1 \text{ m} \\
 \text{Lebar sisi bawah timbunan} &= 37,35 \text{ m}
 \end{aligned}$$

$$\begin{aligned}
 \text{STA 35+400} \\
 \text{Tinggi timbunan} &= 1,795 \text{ m} \\
 \text{Sisi atas timbunan} &= 34,1 \text{ m} \\
 \text{Lebar sisi bawah timbunan} &= 38,88 \text{ m}
 \end{aligned}$$

$$\begin{aligned}
 \text{Lebar sisi bawah rata – rata} &= 38,12 \text{ m} \\
 \text{PVD segitiga 1,5 m} &= 38,12 \text{ m} : 1,5 \text{ m} \\
 &= 25,41 \text{ titik}
 \end{aligned}$$

$$\begin{aligned}
 \text{Jarak memanjang antar PVD} &= 0,5 \times 1,5 \text{ m} \times \sqrt{3} \\
 &= 1,299 \text{ m}
 \end{aligned}$$

$$\begin{aligned} \text{Panjang PVD setiap } 50 \text{ m} &= 25,41 \times \frac{50 \text{ m}}{1,299 \text{ m}} \times 27 \text{ m} \\ &= 26.407,62 \text{ m} \end{aligned}$$

Sehingga Panjang total PVD STA 35+364 s.d STA 35+400 adalah sebagai berikut:

$$\frac{26.407,62 \text{ m} \times 36 \text{ m}}{50 \text{ m}} = 19.013,49 \text{ m}$$

$$\begin{aligned} \text{Dan memiliki harga} &= 19.013,49 \text{ m} \times \text{Rp } 3.500,00 \\ &= \text{Rp } 66.547.205,54 \end{aligned}$$

Perhitungan PVD Penuh pada STA 35+400 s.d STA 35+436 (tikungan)

Berdasarkan gambar geometri timbunan di autocad, STA tersebut memiliki data sebagai berikut:

STA 35+400

$$\begin{aligned} \text{Tinggi timbunan} &= 1,795 \text{ m} \\ \text{Sisi atas timbunan} &= 34,1 \text{ m} \\ \text{Lebar sisi bawah timbunan} &= 38,88 \text{ m} \end{aligned}$$

STA 35+436

$$\begin{aligned} \text{Tinggi timbunan} &= 2,193 \text{ m} \\ \text{Sisi atas timbunan} &= 34,1 \text{ m} \\ \text{Lebar sisi bawah timbunan} &= 40,47 \text{ m} \end{aligned}$$

$$\begin{aligned} \text{Lebar sisi bawah rata – rata} &= 39,675 \text{ m} \\ \text{PVD segitiga } 1,5 \text{ m} &= 39,675 \text{ m} : 1,5 \text{ m} \\ &= 26,45 \text{ titik} \end{aligned}$$

$$\begin{aligned} \text{Jarak memanjang antar PVD} &= 0,5 \times 1,5 \text{ m} \times \sqrt{3} \\ &= 1,299 \text{ m} \end{aligned}$$

$$\begin{aligned} \text{Panjang PVD setiap } 50 \text{ m} &= 26,45 \times \frac{50 \text{ m}}{1,299 \text{ m}} \times 27 \text{ m} \\ &= 27.488,45 \text{ m} \end{aligned}$$

Sehingga Panjang total PVD STA 35+400 s.d STA 35+436 adalah sebagai berikut:

$$\frac{27.488,45 \text{ m} \times 36 \text{ m}}{50 \text{ m}} = 19.791,69 \text{ m}$$

$$\begin{aligned} \text{Dan memiliki harga} &= 19.791,69 \text{ m} \times \text{Rp } 3.500,00 \\ &= \text{Rp } 69.270.900,69 \end{aligned}$$

Perhitungan PVD Penuh pada STA 35+436 s.d STA 35+472 (tikungan)

Berdasarkan gambar geometri timbunan di autocad, STA tersebut memiliki data sebagai berikut:

STA 35+436

$$\text{Tinggi timbunan} = 2,193 \text{ m}$$

$$\text{Sisi atas timbunan} = 34,1 \text{ m}$$

$$\text{Lebar sisi bawah timbunan} = 40,47 \text{ m}$$

STA 35+472

$$\text{Tinggi timbunan} = 2,138 \text{ m}$$

$$\text{Sisi atas timbunan} = 34,1 \text{ m}$$

$$\text{Lebar sisi bawah timbunan} = 40,25 \text{ m}$$

$$\text{Lebar sisi bawah rata – rata} = 40,36 \text{ m}$$

$$\text{PVD segitiga } 1,5 \text{ m} = 40,36 \text{ m} : 1,5 \text{ m}$$

$$= 26,91 \text{ titik}$$

$$\text{Jarak memanjang antar PVD} = 0,5 \times 1,5 \text{ m} \times \sqrt{3}$$

$$= 1,299 \text{ m}$$

$$\text{Panjang PVD setiap } 50 \text{ m} = 26,91 \times \frac{50 \text{ m}}{1,299 \text{ m}} \times 27 \text{ m}$$

$$= 27.963,05 \text{ m}$$

Sehingga Panjang total PVD STA 35+436 s.d STA 35+472 adalah sebagai berikut:

$$\frac{27.963,05 \text{ m} \times 36 \text{ m}}{50 \text{ m}} = 20.133,39 \text{ m}$$

$$\begin{aligned} \text{Dan memiliki harga} &= 20.133,39 \text{ m} \times \text{Rp } 3.500,00 \\ &= \text{Rp } 70.466.882,22 \end{aligned}$$

Perhitungan PVD Penuh pada STA 35+472 s.d STA 35+508 (tikungan)

Berdasarkan gambar geometri timbunan di autocad, STA tersebut memiliki data sebagai berikut:

STA 35+472

$$\begin{aligned} \text{Tinggi timbunan} &= 2,138 \text{ m} \\ \text{Sisi atas timbunan} &= 34,1 \text{ m} \\ \text{Lebar sisi bawah timbunan} &= 40,25 \text{ m} \end{aligned}$$

STA 35+508

$$\begin{aligned} \text{Tinggi timbunan} &= 2,254 \text{ m} \\ \text{Sisi atas timbunan} &= 34,1 \text{ m} \\ \text{Lebar sisi bawah timbunan} &= 40,72 \text{ m} \end{aligned}$$

$$\begin{aligned} \text{Lebar sisi bawah rata – rata} &= 40,49 \text{ m} \\ \text{PVD segitiga } 1,5 \text{ m} &= 40,49 \text{ m} : 1,5 \text{ m} \\ &= 26,99 \text{ titik} \end{aligned}$$

$$\begin{aligned} \text{Jarak memanjang antar PVD} &= 0,5 \times 1,5 \text{ m} \times \sqrt{3} \\ &= 1,299 \text{ m} \end{aligned}$$

$$\begin{aligned} \text{Panjang PVD setiap } 50 \text{ m} &= 26,99 \times \frac{50 \text{ m}}{1,299 \text{ m}} \times 27 \text{ m} \\ &= 28.049,65 \text{ m} \end{aligned}$$

Sehingga Panjang total PVD STA 35+472 s.d STA 35+508 adalah sebagai berikut:

$$\frac{28.049,65 \text{ m} \times 36 \text{ m}}{50 \text{ m}} = 20.195,75 \text{ m}$$

Dan memiliki harga = 20.195,75 m x Rp 3.500,00
= Rp 70.685.127,02

Perhitungan PVD Penuh pada STA 35+508 s.d STA 35+544 (tikungan)

Berdasarkan gambar geometri timbunan di autocad, STA tersebut memiliki data sebagai berikut:

STA 35+508

Tinggi timbunan = 2,254 m
Sisi atas timbunan = 34,1 m
Lebar sisi bawah timbunan = 40,72 m

STA 35+544

Tinggi timbunan = 2,45 m
Sisi atas timbunan = 34,1 m
Lebar sisi bawah timbunan = 41,5 m

Lebar sisi bawah rata – rata = 41,11 m
PVD segitiga 1,5 m = 41,11 m : 1,5 m
= 27,41 titik

Jarak memanjang antar PVD = $0,5 \times 1,5 \text{ m} \times \sqrt{3}$
= 1,299 m

Panjang PVD setiap 50 m = $27,41 \times \frac{50 \text{ m}}{1,299 \text{ m}} \times 27 \text{ m}$
= 28.482,68 m

Sehingga Panjang total PVD STA 35+508 s.d STA 35+544 adalah sebagai berikut:

$$\frac{28.482,68 \text{ m} \times 36 \text{ m}}{50 \text{ m}} = 20.507,53 \text{ m}$$

Dan memiliki harga = 20.507,53 m x Rp 3.500,00
= Rp 71.776.351,04

Perhitungan PVD Penuh pada STA 35+544 s.d STA 35+580 (tikungan)

Berdasarkan gambar geometri timbunan di autocad, STA tersebut memiliki data sebagai berikut:

STA 35+544

Tinggi timbunan = 2,45 m

Sisi atas timbunan = 34,1 m

Lebar sisi bawah timbunan = 41,5 m

STA 35+580

Tinggi timbunan = 2,45 m

Sisi atas timbunan = 34,1 m

Lebar sisi bawah timbunan = 41,5 m

Lebar sisi bawah rata – rata = 41,5 m

PVD segitiga 1,5 m = 41,5 m : 1,5 m

= 27,67 titik

Jarak memanjang antar PVD = $0,5 \times 1,5 \text{ m} \times \sqrt{3}$

= 1,299 m

Panjang PVD setiap 50 m = $27,67 \times \frac{50 \text{ m}}{1,299 \text{ m}} \times 27 \text{ m}$

= 28.752,89 m

Sehingga Panjang total PVD STA 35+508 s.d STA 35+544 adalah sebagai berikut:

$$\frac{28.752,89 \text{ m} \times 36 \text{ m}}{50 \text{ m}} = 20.702,08 \text{ m}$$

Dan memiliki harga = 20.702,08 m x Rp 3.500,00

= Rp 72.457.274,83

Perhitungan PVD Penuh pada STA 35+580 s.d STA 36+070 (tikungan)

Berdasarkan gambar geometri timbunan di autocad, STA tersebut memiliki data sebagai berikut:

| | |
|---------------------------|---|
| Tinggi timbunan | = 2,45 m |
| Sisi atas timbunan | = 34,1 m |
| Lebar sisi bawah timbunan | = 41,5 m |
| PVD segitiga 1,5 m | = 41,5 m : 1,5 m = 27,7 titik |
| Jarak memanjang antar PVD | = 0,5 x 1,5 m x $\sqrt{3}$ = 1,299 m |
| Panjang PVD setiap 50 m | = 27,7 $\times \frac{50 \text{ m}}{1,299 \text{ m}} \times 27 \text{ m}$ = 28.572,88 m |

Sehingga Panjang total PVD STA 35+580 s.d STA 36+070 adalah sebagai berikut:

$$\frac{28.572,88 \text{ m} \times 490 \text{ m}}{50 \text{ m}} = 281.778,3 \text{ m}$$

$$\begin{aligned} \text{Dan memiliki harga} &= 281.778,3 \text{ m} \times \text{Rp } 3.500,00 \\ &= \text{Rp } 986.224.018,48 \end{aligned}$$

Perhitungan PVD Penuh pada STA 36+070 s.d STA 36+630

Berdasarkan gambar geometri timbunan di autocad, STA tersebut memiliki data sebagai berikut:

| | |
|---------------------------|----------------------------------|
| Tinggi timbunan | = 2,45 m |
| Sisi atas timbunan | = 34,1 m |
| Lebar sisi bawah timbunan | = 43,9 m |
| PVD segitiga 1,5 m | = 43,9 m : 1,5 m = 29,3 titik |

$$\begin{aligned}
 \text{Jarak memanjang antar PVD} &= 0,5 \times 1,5 \text{ m} \times \sqrt{3} \\
 &= 1,299 \text{ m} \\
 \text{Panjang PVD setiap 50 m} &= 29,3 \times \frac{50 \text{ m}}{1,299 \text{ m}} \times 27 \text{ m} \\
 &= 30.415,70 \text{ m}
 \end{aligned}$$

Sehingga Panjang total PVD STA 36+070 s.d STA 36+630 adalah sebagai berikut:

$$\frac{30.415,70 \text{ m} \times 560 \text{ m}}{50 \text{ m}} = 340.655,89 \text{ m}$$

$$\begin{aligned}
 \text{Dan memiliki harga} &= 340.655,89 \text{ m} \times \text{Rp } 3.500,00 \\
 &= \text{Rp } 1.192.295.612,01
 \end{aligned}$$

Perhitungan PVD Penuh pada STA 36+630 s.d STA 37+015

Berdasarkan gambar geometri timbunan di autocad, STA tersebut memiliki data sebagai berikut:

$$\begin{aligned}
 \text{Tinggi timbunan} &= 2,45 \text{ m} \\
 \text{Sisi atas timbunan} &= 34,1 \text{ m} \\
 \text{Lebar sisi bawah timbunan} &= 43,9 \text{ m} \\
 \text{PVD segitiga 1,5 m} &= 43,9 \text{ m} : 1,5 \text{ m} \\
 &= 29,3 \text{ titik} \\
 \text{Jarak memanjang antar PVD} &= 0,5 \times 1,5 \text{ m} \times \sqrt{3} \\
 &= 1,299 \text{ m} \\
 \text{Panjang PVD setiap 50 m} &= 29,3 \times \frac{50 \text{ m}}{1,299 \text{ m}} \times 10 \text{ m} \\
 &= 11.265,07 \text{ m}
 \end{aligned}$$

Sehingga Panjang total PVD STA 36+630 s.d STA 37+015 adalah sebagai berikut:

$$\frac{11.265,07 \text{ m} \times 385 \text{ m}}{50 \text{ m}} = 86.741,08 \text{ m}$$

Dan memiliki harga = 86.741,08 m x Rp 3.500,00
= Rp 303.593.790,09

Perhitungan PVD Penuh pada STA 37+015 s.d STA 37+186

Berdasarkan gambar geometri timbunan di autocad, STA tersebut memiliki data sebagai berikut:

| | |
|---------------------------|--|
| Tinggi timbunan | = 2,4 m |
| Sisi atas timbunan | = 34,1 m |
| Lebar sisi bawah timbunan | = 43,7 m |
| PVD segitiga 1,5 m | = 43,7 m : 1,5 m = 29,13 titik |
| Jarak memanjang antar PVD | = 0,5 x 1,5 m x $\sqrt{3}$ = 1,299 m |
| Panjang PVD setiap 50 m | = 29,13 $\times \frac{50 m}{1,299 m} \times 10 m$ = 11.213,75 m |

Sehingga Panjang total PVD STA 37+015 s.d STA 37+186 adalah sebagai berikut:

$$\frac{11.213,75 m \times 171 m}{50 m} = 38.351,04 m$$

Dan memiliki harga = 38.351,04 m x Rp 3.500,00
= Rp 134.228.637,41

Perhitungan PVD Penuh pada STA 37+186 s.d STA 37+225

Berdasarkan gambar geometri timbunan di autocad, STA tersebut memiliki data sebagai berikut:

| | |
|--------------------|----------|
| STA 37+186 | |
| Tinggi timbunan | = 2,4 m |
| Sisi atas timbunan | = 34,1 m |

$$\text{Lebar sisi bawah timbunan} = 43,7 \text{ m}$$

STA 37+225

$$\text{Tinggi timbunan} = 2,8 \text{ m}$$

$$\text{Sisi atas timbunan} = 34,1 \text{ m}$$

$$\text{Lebar sisi bawah timbunan} = 45,3 \text{ m}$$

$$\text{Lebar sisi bawah rata – rata} = 44,5$$

$$\text{PVD segitiga } 1,5 \text{ m} = 44,5 \text{ m} : 1,5 \text{ m}$$

$$= 29,7 \text{ titik}$$

$$\text{Jarak memanjang antar PVD} = 0,5 \times 1,5 \text{ m} \times \sqrt{3}$$

$$= 1,299 \text{ m}$$

$$\text{Panjang PVD setiap } 50 \text{ m} = 29,7 \times \frac{50 \text{ m}}{1,299 \text{ m}} \times 10 \text{ m}$$

$$= 11.419,04 \text{ m}$$

Sehingga Panjang total PVD STA 37+186 s.d STA 37+225 adalah sebagai berikut:

$$\frac{11.419,04 \text{ m} \times 39 \text{ m}}{50 \text{ m}} = 8.906,85 \text{ m}$$

$$\text{Dan memiliki harga} = 8.906,85 \text{ m} \times \text{Rp } 3.500,00$$

$$= \text{Rp } 31.173.979,98$$

Perhitungan PVD Penuh pada STA 37+225 s.d STA 37+264

Berdasarkan gambar geometri timbunan di autocad, STA tersebut memiliki data sebagai berikut:

STA 37+225

$$\text{Tinggi timbunan} = 2,8 \text{ m}$$

$$\text{Sisi atas timbunan} = 34,1 \text{ m}$$

$$\text{Lebar sisi bawah timbunan} = 45,3 \text{ m}$$

STA 37+264

| | |
|------------------------------|--|
| Tinggi timbunan | = 3,3 m |
| Sisi atas timbunan | = 34,1 m |
| Lebar sisi bawah timbunan | = 47,3 m |
| Lebar sisi bawah rata – rata | = 46,3 |
| PVD segitiga 1,5 m | = 46,3 m : 1,5 m = 30,87 titik |
| Jarak memanjang antar PVD | = 0,5 x 1,5 m x $\sqrt{3}$ = 1,299 m |
| Panjang PVD setiap 50 m | = 30,87 $\times \frac{50 \text{ m}}{1,299 \text{ m}} \times 10 \text{ m}$ = 11.880,93 m |

Sehingga Panjang total PVD STA 37+225 s.d STA 37+264 adalah sebagai berikut:

$$\frac{11.880,93 \text{ m} \times 39 \text{ m}}{50 \text{ m}} = 9.267,13 \text{ m}$$

Dan memiliki harga = 9.267,13 m x Rp 3.500,00
= Rp 32.434.949,96

Perhitungan PVD Penuh pada STA 37+264 s.d STA 37+303

Berdasarkan gambar geometri timbunan di autocad, STA tersebut memiliki data sebagai berikut:

| | |
|---------------------------|----------|
| STA 37+264 | |
| Tinggi timbunan | = 3,3 m |
| Sisi atas timbunan | = 34,1 m |
| Lebar sisi bawah timbunan | = 47,3 m |
| STA 37+303 | |
| Tinggi timbunan | = 3,9 m |
| Sisi atas timbunan | = 34,1 m |
| Lebar sisi bawah timbunan | = 49,7 m |

$$\begin{aligned}
 \text{Lebar sisi bawah rata - rata} &= 48,5 \\
 \text{PVD segitiga 1,5 m} &= 48,5 \text{ m} : 1,5 \text{ m} \\
 &= 32,33 \text{ titik} \\
 \text{Jarak memanjang antar PVD} &= 0,5 \times 1,5 \text{ m} \times \sqrt{3} \\
 &= 1,299 \text{ m} \\
 \text{Panjang PVD setiap 50 m} &= 32,33 \times \frac{50 \text{ m}}{1,299 \text{ m}} \times 10 \text{ m} \\
 &= 12.445,47 \text{ m}
 \end{aligned}$$

Sehingga Panjang total PVD STA 37+264 s.d STA 37+303 adalah sebagai berikut:

$$\frac{12.445,47 \text{ m} \times 39 \text{ m}}{50 \text{ m}} = 9.707,47 \text{ m}$$

$$\begin{aligned}
 \text{Dan memiliki harga} &= 9.707,47 \text{ m} \times \text{Rp } 3.500,00 \\
 &= \text{Rp } 33.976.135,49
 \end{aligned}$$

Total harga untuk kebutuhan PVD tersaji dalam tabel sebagai berikut:

Tabel 9. 1 Rekapitulasi Harga PVD

| Rekapitulasi Harga PVD | | | | |
|------------------------|-----|-----|-------|------------------|
| STA | | | Harga | |
| 35 | 328 | s.d | 364 | 64,356,027.71 |
| | 364 | | 400 | 66,547,205.54 |
| | 400 | | 436 | 69,270,900.69 |
| | 436 | | 472 | 70,466,882.22 |
| | 472 | | 508 | 70,685,127.02 |
| | 508 | | 544 | 71,776,351.04 |
| | 544 | | 580 | 72,457,274.83 |
| STA 35+580 s.d 36+070 | | | | 986,224,018.48 |
| STA 36+070 s.d 36+630 | | | | 1,192,295,612.01 |
| STA 36+630 s.d 37+015 | | | | 303,593,790.09 |
| STA 37+015 s.d 37+186 | | | | 134,228,637.41 |
| STA 37+186 s.d 37+225 | | | | 31,173,979.98 |
| STA 37+225 s.d 37+264 | | | | 32,434,949.96 |
| STA 37+264 s.d 37+303 | | | | 33,976,135.49 |
| Total | | | | 3,199,486,892.48 |

- **Biaya Timbunan**

Berikut merupakan contoh perhitungan biaya timbunan pada STA 36+070 s.d 36+630 dengan harga satuan timbunan sesuai dengan harga satuan yang direncanakan oleh PT. Wijaya Karya, yakni : 128.000 /m³.

Dengan data geometrik timbunan sebagai berikut:

| | |
|---------------------------------|-----------------------------------|
| Tinggi timbunan | = 2,45 m |
| Lebar sisi atas timbunan | = 34,1 m |
| Lebar sisi bawah timbunan | = 43,9 m |
| Luas Penampang timbunan (padat) | = 95,55 m ² |
| Luas Penampang timbunan (loose) | = 95,55 x 1,05 m ² |
| | = 100,3275 m ² |
| Panjang timbunan | = 560 m |
| Volume timbunan | = 560 m x 100,3275 m ² |
| | = 56.183,4 m ³ |

Sehingga harga timbunan pada STA 36+070 s.d 36+630 adalah sebagai berikut:

$$\text{Rp } 128.000,00 \times 56.183,4 \text{ m}^3 = \text{Rp } 7.191.475.200,00$$

Untuk hasil perhitungan biaya material timbunan pada STA lainnya tersaji pada tabel 9.2 sebagai berikut:

Tabel 9. 2 Rekapitulasi Harga Timbunan

| Rekapitulasi Harga Timbunan | | | | |
|-----------------------------|-----|-----|-----|-------------------|
| STA | | | | Harga |
| 35 | 148 | s.d | 184 | 34,610,769 |
| | 184 | | 220 | 54,020,736 |
| | 220 | | 256 | 51,166,080 |
| | 256 | | 292 | 53,367,552 |
| | 292 | | 328 | 79,163,482 |
| | 328 | | 364 | 124,668,633.60 |
| | 364 | | 400 | 181,781,107.20 |
| | 400 | | 436 | 253,419,425.28 |
| | 436 | | 472 | 286,251,840.00 |
| | 472 | | 508 | 292,242,263.04 |
| | 508 | | 544 | 323,094,562.56 |
| | 544 | | 580 | 342,586,298.88 |
| STA 35+580 s.d 36+070 | | | | 4,662,980,179.20 |
| STA 36+070 s.d 36+630 | | | | 7,191,475,200.00 |
| STA 36+630 s.d 37+015 | | | | 4,944,139,200.00 |
| STA 37+015 s.d 37+186 | | | | 2,145,636,864.00 |
| STA 37+186 s.d 37+225 | | | | 536,006,016.00 |
| STA 37+225 s.d 37+264 | | | | 643,327,776.00 |
| STA 37+264 s.d 37+303 | | | | 780,264,576.00 |
| Total | | | | 22,980,202,560.00 |

- **Biaya Perkuatan Timbunan menggunakan Geotekstile**

Mengacu pada nilai Cu lama, zona yang menggunakan perkuatan geotekstile adalah zona 2 pada STA 37+340 dengan tinggi timbunan 3,92 m, berikut perhitungan biaya dari perkuatan timbunan berdasarkan tabel 8.7.

Dengan harga satuan geotekstile = 17.000,00/m²

$$\begin{aligned}
 \text{Luas Geotekstile dasar} &= \text{lebar geotekstile} \times \text{panjang timbunan} \\
 &= 1,835 \text{ m} \times 39 \text{ m} \\
 &= 71,549 \text{ m}^2
 \end{aligned}$$

Untuk hasil luas pada geotekstile lainnya tersaji pada tabel 9.3 sebagai berikut:

Tabel 9. 3 Luas Geotekstile yang Dibutuhkan

| Jumlah (n) | Le | Ld | L total (m) | L lebar timbunan (m) | Luas |
|------------|-------|------|-------------|----------------------|---------|
| 1 | 0.167 | 0.75 | 0.917 | 1.835 | 71.549 |
| 2 | 0.158 | 2.45 | 2.610 | 5.220 | 203.586 |
| 3 | 0.170 | 3.07 | 3.238 | 6.475 | 252.535 |
| 4 | 0.183 | 3.39 | 3.569 | 7.138 | 278.383 |

Sehingga biaya geotekstile dasar timbunan adalah sebagai berikut:

$$\text{Biaya} = \text{Rp } 17.000,00 \times 71,549 \text{ m}^2$$

$$\text{Biaya} = \text{Rp } 1.216.329,91$$

Untuk biaya pada geotekstile lainnya tersaji pada tabel 9.4 sebagai berikut:

Tabel 9. 4 Rekapitulasi Biaya Geotekstile

| Jumlah (n) | Harga |
|------------|---------------|
| 1 | 1,216,329.91 |
| 2 | 3,460,960.95 |
| 3 | 4,293,099.24 |
| 4 | 4,732,506.30 |
| Total | 13,702,896.40 |

Tabel 9. 5 Rekapitulasi Biaya Material

| Rekapitulasi Biaya Material | |
|-----------------------------|-------------------|
| Timbunan | 22,980,202,560.00 |
| PVD | 3,199,486,892.48 |
| Geotekstile | 13,702,896.40 |
| Total | 26,193,392,348.88 |

Sedangkan pada biaya material yang digunakan oleh PT. Wijaya Karya dengan kebutuhan dan panjang jarak yang sama adalah sebagai berikut:

- a. Tiang Pancang diameter 60 cm
 - Harga satuan = 6.700.000 / tiang pancang
 - Jarak = STA 35+060 s.d STA 37+340
 - = 2280 m
 - Jarak antar Pier= 7,5 m
 - Titik pier = 2280 m : 7,5 m
 - = 304 pier
 - 1 pier (1 jalur) = 5 tiang pancang
 - 2 jalur = 10 tiang pancang
 - Sehingga biaya yang dibutuhkan untuk tiang pancang diameter 60 cm adalah sebagai berikut:
 - Biaya = 10 tiang pancang x 304 pier x Rp 6.700.000
 - Biaya = Rp 20.368.000.000,00
- b. Full Slab Precast
 - Harga satuan = 1.417.000 / buah
 - Jarak = STA 36+630 s.d STA 37+340
 - = 710 m
 - Jarak antar Pier= 7,5 m
 - 1 pier (1 jalur) = 6 Full Slab Precast
 - 2 jalur = 12 Full Slab Precast

Sehingga biaya yang dibutuhkan untuk *Full Slab Precast* adalah sebagai berikut:

$$\text{Biaya} = 12 \text{ FS} \times 95 \text{ pier} \times \text{Rp } 1.417.000$$

$$\text{Biaya} = \text{Rp } 1.609.712.000,00$$

c. Pier Head K 350 (PT. Holcim)

$$\text{Harga satuan} = 930.000/\text{m}^3$$

$$\text{Jarak} = \text{STA } 35+060 \text{ s.d } \text{STA } 37+340 \\ = 2280 \text{ m}$$

$$\text{Lebar Pier Head} = 16,3 \text{ m/jalur}$$

$$\text{Volume Pier Head A} = 0,7 \text{ m} \times 1,1 \text{ m} \times 32,6 \text{ m} \\ = 25,102 \text{ m}^3$$

$$\text{Volume Pier Head B} = 0,6 \text{ m} \times 1,4 \text{ m} \times 32,6 \text{ m} \\ = 27,384 \text{ m}^3$$

$$\text{Jumlah Pier Head A} = 51 \text{ Buah}$$

$$\text{Jumlah Pier Head B} = 253 \text{ Buah}$$

Sehingga biaya yang dibutuhkan untuk *Pier Head* adalah sebagai berikut:

$$\text{Biaya 1 Vol Pier Head A} = 25,102 \text{ m}^3 \times \text{Rp } 930.000 \\ = \text{Rp } 23.344.860,00$$

$$\text{Biaya 1 Vol Pier Head B} = 27,384 \text{ m}^3 \times \text{Rp } 930.000 \\ = \text{Rp } 25.467.120,00$$

$$\text{Biaya Pier Head A} = 51 \times \text{Rp } 23.344.860,00 \\ = \text{Rp } 1.182.806.240,00$$

$$\text{Biaya Pier Head B} = 253 \times \text{Rp } 25.467.120,00 \\ = \text{Rp } 6.451.670.400,00$$

Berikut merupakan rekapitulasi total biaya material oleh PT. Wijaya Karya

| Rekapitulasi Biaya Material | |
|-----------------------------|-------------------|
| Pancang dia. 60 cm | 20,368,000,000.00 |
| Full Slab Precast | 1,609,712,000.00 |
| Pier Head | 7,634,476,640.00 |
| Total | 29,612,188,640.00 |

BAB X

KESIMPULAN DAN SARAN

10.1 Kesimpulan

Merujuk pada perumusan masalah, proyek akhir terapan tersebut mempunyai beberapa kesimpulan, yakni :

1. Pemampatan tanah yang terjadi pada zona 1 adalah 47,92 cm dengan $H_{\text{inisial}} = 2,736$ m
Pemampatan tanah yang terjadi pada zona 2 adalah 6,26 cm dengan $H_{\text{inisial}} 3,920$ m.
2. Pemampatan tanah dengan derajat konsolidasi 90 % ($U = 90$ %) Sebelum PVD :
Zona 1 : 268,531 tahun
Zona 2 : 28,606 tahun
Pemampatan tanah dengan derajat konsolidasi 90 % ($U = 90$ %) dengan PVD :
Zona 1 : 12 Minggu
Zona 2 : 9 Minggu
3. Selain lama waktu pemampatan pada tanah, hal yang harus dipertimbangkan adalah *rate of settlement* (1,5 cm/tahun). Penurunan tanah di tahun pertama pada STA 36+070 (zona 1) dengan penimbunan H_{inisial} adalah 5,1 cm. Penurunan tanah di tahun pertama pada STA 37+340 (zona 2) dengan penimbunan H_{inisial} adalah 2,95 cm. Oleh karena itu diperlukan perbaikan tanah dasar dikarenakan melebihi *rate of settlement*.
4. Perencanaan pola pemasangan PVD pada proyek akhir terapan tersebut yaitu pola pemasangan segitiga, karena waktu pemampatan dengan pola pemasangan lebih cepat daripada pola pemasangan segiempat. Kedalaman PVD yang digunakan pada perencanaan adalah sedalam kedalaman tanah lunak, pada zona 1 dengan kedalaman tanah lunak 27 m, maka kedalaman PVD yang digunakan adalah 27 m. begitu juga dengan zona 2 yang memiliki kedalaman tanah lunak 10 m, maka kedalaman PVD yang

digunakan adalah 10 m. Hal ini bertujuan untuk menanggulangi pemampatan sisa. Dan jarak antar PVD adalah 1,5 m karena waktu yang dibutuhkan lebih cepat dari perencanaan kontraktor dan juga hemat dalam biaya.

5. Beberapa keunggulan dari perbaikan tanah dasar menggunakan PVD
 - Faktor biaya dan waktu
 - Biaya material yang harus disiapkan lebih murah
Selisih biaya adalah Rp 3.159.435.702,32
 - Waktu pengerjaan lebih cepat
Pada pengerjaan pemancangan, pengecoran pier head, dan pemasangan *fullslab precast*, PT. Wijaya Karya membutuhkan waktu selama 7,2 bulan. Apabila dengan metode perbaikan tanah pekerjaan pemberian PVD, penimbunan, dan pemberian geotekstile dapat dikerjakan selama 5 bulan.
 - Faktor Pelaksanaan
 - Perencanaan K3 lebih sederhana dengan menggunakan perbaikan tanah dasar dengan PVD daripada menggunakan tiang pancang.

10.2 Saran

Saran yang dapat Penulis sampaikan setelah menganalisa dan melakukan perhitungan dalam pengerjaan proyek akhir terapan tersebut adalah sebagai berikut:

- Diperlukan pengecekan dari hasil data bor log laboratorium agar mendapatkan stratigrafi tanah yang lebih pasti, sehingga didapatkan juga keputusan dalam pemilihan metode perbaikan tanah dasar.
- Diperlukan perhitungan biaya *soil monitoring* dan *sand blanket*

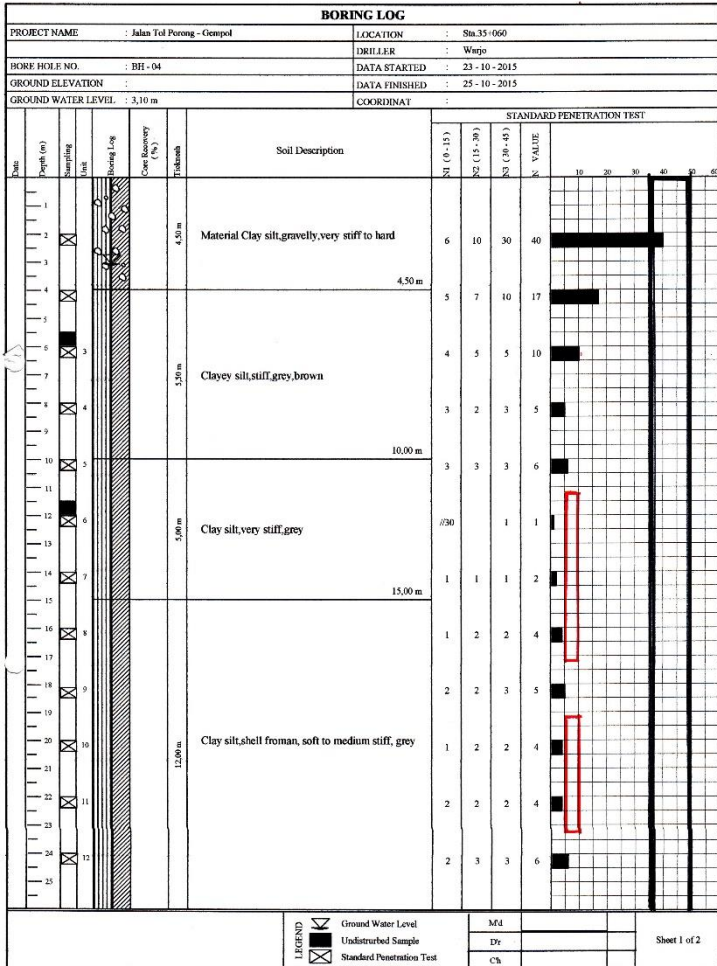
DAFTAR PUSTAKA

- [1] A. D. Wicaksono, “Perkuatan Stabilitas Timbunan Jalan,” Institut Teknologi Sepuluh Nopember, Surabaya, 2017.
- [2] B. M. Das, *MEKANIKA TANAH Jilid 1 (Prinsip-prinsip Rekayasa Geoteknis)*. Surabaya: Erlangga, 1995.
- [3] M. Noor Endah, *Modul Ajar Perbaikan Tanah Dasar*. Surabaya: ITS Press, 2012.

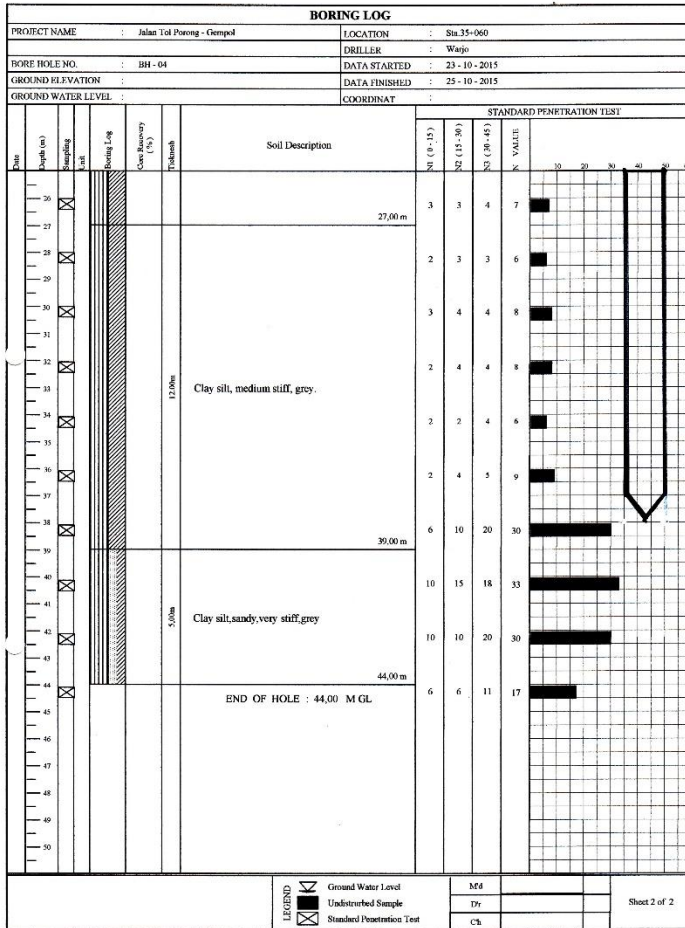
ITS.”Pedoman Tugas Akhir”.<http://monta.if.its.ac.id/assets/panduanTA/penulisanTA.pdf> (diakses pada 07 Januari 2018)

Ernie.”Diagram Alir (Flowchart)”.<http://ndoware.com/diagram-alir-flowchart.html> (diakses pada 07 Januari 2018)

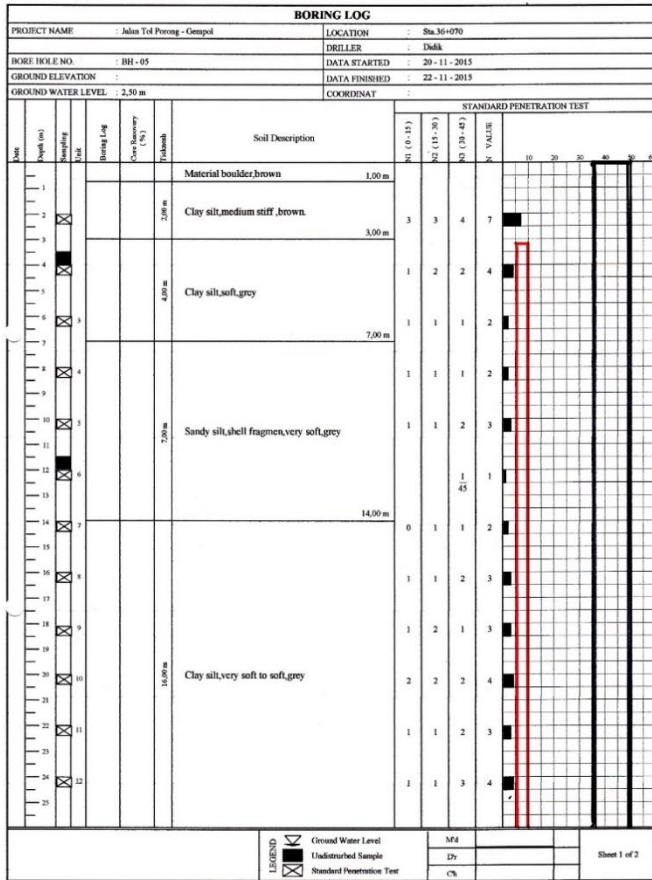
LAMPIRAN



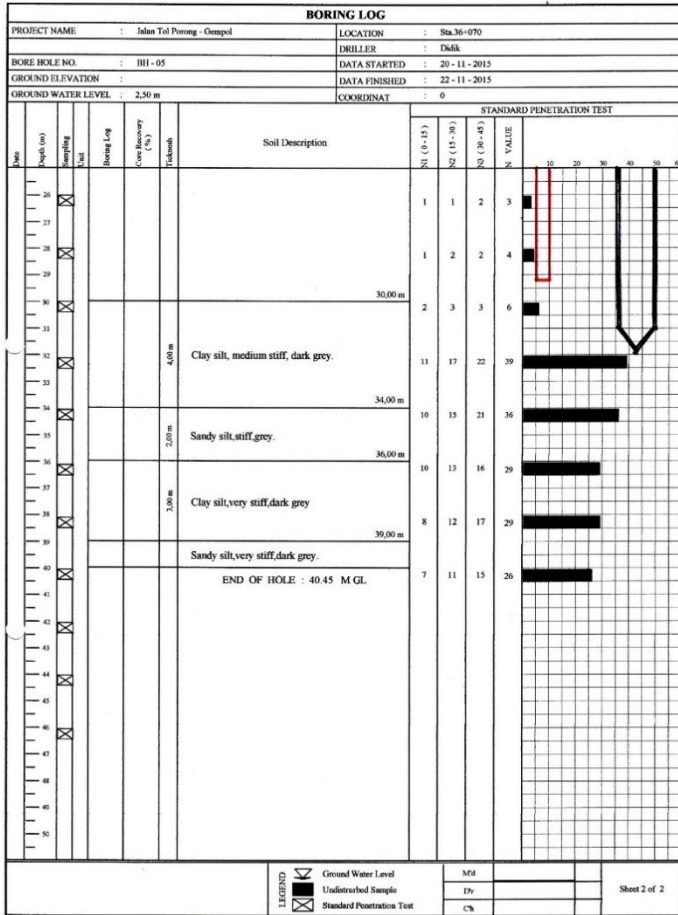
Lampiran 1 Data Borlog BH - 04 (STA 35 + 060)



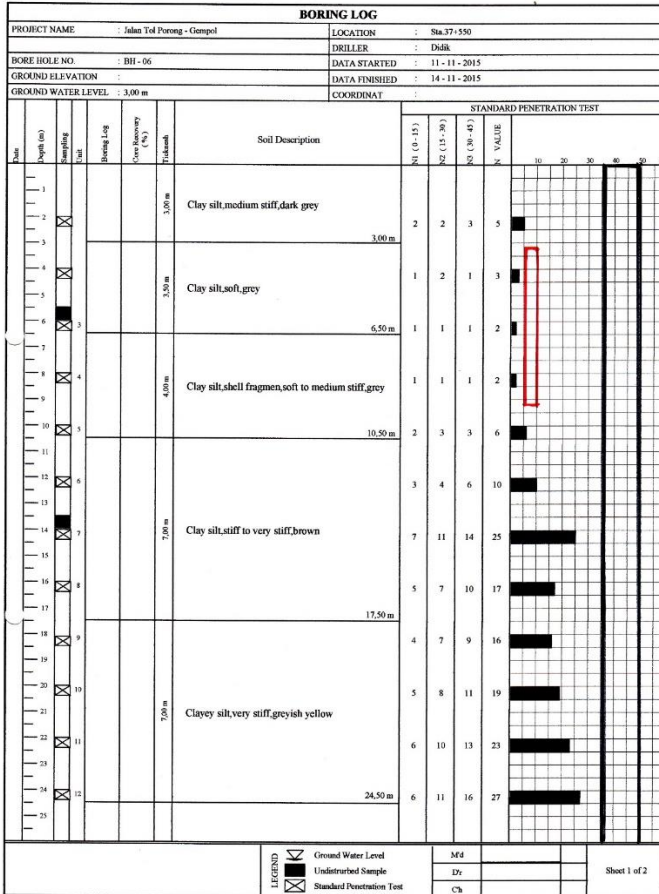
Lampiran 2 Data Borlog BH - 04 (STA 35 + 060) (lanjutan)



Lampiran 3 Data Borlog BH - 05 (STA 36 + 070)



Lampiran 4 Data Borlog BH - 05 (STA 36 + 070) (lanjutan)



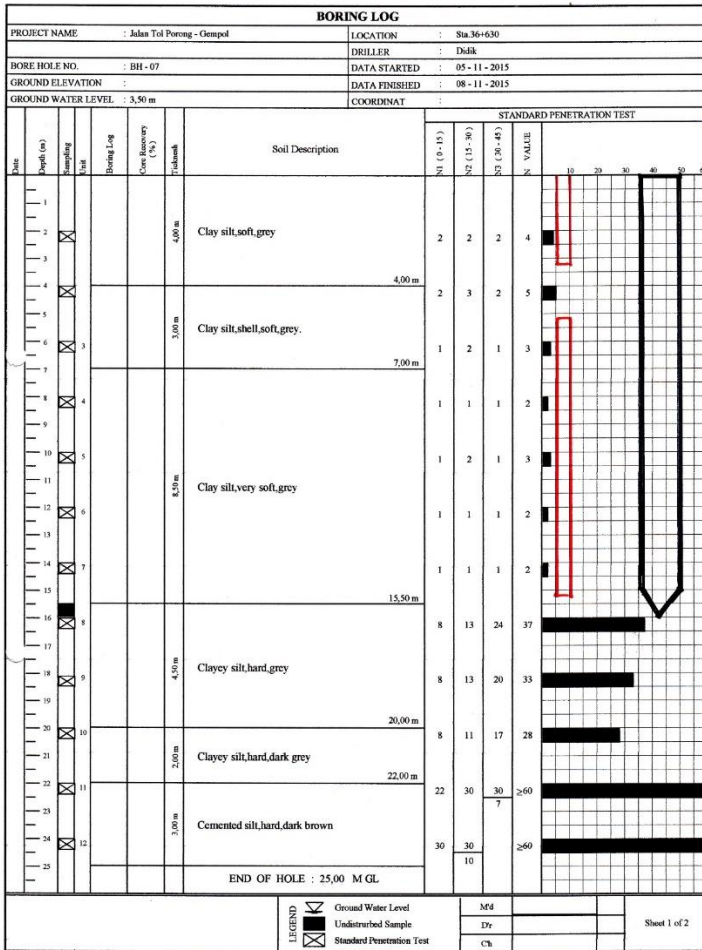
Lampiran 5 Data Borlog BH - 07 (STA 37 + 550)

| BORING LOG | | | | | | | | | | |
|--|-----------|----------|------------|-------------------|--------------------------------|--|---------------------------|------------|------------|---------|
| PROJECT NAME : Jalan Tol Porong - Gempol | | | | | LOCATION : Sta 37+550 | | | | | |
| BORE HOLE NO. : BH - 06 | | | | | DRILLER : Ddrik | | | | | |
| GROUND ELEVATION : | | | | | DATA STARTED : 11 - 11 - 2015 | | | | | |
| GROUND WATER LEVEL : 3,00 m | | | | | DATA FINISHED : 14 - 11 - 2015 | | | | | |
| | | | | | COORDINAT : 0 | | | | | |
| Date | Depth (m) | Sampling | Boring Log | Core Recovery (%) | Remarks | Soil Description | STANDARD PENETRATION TEST | | | |
| | | | | | | | NI (5-15) | NS (15-30) | NT (30-45) | N VALUE |
| | 25 | ⊗ | | | 3.05 m | Cemented sandy silt, hard, greyish black | 25 | 30 | 30 | 260 |
| | 27 | | | | | | | | 5 | |
| | 28 | ⊗ | | | | | 21 | 26 | 30 | 56 |
| | 30 | | | | | | | | | |
| | 31 | ⊗ | | | | END OF HOLE : 30,45 M GL. | 20 | 23 | 26 | 49 |
| | 32 | ⊗ | | | | | | | | |
| | 33 | | | | | | | | | |
| | 34 | ⊗ | | | | | | | | |
| | 35 | | | | | | | | | |
| | 36 | ⊗ | | | | | | | | |
| | 37 | | | | | | | | | |
| | 38 | ⊗ | | | | | | | | |
| | 39 | | | | | | | | | |
| | 40 | ⊗ | | | | | | | | |
| | 41 | | | | | | | | | |
| | 42 | ⊗ | | | | | | | | |
| | 43 | | | | | | | | | |
| | 44 | ⊗ | | | | | | | | |
| | 45 | | | | | | | | | |
| | 46 | ⊗ | | | | | | | | |
| | 47 | | | | | | | | | |
| | 48 | | | | | | | | | |
| | 49 | | | | | | | | | |
| | 50 | | | | | | | | | |

| | | | | |
|--------|--|---------------------------|----|--|
| LEGEND | | Ground Water Level | Md | |
| | | Undisturbed Sample | Dr | |
| | | Standard Penetration Test | Ct | |

Sheet 2 of 2

Lampiran 6 Data Borlog BH - 07 (STA 37 + 550) (lanjutan)



Lampiran 7 Data Borlog BH - 06 (STA 36 + 630)

CeTeau-Drain CT-D822

Drain Body

Extrusion profile of 100% polypropylene with the following important properties:

- environmental safe
- large water flow capacity
- flexible
- high tensile strength and toughness
- inert to natural occurring acids alkalis and salt
- workable and easy to handle at low temperatures
- no wet shrinkage or growth

Filter Jacket

Nonwoven fabric of 100% polyester without any binders, with the following important properties:

- balanced strength in both directions
- high tensile strength and toughness
- no wet shrinkage or growth
- good resistance to rot, moisture and insects
- high water permeability
- inert to natural occurring acids, alkalis and salt
- excellent filtration characteristics
- tear, burst and puncture resistant
- environmental safe

| Physical properties | | Unit | CT-D822 |
|---------------------|---------------|------|----------|
| Drain Body | Configuration | - | □□□□□□□□ |
| | Material | - | PP |
| | Colour | - | white |
| Filter Jacket | Material | - | PET |
| | Colour | - | grey |
| Assembled Drain | Weight | g/m | 75 |
| | Width | mm | 100 |
| | Thickness | mm | 4 |

| Mechanical properties | Symbol | Test | Unit | CT-D822 |
|-------------------------------------|------------|------------|---------------|------------------------|
| Filter Jacket | | | | |
| Grab Tensile Strength | <i>F</i> | ASTM D4632 | N | 480 |
| Elongation | ϵ | ASTM D4632 | % | 32 |
| Tear Strength | | ASTM D4533 | N | 120 |
| Pore Size | O_{10} | ASTM D4751 | μm | < 75 |
| Permeability | <i>k</i> | ASTM D4491 | m/s | > 1.0×10^{-4} |
| Assembled Drain | | | | |
| Tensile Strength | <i>F</i> | ASTM D4595 | kN | 2.75 |
| Elongation at break | ϵ | ASTM D4595 | % | 40 |
| Strength at 10% elongation | <i>F</i> | ASTM D4595 | kN | 2.2 |
| Elongation at 1 kN tensile strength | ϵ | ASTM D4595 | % | 1.5 |
| Discharge capacity at 100 kPa | q_v | ASTM D4716 | m/s | 158×10^{-6} |
| Discharge capacity at 150 kPa | q_v | ASTM D4716 | m/s | 157×10^{-6} |
| Discharge capacity at 200 kPa | q_v | ASTM D4716 | m/s | 155×10^{-6} |
| Discharge capacity at 250 kPa | q_v | ASTM D4716 | m/s | 150×10^{-6} |
| Discharge capacity at 300 kPa | q_v | ASTM D4716 | m/s | 141×10^{-6} |
| Discharge capacity at 350 kPa | q_v | ASTM D4716 | m/s | 135×10^{-6} |

| Transport details | Unit | CT-D822 |
|-----------------------|------|---------|
| Roll length | m | 250 |
| Outside diameter roll | m | 1,10 |
| Inside diameter roll | m | 0,15 |
| Weight roll | kg | 20 |
| 40ft container | m | 125,000 |

All information, illustrations and specifications are based on the latest product information available at the time of printing. The right is reserved to make changes at any time without notice. All mechanical properties are average values. Standard variations in mechanical strength of 10% and in hydraulic flow and pore size of 20% have to be allowed for.

Agent & Distributor in Indonesia Area :

PT. TEKNINDO GEOSISTEM UNGGUL

Wisma SIER Building, 1st Floor
Jl. Rungkut Industri Raya No.10 Surabaya 60293
Tel. 62-31-8475062 Fax. 62-31-8475063
Email : info@geosistem.co.id Website : www.geosistem.co.id



Lampiran 8 Spesifikasi PVD

UnggulTex

POLYPROPYLENE WOVEN GEOTEXTILES

TECHNICAL SPESIFICATIONS

| PROPERTIES | UNIT | TEST METHOD | UW - 150 | UW - 200 | UW - 250 |
|---------------------------------------|-----------------------|-------------------|------------|------------|------------|
| Physical Properties | | | | | |
| Mass | g/m ² | ASTM D 5261-92 | 150 | 200 | 250 |
| Thickness | mm | ASTM D 5199-91 | 0.5 | 0.6 | 0.7 |
| Colour | - | - | Black | Black | Black |
| Mechanical Properties | | | | | |
| Strip Tensile Strength (Wrab/Weft) | kN/m | ASTM D 4595-94 | 37/35 | 42/39 | 52/52 |
| Elongation at Max. Load (Wrab/Weft) | % | ASTM D 4595-94 | 19/18 | 20/20 | 20/20 |
| Grap Tensile Strength (Wrab/Weft) | N | ASTM D 4632-91 | 1210/1200 | 1600/1600 | 1750/1750 |
| Elongation at Max. Load (Wrab/Weft) | % | ASTM D 4632-91 | 14/13 | 22/22 | 22/22 |
| Trapezoidal Tear Strength (Wrab/Weft) | N | ASTM D 4533-91 | 615/615 | 700/700 | 800/800 |
| Hydraulic Properties | | | | | |
| Pore Size O ₉₅ | μm | ASTM D 4751-95 | 320 | 275 | 250 |
| Water Permeability | l/m ² /sec | 100 mm water head | 28 | 16 | 7.5 |
| Environmental Properties | | | | | |
| Effect of soil Alkalinity | - | - | nil | nil | nil |
| Effect of soil Acidity | - | - | nil | nil | nil |
| Effect of Bacteria | - | - | nil | nil | nil |
| Effect of U.V. Light | - | - | Stabilized | Stabilized | Stabilized |
| Packaging | | | | | |
| Roll Length | m | - | 150 - 200 | 150 - 200 | 150 - 200 |
| Roll Width | m | - | 3 - 4 | 3 - 4 | 3 - 4 |
| Roll Area | m ² | - | 640 - 760 | 640 - 760 | 640 - 760 |
| Roll Diameter (Approx) | m | - | 0.4 - 0.5 | 0.4 - 0.5 | 0.4 - 0.5 |
| Roll Weight (Approx) | kg | - | 96 - 114 | 128 - 152 | 160 - 190 |

All information, illustration and specification are based on the latest product information available at the time of printing. The right is reserved to make changes at any time without notice.

Distributed by :

PT. TEKNINDO GEOSISTEM UNGGUL

Wisma SIER Building, 1st Floor, Jl. Rungkut Industri Raya 10, Surabaya 60283
Tel. 031-6475062 Fax. 031-8475063
Email : info@geosistem.co.id
Website : www.geosistem.co.id



Lampiran 9 Spesifikasi Geotekstile

| DATA LABORATORIUM | | | STA (35 + 060) BH - 4 | | | | STA (36 + 070) BH - 5 | | STA (37 + 550) BH - 6 | | STA (36 + 630) BH - 7 | |
|------------------------------|----------------------------------|----------------------|-----------------------|---------|---------|-------------|-----------------------|-------------|-----------------------|-------------|-----------------------|-------------|
| Keterangan | | Satuan | Kedalaman (m) | | | | Kedalaman (m) | | Kedalaman (m) | | Kedalaman (m) | |
| | | | 3.5 - 4 | 5.5 - 6 | 9.5 -10 | 11.5 - 12.0 | 3.5 - 4.0 | 11.5 - 12.0 | 5.5 - 6.0 | 13.5 - 14.0 | 7.5 - 8.0 | 15.5 - 16.0 |
| indeks properties | Berat Vol. Tanah (yt) | g/cm ³ | 1.706 | 1.665 | 1.683 | 1.63 | 1.69 | 1.618 | 1.64 | 1.744 | 1.664 | 1.707 |
| | Berat Vol. Kering (yd) | g/cm ³ | 1.146 | 1.05 | 1.102 | 1.021 | 1.096 | 1 | 1.027 | 1.183 | 1.053 | 1.111 |
| | Kadar Air (Wc) | % | 48.91 | 58.54 | 52.68 | 59.6 | 54.29 | 61.72 | 59.72 | 47.4 | 57.94 | 53.64 |
| | Derajat Kejuhanan (Sr) | % | 100 | 100 | 100 | 100 | 100 | 100 | 100 | 100 | 100 | 100 |
| | Porositas (n) | % | 56.02 | 61.49 | 58.03 | 60.85 | 59.48 | 61.74 | 61.32 | 56.08 | 61.03 | 59.6 |
| | Angka pori (e) | | 1.274 | 1.597 | 1.383 | 1.555 | 1.468 | 1.614 | 1.585 | 1.277 | 1.566 | 1.475 |
| Spesifik Gravity (Gs) | | 2.605 | 2.728 | 2.627 | 2.609 | 2.704 | 2.615 | 2.654 | 2.694 | 2.703 | 2.75 | |
| Analisa Saringan | Kerikil | % | 0 | 0 | 0 | 0.09 | 0 | 0.46 | 0 | 0.11 | 0.02 | 1.73 |
| | Pasir | % | 23.38 | 16.5 | 7.26 | 17.09 | 4.49 | 25.65 | 7.34 | 23.59 | 27.55 | 43.55 |
| | Lanau | % | 38.83 | 31.68 | 36.78 | 39.52 | 34.9 | 27.44 | 43.22 | 37.94 | 33.78 | 27.21 |
| | Lempung | % | 37.78 | 51.82 | 55.97 | 43.3 | 60.62 | 46.45 | 49.44 | 38.36 | 38.65 | 27.51 |
| | Jumlah (Lanau + Lempung) | % | 76.61 | 83.5 | 92.75 | 82.82 | 95.52 | 73.89 | 92.66 | 76.3 | 72.43 | 54.72 |
| | Uniformity coefficient (Cu) | | - | - | - | - | - | - | - | - | - | - |
| Gradation coefficient (Cc) | | - | - | - | - | - | - | - | - | - | - | |
| Atterberg Limit | Liquid Limit (LL) | % | 61.46 | 54.02 | 60.32 | 52.85 | 61.46 | 61.08 | 51.46 | 51.58 | 55.27 | 50.08 |
| | Plastic Limit (PL) | % | 29.64 | 30.02 | 31.04 | 29.15 | 30.07 | 30.35 | 31.12 | 30.27 | 29.02 | 26.61 |
| | Plasticity Index (PI) | % | 31.82 | 24 | 29.28 | 23.7 | 31.38 | 30.73 | 20.33 | 21.31 | 26.25 | 21.47 |
| | Flow Index (F.I) | | - | - | - | - | - | - | - | - | - | - |
| | Shrinkage Limit (SL) | | - | - | - | - | - | - | - | - | - | - |
| Classification sistim USCS | | | CH | OH | OH | OH | CH | CH | | | | |
| Classification sistim AASHTO | | | A-7-6 | A-7-5 | A-7-5 | A-7-5 | A-7-6 | A-7-6 | | | | |
| Triaxial | Sudut Geser Dalam (φ) | (.....°) | 14.18 | 16.3 | 14.21 | 13.15 | 9.53 | 6.04 | 8.36 | 11.61 | 13.04 | 12.4 |
| | Kohesi (C) | kg/cm ² | 0.245 | 0.052 | 0.064 | 0.13 | 0.201 | 0.036 | 0.092 | 0.201 | 0.033 | 0.04 |
| Konsolidasi | Tekanan Pra Konsolidasi (Pp) | kg/cm ² | 0.98 | 0.98 | 0.98 | 0.78 | 1.03 | 1.24 | 1.05 | 1.05 | 1.1 | 1.13 |
| | Koefisien Kompresi (Cc) | | 0.526 | 0.539 | 0.571 | 0.601 | 0.7 | 0.732 | 0.786 | 0.742 | 0.955 | 0.965 |
| | Koefisien Konsolidasi (Cv (t50)) | cm ² /det | 0.000045 | 0.00066 | 0.00053 | 0.00078 | 0.0007 | 0.00088 | 0.00087 | 0.00065 | 0.00134 | 0.0009 |

Lampiran 10 Rekapitulasi Data Laboratorium

Penurunan Tanah Akibat Timbunan pada Tanah *Compressible* 27 m Zona 1

| No. | Tebal Lap (m) | Z (m) | ysat kN/m ³ | e ₀ | C _c | C _s | B1 | B2 | B1 + B2 | | α1 | α2 | (B1 + B2)/B2 | B1/B2 | Δp | 2Δp | 2Δp + Po | Po kN/m ² | Pc kN/m ² | Pc/Po kN/m ² | Keterangan | Sc (m) | Lapisan Tanah |
|-----|---------------|-------|---------------------------|----------------|----------------|----------------|-------|----|---------|--------|-------|--------|--------------|-------|-------|--------|----------|-------------------------|-------------------------|----------------------------|----------------|-----------|------------------|
| | | | | | | | | | Z | Z | | | | | | | | | | | | | |
| 1 | 1 | 0.5 | 16.7 | 1.5 | 0.7 | 0.0600 | 17.05 | 2 | 38.100 | 34.100 | 0.176 | 88.320 | 9.525 | 8.525 | 9.000 | 18.000 | 21.350 | 10.000 | 58.271 | 17.394 | tidak melebihi | 0.0193 | Overconsolidated |
| 2 | 1 | 1.5 | 16.7 | 1.5 | 0.7 | 0.0600 | 17.05 | 2 | 12.700 | 11.367 | 0.526 | 84.972 | 9.525 | 8.525 | 8.998 | 17.996 | 28.046 | 10.05 | 85.930 | 8.550 | tidak melebihi | 0.0107 | |
| 3 | 1 | 2.5 | 16.7 | 1.5 | 0.7 | 0.0600 | 17.05 | 2 | 7.620 | 6.820 | 0.865 | 81.658 | 9.525 | 8.525 | 8.990 | 17.980 | 34.730 | 16.75 | 94.530 | 5.644 | tidak melebihi | 0.0076 | |
| 4 | 1 | 3.5 | 16.7 | 1.5 | 0.7 | 0.0600 | 17.05 | 2 | 5.443 | 4.871 | 1.190 | 78.400 | 9.525 | 8.525 | 8.973 | 17.946 | 41.396 | 23.45 | 100.500 | 4.286 | tidak melebihi | 0.0059 | |
| 5 | 1 | 4.5 | 16.7 | 1.5 | 0.7 | 0.0600 | 17.05 | 2 | 4.233 | 3.789 | 1.494 | 75.215 | 9.525 | 8.525 | 8.945 | 17.889 | 48.039 | 30.15 | 100.818 | 3.344 | tidak melebihi | 0.0049 | |
| 6 | 1 | 5.5 | 16.7 | 1.5 | 0.7 | 0.0600 | 17.05 | 2 | 3.464 | 3.100 | 1.775 | 72.121 | 9.525 | 8.525 | 8.902 | 17.805 | 54.655 | 36.85 | 98.000 | 2.659 | tidak melebihi | 0.0041 | |
| 7 | 1 | 6.5 | 16.7 | 1.5 | 0.7 | 0.0600 | 17.05 | 2 | 2.931 | 2.623 | 2.028 | 69.132 | 9.525 | 8.525 | 8.845 | 17.690 | 61.240 | 43.55 | 103.162 | 2.369 | tidak melebihi | 0.0036 | |
| 8 | 1 | 7.5 | 16.7 | 1.5 | 0.7 | 0.0600 | 17.05 | 2 | 2.540 | 2.273 | 2.254 | 66.256 | 9.525 | 8.525 | 8.773 | 17.546 | 67.796 | 50.25 | 110.000 | 2.189 | tidak melebihi | 0.0031 | |
| 9 | 1 | 8.5 | 16.7 | 1.5 | 0.7 | 0.0600 | 17.05 | 2 | 2.241 | 2.006 | 2.452 | 63.502 | 9.525 | 8.525 | 8.685 | 17.371 | 74.321 | 56.95 | 104.279 | 1.831 | tidak melebihi | 0.0028 | |
| 10 | 1 | 9.5 | 16.7 | 1.5 | 0.7 | 0.0600 | 17.05 | 2 | 2.005 | 1.795 | 2.621 | 60.874 | 9.525 | 8.525 | 8.584 | 17.168 | 80.818 | 63.65 | 98.000 | 1.540 | tidak melebihi | 0.0025 | |
| 11 | 1 | 10.5 | 16.7 | 1.5 | 0.7 | 0.0600 | 17.05 | 2 | 1.814 | 1.624 | 2.764 | 58.374 | 9.525 | 8.525 | 8.470 | 16.939 | 87.289 | 70.35 | 104.875 | 1.491 | tidak melebihi | 0.0023 | |
| 12 | 1 | 11.5 | 16.7 | 1.5 | 0.7 | 0.0600 | 17.05 | 2 | 1.657 | 1.483 | 2.881 | 56.001 | 9.525 | 8.525 | 8.344 | 16.688 | 93.738 | 77.05 | 101.000 | 1.311 | tidak melebihi | 0.0020 | |
| 13 | 1 | 12.5 | 16.7 | 1.5 | 0.7 | 0.0600 | 17.05 | 2 | 1.524 | 1.364 | 2.975 | 53.753 | 9.525 | 8.525 | 8.209 | 16.418 | 100.168 | 83.75 | 105.210 | 1.256 | tidak melebihi | 0.0019 | |
| 14 | 1 | 13.5 | 16.7 | 1.5 | 0.7 | 0.0600 | 17.05 | 2 | 1.411 | 1.263 | 3.048 | 51.628 | 9.525 | 8.525 | 8.066 | 16.132 | 106.582 | 90.45 | 105.319 | 1.164 | melebihi | 0.0000 | |
| 15 | 1 | 14.5 | 16.7 | 1.5 | 0.7 | 0.0600 | 17.05 | 2 | 1.314 | 1.176 | 3.102 | 49.621 | 9.525 | 8.525 | 7.917 | 15.834 | 112.984 | 97.15 | 105.400 | 1.085 | melebihi | 0.0001 | |
| 16 | 1 | 15.5 | 16.7 | 1.5 | 0.7 | 0.0600 | 17.05 | 2 | 1.229 | 1.100 | 3.140 | 47.726 | 9.525 | 8.525 | 7.764 | 15.527 | 119.377 | 103.85 | 113.000 | 1.088 | melebihi | 0.0169 | |
| 17 | 1 | 16.5 | 16.7 | 1.5 | 0.7 | 0.0600 | 17.05 | 2 | 1.155 | 1.033 | 3.164 | 45.939 | 9.525 | 8.525 | 7.607 | 15.215 | 125.765 | 110.55 | 110.550 | 1.000 | melebihi | 0.0157 | |
| 18 | 1 | 17.5 | 16.7 | 1.5 | 0.7 | 0.0600 | 17.05 | 2 | 1.089 | 0.974 | 3.175 | 44.254 | 9.525 | 8.525 | 7.449 | 14.898 | 132.148 | 117.25 | 117.250 | 1.000 | melebihi | 0.0145 | |
| 19 | 1 | 18.5 | 16.7 | 1.5 | 0.7 | 0.0600 | 17.05 | 2 | 1.030 | 0.922 | 3.175 | 42.664 | 9.525 | 8.525 | 7.290 | 14.581 | 138.531 | 123.95 | 123.950 | 1.000 | melebihi | 0.0135 | |
| 20 | 1 | 19.5 | 16.7 | 1.5 | 0.7 | 0.0600 | 17.05 | 2 | 0.977 | 0.874 | 3.166 | 41.165 | 9.525 | 8.525 | 7.132 | 14.264 | 144.914 | 130.65 | 130.650 | 1.000 | melebihi | 0.0126 | |
| 21 | 1 | 20.5 | 16.7 | 1.5 | 0.7 | 0.0600 | 17.05 | 2 | 0.929 | 0.832 | 3.150 | 39.751 | 9.525 | 8.525 | 6.975 | 13.950 | 151.300 | 137.35 | 137.350 | 1.000 | melebihi | 0.0118 | |
| 22 | 1 | 21.5 | 16.7 | 1.5 | 0.7 | 0.0600 | 17.05 | 2 | 0.886 | 0.793 | 3.127 | 38.415 | 9.525 | 8.525 | 6.820 | 13.640 | 157.690 | 144.05 | 144.050 | 1.000 | melebihi | 0.0110 | |
| 23 | 1 | 22.5 | 16.7 | 1.5 | 0.7 | 0.0600 | 17.05 | 2 | 0.847 | 0.758 | 3.099 | 37.154 | 9.525 | 8.525 | 6.668 | 13.335 | 164.085 | 150.75 | 150.750 | 1.000 | melebihi | 0.0103 | |
| 24 | 1 | 23.5 | 16.7 | 1.5 | 0.7 | 0.0600 | 17.05 | 2 | 0.811 | 0.726 | 3.067 | 35.962 | 9.525 | 8.525 | 6.518 | 13.036 | 170.486 | 157.45 | 157.450 | 1.000 | melebihi | 0.0097 | |
| 25 | 1 | 24.5 | 16.7 | 1.5 | 0.7 | 0.0600 | 17.05 | 2 | 0.778 | 0.696 | 3.032 | 34.835 | 9.525 | 8.525 | 6.372 | 12.743 | 176.893 | 164.15 | 164.150 | 1.000 | melebihi | 0.0091 | |
| 26 | 1 | 25.5 | 16.7 | 1.5 | 0.7 | 0.0600 | 17.05 | 2 | 0.747 | 0.669 | 2.994 | 33.768 | 9.525 | 8.525 | 6.229 | 12.457 | 183.307 | 170.85 | 170.850 | 1.000 | melebihi | 0.0086 | |
| 27 | 1 | 26.5 | 16.7 | 1.5 | 0.7 | 0.0600 | 17.05 | 2 | 0.719 | 0.643 | 2.954 | 32.757 | 9.525 | 8.525 | 6.089 | 12.179 | 189.729 | 177.55 | 177.550 | 1.000 | melebihi | 0.0081 | |
| | | | | | | | | | | | | | | | | | | | | | Sci | 0.2125 | |

Lampiran 11 Hasil Consolidation Settlement Total dengan Timbunan 1 meter

| No. | Tebal Lap (m) | Z (m) | ysat kN/m ³ | e ₀ | C _c | C _s | B1 | B2 | B1 + B2 Z | B1 Z | α1 | α2 | (B1 + B2)/B2 | B1/B2 | Δp | 2Δp | 2Δp + Po | Po kN/m ² | Pc kN/m ² | Pc/Po | Keterangan | Sc (m) | Lapisan Tanah | |
|-----|---------------|-------|---------------------------|----------------|----------------|----------------|-------|----|--------------|---------|-------|--------|--------------|-------|--------|--------|----------|-------------------------|-------------------------|--------|----------------|--------|------------------|--|
| 1 | 1 | 0.5 | 16.7 | 1.5 | 0.7 | 0.0600 | 17.05 | 4 | 42.100 | 34.100 | 0.319 | 88.320 | 5.263 | 4.263 | 18.000 | 36.000 | 39.350 | 3.35 | 58.271 | 17.394 | tidak melebihi | 0.0257 | Overconsolidated | |
| 2 | 1 | 1.5 | 16.7 | 1.5 | 0.7 | 0.0600 | 17.05 | 4 | 14.033 | 11.367 | 0.952 | 84.972 | 5.263 | 4.263 | 17.996 | 35.992 | 46.042 | 10.05 | 85.930 | 8.550 | tidak melebihi | 0.0159 | | |
| 3 | 1 | 2.5 | 16.7 | 1.5 | 0.7 | 0.0600 | 17.05 | 4 | 8.420 | 6.820 | 1.569 | 81.658 | 5.263 | 4.263 | 17.983 | 35.965 | 52.715 | 16.75 | 94.530 | 5.644 | tidak melebihi | 0.0120 | | |
| 4 | 1 | 3.5 | 16.7 | 1.5 | 0.7 | 0.0600 | 17.05 | 4 | 6.014 | 4.871 | 2.160 | 78.400 | 5.263 | 4.263 | 17.954 | 35.907 | 59.357 | 23.45 | 100.500 | 4.286 | tidak melebihi | 0.0097 | | |
| 5 | 1 | 4.5 | 16.7 | 1.5 | 0.7 | 0.0600 | 17.05 | 4 | 4.678 | 3.789 | 2.718 | 75.215 | 5.263 | 4.263 | 17.904 | 35.808 | 65.958 | 30.15 | 100.818 | 3.344 | tidak melebihi | 0.0082 | | |
| 6 | 1 | 5.5 | 16.7 | 1.5 | 0.7 | 0.0600 | 17.05 | 4 | 3.827 | 3.100 | 3.236 | 72.121 | 5.263 | 4.263 | 17.830 | 35.660 | 72.510 | 36.85 | 98.000 | 2.659 | tidak melebihi | 0.0071 | | |
| 7 | 1 | 6.5 | 16.7 | 1.5 | 0.7 | 0.0600 | 17.05 | 4 | 3.238 | 2.623 | 3.708 | 69.132 | 5.263 | 4.263 | 17.729 | 35.459 | 79.009 | 43.55 | 103.162 | 2.369 | tidak melebihi | 0.0062 | | |
| 8 | 1 | 7.5 | 16.7 | 1.5 | 0.7 | 0.0600 | 17.05 | 4 | 2.807 | 2.273 | 4.133 | 66.256 | 5.263 | 4.263 | 17.601 | 35.203 | 85.453 | 50.25 | 110.000 | 2.189 | tidak melebihi | 0.0055 | | |
| 9 | 1 | 8.5 | 16.7 | 1.5 | 0.7 | 0.0600 | 17.05 | 4 | 2.476 | 2.006 | 4.509 | 63.502 | 5.263 | 4.263 | 17.446 | 34.892 | 91.842 | 56.95 | 104.279 | 1.831 | tidak melebihi | 0.0050 | | |
| 10 | 1 | 9.5 | 16.7 | 1.5 | 0.7 | 0.0600 | 17.05 | 4 | 2.216 | 1.795 | 4.836 | 60.874 | 5.263 | 4.263 | 17.265 | 34.529 | 98.179 | 63.65 | 98.000 | 1.540 | melebihi | 0.0000 | | |
| 11 | 1 | 10.5 | 16.7 | 1.5 | 0.7 | 0.0600 | 17.05 | 4 | 2.005 | 1.624 | 5.116 | 58.374 | 5.263 | 4.263 | 17.059 | 34.118 | 104.468 | 70.35 | 104.875 | 1.491 | tidak melebihi | 0.0041 | | |
| 12 | 1 | 11.5 | 16.7 | 1.5 | 0.7 | 0.0600 | 17.05 | 4 | 1.830 | 1.483 | 5.351 | 56.001 | 5.263 | 4.263 | 16.832 | 33.663 | 110.713 | 77.05 | 101.000 | 1.311 | melebihi | 0.0002 | | |
| 13 | 1 | 12.5 | 16.7 | 1.5 | 0.7 | 0.0600 | 17.05 | 4 | 1.684 | 1.364 | 5.544 | 53.753 | 5.263 | 4.263 | 16.585 | 33.171 | 116.921 | 83.75 | 105.210 | 1.256 | melebihi | 0.0002 | | |
| 14 | 1 | 13.5 | 16.7 | 1.5 | 0.7 | 0.0600 | 17.05 | 4 | 1.559 | 1.263 | 5.699 | 51.628 | 5.263 | 4.263 | 16.323 | 32.647 | 123.097 | 90.45 | 105.319 | 1.164 | melebihi | 0.0003 | | |
| 15 | 1 | 14.5 | 16.7 | 1.5 | 0.7 | 0.0600 | 17.05 | 4 | 1.452 | 1.176 | 5.819 | 49.621 | 5.263 | 4.263 | 16.048 | 32.097 | 129.247 | 97.15 | 105.400 | 1.085 | melebihi | 0.0003 | | |
| 16 | 1 | 15.5 | 16.7 | 1.5 | 0.7 | 0.0600 | 17.05 | 4 | 1.358 | 1.100 | 5.908 | 47.726 | 5.263 | 4.263 | 15.763 | 31.527 | 135.377 | 103.85 | 113.000 | 1.088 | melebihi | 0.0322 | | |
| 17 | 1 | 16.5 | 16.7 | 1.5 | 0.7 | 0.0600 | 17.05 | 4 | 1.276 | 1.033 | 5.970 | 45.939 | 5.263 | 4.263 | 15.471 | 30.942 | 141.492 | 110.55 | 110.550 | 1.000 | melebihi | 0.0300 | | |
| 18 | 1 | 17.5 | 16.7 | 1.5 | 0.7 | 0.0600 | 17.05 | 4 | 1.203 | 0.974 | 6.008 | 44.254 | 5.263 | 4.263 | 15.174 | 30.348 | 147.598 | 117.25 | 117.250 | 1.000 | melebihi | 0.0280 | | |
| 19 | 1 | 18.5 | 16.7 | 1.5 | 0.7 | 0.0600 | 17.05 | 4 | 1.138 | 0.922 | 6.025 | 42.664 | 5.263 | 4.263 | 14.874 | 29.748 | 153.698 | 123.95 | 123.950 | 1.000 | melebihi | 0.0262 | | |
| 20 | 1 | 19.5 | 16.7 | 1.5 | 0.7 | 0.0600 | 17.05 | 4 | 1.079 | 0.874 | 6.024 | 41.165 | 5.263 | 4.263 | 14.573 | 29.146 | 159.796 | 130.65 | 130.650 | 1.000 | melebihi | 0.0245 | | |
| 21 | 1 | 20.5 | 16.7 | 1.5 | 0.7 | 0.0600 | 17.05 | 4 | 1.027 | 0.832 | 6.008 | 39.751 | 5.263 | 4.263 | 14.273 | 28.547 | 165.897 | 137.35 | 137.350 | 1.000 | melebihi | 0.0230 | | |
| 22 | 1 | 21.5 | 16.7 | 1.5 | 0.7 | 0.0600 | 17.05 | 4 | 0.979 | 0.793 | 5.979 | 38.415 | 5.263 | 4.263 | 13.976 | 27.952 | 172.002 | 144.05 | 144.050 | 1.000 | melebihi | 0.0216 | | |
| 23 | 1 | 22.5 | 16.7 | 1.5 | 0.7 | 0.0600 | 17.05 | 4 | 0.936 | 0.758 | 5.939 | 37.154 | 5.263 | 4.263 | 13.682 | 27.363 | 178.113 | 150.75 | 150.750 | 1.000 | melebihi | 0.0203 | | |
| 24 | 1 | 23.5 | 16.7 | 1.5 | 0.7 | 0.0600 | 17.05 | 4 | 0.896 | 0.726 | 5.890 | 35.962 | 5.263 | 4.263 | 13.392 | 26.784 | 184.234 | 157.45 | 157.450 | 1.000 | melebihi | 0.0191 | | |
| 25 | 1 | 24.5 | 16.7 | 1.5 | 0.7 | 0.0600 | 17.05 | 4 | 0.859 | 0.696 | 5.834 | 34.835 | 5.263 | 4.263 | 13.107 | 26.214 | 190.364 | 164.15 | 164.150 | 1.000 | melebihi | 0.0180 | | |
| 26 | 1 | 25.5 | 16.7 | 1.5 | 0.7 | 0.0600 | 17.05 | 4 | 0.825 | 0.669 | 5.772 | 33.768 | 5.263 | 4.263 | 12.828 | 25.656 | 196.506 | 170.85 | 170.850 | 1.000 | melebihi | 0.0170 | | |
| 27 | 1 | 26.5 | 16.7 | 1.5 | 0.7 | 0.0600 | 17.05 | 4 | 0.794 | 0.643 | 5.704 | 32.757 | 5.263 | 4.263 | 12.555 | 25.111 | 202.661 | 177.55 | 177.550 | 1.000 | melebihi | 0.0161 | | |
| | | | | | | | | | | | | | | | | | | | | | | Sci | 0.3762 | |

Lampiran 12 Hasil Consolidation Settlement Total dengan Timbunan 2 meter

| No. | Tebal Lap (m) | Z (m) | ysat kN/m ² | e ₀ | C _c | C _s | B1 | B2 | B1 + B2 | | α1 | α2 | (B1 + B2)/B2 | B1/B2 | Δp | 2Δp | 2Δp + Po | Po kN/m ² | Pc kN/m ² | Pc/Po kN/m ² | Keterangan | Sc (m) | Lapisan Tanah |
|-----|---------------|-------|---------------------------|----------------|----------------|----------------|-------|----|---------|--------|-------|--------|--------------|-------|--------|--------|----------|-------------------------|-------------------------|----------------------------|----------------|-----------|------------------|
| | | | | | | | | | Z | Z | | | | | | | | | | | | | |
| 1 | 1 | 0.5 | 16.7 | 1.5 | 0.7 | 0.0600 | 17.05 | 6 | 46.100 | 34.100 | 0.437 | 88.320 | 3.842 | 2.842 | 27.000 | 54.000 | 57.350 | 3.35 | 58.271 | 17.394 | tidak melebihi | 0.0296 | Overconsolidated |
| 2 | 1 | 1.5 | 16.7 | 1.5 | 0.7 | 0.0600 | 17.05 | 6 | 15.367 | 11.367 | 1.304 | 84.972 | 3.842 | 2.842 | 26.995 | 53.990 | 64.040 | 10.05 | 85.930 | 8.550 | tidak melebihi | 0.0193 | |
| 3 | 1 | 2.5 | 16.7 | 1.5 | 0.7 | 0.0600 | 17.05 | 6 | 9.220 | 6.820 | 2.152 | 81.658 | 3.842 | 2.842 | 26.977 | 53.954 | 70.704 | 16.75 | 94.530 | 5.644 | tidak melebihi | 0.0150 | |
| 4 | 1 | 3.5 | 16.7 | 1.5 | 0.7 | 0.0600 | 17.05 | 6 | 6.586 | 4.871 | 2.966 | 78.400 | 3.842 | 2.842 | 26.939 | 53.877 | 77.327 | 23.45 | 100.500 | 4.286 | tidak melebihi | 0.0124 | |
| 5 | 1 | 4.5 | 16.7 | 1.5 | 0.7 | 0.0600 | 17.05 | 6 | 5.122 | 3.789 | 3.738 | 75.215 | 3.842 | 2.842 | 26.873 | 53.745 | 83.895 | 30.15 | 100.818 | 3.344 | tidak melebihi | 0.0107 | |
| 6 | 1 | 5.5 | 16.7 | 1.5 | 0.7 | 0.0600 | 17.05 | 6 | 4.191 | 3.100 | 4.458 | 72.121 | 3.842 | 2.842 | 26.774 | 53.549 | 90.399 | 36.85 | 98.000 | 2.659 | tidak melebihi | 0.0094 | |
| 7 | 1 | 6.5 | 16.7 | 1.5 | 0.7 | 0.0600 | 17.05 | 6 | 3.546 | 2.623 | 5.120 | 69.132 | 3.842 | 2.842 | 26.641 | 53.281 | 96.831 | 43.55 | 103.162 | 2.369 | tidak melebihi | 0.0083 | |
| 8 | 1 | 7.5 | 16.7 | 1.5 | 0.7 | 0.0600 | 17.05 | 6 | 3.073 | 2.273 | 5.720 | 66.256 | 3.842 | 2.842 | 26.469 | 52.938 | 103.188 | 50.25 | 110.000 | 2.189 | tidak melebihi | 0.0075 | |
| 9 | 1 | 8.5 | 16.7 | 1.5 | 0.7 | 0.0600 | 17.05 | 6 | 2.712 | 2.006 | 6.256 | 63.502 | 3.842 | 2.842 | 26.260 | 52.521 | 109.471 | 56.95 | 104.279 | 1.831 | melebihi | 0.0002 | |
| 10 | 1 | 9.5 | 16.7 | 1.5 | 0.7 | 0.0600 | 17.05 | 6 | 2.426 | 1.795 | 6.727 | 60.874 | 3.842 | 2.842 | 26.015 | 52.030 | 115.680 | 63.65 | 98.000 | 1.540 | melebihi | 0.0004 | |
| 11 | 1 | 10.5 | 16.7 | 1.5 | 0.7 | 0.0600 | 17.05 | 6 | 2.195 | 1.624 | 7.135 | 58.374 | 3.842 | 2.842 | 25.736 | 51.472 | 121.822 | 70.35 | 104.875 | 1.491 | melebihi | 0.0004 | |
| 12 | 1 | 11.5 | 16.7 | 1.5 | 0.7 | 0.0600 | 17.05 | 6 | 2.004 | 1.483 | 7.484 | 56.001 | 3.842 | 2.842 | 25.425 | 50.851 | 127.901 | 77.05 | 101.000 | 1.311 | melebihi | 0.0005 | |
| 13 | 1 | 12.5 | 16.7 | 1.5 | 0.7 | 0.0600 | 17.05 | 6 | 1.844 | 1.364 | 7.776 | 53.753 | 3.842 | 2.842 | 25.087 | 50.175 | 133.925 | 83.75 | 105.210 | 1.256 | melebihi | 0.0005 | |
| 14 | 1 | 13.5 | 16.7 | 1.5 | 0.7 | 0.0600 | 17.05 | 6 | 1.707 | 1.263 | 8.015 | 51.628 | 3.842 | 2.842 | 24.726 | 49.451 | 139.901 | 90.45 | 105.319 | 1.164 | melebihi | 0.0005 | |
| 15 | 1 | 14.5 | 16.7 | 1.5 | 0.7 | 0.0600 | 17.05 | 6 | 1.590 | 1.176 | 8.207 | 49.621 | 3.842 | 2.842 | 24.344 | 48.689 | 145.839 | 97.15 | 105.400 | 1.085 | melebihi | 0.0005 | |
| 16 | 1 | 15.5 | 16.7 | 1.5 | 0.7 | 0.0600 | 17.05 | 6 | 1.487 | 1.100 | 8.355 | 47.726 | 3.842 | 2.842 | 23.947 | 47.894 | 151.744 | 103.85 | 113.000 | 1.088 | melebihi | 0.0461 | |
| 17 | 1 | 16.5 | 16.7 | 1.5 | 0.7 | 0.0600 | 17.05 | 6 | 1.397 | 1.033 | 8.464 | 45.939 | 3.842 | 2.842 | 23.537 | 47.074 | 157.624 | 110.55 | 110.550 | 1.000 | melebihi | 0.0431 | |
| 18 | 1 | 17.5 | 16.7 | 1.5 | 0.7 | 0.0600 | 17.05 | 6 | 1.317 | 0.974 | 8.540 | 44.254 | 3.842 | 2.842 | 23.118 | 46.236 | 163.486 | 117.25 | 117.250 | 1.000 | melebihi | 0.0404 | |
| 19 | 1 | 18.5 | 16.7 | 1.5 | 0.7 | 0.0600 | 17.05 | 6 | 1.246 | 0.922 | 8.585 | 42.664 | 3.842 | 2.842 | 22.694 | 45.387 | 169.337 | 123.95 | 123.950 | 1.000 | melebihi | 0.0379 | |
| 20 | 1 | 19.5 | 16.7 | 1.5 | 0.7 | 0.0600 | 17.05 | 6 | 1.182 | 0.874 | 8.604 | 41.165 | 3.842 | 2.842 | 22.266 | 44.532 | 175.182 | 130.65 | 130.650 | 1.000 | melebihi | 0.0357 | |
| 21 | 1 | 20.5 | 16.7 | 1.5 | 0.7 | 0.0600 | 17.05 | 6 | 1.124 | 0.832 | 8.600 | 39.751 | 3.842 | 2.842 | 21.837 | 43.674 | 181.024 | 137.35 | 137.350 | 1.000 | melebihi | 0.0336 | |
| 22 | 1 | 21.5 | 16.7 | 1.5 | 0.7 | 0.0600 | 17.05 | 6 | 1.072 | 0.793 | 8.577 | 38.415 | 3.842 | 2.842 | 21.410 | 42.820 | 186.870 | 144.05 | 144.050 | 1.000 | melebihi | 0.0316 | |
| 23 | 1 | 22.5 | 16.7 | 1.5 | 0.7 | 0.0600 | 17.05 | 6 | 1.024 | 0.758 | 8.538 | 37.154 | 3.842 | 2.842 | 20.986 | 41.972 | 192.722 | 150.75 | 150.750 | 1.000 | melebihi | 0.0299 | |
| 24 | 1 | 23.5 | 16.7 | 1.5 | 0.7 | 0.0600 | 17.05 | 6 | 0.981 | 0.726 | 8.484 | 35.962 | 3.842 | 2.842 | 20.566 | 41.133 | 198.583 | 157.45 | 157.450 | 1.000 | melebihi | 0.0282 | |
| 25 | 1 | 24.5 | 16.7 | 1.5 | 0.7 | 0.0600 | 17.05 | 6 | 0.941 | 0.696 | 8.419 | 34.835 | 3.842 | 2.842 | 20.153 | 40.306 | 204.456 | 164.15 | 164.150 | 1.000 | melebihi | 0.0267 | |
| 26 | 1 | 25.5 | 16.7 | 1.5 | 0.7 | 0.0600 | 17.05 | 6 | 0.904 | 0.669 | 8.343 | 33.768 | 3.842 | 2.842 | 19.746 | 39.492 | 210.342 | 170.85 | 170.850 | 1.000 | melebihi | 0.0253 | |
| 27 | 1 | 26.5 | 16.7 | 1.5 | 0.7 | 0.0600 | 17.05 | 6 | 0.870 | 0.643 | 8.260 | 32.757 | 3.842 | 2.842 | 19.347 | 38.694 | 216.244 | 177.55 | 177.550 | 1.000 | melebihi | 0.0240 | |
| | | | | | | | | | | | | | | | | | | | | | Sci | 0.5178 | |

Lampiran 13 Hasil Consolidation Settlement Total dengan Timbunan 3 meter

| No. | Tebal Lap (m) | Z (m) | γ_{sat} kN/m ³ | e_0 | C_c | C_s | B1 | B2 | $\frac{B1+B2}{Z}$ | $\frac{B1}{Z}$ | α_1 | α_2 | $(B1+B2)/B2$ | B1/B2 | Δp | $2\Delta p$ | $2\Delta p + P_0$ | P_0 kN/m ² | P_c kN/m ² | P_c/P_0 | Keterangan | S_c (m) | Lapisan Tanah |
|-----|---------------|-------|----------------------------------|-------|-------|--------|-------|----|-------------------|----------------|------------|------------|--------------|-------|------------|-------------|-------------------|-------------------------|-------------------------|-----------|----------------|-----------|------------------|
| 1 | 1 | 0.5 | 16.7 | 1.5 | 0.7 | 0.0600 | 17.05 | 8 | 50.100 | 34.100 | 0.536 | 88.320 | 3.131 | 2.131 | 36.000 | 72.000 | 75.350 | 3.35 | 58.271 | 17.394 | melebihi | 0.0033 | Overconsolidated |
| 2 | 1 | 1.5 | 16.7 | 1.5 | 0.7 | 0.0600 | 17.05 | 8 | 16.700 | 11.367 | 1.601 | 84.972 | 3.131 | 2.131 | 35.994 | 71.988 | 82.038 | 10.05 | 85.930 | 8.550 | tidak melebihi | 0.0219 | |
| 3 | 1 | 2.5 | 16.7 | 1.5 | 0.7 | 0.0600 | 17.05 | 8 | 10.020 | 6.820 | 2.642 | 81.658 | 3.131 | 2.131 | 35.973 | 71.946 | 88.696 | 16.75 | 94.530 | 5.644 | tidak melebihi | 0.0174 | |
| 4 | 1 | 3.5 | 16.7 | 1.5 | 0.7 | 0.0600 | 17.05 | 8 | 7.157 | 4.871 | 3.647 | 78.400 | 3.131 | 2.131 | 35.927 | 71.854 | 95.304 | 23.45 | 100.500 | 4.286 | tidak melebihi | 0.0146 | |
| 5 | 1 | 4.5 | 16.7 | 1.5 | 0.7 | 0.0600 | 17.05 | 8 | 5.567 | 3.789 | 4.601 | 75.215 | 3.131 | 2.131 | 35.849 | 71.697 | 101.847 | 30.15 | 100.818 | 3.344 | melebihi | 0.0001 | |
| 6 | 1 | 5.5 | 16.7 | 1.5 | 0.7 | 0.0600 | 17.05 | 8 | 4.555 | 3.100 | 5.495 | 72.121 | 3.131 | 2.131 | 35.731 | 71.463 | 108.313 | 36.85 | 98.000 | 2.659 | melebihi | 0.0005 | |
| 7 | 1 | 6.5 | 16.7 | 1.5 | 0.7 | 0.0600 | 17.05 | 8 | 3.854 | 2.623 | 6.322 | 69.132 | 3.131 | 2.131 | 35.571 | 71.142 | 114.692 | 43.55 | 103.162 | 2.369 | melebihi | 0.0005 | |
| 8 | 1 | 7.5 | 16.7 | 1.5 | 0.7 | 0.0600 | 17.05 | 8 | 3.340 | 2.273 | 7.076 | 66.256 | 3.131 | 2.131 | 35.365 | 70.731 | 120.981 | 50.25 | 110.000 | 2.189 | melebihi | 0.0004 | |
| 9 | 1 | 8.5 | 16.7 | 1.5 | 0.7 | 0.0600 | 17.05 | 8 | 2.947 | 2.006 | 7.755 | 63.502 | 3.131 | 2.131 | 35.114 | 70.227 | 127.177 | 56.95 | 104.279 | 1.831 | melebihi | 0.0007 | |
| 10 | 1 | 9.5 | 16.7 | 1.5 | 0.7 | 0.0600 | 17.05 | 8 | 2.637 | 1.795 | 8.357 | 60.874 | 3.131 | 2.131 | 34.817 | 69.634 | 133.284 | 63.65 | 98.000 | 1.540 | melebihi | 0.0008 | |
| 11 | 1 | 10.5 | 16.7 | 1.5 | 0.7 | 0.0600 | 17.05 | 8 | 2.386 | 1.624 | 8.885 | 58.374 | 3.131 | 2.131 | 34.478 | 68.955 | 139.305 | 70.35 | 104.875 | 1.491 | melebihi | 0.0007 | |
| 12 | 1 | 11.5 | 16.7 | 1.5 | 0.7 | 0.0600 | 17.05 | 8 | 2.178 | 1.483 | 9.340 | 56.001 | 3.131 | 2.131 | 34.099 | 68.198 | 145.248 | 77.05 | 101.000 | 1.311 | melebihi | 0.0008 | |
| 13 | 1 | 12.5 | 16.7 | 1.5 | 0.7 | 0.0600 | 17.05 | 8 | 2.004 | 1.364 | 9.727 | 53.753 | 3.131 | 2.131 | 33.685 | 67.370 | 151.120 | 83.75 | 105.210 | 1.256 | melebihi | 0.0007 | |
| 14 | 1 | 13.5 | 16.7 | 1.5 | 0.7 | 0.0600 | 17.05 | 8 | 1.856 | 1.263 | 10.051 | 51.628 | 3.131 | 2.131 | 33.240 | 66.479 | 156.929 | 90.45 | 105.319 | 1.164 | melebihi | 0.0007 | |
| 15 | 1 | 14.5 | 16.7 | 1.5 | 0.7 | 0.0600 | 17.05 | 8 | 1.728 | 1.176 | 10.315 | 49.621 | 3.131 | 2.131 | 32.768 | 65.536 | 162.686 | 97.15 | 105.400 | 1.085 | melebihi | 0.0006 | |
| 16 | 1 | 15.5 | 16.7 | 1.5 | 0.7 | 0.0600 | 17.05 | 8 | 1.616 | 1.100 | 10.526 | 47.726 | 3.131 | 2.131 | 32.274 | 64.549 | 168.399 | 103.85 | 113.000 | 1.088 | melebihi | 0.0588 | |
| 17 | 1 | 16.5 | 16.7 | 1.5 | 0.7 | 0.0600 | 17.05 | 8 | 1.518 | 1.033 | 10.689 | 45.939 | 3.131 | 2.131 | 31.763 | 63.526 | 174.076 | 110.55 | 110.550 | 1.000 | melebihi | 0.0552 | |
| 18 | 1 | 17.5 | 16.7 | 1.5 | 0.7 | 0.0600 | 17.05 | 8 | 1.431 | 0.974 | 10.808 | 44.254 | 3.131 | 2.131 | 31.238 | 62.477 | 179.727 | 117.25 | 117.250 | 1.000 | melebihi | 0.0519 | |
| 19 | 1 | 18.5 | 16.7 | 1.5 | 0.7 | 0.0600 | 17.05 | 8 | 1.354 | 0.922 | 10.889 | 42.664 | 3.131 | 2.131 | 30.704 | 61.408 | 185.358 | 123.950 | 100.000 | 1.000 | melebihi | 0.0489 | |
| 20 | 1 | 19.5 | 16.7 | 1.5 | 0.7 | 0.0600 | 17.05 | 8 | 1.285 | 0.874 | 10.936 | 41.165 | 3.131 | 2.131 | 30.164 | 60.327 | 190.977 | 130.65 | 130.650 | 1.000 | melebihi | 0.0462 | |
| 21 | 1 | 20.5 | 16.7 | 1.5 | 0.7 | 0.0600 | 17.05 | 8 | 1.222 | 0.832 | 10.954 | 39.751 | 3.131 | 2.131 | 29.620 | 59.240 | 196.590 | 137.35 | 137.350 | 1.000 | melebihi | 0.0436 | |
| 22 | 1 | 21.5 | 16.7 | 1.5 | 0.7 | 0.0600 | 17.05 | 8 | 1.165 | 0.793 | 10.946 | 38.415 | 3.131 | 2.131 | 29.076 | 58.151 | 202.201 | 144.05 | 144.050 | 1.000 | melebihi | 0.0412 | |
| 23 | 1 | 22.5 | 16.7 | 1.5 | 0.7 | 0.0600 | 17.05 | 8 | 1.113 | 0.758 | 10.916 | 37.154 | 3.131 | 2.131 | 28.533 | 57.067 | 207.817 | 150.75 | 150.750 | 1.000 | melebihi | 0.0390 | |
| 24 | 1 | 23.5 | 16.7 | 1.5 | 0.7 | 0.0600 | 17.05 | 8 | 1.066 | 0.726 | 10.867 | 35.962 | 3.131 | 2.131 | 27.995 | 55.990 | 213.440 | 157.45 | 157.450 | 1.000 | melebihi | 0.0370 | |
| 25 | 1 | 24.5 | 16.7 | 1.5 | 0.7 | 0.0600 | 17.05 | 8 | 1.022 | 0.696 | 10.801 | 34.835 | 3.131 | 2.131 | 27.462 | 54.925 | 219.075 | 164.15 | 164.150 | 1.000 | melebihi | 0.0351 | |
| 26 | 1 | 25.5 | 16.7 | 1.5 | 0.7 | 0.0600 | 17.05 | 8 | 0.982 | 0.669 | 10.722 | 33.768 | 3.131 | 2.131 | 26.937 | 53.873 | 224.723 | 170.85 | 170.850 | 1.000 | melebihi | 0.0333 | |
| 27 | 1 | 26.5 | 16.7 | 1.5 | 0.7 | 0.0600 | 17.05 | 8 | 0.945 | 0.643 | 10.632 | 32.757 | 3.131 | 2.131 | 26.419 | 52.838 | 230.388 | 177.55 | 177.550 | 1.000 | melebihi | 0.0317 | |
| | | | | | | | | | | | | | | | | | | | | | Sci | 0.5857 | |

Lampiran 14 Hasil Consolidation Settlement Total dengan Timbunan 4 meter

Penurunan Tanah Akibat Beban Lalu Lintas pada Tanah *Compressible* 27 m Zona 1

| No. | Tebal Lap (m) | Z (m) | ysat kN/m ³ | e ₀ | C _c | C _s | B1 | B2 | B1 + B2 | | α1 | α2 | B1 + B2/B2 | | Δp | 2Δp | 2ap + Po | Po kN/m ² | Pc kN/m ² | Pc/Po kN/m ² | Keterangan | Sc (m) | Lapisan Tanah |
|-----|---------------|-------|---------------------------|----------------|----------------|----------------|-------|----|---------|--------|-------|--------|------------|-------|-------|--------|----------|-------------------------|-------------------------|----------------------------|----------------|-----------|------------------|
| | | | | | | | | | Z | Z | | | B1/B2 | B1/B2 | | | | | | | | | |
| 1 | 1 | 1.5 | 16.7 | 1.5 | 0.7 | 0.0600 | 17.05 | 2 | 12.700 | 11.367 | 0.526 | 84.972 | 9.525 | 8.525 | 7.198 | 14.397 | 17.747 | 3.35 | 58.271 | 17.394 | tidak melebihi | 0.0174 | Overconsolidated |
| 2 | 1 | 2.5 | 16.7 | 1.5 | 0.7 | 0.0600 | 17.05 | 2 | 7.620 | 6.820 | 0.865 | 81.658 | 9.525 | 8.525 | 7.192 | 14.384 | 24.434 | 10.05 | 85.930 | 8.550 | tidak melebihi | 0.0093 | |
| 3 | 1 | 3.5 | 16.7 | 1.5 | 0.7 | 0.0600 | 17.05 | 2 | 5.443 | 4.871 | 1.190 | 78.400 | 9.525 | 8.525 | 7.179 | 14.357 | 31.107 | 16.75 | 94.530 | 5.644 | tidak melebihi | 0.0065 | |
| 4 | 1 | 4.5 | 16.7 | 1.5 | 0.7 | 0.0600 | 17.05 | 2 | 4.233 | 3.789 | 1.494 | 75.215 | 9.525 | 8.525 | 7.156 | 14.311 | 37.761 | 23.45 | 100.500 | 4.286 | tidak melebihi | 0.0050 | |
| 5 | 1 | 5.5 | 16.7 | 1.5 | 0.7 | 0.0600 | 17.05 | 2 | 3.464 | 3.100 | 1.775 | 72.121 | 9.525 | 8.525 | 7.122 | 14.244 | 44.394 | 30.15 | 100.818 | 3.344 | tidak melebihi | 0.0040 | |
| 6 | 1 | 6.5 | 16.7 | 1.5 | 0.7 | 0.0600 | 17.05 | 2 | 2.931 | 2.623 | 2.028 | 69.132 | 9.525 | 8.525 | 7.076 | 14.152 | 51.002 | 36.85 | 98.000 | 2.659 | tidak melebihi | 0.0034 | |
| 7 | 1 | 7.5 | 16.7 | 1.5 | 0.7 | 0.0600 | 17.05 | 2 | 2.540 | 2.273 | 2.254 | 66.256 | 9.525 | 8.525 | 7.018 | 14.036 | 57.586 | 43.55 | 103.162 | 2.369 | tidak melebihi | 0.0029 | |
| 8 | 1 | 8.5 | 16.7 | 1.5 | 0.7 | 0.0600 | 17.05 | 2 | 2.241 | 2.006 | 2.452 | 63.502 | 9.525 | 8.525 | 6.948 | 13.897 | 64.147 | 50.25 | 110.000 | 2.189 | tidak melebihi | 0.0025 | |
| 9 | 1 | 9.5 | 16.7 | 1.5 | 0.7 | 0.0600 | 17.05 | 2 | 2.005 | 1.795 | 2.621 | 60.874 | 9.525 | 8.525 | 6.867 | 13.734 | 70.684 | 56.95 | 104.279 | 1.831 | tidak melebihi | 0.0023 | |
| 10 | 1 | 10.5 | 16.7 | 1.5 | 0.7 | 0.0600 | 17.05 | 2 | 1.814 | 1.624 | 2.764 | 58.374 | 9.525 | 8.525 | 6.776 | 13.551 | 77.201 | 63.65 | 98.000 | 1.540 | tidak melebihi | 0.0020 | |
| 11 | 1 | 11.5 | 16.7 | 1.5 | 0.7 | 0.0600 | 17.05 | 2 | 1.657 | 1.483 | 2.881 | 56.001 | 9.525 | 8.525 | 6.675 | 13.351 | 83.701 | 70.35 | 104.875 | 1.491 | tidak melebihi | 0.0018 | |
| 12 | 1 | 12.5 | 16.7 | 1.5 | 0.7 | 0.0600 | 17.05 | 2 | 1.524 | 1.364 | 2.975 | 53.753 | 9.525 | 8.525 | 6.567 | 13.134 | 90.184 | 77.05 | 101.000 | 1.311 | tidak melebihi | 0.0016 | |
| 13 | 1 | 13.5 | 16.7 | 1.5 | 0.7 | 0.0600 | 17.05 | 2 | 1.411 | 1.263 | 3.048 | 51.628 | 9.525 | 8.525 | 6.453 | 12.906 | 96.656 | 83.75 | 105.210 | 1.256 | tidak melebihi | 0.0015 | |
| 14 | 1 | 14.5 | 16.7 | 1.5 | 0.7 | 0.0600 | 17.05 | 2 | 1.314 | 1.176 | 3.102 | 49.621 | 9.525 | 8.525 | 6.334 | 12.667 | 103.117 | 90.45 | 105.319 | 1.164 | tidak melebihi | 0.0014 | |
| 15 | 1 | 15.5 | 16.7 | 1.5 | 0.7 | 0.0600 | 17.05 | 2 | 1.229 | 1.100 | 3.140 | 47.726 | 9.525 | 8.525 | 6.211 | 12.422 | 109.572 | 97.15 | 105.400 | 1.085 | melembi | 0.0001 | |
| 16 | 1 | 16.5 | 16.7 | 1.5 | 0.7 | 0.0600 | 17.05 | 2 | 1.155 | 1.033 | 3.164 | 45.939 | 9.525 | 8.525 | 6.086 | 12.172 | 116.022 | 103.85 | 113.000 | 1.088 | melembi | 0.0135 | |
| 17 | 1 | 17.5 | 16.7 | 1.5 | 0.7 | 0.0600 | 17.05 | 2 | 1.089 | 0.974 | 3.175 | 44.254 | 9.525 | 8.525 | 5.959 | 11.919 | 122.469 | 110.55 | 110.550 | 1.000 | melembi | 0.0125 | |
| 18 | 1 | 18.5 | 16.7 | 1.5 | 0.7 | 0.0600 | 17.05 | 2 | 1.030 | 0.922 | 3.175 | 42.664 | 9.525 | 8.525 | 5.832 | 11.665 | 128.915 | 117.25 | 117.250 | 1.000 | melembi | 0.0115 | |
| 19 | 1 | 19.5 | 16.7 | 1.5 | 0.7 | 0.0600 | 17.05 | 2 | 0.977 | 0.874 | 3.166 | 41.165 | 9.525 | 8.525 | 5.706 | 11.412 | 135.362 | 123.95 | 123.950 | 1.000 | melembi | 0.0107 | |
| 20 | 1 | 20.5 | 16.7 | 1.5 | 0.7 | 0.0600 | 17.05 | 2 | 0.929 | 0.832 | 3.150 | 39.751 | 9.525 | 8.525 | 5.580 | 11.160 | 141.810 | 130.65 | 130.650 | 1.000 | melembi | 0.0100 | |
| 21 | 1 | 21.5 | 16.7 | 1.5 | 0.7 | 0.0600 | 17.05 | 2 | 0.886 | 0.793 | 3.127 | 38.415 | 9.525 | 8.525 | 5.456 | 10.912 | 148.262 | 137.35 | 137.350 | 1.000 | melembi | 0.0093 | |
| 22 | 1 | 22.5 | 16.7 | 1.5 | 0.7 | 0.0600 | 17.05 | 2 | 0.847 | 0.758 | 3.099 | 37.154 | 9.525 | 8.525 | 5.334 | 10.668 | 154.718 | 144.05 | 144.050 | 1.000 | melembi | 0.0087 | |
| 23 | 1 | 23.5 | 16.7 | 1.5 | 0.7 | 0.0600 | 17.05 | 2 | 0.811 | 0.726 | 3.067 | 35.962 | 9.525 | 8.525 | 5.214 | 10.429 | 161.179 | 150.75 | 150.750 | 1.000 | melembi | 0.0081 | |
| 24 | 1 | 24.5 | 16.7 | 1.5 | 0.7 | 0.0600 | 17.05 | 2 | 0.778 | 0.696 | 3.032 | 34.835 | 9.525 | 8.525 | 5.097 | 10.195 | 167.645 | 157.45 | 157.450 | 1.000 | melembi | 0.0076 | |
| 25 | 1 | 25.5 | 16.7 | 1.5 | 0.7 | 0.0600 | 17.05 | 2 | 0.747 | 0.669 | 2.994 | 33.768 | 9.525 | 8.525 | 4.983 | 9.966 | 174.116 | 164.15 | 164.150 | 1.000 | melembi | 0.0072 | |
| 26 | 1 | 26.5 | 16.7 | 1.5 | 0.7 | 0.0600 | 17.05 | 2 | 0.719 | 0.643 | 2.954 | 32.757 | 9.525 | 8.525 | 4.872 | 9.743 | 180.593 | 170.85 | 170.850 | 1.000 | melembi | 0.0067 | |
| 27 | 1 | 27.5 | 16.7 | 1.5 | 0.7 | 0.0600 | 17.05 | 2 | 0.693 | 0.620 | 2.912 | 31.799 | 9.525 | 8.525 | 4.763 | 9.526 | 187.076 | 177.55 | 177.550 | 1.000 | melembi | 0.0064 | |
| | | | | | | | | | | | | | | | | | | | | | Sci | 0.1738 | |

Lampiran 15 Hasil Consolidation Settlement Total (Lalu Lintas) dengan Timbunan 1 meter

| No. | Tebal Lap (m) | Z (m) | ysat kN/m ³ | e ₀ | C _c | C _s | B1 | B2 | B1 + B2 Z | B1 Z | α1 | α2 | (B1 + B2)/B2 | B1/B2 | Δp | 2Δp | 2Δp + Po | Po kN/m ² | Pc kN/m ² | Pc/Po kN/m ² | Keterangan | Sc (m) | Lapisan Tanah |
|-----|---------------|-------|------------------------|----------------|----------------|----------------|-------|----|--------------|---------|-------|--------|--------------|-------|-------|--------|----------|-------------------------|-------------------------|----------------------------|----------------|--------|------------------|
| 1 | 1 | 2.5 | 16.7 | 1.5 | 0.7 | 0.0600 | 17.05 | 4 | 8.420 | 6.820 | 1.569 | 81.658 | 5.263 | 4.263 | 7.193 | 14.386 | 17.736 | 3.35 | 58.271 | 17.394 | tidak melebihi | 0.0174 | Overconsolidated |
| 2 | 1 | 3.5 | 16.7 | 1.5 | 0.7 | 0.0600 | 17.05 | 4 | 6.014 | 4.871 | 2.160 | 78.400 | 5.263 | 4.263 | 7.181 | 14.363 | 24.413 | 10.05 | 85.930 | 8.550 | tidak melebihi | 0.0093 | |
| 3 | 1 | 4.5 | 16.7 | 1.5 | 0.7 | 0.0600 | 17.05 | 4 | 4.678 | 3.789 | 2.718 | 75.215 | 5.263 | 4.263 | 7.162 | 14.323 | 31.073 | 16.75 | 94.530 | 5.644 | tidak melebihi | 0.0064 | |
| 4 | 1 | 5.5 | 16.7 | 1.5 | 0.7 | 0.0600 | 17.05 | 4 | 3.827 | 3.100 | 3.236 | 72.121 | 5.263 | 4.263 | 7.132 | 14.264 | 37.714 | 23.45 | 100.500 | 4.286 | tidak melebihi | 0.0050 | |
| 5 | 1 | 6.5 | 16.7 | 1.5 | 0.7 | 0.0600 | 17.05 | 4 | 3.238 | 2.623 | 3.708 | 69.132 | 5.263 | 4.263 | 7.092 | 14.183 | 44.333 | 30.15 | 100.818 | 3.344 | tidak melebihi | 0.0040 | |
| 6 | 1 | 7.5 | 16.7 | 1.5 | 0.7 | 0.0600 | 17.05 | 4 | 2.807 | 2.273 | 4.133 | 66.256 | 5.263 | 4.263 | 7.041 | 14.081 | 50.931 | 36.85 | 98.000 | 2.659 | tidak melebihi | 0.0034 | |
| 7 | 1 | 8.5 | 16.7 | 1.5 | 0.7 | 0.0600 | 17.05 | 4 | 2.476 | 2.006 | 4.509 | 63.502 | 5.263 | 4.263 | 6.978 | 13.957 | 57.507 | 43.55 | 103.162 | 2.369 | tidak melebihi | 0.0029 | |
| 8 | 1 | 9.5 | 16.7 | 1.5 | 0.7 | 0.0600 | 17.05 | 4 | 2.216 | 1.795 | 4.836 | 60.874 | 5.263 | 4.263 | 6.906 | 13.812 | 64.062 | 50.25 | 110.000 | 2.189 | tidak melebihi | 0.0025 | |
| 9 | 1 | 10.5 | 16.7 | 1.5 | 0.7 | 0.0600 | 17.05 | 4 | 2.005 | 1.624 | 5.116 | 58.374 | 5.263 | 4.263 | 6.824 | 13.647 | 70.597 | 56.95 | 104.279 | 1.831 | tidak melebihi | 0.0022 | |
| 10 | 1 | 11.5 | 16.7 | 1.5 | 0.7 | 0.0600 | 17.05 | 4 | 1.830 | 1.483 | 5.351 | 56.001 | 5.263 | 4.263 | 6.733 | 13.465 | 77.115 | 63.65 | 98.000 | 1.540 | tidak melebihi | 0.0020 | |
| 11 | 1 | 12.5 | 16.7 | 1.5 | 0.7 | 0.0600 | 17.05 | 4 | 1.684 | 1.364 | 5.544 | 53.753 | 5.263 | 4.263 | 6.634 | 13.268 | 83.618 | 70.35 | 104.875 | 1.491 | tidak melebihi | 0.0018 | |
| 12 | 1 | 13.5 | 16.7 | 1.5 | 0.7 | 0.0600 | 17.05 | 4 | 1.559 | 1.263 | 5.699 | 51.628 | 5.263 | 4.263 | 6.529 | 13.059 | 90.109 | 77.05 | 101.000 | 1.311 | tidak melebihi | 0.0016 | |
| 13 | 1 | 14.5 | 16.7 | 1.5 | 0.7 | 0.0600 | 17.05 | 4 | 1.452 | 1.176 | 5.819 | 49.621 | 5.263 | 4.263 | 6.419 | 12.839 | 96.589 | 83.75 | 105.210 | 1.256 | tidak melebihi | 0.0015 | |
| 14 | 1 | 15.5 | 16.7 | 1.5 | 0.7 | 0.0600 | 17.05 | 4 | 1.358 | 1.100 | 5.908 | 47.726 | 5.263 | 4.263 | 6.305 | 12.611 | 103.061 | 90.45 | 105.319 | 1.164 | tidak melebihi | 0.0014 | |
| 15 | 1 | 16.5 | 16.7 | 1.5 | 0.7 | 0.0600 | 17.05 | 4 | 1.276 | 1.033 | 5.970 | 45.939 | 5.263 | 4.263 | 6.188 | 12.377 | 109.527 | 97.15 | 105.400 | 1.085 | melebihi | 0.0001 | |
| 16 | 1 | 17.5 | 16.7 | 1.5 | 0.7 | 0.0600 | 17.05 | 4 | 1.203 | 0.974 | 6.008 | 44.254 | 5.263 | 4.263 | 6.070 | 12.139 | 115.989 | 103.85 | 113.000 | 1.088 | melebihi | 0.0134 | |
| 17 | 1 | 18.5 | 16.7 | 1.5 | 0.7 | 0.0600 | 17.05 | 4 | 1.138 | 0.922 | 6.025 | 42.664 | 5.263 | 4.263 | 5.950 | 11.899 | 122.449 | 110.55 | 110.550 | 1.000 | melebihi | 0.0124 | |
| 18 | 1 | 19.5 | 16.7 | 1.5 | 0.7 | 0.0600 | 17.05 | 4 | 1.079 | 0.874 | 6.024 | 41.165 | 5.263 | 4.263 | 5.829 | 11.659 | 128.909 | 117.25 | 117.250 | 1.000 | melebihi | 0.0115 | |
| 19 | 1 | 20.5 | 16.7 | 1.5 | 0.7 | 0.0600 | 17.05 | 4 | 1.027 | 0.832 | 6.008 | 39.751 | 5.263 | 4.263 | 5.709 | 11.419 | 135.369 | 123.95 | 123.950 | 1.000 | melebihi | 0.0107 | |
| 20 | 1 | 21.5 | 16.7 | 1.5 | 0.7 | 0.0600 | 17.05 | 4 | 0.979 | 0.793 | 5.979 | 38.415 | 5.263 | 4.263 | 5.590 | 11.181 | 141.831 | 130.65 | 130.650 | 1.000 | melebihi | 0.0100 | |
| 21 | 1 | 22.5 | 16.7 | 1.5 | 0.7 | 0.0600 | 17.05 | 4 | 0.936 | 0.758 | 5.939 | 37.154 | 5.263 | 4.263 | 5.473 | 10.945 | 148.295 | 137.35 | 137.350 | 1.000 | melebihi | 0.0093 | |
| 22 | 1 | 23.5 | 16.7 | 1.5 | 0.7 | 0.0600 | 17.05 | 4 | 0.896 | 0.726 | 5.890 | 35.962 | 5.263 | 4.263 | 5.357 | 10.713 | 154.763 | 144.05 | 144.050 | 1.000 | melebihi | 0.0087 | |
| 23 | 1 | 24.5 | 16.7 | 1.5 | 0.7 | 0.0600 | 17.05 | 4 | 0.859 | 0.696 | 5.834 | 34.835 | 5.263 | 4.263 | 5.243 | 10.486 | 161.236 | 150.75 | 150.750 | 1.000 | melebihi | 0.0082 | |
| 24 | 1 | 25.5 | 16.7 | 1.5 | 0.7 | 0.0600 | 17.05 | 4 | 0.825 | 0.669 | 5.772 | 33.768 | 5.263 | 4.263 | 5.131 | 10.263 | 167.713 | 157.45 | 157.450 | 1.000 | melebihi | 0.0077 | |
| 25 | 1 | 26.5 | 16.7 | 1.5 | 0.7 | 0.0600 | 17.05 | 4 | 0.794 | 0.643 | 5.704 | 32.757 | 5.263 | 4.263 | 5.022 | 10.044 | 174.194 | 164.15 | 164.150 | 1.000 | melebihi | 0.0072 | |
| 26 | 1 | 27.5 | 16.7 | 1.5 | 0.7 | 0.0600 | 17.05 | 4 | 0.765 | 0.620 | 5.634 | 31.799 | 5.263 | 4.263 | 4.916 | 9.831 | 180.681 | 170.85 | 170.850 | 1.000 | melebihi | 0.0068 | |
| 27 | 1 | 28.5 | 16.7 | 1.5 | 0.7 | 0.0600 | 17.05 | 4 | 0.739 | 0.598 | 5.560 | 30.890 | 5.263 | 4.263 | 4.812 | 9.624 | 187.174 | 177.55 | 177.550 | 1.000 | melebihi | 0.0064 | |
| | | | | | | | | | | | | | | | | | | | | | Sci | 0.1739 | |

Lampiran 16 Hasil Consolidation Settlement Total (Lalu Lintas) dengan Timbunan 2 meter

| No. | Tebal Lap (m) | Z (m) | ysat kN/m ² | e ₀ | C _c | C _s | B1 | B2 | B1 + B2 Z | B1 Z | α1 | α2 | (B1 + B2)/B2 | B1/B2 | Δp | 2Δp | 2Δp + Po | Po kN/m ² | Pc kN/m ² | Pc/Po kN/m ² | Keterangan | Sc (m) | Lapisan Tanah | |
|-----|---------------|-------|------------------------|----------------|----------------|----------------|-------|----|--------------|---------|-------|--------|--------------|-------|-------|--------|----------|-------------------------|-------------------------|----------------------------|----------------|-----------|------------------|-----------------------|
| 1 | 1 | 3.5 | 16.7 | 1.5 | 0.7 | 0.0600 | 17.05 | 6 | 6.586 | 4.871 | 2.966 | 78.400 | 3.842 | 2.842 | 7.184 | 14.367 | 17.717 | 3.35 | 58.271 | 17.394 | tidak melebihi | 0.0174 | Overconsolidated | |
| 2 | 1 | 4.5 | 16.7 | 1.5 | 0.7 | 0.0600 | 17.05 | 6 | 5.122 | 3.789 | 3.738 | 75.215 | 3.842 | 2.842 | 7.166 | 14.332 | 24.382 | 10.05 | 85.930 | 8.550 | tidak melebihi | 0.0092 | | |
| 3 | 1 | 5.5 | 16.7 | 1.5 | 0.7 | 0.0600 | 17.05 | 6 | 4.191 | 3.100 | 4.458 | 72.121 | 3.842 | 2.842 | 7.140 | 14.280 | 31.030 | 16.75 | 94.530 | 5.644 | tidak melebihi | 0.0064 | | |
| 4 | 1 | 6.5 | 16.7 | 1.5 | 0.7 | 0.0600 | 17.05 | 6 | 3.546 | 2.623 | 5.120 | 69.132 | 3.842 | 2.842 | 7.104 | 14.208 | 37.658 | 23.45 | 100.500 | 4.286 | tidak melebihi | 0.0049 | | |
| 5 | 1 | 7.5 | 16.7 | 1.5 | 0.7 | 0.0600 | 17.05 | 6 | 3.073 | 2.273 | 5.720 | 66.256 | 3.842 | 2.842 | 7.058 | 14.117 | 44.267 | 30.15 | 100.818 | 3.344 | tidak melebihi | 0.0040 | | |
| 6 | 1 | 8.5 | 16.7 | 1.5 | 0.7 | 0.0600 | 17.05 | 6 | 2.712 | 2.006 | 6.256 | 63.502 | 3.842 | 2.842 | 7.003 | 14.006 | 50.856 | 36.85 | 98.000 | 2.659 | tidak melebihi | 0.0034 | | |
| 7 | 1 | 9.5 | 16.7 | 1.5 | 0.7 | 0.0600 | 17.05 | 6 | 2.426 | 1.795 | 6.727 | 60.874 | 3.842 | 2.842 | 6.937 | 13.875 | 57.425 | 43.55 | 103.162 | 2.369 | tidak melebihi | 0.0029 | | |
| 8 | 1 | 10.5 | 16.7 | 1.5 | 0.7 | 0.0600 | 17.05 | 6 | 2.195 | 1.624 | 7.135 | 58.374 | 3.842 | 2.842 | 6.863 | 13.726 | 63.976 | 50.25 | 110.000 | 2.189 | tidak melebihi | 0.0025 | | |
| 9 | 1 | 11.5 | 16.7 | 1.5 | 0.7 | 0.0600 | 17.05 | 6 | 2.004 | 1.483 | 7.484 | 56.001 | 3.842 | 2.842 | 6.780 | 13.560 | 70.510 | 56.95 | 104.279 | 1.831 | tidak melebihi | 0.0022 | | |
| 10 | 1 | 12.5 | 16.7 | 1.5 | 0.7 | 0.0600 | 17.05 | 6 | 1.844 | 1.364 | 7.776 | 53.753 | 3.842 | 2.842 | 6.690 | 13.380 | 77.030 | 63.65 | 98.000 | 1.540 | tidak melebihi | 0.0020 | | |
| 11 | 1 | 13.5 | 16.7 | 1.5 | 0.7 | 0.0600 | 17.05 | 6 | 1.707 | 1.263 | 8.015 | 51.628 | 3.842 | 2.842 | 6.594 | 13.187 | 83.537 | 70.35 | 104.875 | 1.491 | tidak melebihi | 0.0018 | | |
| 12 | 1 | 14.5 | 16.7 | 1.5 | 0.7 | 0.0600 | 17.05 | 6 | 1.590 | 1.176 | 8.207 | 49.621 | 3.842 | 2.842 | 6.492 | 12.984 | 90.034 | 77.05 | 101.000 | 1.311 | tidak melebihi | 0.0016 | | |
| 13 | 1 | 15.5 | 16.7 | 1.5 | 0.7 | 0.0600 | 17.05 | 6 | 1.487 | 1.100 | 8.355 | 47.726 | 3.842 | 2.842 | 6.386 | 12.772 | 96.522 | 83.75 | 105.210 | 1.256 | tidak melebihi | 0.0015 | | |
| 14 | 1 | 16.5 | 16.7 | 1.5 | 0.7 | 0.0600 | 17.05 | 6 | 1.397 | 1.033 | 8.464 | 45.939 | 3.842 | 2.842 | 6.277 | 12.553 | 103.003 | 90.45 | 105.319 | 1.164 | tidak melebihi | 0.0014 | | |
| 15 | 1 | 17.5 | 16.7 | 1.5 | 0.7 | 0.0600 | 17.05 | 6 | 1.317 | 0.974 | 8.540 | 44.254 | 3.842 | 2.842 | 6.165 | 12.330 | 109.480 | 97.15 | 105.400 | 1.085 | melebihi | 0.0001 | | |
| 16 | 1 | 18.5 | 16.7 | 1.5 | 0.7 | 0.0600 | 17.05 | 6 | 1.246 | 0.922 | 8.585 | 42.664 | 3.842 | 2.842 | 6.052 | 12.103 | 115.953 | 103.85 | 113.000 | 1.088 | melebihi | 0.0134 | | |
| 17 | 1 | 19.5 | 16.7 | 1.5 | 0.7 | 0.0600 | 17.05 | 6 | 1.182 | 0.874 | 8.604 | 41.165 | 3.842 | 2.842 | 5.938 | 11.875 | 122.425 | 110.55 | 110.550 | 1.000 | melebihi | 0.0124 | | |
| 18 | 1 | 20.5 | 16.7 | 1.5 | 0.7 | 0.0600 | 17.05 | 6 | 1.124 | 0.832 | 8.600 | 39.751 | 3.842 | 2.842 | 5.823 | 11.647 | 128.897 | 117.25 | 117.250 | 1.000 | melebihi | 0.0115 | | |
| 19 | 1 | 21.5 | 16.7 | 1.5 | 0.7 | 0.0600 | 17.05 | 6 | 1.072 | 0.793 | 8.577 | 38.415 | 3.842 | 2.842 | 5.709 | 11.419 | 135.369 | 123.95 | 123.950 | 1.000 | melebihi | 0.0107 | | |
| 20 | 1 | 22.5 | 16.7 | 1.5 | 0.7 | 0.0600 | 17.05 | 6 | 1.024 | 0.758 | 8.538 | 37.154 | 3.842 | 2.842 | 5.596 | 11.193 | 141.843 | 130.65 | 130.650 | 1.000 | melebihi | 0.0100 | | |
| 21 | 1 | 23.5 | 16.7 | 1.5 | 0.7 | 0.0600 | 17.05 | 6 | 0.981 | 0.726 | 8.484 | 35.962 | 3.842 | 2.842 | 5.484 | 10.969 | 148.319 | 137.35 | 137.350 | 1.000 | melebihi | 0.0093 | | |
| 22 | 1 | 24.5 | 16.7 | 1.5 | 0.7 | 0.0600 | 17.05 | 6 | 0.941 | 0.696 | 8.419 | 34.835 | 3.842 | 2.842 | 5.374 | 10.748 | 154.798 | 144.05 | 144.050 | 1.000 | melebihi | 0.0088 | | |
| 23 | 1 | 25.5 | 16.7 | 1.5 | 0.7 | 0.0600 | 17.05 | 6 | 0.904 | 0.669 | 8.343 | 33.768 | 3.842 | 2.842 | 5.266 | 10.531 | 161.281 | 150.75 | 150.750 | 1.000 | melebihi | 0.0082 | | |
| 24 | 1 | 26.5 | 16.7 | 1.5 | 0.7 | 0.0600 | 17.05 | 6 | 0.870 | 0.643 | 8.260 | 32.757 | 3.842 | 2.842 | 5.159 | 10.318 | 167.768 | 157.45 | 157.450 | 1.000 | melebihi | 0.0077 | | |
| 25 | 1 | 27.5 | 16.7 | 1.5 | 0.7 | 0.0600 | 17.05 | 6 | 0.838 | 0.620 | 8.170 | 31.799 | 3.842 | 2.842 | 5.055 | 10.110 | 174.260 | 164.15 | 164.150 | 1.000 | melebihi | 0.0073 | | |
| 26 | 1 | 28.5 | 16.7 | 1.5 | 0.7 | 0.0600 | 17.05 | 6 | 0.809 | 0.598 | 8.075 | 30.989 | 3.842 | 2.842 | 4.953 | 9.906 | 180.756 | 170.85 | 170.850 | 1.000 | melebihi | 0.0069 | | |
| 27 | 1 | 29.5 | 16.7 | 1.5 | 0.7 | 0.0600 | 17.05 | 6 | 0.781 | 0.578 | 7.976 | 30.026 | 3.842 | 2.842 | 4.853 | 9.707 | 187.257 | 177.55 | 177.550 | 1.000 | melebihi | 0.0065 | | |
| | | | | | | | | | | | | | | | | | | | | | | Sci | 0.1739 | Normally Consolidated |

Lampiran 17 Hasil Consolidation Settlement Total (Lalu Lintas) dengan Timbunan 3 meter

| No. | Tebal Lap (m) | Z (m) | ysat kN/m ² | e ₀ | C _c | C _s | B1 | B2 | B1+B2 Z | B1 Z | α1 | α2 | (B1+B2)/B2 | B1/B2 | Δp | 2Δp | 2Δp + Po | Po kN/m ² | Pc kN/m ² | Pc/Po | Keterangan | Sc (m) | Lapisan Tanah | |
|-----|---------------|-------|------------------------|----------------|----------------|----------------|-------|----|------------|---------|--------|--------|------------|-------|-------|--------|----------|----------------------|----------------------|--------|----------------|--------|------------------|--|
| 1 | 1 | 4.5 | 16.7 | 1.5 | 0.7 | 0.0600 | 17.05 | 8 | 5.567 | 3.789 | 4.601 | 75.215 | 3.131 | 2.131 | 7.170 | 14.339 | 17.689 | 3.35 | 58.271 | 17.394 | tidak melebihi | 0.0174 | Overconsolidated | |
| 2 | 1 | 5.5 | 16.7 | 1.5 | 0.7 | 0.0600 | 17.05 | 8 | 4.555 | 3.100 | 5.495 | 72.121 | 3.131 | 2.131 | 7.146 | 14.293 | 24.343 | 10.05 | 85.930 | 8.550 | tidak melebihi | 0.0092 | | |
| 3 | 1 | 6.5 | 16.7 | 1.5 | 0.7 | 0.0600 | 17.05 | 8 | 3.854 | 2.623 | 6.322 | 69.132 | 3.131 | 2.131 | 7.114 | 14.228 | 30.978 | 16.75 | 94.530 | 5.644 | tidak melebihi | 0.0064 | | |
| 4 | 1 | 7.5 | 16.7 | 1.5 | 0.7 | 0.0600 | 17.05 | 8 | 3.340 | 2.273 | 7.076 | 66.256 | 3.131 | 2.131 | 7.073 | 14.146 | 37.596 | 23.45 | 100.500 | 4.286 | tidak melebihi | 0.0049 | | |
| 5 | 1 | 8.5 | 16.7 | 1.5 | 0.7 | 0.0600 | 17.05 | 8 | 2.947 | 2.006 | 7.755 | 63.502 | 3.131 | 2.131 | 7.023 | 14.045 | 44.195 | 30.15 | 100.818 | 3.344 | tidak melebihi | 0.0040 | | |
| 6 | 1 | 9.5 | 16.7 | 1.5 | 0.7 | 0.0600 | 17.05 | 8 | 2.637 | 1.795 | 8.357 | 60.874 | 3.131 | 2.131 | 6.963 | 13.927 | 50.777 | 36.85 | 98.000 | 2.659 | tidak melebihi | 0.0033 | | |
| 7 | 1 | 10.5 | 16.7 | 1.5 | 0.7 | 0.0600 | 17.05 | 8 | 2.386 | 1.624 | 8.885 | 58.374 | 3.131 | 2.131 | 6.896 | 13.791 | 57.341 | 43.55 | 103.162 | 2.369 | tidak melebihi | 0.0029 | | |
| 8 | 1 | 11.5 | 16.7 | 1.5 | 0.7 | 0.0600 | 17.05 | 8 | 2.178 | 1.483 | 9.340 | 56.001 | 3.131 | 2.131 | 6.820 | 13.640 | 63.890 | 50.25 | 110.000 | 2.189 | tidak melebihi | 0.0025 | | |
| 9 | 1 | 12.5 | 16.7 | 1.5 | 0.7 | 0.0600 | 17.05 | 8 | 2.004 | 1.364 | 9.727 | 53.753 | 3.131 | 2.131 | 6.737 | 13.474 | 70.424 | 56.95 | 104.279 | 1.831 | tidak melebihi | 0.0022 | | |
| 10 | 1 | 13.5 | 16.7 | 1.5 | 0.7 | 0.0600 | 17.05 | 8 | 1.856 | 1.263 | 10.051 | 51.628 | 3.131 | 2.131 | 6.648 | 13.296 | 76.946 | 63.65 | 98.000 | 1.540 | tidak melebihi | 0.0020 | | |
| 11 | 1 | 14.5 | 16.7 | 1.5 | 0.7 | 0.0600 | 17.05 | 8 | 1.728 | 1.176 | 10.315 | 49.621 | 3.131 | 2.131 | 6.554 | 13.107 | 83.457 | 70.35 | 104.875 | 1.491 | tidak melebihi | 0.0018 | | |
| 12 | 1 | 15.5 | 16.7 | 1.5 | 0.7 | 0.0600 | 17.05 | 8 | 1.616 | 1.100 | 10.526 | 47.726 | 3.131 | 2.131 | 6.455 | 12.910 | 89.960 | 77.05 | 101.000 | 1.311 | tidak melebihi | 0.0016 | | |
| 13 | 1 | 16.5 | 16.7 | 1.5 | 0.7 | 0.0600 | 17.05 | 8 | 1.518 | 1.033 | 10.689 | 45.939 | 3.131 | 2.131 | 6.353 | 12.705 | 96.455 | 83.75 | 105.210 | 1.256 | tidak melebihi | 0.0015 | | |
| 14 | 1 | 17.5 | 16.7 | 1.5 | 0.7 | 0.0600 | 17.05 | 8 | 1.431 | 0.974 | 10.808 | 44.254 | 3.131 | 2.131 | 6.248 | 12.495 | 102.945 | 90.45 | 105.319 | 1.164 | tidak melebihi | 0.0013 | | |
| 15 | 1 | 18.5 | 16.7 | 1.5 | 0.7 | 0.0600 | 17.05 | 8 | 1.354 | 0.922 | 10.889 | 42.664 | 3.131 | 2.131 | 6.141 | 12.282 | 109.432 | 97.15 | 105.400 | 1.085 | melebihi | 0.0011 | | |
| 16 | 1 | 19.5 | 16.7 | 1.5 | 0.7 | 0.0600 | 17.05 | 8 | 1.285 | 0.874 | 10.936 | 41.165 | 3.131 | 2.131 | 6.033 | 12.065 | 115.915 | 103.85 | 113.000 | 1.088 | melebihi | 0.0134 | | |
| 17 | 1 | 20.5 | 16.7 | 1.5 | 0.7 | 0.0600 | 17.05 | 8 | 1.222 | 0.832 | 10.954 | 39.751 | 3.131 | 2.131 | 5.924 | 11.848 | 122.398 | 110.55 | 110.550 | 1.000 | melebihi | 0.0124 | | |
| 18 | 1 | 21.5 | 16.7 | 1.5 | 0.7 | 0.0600 | 17.05 | 8 | 1.165 | 0.793 | 10.946 | 38.415 | 3.131 | 2.131 | 5.815 | 11.630 | 128.880 | 117.25 | 117.250 | 1.000 | melebihi | 0.0115 | | |
| 19 | 1 | 22.5 | 16.7 | 1.5 | 0.7 | 0.0600 | 17.05 | 8 | 1.113 | 0.758 | 10.916 | 37.154 | 3.131 | 2.131 | 5.707 | 11.413 | 135.363 | 123.95 | 123.950 | 1.000 | melebihi | 0.0107 | | |
| 20 | 1 | 23.5 | 16.7 | 1.5 | 0.7 | 0.0600 | 17.05 | 8 | 1.066 | 0.726 | 10.867 | 35.962 | 3.131 | 2.131 | 5.599 | 11.198 | 141.848 | 130.65 | 130.650 | 1.000 | melebihi | 0.0100 | | |
| 21 | 1 | 24.5 | 16.7 | 1.5 | 0.7 | 0.0600 | 17.05 | 8 | 1.022 | 0.696 | 10.801 | 34.835 | 3.131 | 2.131 | 5.492 | 10.985 | 148.335 | 137.35 | 137.350 | 1.000 | melebihi | 0.0094 | | |
| 22 | 1 | 25.5 | 16.7 | 1.5 | 0.7 | 0.0600 | 17.05 | 8 | 0.982 | 0.669 | 10.722 | 33.768 | 3.131 | 2.131 | 5.387 | 10.775 | 154.825 | 144.05 | 144.050 | 1.000 | melebihi | 0.0088 | | |
| 23 | 1 | 26.5 | 16.7 | 1.5 | 0.7 | 0.0600 | 17.05 | 8 | 0.945 | 0.643 | 10.632 | 32.757 | 3.131 | 2.131 | 5.284 | 10.568 | 161.318 | 150.75 | 150.750 | 1.000 | melebihi | 0.0082 | | |
| 24 | 1 | 27.5 | 16.7 | 1.5 | 0.7 | 0.0600 | 17.05 | 8 | 0.911 | 0.620 | 10.532 | 31.799 | 3.131 | 2.131 | 5.182 | 10.364 | 167.814 | 157.45 | 157.450 | 1.000 | melebihi | 0.0078 | | |
| 25 | 1 | 28.5 | 16.7 | 1.5 | 0.7 | 0.0600 | 17.05 | 8 | 0.879 | 0.598 | 10.424 | 30.890 | 3.131 | 2.131 | 5.082 | 10.165 | 174.315 | 164.15 | 164.150 | 1.000 | melebihi | 0.0073 | | |
| 26 | 1 | 29.5 | 16.7 | 1.5 | 0.7 | 0.0600 | 17.05 | 8 | 0.849 | 0.578 | 10.310 | 30.026 | 3.131 | 2.131 | 4.985 | 9.969 | 180.819 | 170.85 | 170.850 | 1.000 | melebihi | 0.0069 | | |
| 27 | 1 | 30.5 | 16.7 | 1.5 | 0.7 | 0.0600 | 17.05 | 8 | 0.821 | 0.559 | 10.191 | 29.206 | 3.131 | 2.131 | 4.889 | 9.779 | 187.329 | 177.55 | 177.550 | 1.000 | melebihi | 0.0065 | | |
| | | | | | | | | | | | | | | | | | | | | | | Sci | 0.1739 | |

Lampiran 18 Hasil Consolidation Settlement Total (Lalu Lintas) dengan Timbunan 4 meter

Penurunan Tanah Akibat Beban Perkerasan pada Tanah *Compressible* 27 m Zona 1

| No. | Tebal Lap (m) | Z (m) | ysat kN/m ³ | e ₀ | C _c | C _s | B1 | B2 | B1 + B2 | B1 | α1 | α2 | (B1 + B2)/B2 | B1/B2 | Δp | 2Δp | 2Δp + Po | Po kN/m ² | Pc kN/m ² | Pc/Po kN/m ² | Keterangan | Sc (m) | Lapisan Tanah | | | | | | | | | | | | | | | |
|-----|---------------|-------|---------------------------|----------------|----------------|----------------|-------|----|---------|--------|-------|--------|--------------|-------|-------|-------|----------|-------------------------|-------------------------|----------------------------|----------------|-----------|-----------------------|-----------------------|-----------------------|-----------------------|-----------------------|-----------------------|-----------------------|-----------------------|-----------------------|-----------------------|------------------|------------------|------------------|------------------|------------------|-----------------------|
| | | | | | | | | | Z | Z | | | | | | | | | | | | | | | | | | | | | | | | | | | | |
| 1 | 1 | 1.5 | 16.7 | 1.5 | 0.7 | 0.0600 | 17.05 | 2 | 12.700 | 11.367 | 0.526 | 84.972 | 9.525 | 8.525 | 4.199 | 8.398 | 11.748 | 3.35 | 58.271 | 17.394 | tidak melebihi | 0.0131 | Overconsolidated | | | | | | | | | | | | | | | |
| 2 | 1 | 2.5 | 16.7 | 1.5 | 0.7 | 0.0600 | 17.05 | 2 | 7.620 | 6.820 | 0.865 | 81.658 | 9.525 | 8.525 | 4.195 | 8.391 | 18.441 | 10.05 | 85.930 | 8.550 | tidak melebihi | 0.0063 | | Overconsolidated | | | | | | | | | | | | | | |
| 3 | 1 | 3.5 | 16.7 | 1.5 | 0.7 | 0.0600 | 17.05 | 2 | 5.443 | 4.871 | 1.190 | 78.400 | 9.525 | 8.525 | 4.187 | 8.375 | 25.125 | 16.75 | 94.530 | 5.644 | tidak melebihi | 0.0042 | | | Overconsolidated | | | | | | | | | | | | | |
| 4 | 1 | 4.5 | 16.7 | 1.5 | 0.7 | 0.0600 | 17.05 | 2 | 4.233 | 3.789 | 1.494 | 75.215 | 9.525 | 8.525 | 4.174 | 8.348 | 31.798 | 23.45 | 100.500 | 4.286 | tidak melebihi | 0.0032 | | | | Overconsolidated | | | | | | | | | | | | |
| 5 | 1 | 5.5 | 16.7 | 1.5 | 0.7 | 0.0600 | 17.05 | 2 | 3.464 | 3.100 | 1.775 | 72.121 | 9.525 | 8.525 | 4.154 | 8.309 | 38.459 | 30.15 | 100.818 | 3.344 | tidak melebihi | 0.0025 | | | | | Overconsolidated | | | | | | | | | | | |
| 6 | 1 | 6.5 | 16.7 | 1.5 | 0.7 | 0.0600 | 17.05 | 2 | 2.931 | 2.623 | 2.028 | 69.132 | 9.525 | 8.525 | 4.128 | 8.256 | 45.106 | 36.85 | 98.000 | 2.659 | tidak melebihi | 0.0021 | | | | | | Overconsolidated | | | | | | | | | | |
| 7 | 1 | 7.5 | 16.7 | 1.5 | 0.7 | 0.0600 | 17.05 | 2 | 2.540 | 2.273 | 2.254 | 66.256 | 9.525 | 8.525 | 4.094 | 8.188 | 51.738 | 43.55 | 103.162 | 2.369 | tidak melebihi | 0.0018 | | | | | | | Overconsolidated | | | | | | | | | |
| 8 | 1 | 8.5 | 16.7 | 1.5 | 0.7 | 0.0600 | 17.05 | 2 | 2.241 | 2.006 | 2.452 | 63.502 | 9.525 | 8.525 | 4.053 | 8.106 | 58.356 | 50.25 | 110.000 | 2.189 | tidak melebihi | 0.0016 | | | | | | | | Overconsolidated | | | | | | | | |
| 9 | 1 | 9.5 | 16.7 | 1.5 | 0.7 | 0.0600 | 17.05 | 2 | 2.005 | 1.795 | 2.621 | 60.874 | 9.525 | 8.525 | 4.006 | 8.012 | 64.962 | 56.95 | 104.279 | 1.831 | tidak melebihi | 0.0014 | | | | | | | | | Overconsolidated | | | | | | | |
| 10 | 1 | 10.5 | 16.7 | 1.5 | 0.7 | 0.0600 | 17.05 | 2 | 1.814 | 1.624 | 2.764 | 58.374 | 9.525 | 8.525 | 3.952 | 7.905 | 71.555 | 63.65 | 98.000 | 1.540 | tidak melebihi | 0.0012 | | | | | | | | | | Overconsolidated | | | | | | |
| 11 | 1 | 11.5 | 16.7 | 1.5 | 0.7 | 0.0600 | 17.05 | 2 | 1.657 | 1.483 | 2.881 | 56.001 | 9.525 | 8.525 | 3.894 | 7.788 | 78.138 | 70.35 | 104.875 | 1.491 | tidak melebihi | 0.0011 | | | | | | | | | | | Overconsolidated | | | | | |
| 12 | 1 | 12.5 | 16.7 | 1.5 | 0.7 | 0.0600 | 17.05 | 2 | 1.524 | 1.364 | 2.975 | 53.753 | 9.525 | 8.525 | 3.831 | 7.662 | 84.712 | 77.05 | 101.000 | 1.311 | tidak melebihi | 0.0010 | | | | | | | | | | | | Overconsolidated | | | | |
| 13 | 1 | 13.5 | 16.7 | 1.5 | 0.7 | 0.0600 | 17.05 | 2 | 1.411 | 1.263 | 3.048 | 51.628 | 9.525 | 8.525 | 3.764 | 7.528 | 91.278 | 83.75 | 105.210 | 1.256 | tidak melebihi | 0.0009 | | | | | | | | | | | | | Overconsolidated | | | |
| 14 | 1 | 14.5 | 16.7 | 1.5 | 0.7 | 0.0600 | 17.05 | 2 | 1.314 | 1.176 | 3.102 | 49.621 | 9.525 | 8.525 | 3.695 | 7.389 | 97.839 | 90.45 | 105.319 | 1.164 | tidak melebihi | 0.0008 | | | | | | | | | | | | | | Overconsolidated | | |
| 15 | 1 | 15.5 | 16.7 | 1.5 | 0.7 | 0.0600 | 17.05 | 2 | 1.229 | 1.100 | 3.140 | 47.726 | 9.525 | 8.525 | 3.623 | 7.246 | 104.396 | 97.15 | 105.400 | 1.085 | tidak melebihi | 0.0008 | | | | | | | | | | | | | | | Overconsolidated | |
| 16 | 1 | 16.5 | 16.7 | 1.5 | 0.7 | 0.0600 | 17.05 | 2 | 1.155 | 1.033 | 3.164 | 45.939 | 9.525 | 8.525 | 3.550 | 7.100 | 110.950 | 103.85 | 113.000 | 1.088 | tidak melebihi | 0.0080 | | | | | | | | | | | | | | | | Normally Consolidated |
| 17 | 1 | 17.5 | 16.7 | 1.5 | 0.7 | 0.0600 | 17.05 | 2 | 1.089 | 0.974 | 3.175 | 44.254 | 9.525 | 8.525 | 3.476 | 6.953 | 117.503 | 110.55 | 110.550 | 1.000 | melebihi | 0.0074 | | | | | | | | | | | | | | | | |
| 18 | 1 | 18.5 | 16.7 | 1.5 | 0.7 | 0.0600 | 17.05 | 2 | 1.030 | 0.922 | 3.175 | 42.664 | 9.525 | 8.525 | 3.402 | 6.804 | 124.054 | 117.25 | 117.250 | 1.000 | melebihi | 0.0069 | Normally Consolidated | | | | | | | | | | | | | | | |
| 19 | 1 | 19.5 | 16.7 | 1.5 | 0.7 | 0.0600 | 17.05 | 2 | 0.977 | 0.874 | 3.166 | 41.165 | 9.525 | 8.525 | 3.328 | 6.657 | 130.607 | 123.95 | 123.950 | 1.000 | melebihi | 0.0064 | | Normally Consolidated | | | | | | | | | | | | | | |
| 20 | 1 | 20.5 | 16.7 | 1.5 | 0.7 | 0.0600 | 17.05 | 2 | 0.929 | 0.832 | 3.150 | 39.751 | 9.525 | 8.525 | 3.255 | 6.510 | 137.160 | 130.65 | 130.650 | 1.000 | melebihi | 0.0059 | | | Normally Consolidated | | | | | | | | | | | | | |
| 21 | 1 | 21.5 | 16.7 | 1.5 | 0.7 | 0.0600 | 17.05 | 2 | 0.886 | 0.793 | 3.127 | 38.415 | 9.525 | 8.525 | 3.183 | 6.366 | 143.716 | 137.35 | 137.350 | 1.000 | melebihi | 0.0055 | | | | Normally Consolidated | | | | | | | | | | | | |
| 22 | 1 | 22.5 | 16.7 | 1.5 | 0.7 | 0.0600 | 17.05 | 2 | 0.847 | 0.758 | 3.099 | 37.154 | 9.525 | 8.525 | 3.112 | 6.223 | 150.273 | 144.05 | 144.050 | 1.000 | melebihi | 0.0051 | | | | | Normally Consolidated | | | | | | | | | | | |
| 23 | 1 | 23.5 | 16.7 | 1.5 | 0.7 | 0.0600 | 17.05 | 2 | 0.811 | 0.726 | 3.067 | 35.962 | 9.525 | 8.525 | 3.042 | 6.083 | 156.833 | 150.75 | 150.750 | 1.000 | melebihi | 0.0048 | | | | | | Normally Consolidated | | | | | | | | | | |
| 24 | 1 | 24.5 | 16.7 | 1.5 | 0.7 | 0.0600 | 17.05 | 2 | 0.778 | 0.696 | 3.032 | 34.835 | 9.525 | 8.525 | 2.973 | 5.947 | 163.397 | 157.45 | 157.450 | 1.000 | melebihi | 0.0045 | | | | | | | Normally Consolidated | | | | | | | | | |
| 25 | 1 | 25.5 | 16.7 | 1.5 | 0.7 | 0.0600 | 17.05 | 2 | 0.747 | 0.669 | 2.994 | 33.768 | 9.525 | 8.525 | 2.907 | 5.813 | 169.963 | 164.15 | 164.150 | 1.000 | melebihi | 0.0042 | | | | | | | | Normally Consolidated | | | | | | | | |
| 26 | 1 | 26.5 | 16.7 | 1.5 | 0.7 | 0.0600 | 17.05 | 2 | 0.719 | 0.643 | 2.954 | 32.757 | 9.525 | 8.525 | 2.842 | 5.683 | 176.533 | 170.85 | 170.850 | 1.000 | melebihi | 0.0040 | | | | | | | | | Normally Consolidated | | | | | | | |
| 27 | 1 | 27.5 | 16.7 | 1.5 | 0.7 | 0.0600 | 17.05 | 2 | 0.693 | 0.620 | 2.912 | 31.799 | 9.525 | 8.525 | 2.779 | 5.557 | 183.107 | 177.55 | 177.550 | 1.000 | melebihi | 0.0037 | | | | | | | | | | Normally Consolidated | | | | | | |
| | | | | | | | | | | | | | | | | | | | | | Sci | 0.1085 | | | | | | | | | | | | | | | | |

Lampiran 19 Hasil Consolidation Settlement Total (Perkerasan) dengan Timbunan 1 meter

| No. | Tebal Lap (m) | Z (m) | ysat kN/m ² | e ₀ | C _c | C _s | B1 | B2 | B1 + B2 Z | B1 Z | α1 | α2 | (B1 + B2)/B2 | B1/B2 | Δp | 2Δp | 2Δp + Po | Po kN/m ² | Pc kN/m ² | Pc/Po kN/m ² | Keterangan | Sc (m) | Lapisan Tanah |
|-----|---------------|-------|------------------------|----------------|----------------|----------------|-------|----|--------------|---------|-------|--------|--------------|-------|-------|-------|----------|-------------------------|-------------------------|----------------------------|----------------|--------|------------------|
| 1 | 1 | 2.5 | 16.7 | 1.5 | 0.7 | 0.0600 | 17.05 | 4 | 8.420 | 6.820 | 1.569 | 81.658 | 5.263 | 4.263 | 4.196 | 8.392 | 11.742 | 3.35 | 58.271 | 17.394 | tidak melebihi | 0.0131 | Overconsolidated |
| 2 | 1 | 3.5 | 16.7 | 1.5 | 0.7 | 0.0600 | 17.05 | 4 | 6.014 | 4.871 | 2.160 | 78.400 | 5.263 | 4.263 | 4.189 | 8.378 | 18.428 | 10.05 | 85.930 | 8.550 | tidak melebihi | 0.0063 | |
| 3 | 1 | 4.5 | 16.7 | 1.5 | 0.7 | 0.0600 | 17.05 | 4 | 4.678 | 3.789 | 2.718 | 75.215 | 5.263 | 4.263 | 4.178 | 8.355 | 25.105 | 16.75 | 94.530 | 5.644 | tidak melebihi | 0.0042 | |
| 4 | 1 | 5.5 | 16.7 | 1.5 | 0.7 | 0.0600 | 17.05 | 4 | 3.827 | 3.100 | 3.236 | 72.121 | 5.263 | 4.263 | 4.160 | 8.321 | 31.771 | 23.45 | 100.500 | 4.286 | tidak melebihi | 0.0032 | |
| 5 | 1 | 6.5 | 16.7 | 1.5 | 0.7 | 0.0600 | 17.05 | 4 | 3.238 | 2.623 | 3.708 | 69.132 | 5.263 | 4.263 | 4.137 | 8.274 | 38.424 | 30.15 | 100.818 | 3.344 | tidak melebihi | 0.0025 | |
| 6 | 1 | 7.5 | 16.7 | 1.5 | 0.7 | 0.0600 | 17.05 | 4 | 2.807 | 2.273 | 4.133 | 66.256 | 5.263 | 4.263 | 4.107 | 8.214 | 45.064 | 36.85 | 98.000 | 2.659 | tidak melebihi | 0.0021 | |
| 7 | 1 | 8.5 | 16.7 | 1.5 | 0.7 | 0.0600 | 17.05 | 4 | 2.476 | 2.006 | 4.509 | 63.502 | 5.263 | 4.263 | 4.071 | 8.142 | 51.692 | 43.55 | 103.162 | 2.369 | tidak melebihi | 0.0018 | |
| 8 | 1 | 9.5 | 16.7 | 1.5 | 0.7 | 0.0600 | 17.05 | 4 | 2.216 | 1.795 | 4.836 | 60.874 | 5.263 | 4.263 | 4.028 | 8.057 | 58.307 | 50.25 | 110.000 | 2.189 | tidak melebihi | 0.0016 | |
| 9 | 1 | 10.5 | 16.7 | 1.5 | 0.7 | 0.0600 | 17.05 | 4 | 2.005 | 1.624 | 5.116 | 58.374 | 5.263 | 4.263 | 3.980 | 7.961 | 64.911 | 56.95 | 104.279 | 1.831 | tidak melebihi | 0.0014 | |
| 10 | 1 | 11.5 | 16.7 | 1.5 | 0.7 | 0.0600 | 17.05 | 4 | 1.830 | 1.483 | 5.351 | 56.001 | 5.263 | 4.263 | 3.927 | 7.855 | 71.505 | 63.65 | 98.000 | 1.540 | tidak melebihi | 0.0012 | |
| 11 | 1 | 12.5 | 16.7 | 1.5 | 0.7 | 0.0600 | 17.05 | 4 | 1.684 | 1.364 | 5.544 | 53.753 | 5.263 | 4.263 | 3.870 | 7.740 | 78.090 | 70.35 | 104.875 | 1.491 | tidak melebihi | 0.0011 | |
| 12 | 1 | 13.5 | 16.7 | 1.5 | 0.7 | 0.0600 | 17.05 | 4 | 1.559 | 1.263 | 5.699 | 51.628 | 5.263 | 4.263 | 3.809 | 7.618 | 84.668 | 77.05 | 101.000 | 1.311 | tidak melebihi | 0.0010 | |
| 13 | 1 | 14.5 | 16.7 | 1.5 | 0.7 | 0.0600 | 17.05 | 4 | 1.452 | 1.176 | 5.819 | 49.621 | 5.263 | 4.263 | 3.745 | 7.489 | 91.239 | 83.75 | 105.210 | 1.256 | tidak melebihi | 0.0009 | |
| 14 | 1 | 15.5 | 16.7 | 1.5 | 0.7 | 0.0600 | 17.05 | 4 | 1.358 | 1.100 | 5.908 | 47.726 | 5.263 | 4.263 | 3.678 | 7.356 | 97.806 | 90.45 | 105.319 | 1.164 | tidak melebihi | 0.0008 | |
| 15 | 1 | 16.5 | 16.7 | 1.5 | 0.7 | 0.0600 | 17.05 | 4 | 1.276 | 1.033 | 5.970 | 45.939 | 5.263 | 4.263 | 3.610 | 7.220 | 104.370 | 97.15 | 105.400 | 1.085 | tidak melebihi | 0.0007 | |
| 16 | 1 | 17.5 | 16.7 | 1.5 | 0.7 | 0.0600 | 17.05 | 4 | 1.203 | 0.974 | 6.008 | 44.254 | 5.263 | 4.263 | 3.541 | 7.081 | 110.931 | 103.85 | 113.000 | 1.088 | tidak melebihi | 0.0080 | |
| 17 | 1 | 18.5 | 16.7 | 1.5 | 0.7 | 0.0600 | 17.05 | 4 | 1.138 | 0.922 | 6.025 | 42.664 | 5.263 | 4.263 | 3.471 | 6.941 | 117.491 | 110.55 | 110.550 | 1.000 | melebihi | 0.0074 | |
| 18 | 1 | 19.5 | 16.7 | 1.5 | 0.7 | 0.0600 | 17.05 | 4 | 1.079 | 0.874 | 6.024 | 41.165 | 5.263 | 4.263 | 3.400 | 6.801 | 124.051 | 117.25 | 117.250 | 1.000 | melebihi | 0.0069 | |
| 19 | 1 | 20.5 | 16.7 | 1.5 | 0.7 | 0.0600 | 17.05 | 4 | 1.027 | 0.832 | 6.008 | 39.751 | 5.263 | 4.263 | 3.330 | 6.661 | 130.611 | 123.95 | 123.950 | 1.000 | melebihi | 0.0064 | |
| 20 | 1 | 21.5 | 16.7 | 1.5 | 0.7 | 0.0600 | 17.05 | 4 | 0.979 | 0.793 | 5.979 | 38.415 | 5.263 | 4.263 | 3.261 | 6.522 | 137.172 | 130.65 | 130.650 | 1.000 | melebihi | 0.0059 | |
| 21 | 1 | 22.5 | 16.7 | 1.5 | 0.7 | 0.0600 | 17.05 | 4 | 0.936 | 0.758 | 5.939 | 37.154 | 5.263 | 4.263 | 3.192 | 6.385 | 143.735 | 137.35 | 137.350 | 1.000 | melebihi | 0.0055 | |
| 22 | 1 | 23.5 | 16.7 | 1.5 | 0.7 | 0.0600 | 17.05 | 4 | 0.896 | 0.726 | 5.890 | 35.962 | 5.263 | 4.263 | 3.125 | 6.250 | 150.300 | 144.05 | 144.050 | 1.000 | melebihi | 0.0052 | |
| 23 | 1 | 24.5 | 16.7 | 1.5 | 0.7 | 0.0600 | 17.05 | 4 | 0.859 | 0.696 | 5.834 | 34.835 | 5.263 | 4.263 | 3.058 | 6.117 | 156.867 | 150.75 | 150.750 | 1.000 | melebihi | 0.0048 | |
| 24 | 1 | 25.5 | 16.7 | 1.5 | 0.7 | 0.0600 | 17.05 | 4 | 0.825 | 0.669 | 5.772 | 33.768 | 5.263 | 4.263 | 2.993 | 5.986 | 163.436 | 157.45 | 157.450 | 1.000 | melebihi | 0.0045 | |
| 25 | 1 | 26.5 | 16.7 | 1.5 | 0.7 | 0.0600 | 17.05 | 4 | 0.794 | 0.643 | 5.704 | 32.757 | 5.263 | 4.263 | 2.930 | 5.859 | 170.009 | 164.15 | 164.150 | 1.000 | melebihi | 0.0043 | |
| 26 | 1 | 27.5 | 16.7 | 1.5 | 0.7 | 0.0600 | 17.05 | 4 | 0.765 | 0.620 | 5.634 | 31.799 | 5.263 | 4.263 | 2.867 | 5.735 | 176.585 | 170.85 | 170.850 | 1.000 | melebihi | 0.0040 | |
| 27 | 1 | 28.5 | 16.7 | 1.5 | 0.7 | 0.0600 | 17.05 | 4 | 0.739 | 0.598 | 5.560 | 30.890 | 5.263 | 4.263 | 2.807 | 5.614 | 183.164 | 177.55 | 177.550 | 1.000 | melebihi | 0.0038 | |
| | | | | | | | | | | | | | | | | | | | | | Sci | 0.1086 | |

Lampiran 20 Hasil Consolidation Settlement Total (Perkerasan) dengan Timbunan 2 meter

| No. | Tebal Lap (m) | Z (m) | ysat kN/m ² | e ₀ | C _c | C _s | B1 | B2 | B1+B2 Z | B1 Z | α1 | α2 | (B1 + B2)/B2 | B1/B2 | Δp | 2Δp | 2Δp + Po | Po kN/m ² | Pc kN/m ² | Pc/Po kN/m ² | Keterangan | Sc (m) | Lapisan Tanah |
|-----|---------------|-------|------------------------|----------------|----------------|----------------|-------|----|------------|---------|-------|--------|--------------|-------|-------|-------|----------|----------------------|----------------------|-------------------------|----------------|--------|------------------|
| 1 | 1 | 3.5 | 16.7 | 1.5 | 0.7 | 0.0600 | 17.05 | 6 | 6.586 | 4.871 | 2.966 | 78.400 | 3.842 | 2.842 | 4.190 | 8.381 | 11.731 | 3.35 | 58.271 | 17.394 | tidak melebihi | 0.0131 | Overconsolidated |
| 2 | 1 | 4.5 | 16.7 | 1.5 | 0.7 | 0.0600 | 17.05 | 6 | 5.122 | 3.789 | 3.738 | 75.215 | 3.842 | 2.842 | 4.180 | 8.360 | 18.410 | 10.05 | 85.930 | 8.550 | tidak melebihi | 0.0063 | |
| 3 | 1 | 5.5 | 16.7 | 1.5 | 0.7 | 0.0600 | 17.05 | 6 | 4.191 | 3.100 | 4.458 | 72.121 | 3.842 | 2.842 | 4.165 | 8.330 | 25.080 | 16.75 | 94.530 | 5.644 | tidak melebihi | 0.0042 | |
| 4 | 1 | 6.5 | 16.7 | 1.5 | 0.7 | 0.0600 | 17.05 | 6 | 3.546 | 2.623 | 5.120 | 69.132 | 3.842 | 2.842 | 4.144 | 8.288 | 31.738 | 23.45 | 100.500 | 4.286 | tidak melebihi | 0.0032 | |
| 5 | 1 | 7.5 | 16.7 | 1.5 | 0.7 | 0.0600 | 17.05 | 6 | 3.073 | 2.273 | 5.720 | 66.256 | 3.842 | 2.842 | 4.117 | 8.235 | 38.385 | 30.15 | 100.818 | 3.344 | tidak melebihi | 0.0025 | |
| 6 | 1 | 8.5 | 16.7 | 1.5 | 0.7 | 0.0600 | 17.05 | 6 | 2.712 | 2.006 | 6.256 | 63.502 | 3.842 | 2.842 | 4.085 | 8.170 | 45.020 | 36.85 | 98.000 | 2.659 | tidak melebihi | 0.0021 | |
| 7 | 1 | 9.5 | 16.7 | 1.5 | 0.7 | 0.0600 | 17.05 | 6 | 2.426 | 1.795 | 6.727 | 60.874 | 3.842 | 2.842 | 4.047 | 8.094 | 51.644 | 43.55 | 103.162 | 2.369 | tidak melebihi | 0.0018 | |
| 8 | 1 | 10.5 | 16.7 | 1.5 | 0.7 | 0.0600 | 17.05 | 6 | 2.195 | 1.624 | 7.135 | 58.374 | 3.842 | 2.842 | 4.003 | 8.007 | 58.257 | 50.25 | 110.000 | 2.189 | tidak melebihi | 0.0015 | |
| 9 | 1 | 11.5 | 16.7 | 1.5 | 0.7 | 0.0600 | 17.05 | 6 | 2.004 | 1.483 | 7.484 | 56.001 | 3.842 | 2.842 | 3.955 | 7.910 | 64.860 | 56.95 | 104.279 | 1.831 | tidak melebihi | 0.0014 | |
| 10 | 1 | 12.5 | 16.7 | 1.5 | 0.7 | 0.0600 | 17.05 | 6 | 1.844 | 1.364 | 7.776 | 53.753 | 3.842 | 2.842 | 3.902 | 7.805 | 71.455 | 63.65 | 98.000 | 1.540 | tidak melebihi | 0.0012 | |
| 11 | 1 | 13.5 | 16.7 | 1.5 | 0.7 | 0.0600 | 17.05 | 6 | 1.707 | 1.263 | 8.015 | 51.628 | 3.842 | 2.842 | 3.846 | 7.692 | 78.042 | 70.35 | 104.875 | 1.491 | tidak melebihi | 0.0011 | |
| 12 | 1 | 14.5 | 16.7 | 1.5 | 0.7 | 0.0600 | 17.05 | 6 | 1.590 | 1.176 | 8.207 | 49.621 | 3.842 | 2.842 | 3.787 | 7.574 | 84.624 | 77.05 | 101.000 | 1.311 | tidak melebihi | 0.0010 | |
| 13 | 1 | 15.5 | 16.7 | 1.5 | 0.7 | 0.0600 | 17.05 | 6 | 1.487 | 1.100 | 8.355 | 47.726 | 3.842 | 2.842 | 3.725 | 7.450 | 91.200 | 83.75 | 105.210 | 1.256 | tidak melebihi | 0.0009 | |
| 14 | 1 | 16.5 | 16.7 | 1.5 | 0.7 | 0.0600 | 17.05 | 6 | 1.397 | 1.033 | 8.464 | 45.939 | 3.842 | 2.842 | 3.661 | 7.323 | 97.773 | 90.45 | 105.319 | 1.164 | tidak melebihi | 0.0008 | |
| 15 | 1 | 17.5 | 16.7 | 1.5 | 0.7 | 0.0600 | 17.05 | 6 | 1.317 | 0.974 | 8.540 | 44.254 | 3.842 | 2.842 | 3.596 | 7.192 | 104.342 | 97.15 | 105.400 | 1.085 | tidak melebihi | 0.0007 | |
| 16 | 1 | 18.5 | 16.7 | 1.5 | 0.7 | 0.0600 | 17.05 | 6 | 1.246 | 0.922 | 8.585 | 42.664 | 3.842 | 2.842 | 3.530 | 7.060 | 110.910 | 103.85 | 113.000 | 1.088 | tidak melebihi | 0.0080 | |
| 17 | 1 | 19.5 | 16.7 | 1.5 | 0.7 | 0.0600 | 17.05 | 6 | 1.182 | 0.874 | 8.604 | 41.165 | 3.842 | 2.842 | 3.464 | 6.927 | 117.477 | 110.55 | 110.550 | 1.000 | melebihi | 0.0074 | |
| 18 | 1 | 20.5 | 16.7 | 1.5 | 0.7 | 0.0600 | 17.05 | 6 | 1.124 | 0.832 | 8.600 | 39.751 | 3.842 | 2.842 | 3.397 | 6.794 | 124.044 | 117.25 | 117.250 | 1.000 | melebihi | 0.0068 | |
| 19 | 1 | 21.5 | 16.7 | 1.5 | 0.7 | 0.0600 | 17.05 | 6 | 1.072 | 0.793 | 8.577 | 38.415 | 3.842 | 2.842 | 3.330 | 6.661 | 130.611 | 123.95 | 123.950 | 1.000 | melebihi | 0.0064 | |
| 20 | 1 | 22.5 | 16.7 | 1.5 | 0.7 | 0.0600 | 17.05 | 6 | 1.024 | 0.758 | 8.538 | 37.154 | 3.842 | 2.842 | 3.264 | 6.529 | 137.179 | 130.65 | 130.650 | 1.000 | melebihi | 0.0059 | |
| 21 | 1 | 23.5 | 16.7 | 1.5 | 0.7 | 0.0600 | 17.05 | 6 | 0.981 | 0.726 | 8.484 | 35.962 | 3.842 | 2.842 | 3.199 | 6.398 | 143.748 | 137.35 | 137.350 | 1.000 | melebihi | 0.0055 | |
| 22 | 1 | 24.5 | 16.7 | 1.5 | 0.7 | 0.0600 | 17.05 | 6 | 0.941 | 0.696 | 8.419 | 34.835 | 3.842 | 2.842 | 3.135 | 6.270 | 150.320 | 144.05 | 144.050 | 1.000 | melebihi | 0.0052 | |
| 23 | 1 | 25.5 | 16.7 | 1.5 | 0.7 | 0.0600 | 17.05 | 6 | 0.904 | 0.669 | 8.343 | 33.768 | 3.842 | 2.842 | 3.072 | 6.143 | 156.893 | 150.75 | 150.750 | 1.000 | melebihi | 0.0049 | |
| 24 | 1 | 26.5 | 16.7 | 1.5 | 0.7 | 0.0600 | 17.05 | 6 | 0.870 | 0.643 | 8.260 | 32.757 | 3.842 | 2.842 | 3.010 | 6.019 | 163.469 | 157.45 | 157.450 | 1.000 | melebihi | 0.0046 | |
| 25 | 1 | 27.5 | 16.7 | 1.5 | 0.7 | 0.0600 | 17.05 | 6 | 0.838 | 0.620 | 8.170 | 31.799 | 3.842 | 2.842 | 2.949 | 5.897 | 170.047 | 164.15 | 164.150 | 1.000 | melebihi | 0.0043 | |
| 26 | 1 | 28.5 | 16.7 | 1.5 | 0.7 | 0.0600 | 17.05 | 6 | 0.809 | 0.598 | 8.075 | 30.890 | 3.842 | 2.842 | 2.889 | 5.778 | 176.628 | 170.85 | 170.850 | 1.000 | melebihi | 0.0040 | |
| 27 | 1 | 29.5 | 16.7 | 1.5 | 0.7 | 0.0600 | 17.05 | 6 | 0.781 | 0.578 | 7.976 | 30.026 | 3.842 | 2.842 | 2.831 | 5.662 | 183.212 | 177.55 | 177.550 | 1.000 | melebihi | 0.0038 | |
| | | | | | | | | | | | | | | | | | | | | | Sci | 0.1086 | |

Lampiran 21 Hasil Consolidation Settlement Total (Perkerasan) dengan Timbunan 3 meter

| No. | Tebal Lap (m) | Z (m) | ysat kN/m ³ | e ₀ | C _c | C _s | B1 | B2 | B1 + B2 Z | B1 Z | α1 | α2 | (B1 + B2)/B2 | B1/B2 | Δp | 2Δp | 2Δp + Po | Po kN/m ² | Pc kN/m ² | Pc/Po kN/m ² | Keterangan | Sc (m) | Lapisan Tanah | |
|-----|---------------|-------|------------------------|----------------|----------------|----------------|-------|----|--------------|---------|--------|--------|--------------|-------|-------|-------|----------|-------------------------|-------------------------|----------------------------|----------------|--------|------------------|--|
| 1 | 1 | 4.5 | 16.7 | 1.5 | 0.7 | 0.0600 | 17.05 | 8 | 5.567 | 3.789 | 4.601 | 75.215 | 3.131 | 2.131 | 4.182 | 8.365 | 11.715 | 3.35 | 58.271 | 17.394 | tidak melebihi | 0.0131 | Overconsolidated | |
| 2 | 1 | 5.5 | 16.7 | 1.5 | 0.7 | 0.0600 | 17.05 | 8 | 4.555 | 3.100 | 5.495 | 72.121 | 3.131 | 2.131 | 4.169 | 8.337 | 18.387 | 10.05 | 85.930 | 8.550 | tidak melebihi | 0.0063 | | |
| 3 | 1 | 6.5 | 16.7 | 1.5 | 0.7 | 0.0600 | 17.05 | 8 | 3.854 | 2.623 | 6.322 | 69.132 | 3.131 | 2.131 | 4.150 | 8.300 | 25.050 | 16.75 | 94.530 | 5.644 | tidak melebihi | 0.0042 | | |
| 4 | 1 | 7.5 | 16.7 | 1.5 | 0.7 | 0.0600 | 17.05 | 8 | 3.340 | 2.273 | 7.076 | 66.256 | 3.131 | 2.131 | 4.126 | 8.252 | 31.702 | 23.45 | 100.500 | 4.286 | tidak melebihi | 0.0031 | | |
| 5 | 1 | 8.5 | 16.7 | 1.5 | 0.7 | 0.0600 | 17.05 | 8 | 2.947 | 2.006 | 7.755 | 63.502 | 3.131 | 2.131 | 4.097 | 8.193 | 38.343 | 30.15 | 100.818 | 3.344 | tidak melebihi | 0.0025 | | |
| 6 | 1 | 9.5 | 16.7 | 1.5 | 0.7 | 0.0600 | 17.05 | 8 | 2.637 | 1.795 | 8.357 | 60.874 | 3.131 | 2.131 | 4.062 | 8.124 | 44.974 | 36.85 | 98.000 | 2.659 | tidak melebihi | 0.0021 | | |
| 7 | 1 | 10.5 | 16.7 | 1.5 | 0.7 | 0.0600 | 17.05 | 8 | 2.386 | 1.624 | 8.885 | 58.374 | 3.131 | 2.131 | 4.022 | 8.045 | 51.595 | 43.55 | 103.162 | 2.369 | tidak melebihi | 0.0018 | | |
| 8 | 1 | 11.5 | 16.7 | 1.5 | 0.7 | 0.0600 | 17.05 | 8 | 2.178 | 1.483 | 9.340 | 56.001 | 3.131 | 2.131 | 3.978 | 7.956 | 58.206 | 50.25 | 110.000 | 2.189 | tidak melebihi | 0.0015 | | |
| 9 | 1 | 12.5 | 16.7 | 1.5 | 0.7 | 0.0600 | 17.05 | 8 | 2.004 | 1.364 | 9.727 | 53.753 | 3.131 | 2.131 | 3.930 | 7.860 | 64.810 | 56.95 | 104.279 | 1.831 | tidak melebihi | 0.0013 | | |
| 10 | 1 | 13.5 | 16.7 | 1.5 | 0.7 | 0.0600 | 17.05 | 8 | 1.856 | 1.263 | 10.051 | 51.628 | 3.131 | 2.131 | 3.878 | 7.756 | 71.406 | 63.65 | 98.000 | 1.540 | tidak melebihi | 0.0012 | | |
| 11 | 1 | 14.5 | 16.7 | 1.5 | 0.7 | 0.0600 | 17.05 | 8 | 1.728 | 1.176 | 10.315 | 49.621 | 3.131 | 2.131 | 3.823 | 7.646 | 77.996 | 70.35 | 104.875 | 1.491 | tidak melebihi | 0.0011 | | |
| 12 | 1 | 15.5 | 16.7 | 1.5 | 0.7 | 0.0600 | 17.05 | 8 | 1.616 | 1.100 | 10.526 | 47.726 | 3.131 | 2.131 | 3.765 | 7.531 | 84.581 | 77.05 | 101.000 | 1.311 | tidak melebihi | 0.0010 | | |
| 13 | 1 | 16.5 | 16.7 | 1.5 | 0.7 | 0.0600 | 17.05 | 8 | 1.518 | 1.033 | 10.689 | 45.939 | 3.131 | 2.131 | 3.706 | 7.411 | 91.161 | 83.75 | 105.210 | 1.256 | tidak melebihi | 0.0009 | | |
| 14 | 1 | 17.5 | 16.7 | 1.5 | 0.7 | 0.0600 | 17.05 | 8 | 1.431 | 0.974 | 10.808 | 44.254 | 3.131 | 2.131 | 3.644 | 7.289 | 97.739 | 90.45 | 105.319 | 1.164 | tidak melebihi | 0.0008 | | |
| 15 | 1 | 18.5 | 16.7 | 1.5 | 0.7 | 0.0600 | 17.05 | 8 | 1.354 | 0.922 | 10.889 | 42.664 | 3.131 | 2.131 | 3.582 | 7.164 | 104.314 | 97.15 | 105.400 | 1.085 | tidak melebihi | 0.0007 | | |
| 16 | 1 | 19.5 | 16.7 | 1.5 | 0.7 | 0.0600 | 17.05 | 8 | 1.285 | 0.874 | 10.936 | 41.165 | 3.131 | 2.131 | 3.519 | 7.038 | 110.888 | 103.85 | 113.000 | 1.088 | tidak melebihi | 0.0080 | | |
| 17 | 1 | 20.5 | 16.7 | 1.5 | 0.7 | 0.0600 | 17.05 | 8 | 1.222 | 0.832 | 10.954 | 39.751 | 3.131 | 2.131 | 3.456 | 6.911 | 117.461 | 110.55 | 110.550 | 1.000 | melebihi | 0.0074 | | |
| 18 | 1 | 21.5 | 16.7 | 1.5 | 0.7 | 0.0600 | 17.05 | 8 | 1.165 | 0.793 | 10.946 | 38.415 | 3.131 | 2.131 | 3.392 | 6.784 | 124.034 | 117.25 | 117.250 | 1.000 | melebihi | 0.0068 | | |
| 19 | 1 | 22.5 | 16.7 | 1.5 | 0.7 | 0.0600 | 17.05 | 8 | 1.113 | 0.758 | 10.916 | 37.154 | 3.131 | 2.131 | 3.329 | 6.658 | 130.608 | 123.95 | 123.950 | 1.000 | melebihi | 0.0064 | | |
| 20 | 1 | 23.5 | 16.7 | 1.5 | 0.7 | 0.0600 | 17.05 | 8 | 1.066 | 0.726 | 10.867 | 35.962 | 3.131 | 2.131 | 3.266 | 6.532 | 137.182 | 130.65 | 130.650 | 1.000 | melebihi | 0.0059 | | |
| 21 | 1 | 24.5 | 16.7 | 1.5 | 0.7 | 0.0600 | 17.05 | 8 | 1.022 | 0.696 | 10.801 | 34.835 | 3.131 | 2.131 | 3.204 | 6.408 | 143.758 | 137.35 | 137.350 | 1.000 | melebihi | 0.0055 | | |
| 22 | 1 | 25.5 | 16.7 | 1.5 | 0.7 | 0.0600 | 17.05 | 8 | 0.982 | 0.669 | 10.722 | 33.768 | 3.131 | 2.131 | 3.143 | 6.285 | 150.335 | 144.05 | 144.050 | 1.000 | melebihi | 0.0052 | | |
| 23 | 1 | 26.5 | 16.7 | 1.5 | 0.7 | 0.0600 | 17.05 | 8 | 0.945 | 0.643 | 10.632 | 32.757 | 3.131 | 2.131 | 3.082 | 6.164 | 156.914 | 150.75 | 150.750 | 1.000 | melebihi | 0.0049 | | |
| 24 | 1 | 27.5 | 16.7 | 1.5 | 0.7 | 0.0600 | 17.05 | 8 | 0.911 | 0.620 | 10.532 | 31.799 | 3.131 | 2.131 | 3.023 | 6.046 | 163.496 | 157.45 | 157.450 | 1.000 | melebihi | 0.0046 | | |
| 25 | 1 | 28.5 | 16.7 | 1.5 | 0.7 | 0.0600 | 17.05 | 8 | 0.879 | 0.598 | 10.424 | 30.890 | 3.131 | 2.131 | 2.965 | 5.929 | 170.079 | 164.15 | 164.150 | 1.000 | melebihi | 0.0043 | | |
| 26 | 1 | 29.5 | 16.7 | 1.5 | 0.7 | 0.0600 | 17.05 | 8 | 0.849 | 0.578 | 10.310 | 30.026 | 3.131 | 2.131 | 2.908 | 5.816 | 176.666 | 170.85 | 170.850 | 1.000 | melebihi | 0.0041 | | |
| 27 | 1 | 30.5 | 16.7 | 1.5 | 0.7 | 0.0600 | 17.05 | 8 | 0.821 | 0.559 | 10.191 | 29.206 | 3.131 | 2.131 | 2.852 | 5.704 | 183.254 | 177.55 | 177.550 | 1.000 | melebihi | 0.0038 | | |
| | | | | | | | | | | | | | | | | | | | | | | Sci | 0.1085 | |

Lampiran 22 Hasil Consolidation Settlement Total (Perkerasan) dengan Timbunan 4 meter

Lapisan Tanah Compressible 10 m Zona 2

| No. | Tebal Lap (m) | Z (m) | ysat kN/m ³ | e ₀ | C _c | C _s | B1 | B2 | B1+B2 | B1 | α1 | α2 | (B1+B2)/B2 | B1/B2 | Δp | 2Δp | 2Δp+Po | Po kN/m ² | Pc kN/m ² | Pc/Po kN/m ² | Keterangan | Sc (m) |
|-----|---------------|-------|---------------------------|----------------|----------------|----------------|-------|----|--------|--------|-------|--------|------------|-------|-------|--------|--------|-------------------------|-------------------------|----------------------------|----------------|-----------|
| | | | | | | | | | Z | Z | | | | | | | | | | | | |
| 1 | 1 | 0.5 | 16.8 | 1.45 | 0.86 | 0.0528 | 17.05 | 2 | 38.100 | 34.100 | 0.176 | 88.320 | 9.525 | 8.525 | 9.000 | 18.000 | 21.400 | 3.4 | 61.54783 | 18.102 | tidak melebihi | 0.0172 |
| 2 | 1 | 1.5 | 16.8 | 1.45 | 0.86 | 0.0528 | 17.05 | 2 | 12.700 | 11.367 | 0.526 | 84.972 | 9.525 | 8.525 | 8.998 | 17.996 | 28.196 | 10.2 | 90.69541 | 8.892 | tidak melebihi | 0.0095 |
| 3 | 1 | 2.5 | 16.8 | 1.45 | 0.86 | 0.0528 | 17.05 | 2 | 7.620 | 6.820 | 0.865 | 81.658 | 9.525 | 8.525 | 8.990 | 17.980 | 34.980 | 17 | 99.73042 | 5.866 | tidak melebihi | 0.0068 |
| 4 | 1 | 3.5 | 16.8 | 1.45 | 0.86 | 0.0528 | 17.05 | 2 | 5.443 | 4.871 | 1.190 | 78.400 | 9.525 | 8.525 | 8.973 | 17.946 | 41.746 | 23.8 | 103.9473 | 4.368 | tidak melebihi | 0.0053 |
| 5 | 1 | 4.5 | 16.8 | 1.45 | 0.86 | 0.0528 | 17.05 | 2 | 4.233 | 3.789 | 1.494 | 75.215 | 9.525 | 8.525 | 8.945 | 17.889 | 48.489 | 30.6 | 106.3073 | 3.474 | tidak melebihi | 0.0043 |
| 6 | 1 | 5.5 | 16.8 | 1.45 | 0.86 | 0.0528 | 17.05 | 2 | 3.464 | 3.100 | 1.775 | 72.121 | 9.525 | 8.525 | 8.902 | 17.805 | 55.205 | 37.4 | 105 | 2.807 | tidak melebihi | 0.0036 |
| 7 | 1 | 6.5 | 16.8 | 1.45 | 0.86 | 0.0528 | 17.05 | 2 | 2.931 | 2.623 | 2.028 | 69.132 | 9.525 | 8.525 | 8.845 | 17.690 | 61.890 | 44.2 | 108.7399 | 2.460 | tidak melebihi | 0.0032 |
| 8 | 1 | 7.5 | 16.8 | 1.45 | 0.86 | 0.0528 | 17.05 | 2 | 2.540 | 2.273 | 2.254 | 66.256 | 9.525 | 8.525 | 8.773 | 17.546 | 68.546 | 51 | 110 | 2.157 | tidak melebihi | 0.0028 |
| 9 | 1 | 8.5 | 16.8 | 1.45 | 0.86 | 0.0528 | 17.05 | 2 | 2.241 | 2.006 | 2.452 | 63.502 | 9.525 | 8.525 | 8.685 | 17.371 | 75.171 | 57.8 | 109.8883 | 1.901 | tidak melebihi | 0.0025 |
| 10 | 1 | 9.5 | 16.8 | 1.45 | 0.86 | 0.0528 | 17.05 | 2 | 2.005 | 1.795 | 2.621 | 60.874 | 9.525 | 8.525 | 8.584 | 17.168 | 81.768 | 64.6 | 110.2365 | 1.706 | tidak melebihi | 0.0022 |
| | | | | | | | | | | | | | | | | | | | | | Sci | 0.0573 |

Lampiran 23 Hasil Consolidation Settlement Total dengan Timbunan 1 meter

| No. | Tebal Lap (m) | Z (m) | ysat kN/m ³ | e ₀ | C _c | C _s | B1 | B2 | B1+B2 | B1 | α1 | α2 | (B1+B2)/B2 | B1/B2 | Δp | 2Δp | 2Δp+Po | Po kN/m ² | Pc kN/m ² | Pc/Po kN/m ² | Keterangan | Sc (m) |
|-----|---------------|-------|---------------------------|----------------|----------------|----------------|-------|----|--------|--------|-------|--------|------------|-------|--------|--------|--------|-------------------------|-------------------------|----------------------------|----------------|-----------|
| | | | | | | | | | Z | Z | | | | | | | | | | | | |
| 1 | 1 | 0.5 | 16.8 | 1.45 | 0.86 | 0.0528 | 17.05 | 4 | 42.100 | 34.100 | 0.319 | 88.320 | 5.263 | 4.263 | 18.000 | 36.000 | 39.400 | 3.4 | 61.548 | 18.102 | tidak melebihi | 0.0229 |
| 2 | 1 | 1.5 | 16.8 | 1.45 | 0.86 | 0.0528 | 17.05 | 4 | 14.033 | 11.367 | 0.952 | 84.972 | 5.263 | 4.263 | 17.996 | 35.992 | 46.192 | 10.2 | 90.695 | 8.892 | tidak melebihi | 0.0141 |
| 3 | 1 | 2.5 | 16.8 | 1.45 | 0.86 | 0.0528 | 17.05 | 4 | 8.420 | 6.820 | 1.569 | 81.658 | 5.263 | 4.263 | 17.983 | 35.965 | 52.965 | 17 | 99.73 | 5.866 | tidak melebihi | 0.0106 |
| 4 | 1 | 3.5 | 16.8 | 1.45 | 0.86 | 0.0528 | 17.05 | 4 | 6.014 | 4.871 | 2.160 | 78.400 | 5.263 | 4.263 | 17.954 | 35.907 | 59.707 | 23.8 | 103.95 | 4.368 | tidak melebihi | 0.0086 |
| 5 | 1 | 4.5 | 16.8 | 1.45 | 0.86 | 0.0528 | 17.05 | 4 | 4.678 | 3.789 | 2.718 | 75.215 | 5.263 | 4.263 | 17.904 | 35.808 | 66.408 | 30.6 | 106.31 | 3.474 | tidak melebihi | 0.0073 |
| 6 | 1 | 5.5 | 16.8 | 1.45 | 0.86 | 0.0528 | 17.05 | 4 | 3.827 | 3.100 | 3.236 | 72.121 | 5.263 | 4.263 | 17.830 | 35.660 | 73.060 | 37.4 | 105 | 2.807 | tidak melebihi | 0.0063 |
| 7 | 1 | 6.5 | 16.8 | 1.45 | 0.86 | 0.0528 | 17.05 | 4 | 3.238 | 2.623 | 3.708 | 69.132 | 5.263 | 4.263 | 17.729 | 35.459 | 79.659 | 44.2 | 108.74 | 2.460 | tidak melebihi | 0.0055 |
| 8 | 1 | 7.5 | 16.8 | 1.45 | 0.86 | 0.0528 | 17.05 | 4 | 2.807 | 2.273 | 4.133 | 66.256 | 5.263 | 4.263 | 17.601 | 35.203 | 86.203 | 51 | 110 | 2.157 | tidak melebihi | 0.0049 |
| 9 | 1 | 8.5 | 16.8 | 1.45 | 0.86 | 0.0528 | 17.05 | 4 | 2.476 | 2.006 | 4.509 | 63.502 | 5.263 | 4.263 | 17.446 | 34.892 | 92.692 | 57.8 | 109.89 | 1.901 | tidak melebihi | 0.0044 |
| 10 | 1 | 9.5 | 16.8 | 1.45 | 0.86 | 0.0528 | 17.05 | 4 | 2.216 | 1.795 | 4.836 | 60.874 | 5.263 | 4.263 | 17.265 | 34.529 | 99.129 | 64.6 | 110.24 | 1.706 | tidak melebihi | 0.0040 |
| | | | | | | | | | | | | | | | | | | | | | Sci | 0.0888 |

Lampiran 24 Hasil Consolidation Settlement Total dengan Timbunan 2 meter

| No. | Tebal Lap (m) | Z (m) | ysat kN/m ³ | e ₀ | C _c | C _s | B1 | B2 | B1 + B2 | B1 | α1 | α2 | (B1 + B2)/B2 | B1/B2 | Δp | 2Δp | 2Δp + Po | Po kN/m ² | Pc kN/m ² | Pc/Po kN/m ² | Keterangan | Sc (m) | |
|-----|---------------|-------|---------------------------|----------------|----------------|----------------|-------|----|---------|--------|-------|--------|--------------|-------|--------|--------|----------|-------------------------|-------------------------|----------------------------|----------------|-----------|--------|
| | | | | | | | | | Z | Z | | | | | | | | | | | | | |
| 1 | 1 | 0.5 | 16.8 | 1.45 | 0.86 | 0.0528 | 17.05 | 6 | 46.100 | 34.100 | 0.437 | 88.320 | 3.842 | 2.842 | 27.000 | 54.000 | 57.400 | 3.4 | 61.54783 | 18.102 | tidak melebihi | 0.0265 | |
| 2 | 1 | 1.5 | 16.8 | 1.45 | 0.86 | 0.0528 | 17.05 | 6 | 15.367 | 11.367 | 1.304 | 84.972 | 3.842 | 2.842 | 26.995 | 53.990 | 64.190 | 10.2 | 90.69541 | 8.892 | tidak melebihi | 0.0172 | |
| 3 | 1 | 2.5 | 16.8 | 1.45 | 0.86 | 0.0528 | 17.05 | 6 | 9.220 | 6.820 | 2.152 | 81.658 | 3.842 | 2.842 | 26.977 | 53.954 | 70.954 | 17 | 99.73042 | 5.866 | tidak melebihi | 0.0134 | |
| 4 | 1 | 3.5 | 16.8 | 1.45 | 0.86 | 0.0528 | 17.05 | 6 | 6.586 | 4.871 | 2.966 | 78.400 | 3.842 | 2.842 | 26.939 | 53.877 | 77.677 | 23.8 | 103.9473 | 4.368 | tidak melebihi | 0.0111 | |
| 5 | 1 | 4.5 | 16.8 | 1.45 | 0.86 | 0.0528 | 17.05 | 6 | 5.122 | 3.789 | 3.738 | 75.215 | 3.842 | 2.842 | 26.873 | 53.745 | 84.345 | 30.6 | 106.3073 | 3.474 | tidak melebihi | 0.0095 | |
| 6 | 1 | 5.5 | 16.8 | 1.45 | 0.86 | 0.0528 | 17.05 | 6 | 4.191 | 3.100 | 4.458 | 72.121 | 3.842 | 2.842 | 26.774 | 53.549 | 90.949 | 37.4 | 105 | 2.807 | tidak melebihi | 0.0083 | |
| 7 | 1 | 6.5 | 16.8 | 1.45 | 0.86 | 0.0528 | 17.05 | 6 | 3.546 | 2.623 | 5.120 | 69.132 | 3.842 | 2.842 | 26.641 | 53.281 | 97.841 | 44.2 | 108.7399 | 2.460 | tidak melebihi | 0.0074 | |
| 8 | 1 | 7.5 | 16.8 | 1.45 | 0.86 | 0.0528 | 17.05 | 6 | 3.073 | 2.273 | 5.720 | 66.256 | 3.842 | 2.842 | 26.469 | 52.938 | 103.938 | 51 | 110 | 2.157 | tidak melebihi | 0.0067 | |
| 9 | 1 | 8.5 | 16.8 | 1.45 | 0.86 | 0.0528 | 17.05 | 6 | 2.712 | 2.006 | 6.256 | 63.502 | 3.842 | 2.842 | 26.260 | 52.521 | 110.321 | 57.8 | 109.8883 | 1.901 | melebihi | 0.0000 | |
| 10 | 1 | 9.5 | 16.8 | 1.45 | 0.86 | 0.0528 | 17.05 | 6 | 2.426 | 1.795 | 6.727 | 60.874 | 3.842 | 2.842 | 26.015 | 52.030 | 116.630 | 64.6 | 110.2365 | 1.706 | melebihi | 0.0002 | |
| | | | | | | | | | | | | | | | | | | | | | | Sci | 0.1002 |

Lampiran 25 Hasil Consolidation Settlement Total dengan Timbunan 3 meter

| No. | Tebal Lap (m) | Z (m) | ysat kN/m ³ | e ₀ | C _c | C _s | B1 | B2 | B1 + B2 | B1 | α1 | α2 | (B1 + B2)/B2 | B1/B2 | Δp | 2Δp | 2Δp + Po | Po kN/m ² | Pc kN/m ² | Pc/Po kN/m ² | Keterangan | Sc (m) | |
|-----|---------------|-------|---------------------------|----------------|----------------|----------------|-------|----|---------|--------|-------|--------|--------------|-------|--------|--------|----------|-------------------------|-------------------------|----------------------------|----------------|-----------|--------|
| | | | | | | | | | Z | Z | | | | | | | | | | | | | |
| 1 | 1 | 0.5 | 16.8 | 1.45 | 0.86 | 0.0528 | 17.05 | 8 | 50.100 | 34.100 | 0.536 | 88.320 | 3.131 | 2.131 | 36.000 | 72.000 | 75.400 | 3.4 | 61.548 | 18.102 | melebihi | 0.0024 | |
| 2 | 1 | 1.5 | 16.8 | 1.45 | 0.86 | 0.0528 | 17.05 | 8 | 16.700 | 11.367 | 1.601 | 84.972 | 3.131 | 2.131 | 35.994 | 71.988 | 82.188 | 10.2 | 90.695 | 8.892 | tidak melebihi | 0.0195 | |
| 3 | 1 | 2.5 | 16.8 | 1.45 | 0.86 | 0.0528 | 17.05 | 8 | 10.020 | 6.820 | 2.642 | 81.658 | 3.131 | 2.131 | 35.973 | 71.946 | 88.946 | 17 | 99.73 | 5.866 | tidak melebihi | 0.0155 | |
| 4 | 1 | 3.5 | 16.8 | 1.45 | 0.86 | 0.0528 | 17.05 | 8 | 7.157 | 4.871 | 3.647 | 78.400 | 3.131 | 2.131 | 35.927 | 71.854 | 95.654 | 23.8 | 103.95 | 4.368 | tidak melebihi | 0.0130 | |
| 5 | 1 | 4.5 | 16.8 | 1.45 | 0.86 | 0.0528 | 17.05 | 8 | 5.567 | 3.789 | 4.601 | 75.215 | 3.131 | 2.131 | 35.849 | 71.697 | 102.297 | 30.6 | 106.31 | 3.474 | tidak melebihi | 0.0113 | |
| 6 | 1 | 5.5 | 16.8 | 1.45 | 0.86 | 0.0528 | 17.05 | 8 | 4.555 | 3.100 | 5.495 | 72.121 | 3.131 | 2.131 | 35.731 | 71.463 | 108.863 | 37.4 | 105 | 2.807 | melebihi | 0.0002 | |
| 7 | 1 | 6.5 | 16.8 | 1.45 | 0.86 | 0.0528 | 17.05 | 8 | 3.854 | 2.623 | 6.322 | 69.132 | 3.131 | 2.131 | 35.571 | 71.142 | 115.342 | 44.2 | 108.74 | 2.460 | melebihi | 0.0002 | |
| 8 | 1 | 7.5 | 16.8 | 1.45 | 0.86 | 0.0528 | 17.05 | 8 | 3.340 | 2.273 | 7.076 | 66.256 | 3.131 | 2.131 | 35.365 | 70.731 | 121.731 | 51 | 110 | 2.157 | melebihi | 0.0004 | |
| 9 | 1 | 8.5 | 16.8 | 1.45 | 0.86 | 0.0528 | 17.05 | 8 | 2.947 | 2.006 | 7.755 | 63.502 | 3.131 | 2.131 | 35.114 | 70.227 | 128.027 | 57.8 | 109.89 | 1.901 | melebihi | 0.0005 | |
| 10 | 1 | 9.5 | 16.8 | 1.45 | 0.86 | 0.0528 | 17.05 | 8 | 2.637 | 1.795 | 8.357 | 60.874 | 3.131 | 2.131 | 34.817 | 69.634 | 134.234 | 64.6 | 110.24 | 1.706 | melebihi | 0.0006 | |
| | | | | | | | | | | | | | | | | | | | | | | Sci | 0.0637 |

Lampiran 26 Hasil Consolidation Settlement Total dengan Timbunan 4 meter

Penurunan Akibat Beban Timbunan Bertahap Zona 1

| Kedalaman (m) | Po kN/m ² | Pc' kN/m ² | $\bar{\sigma}_1$ kN/m ² (b) | a + b | Keterangan | Cc | Cs | e ₀ | Sc (m) |
|---------------|-------------------------|--------------------------|---|---------|------------|-----|------|----------------|--------|
| 1 | 3.350 | 58.27 | 5.735 | 9.085 | OC1 | 0.7 | 0.06 | 1.5 | 0.0104 |
| 2 | 10.050 | 85.93 | 6.339 | 16.389 | OC1 | 0.7 | 0.06 | 1.5 | 0.0051 |
| 3 | 16.750 | 94.53 | 6.522 | 23.272 | OC1 | 0.7 | 0.06 | 1.5 | 0.0034 |
| 4 | 23.450 | 100.50 | 6.612 | 30.062 | OC1 | 0.7 | 0.06 | 1.5 | 0.0026 |
| 5 | 30.150 | 100.82 | 6.666 | 36.816 | OC1 | 0.7 | 0.06 | 1.5 | 0.0021 |
| 6 | 36.850 | 98.00 | 6.702 | 43.552 | OC1 | 0.7 | 0.06 | 1.5 | 0.0017 |
| 7 | 43.550 | 103.16 | 6.728 | 50.278 | OC1 | 0.7 | 0.06 | 1.5 | 0.0015 |
| 8 | 50.250 | 110.00 | 6.747 | 56.997 | OC1 | 0.7 | 0.06 | 1.5 | 0.0013 |
| 9 | 56.950 | 104.28 | 6.762 | 63.712 | OC1 | 0.7 | 0.06 | 1.5 | 0.0012 |
| 10 | 63.650 | 98.00 | 6.774 | 70.424 | OC1 | 0.7 | 0.06 | 1.5 | 0.0011 |
| 11 | 70.350 | 104.88 | 6.784 | 77.134 | OC1 | 0.7 | 0.06 | 1.5 | 0.0010 |
| 12 | 77.050 | 101.00 | 6.792 | 83.842 | OC1 | 0.7 | 0.06 | 1.5 | 0.0009 |
| 13 | 83.750 | 105.21 | 6.799 | 90.549 | OC1 | 0.7 | 0.06 | 1.5 | 0.0008 |
| 14 | 90.450 | 105.32 | 6.805 | 97.255 | OC1 | 0.7 | 0.06 | 1.5 | 0.0008 |
| 15 | 97.150 | 105.40 | 6.810 | 103.960 | OC1 | 0.7 | 0.06 | 1.5 | 0.0007 |
| 16 | 103.850 | 113.00 | 6.814 | 110.664 | NC | 0.7 | 0.06 | 1.5 | 0.0077 |
| 17 | 110.550 | 110.55 | 6.818 | 117.368 | NC | 0.7 | 0.06 | 1.5 | 0.0073 |
| 18 | 117.250 | 117.25 | 6.822 | 124.072 | NC | 0.7 | 0.06 | 1.5 | 0.0069 |
| 19 | 123.950 | 123.95 | 6.825 | 130.775 | NC | 0.7 | 0.06 | 1.5 | 0.0065 |
| 20 | 130.650 | 130.65 | 6.828 | 137.478 | NC | 0.7 | 0.06 | 1.5 | 0.0062 |
| 21 | 137.350 | 137.35 | 6.830 | 144.180 | NC | 0.7 | 0.06 | 1.5 | 0.0059 |
| 22 | 144.050 | 144.05 | 6.833 | 150.883 | NC | 0.7 | 0.06 | 1.5 | 0.0056 |
| 23 | 150.750 | 150.75 | 6.835 | 157.585 | NC | 0.7 | 0.06 | 1.5 | 0.0054 |
| 24 | 157.450 | 157.45 | 6.837 | 164.287 | NC | 0.7 | 0.06 | 1.5 | 0.0052 |
| 25 | 164.150 | 164.15 | 6.839 | 170.989 | NC | 0.7 | 0.06 | 1.5 | 0.0050 |
| 26 | 170.850 | 170.85 | 6.840 | 177.690 | NC | 0.7 | 0.06 | 1.5 | 0.0048 |
| 27 | 177.550 | 177.55 | 6.842 | 184.392 | NC | 0.7 | 0.06 | 1.5 | 0.0046 |
| | | | | | | | | Sc Total | 0.1055 |

Lampiran 27 Penurunan total akibat beban timbunan tahap 1

| Kedalaman (m) | Po kN/m ² (a) | Pc' kN/m ² | σ_1 kN/m ² (b) | σ_2 kN/m ² (c) | a + b + c | Keterangan | Cc | Cs | e ₀ | Sc (m) |
|---------------|-----------------------------|--------------------------|-------------------------------------|-------------------------------------|-----------|------------|-----|----------|----------------|--------|
| 1 | 3.350 | 58.27 | 5.735 | 5.777 | 14.862 | OC1 | 0.7 | 0.060049 | 1.5 | 0.0051 |
| 2 | 10.050 | 85.93 | 6.339 | 5.936 | 22.324 | OC1 | 0.7 | 0.060049 | 1.5 | 0.0032 |
| 3 | 16.750 | 94.53 | 6.522 | 6.021 | 29.293 | OC1 | 0.7 | 0.060049 | 1.5 | 0.0024 |
| 4 | 23.450 | 100.50 | 6.612 | 6.075 | 36.137 | OC1 | 0.7 | 0.060049 | 1.5 | 0.0019 |
| 5 | 30.150 | 100.82 | 6.666 | 6.111 | 42.927 | OC1 | 0.7 | 0.060049 | 1.5 | 0.0016 |
| 6 | 36.850 | 98.00 | 6.702 | 6.138 | 49.690 | OC1 | 0.7 | 0.060049 | 1.5 | 0.0014 |
| 7 | 43.550 | 103.16 | 6.728 | 6.159 | 56.436 | OC1 | 0.7 | 0.060049 | 1.5 | 0.0012 |
| 8 | 50.250 | 110.00 | 6.747 | 6.175 | 63.171 | OC1 | 0.7 | 0.060049 | 1.5 | 0.0011 |
| 9 | 56.950 | 104.28 | 6.762 | 6.188 | 69.899 | OC1 | 0.7 | 0.060049 | 1.5 | 0.0010 |
| 10 | 63.650 | 98.00 | 6.774 | 6.198 | 76.622 | OC1 | 0.7 | 0.060049 | 1.5 | 0.0009 |
| 11 | 70.350 | 104.88 | 6.784 | 6.207 | 83.341 | OC1 | 0.7 | 0.060049 | 1.5 | 0.0008 |
| 12 | 77.050 | 101.00 | 6.792 | 6.215 | 90.057 | OC1 | 0.7 | 0.060049 | 1.5 | 0.0007 |
| 13 | 83.750 | 105.21 | 6.799 | 6.221 | 96.770 | OC1 | 0.7 | 0.060049 | 1.5 | 0.0007 |
| 14 | 90.450 | 105.32 | 6.805 | 6.227 | 103.482 | OC1 | 0.7 | 0.060049 | 1.5 | 0.0006 |
| 15 | 97.150 | 105.40 | 6.810 | 6.232 | 110.192 | OC2 | 0.7 | 0.060049 | 1.5 | 0.0001 |
| 16 | 103.850 | 113.00 | 6.814 | 6.236 | 116.901 | NC | 0.7 | 0.060049 | 1.5 | 0.0067 |
| 17 | 110.550 | 110.55 | 6.818 | 6.240 | 123.609 | NC | 0.7 | 0.060049 | 1.5 | 0.0063 |
| 18 | 117.250 | 117.25 | 6.822 | 6.244 | 130.316 | NC | 0.7 | 0.060049 | 1.5 | 0.0060 |
| 19 | 123.950 | 123.95 | 6.825 | 6.247 | 137.022 | NC | 0.7 | 0.060049 | 1.5 | 0.0057 |
| 20 | 130.650 | 130.65 | 6.828 | 6.250 | 143.728 | NC | 0.7 | 0.060049 | 1.5 | 0.0054 |
| 21 | 137.350 | 137.35 | 6.830 | 6.253 | 150.433 | NC | 0.7 | 0.060049 | 1.5 | 0.0052 |
| 22 | 144.050 | 144.05 | 6.833 | 6.255 | 157.138 | NC | 0.7 | 0.060049 | 1.5 | 0.0049 |
| 23 | 150.750 | 150.75 | 6.835 | 6.257 | 163.842 | NC | 0.7 | 0.060049 | 1.5 | 0.0047 |
| 24 | 157.450 | 157.45 | 6.837 | 6.259 | 170.546 | NC | 0.7 | 0.060049 | 1.5 | 0.0045 |
| 25 | 164.150 | 164.15 | 6.839 | 6.261 | 177.250 | NC | 0.7 | 0.060049 | 1.5 | 0.0044 |
| 26 | 170.850 | 170.85 | 6.840 | 6.263 | 183.953 | NC | 0.7 | 0.060049 | 1.5 | 0.0042 |
| 27 | 177.550 | 177.55 | 6.842 | 6.265 | 190.657 | NC | 0.7 | 0.060049 | 1.5 | 0.0041 |
| | | | | | | | | | Sc Total | 0.0848 |

Lampiran 28 Penurunan total akibat beban timbunan tahap 2

| Kedalaman (m) | Po kN/m ^{2(a)} | Pc' kN/m ² | σ_1 kN/m ^{2(b)} | σ_2 kN/m ^{2(c)} | σ_3 kN/m ^{2(d)} | a + b + c + d | Keterangan | Cc | Cs | e ₀ | Sc (m) |
|---------------|----------------------------|--------------------------|------------------------------------|------------------------------------|------------------------------------|------------------|------------|-----|----------|----------------|--------|
| 1 | 3.350 | 58.27 | 5.735 | 5.777 | 5.203 | 20.065 | OC1 | 0.7 | 0.060049 | 1.5 | 0.0031 |
| 2 | 10.050 | 85.93 | 6.339 | 5.936 | 5.283 | 27.607 | OC1 | 0.7 | 0.060049 | 1.5 | 0.0022 |
| 3 | 16.750 | 94.53 | 6.522 | 6.021 | 5.334 | 34.627 | OC1 | 0.7 | 0.060049 | 1.5 | 0.0017 |
| 4 | 23.450 | 100.50 | 6.612 | 6.075 | 5.371 | 41.508 | OC1 | 0.7 | 0.060049 | 1.5 | 0.0014 |
| 5 | 30.150 | 100.82 | 6.666 | 6.111 | 5.398 | 48.325 | OC1 | 0.7 | 0.060049 | 1.5 | 0.0012 |
| 6 | 36.850 | 98.00 | 6.702 | 6.138 | 5.419 | 55.109 | OC1 | 0.7 | 0.060049 | 1.5 | 0.0011 |
| 7 | 43.550 | 103.16 | 6.728 | 6.159 | 5.435 | 61.871 | OC1 | 0.7 | 0.060049 | 1.5 | 0.0010 |
| 8 | 50.250 | 110.00 | 6.747 | 6.175 | 5.449 | 68.620 | OC1 | 0.7 | 0.060049 | 1.5 | 0.0009 |
| 9 | 56.950 | 104.28 | 6.762 | 6.188 | 5.460 | 75.359 | OC1 | 0.7 | 0.060049 | 1.5 | 0.0008 |
| 10 | 63.650 | 98.00 | 6.774 | 6.198 | 5.469 | 82.091 | OC1 | 0.7 | 0.060049 | 1.5 | 0.0007 |
| 11 | 70.350 | 104.88 | 6.784 | 6.207 | 5.477 | 88.818 | OC1 | 0.7 | 0.060049 | 1.5 | 0.0007 |
| 12 | 77.050 | 101.00 | 6.792 | 6.215 | 5.484 | 95.541 | OC1 | 0.7 | 0.060049 | 1.5 | 0.0006 |
| 13 | 83.750 | 105.21 | 6.799 | 6.221 | 5.490 | 102.261 | OC1 | 0.7 | 0.060049 | 1.5 | 0.0006 |
| 14 | 90.450 | 105.32 | 6.805 | 6.227 | 5.496 | 108.978 | OC2 | 0.7 | 0.060049 | 1.5 | 0.0000 |
| 15 | 97.150 | 105.40 | 6.810 | 6.232 | 5.501 | 115.692 | OC2 | 0.7 | 0.060049 | 1.5 | 0.0001 |
| 16 | 103.850 | 113.00 | 6.814 | 6.236 | 5.505 | 122.406 | NC | 0.7 | 0.060049 | 1.5 | 0.0056 |
| 17 | 110.550 | 110.55 | 6.818 | 6.240 | 5.509 | 129.117 | NC | 0.7 | 0.060049 | 1.5 | 0.0053 |
| 18 | 117.250 | 117.25 | 6.822 | 6.244 | 5.512 | 135.828 | NC | 0.7 | 0.060049 | 1.5 | 0.0050 |
| 19 | 123.950 | 123.95 | 6.825 | 6.247 | 5.515 | 142.537 | NC | 0.7 | 0.060049 | 1.5 | 0.0048 |
| 20 | 130.650 | 130.65 | 6.828 | 6.250 | 5.518 | 149.246 | NC | 0.7 | 0.060049 | 1.5 | 0.0046 |
| 21 | 137.350 | 137.35 | 6.830 | 6.253 | 5.521 | 155.954 | NC | 0.7 | 0.060049 | 1.5 | 0.0044 |
| 22 | 144.050 | 144.05 | 6.833 | 6.255 | 5.523 | 162.661 | NC | 0.7 | 0.060049 | 1.5 | 0.0042 |
| 23 | 150.750 | 150.75 | 6.835 | 6.257 | 5.525 | 169.368 | NC | 0.7 | 0.060049 | 1.5 | 0.0040 |
| 24 | 157.450 | 157.45 | 6.837 | 6.259 | 5.527 | 176.074 | NC | 0.7 | 0.060049 | 1.5 | 0.0039 |
| 25 | 164.150 | 164.15 | 6.839 | 6.261 | 5.529 | 182.779 | NC | 0.7 | 0.060049 | 1.5 | 0.0037 |
| 26 | 170.850 | 170.85 | 6.840 | 6.263 | 5.531 | 189.485 | NC | 0.7 | 0.060049 | 1.5 | 0.0036 |
| 27 | 177.550 | 177.55 | 6.842 | 6.265 | 5.533 | 196.189 | NC | 0.7 | 0.060049 | 1.5 | 0.0035 |
| | | | | | | | | | | Sc Total | 0.0688 |

Lampiran 29 Penurunan total akibat beban timbunan tahap 3

| Kedalaman (m) | Po kN/m ^{2(a)} | Pc' kN/m ² | σ_1 kN/m ^{2(b)} | σ_2 kN/m ^{2(c)} | σ_3 kN/m ^{2(d)} | σ_4 kN/m ^{2(e)} | a + b + c + d + e | Keterangan | Cc | Cs | e ₀ | Sc (m) | |
|---------------|----------------------------|--------------------------|------------------------------------|------------------------------------|------------------------------------|------------------------------------|----------------------|------------|-----|----------|----------------|----------|--------|
| 1 | 3.350 | 58.271 | 5.735 | 5.777 | 5.203 | 4.362 | 24.427 | OC1 | 0.7 | 0.060049 | 1.5 | 0.0021 | |
| 2 | 10.050 | 85.930 | 6.339 | 5.936 | 5.283 | 4.409 | 32.016 | OC1 | 0.7 | 0.060049 | 1.5 | 0.0015 | |
| 3 | 16.750 | 94.530 | 6.522 | 6.021 | 5.334 | 4.443 | 39.071 | OC1 | 0.7 | 0.060049 | 1.5 | 0.0013 | |
| 4 | 23.450 | 100.500 | 6.612 | 6.075 | 5.371 | 4.469 | 45.977 | OC1 | 0.7 | 0.060049 | 1.5 | 0.0011 | |
| 5 | 30.150 | 100.818 | 6.666 | 6.111 | 5.398 | 4.489 | 52.814 | OC1 | 0.7 | 0.060049 | 1.5 | 0.0009 | |
| 6 | 36.850 | 98.000 | 6.702 | 6.138 | 5.419 | 4.505 | 59.614 | OC1 | 0.7 | 0.060049 | 1.5 | 0.0008 | |
| 7 | 43.550 | 103.162 | 6.728 | 6.159 | 5.435 | 4.519 | 66.390 | OC1 | 0.7 | 0.060049 | 1.5 | 0.0007 | |
| 8 | 50.250 | 110.000 | 6.747 | 6.175 | 5.449 | 4.530 | 73.150 | OC1 | 0.7 | 0.060049 | 1.5 | 0.0007 | |
| 9 | 56.950 | 104.279 | 6.762 | 6.188 | 5.460 | 4.539 | 79.898 | OC1 | 0.7 | 0.060049 | 1.5 | 0.0006 | |
| 10 | 63.650 | 98.000 | 6.774 | 6.198 | 5.469 | 4.547 | 86.638 | OC1 | 0.7 | 0.060049 | 1.5 | 0.0006 | |
| 11 | 70.350 | 104.875 | 6.784 | 6.207 | 5.477 | 4.554 | 93.372 | OC1 | 0.7 | 0.060049 | 1.5 | 0.0005 | |
| 12 | 77.050 | 101.000 | 6.792 | 6.215 | 5.484 | 4.560 | 100.101 | OC1 | 0.7 | 0.060049 | 1.5 | 0.0005 | |
| 13 | 83.750 | 105.210 | 6.799 | 6.221 | 5.490 | 4.566 | 106.826 | OC2 | 0.7 | 0.060049 | 1.5 | 0.0000 | |
| 14 | 90.450 | 105.319 | 6.805 | 6.227 | 5.496 | 4.571 | 113.548 | OC2 | 0.7 | 0.060049 | 1.5 | 0.0001 | |
| 15 | 97.150 | 105.400 | 6.810 | 6.232 | 5.501 | 4.575 | 120.267 | OC2 | 0.7 | 0.060049 | 1.5 | 0.0001 | |
| 16 | 103.850 | 113.000 | 6.814 | 6.236 | 5.505 | 4.579 | 126.984 | NC | 0.7 | 0.060049 | 1.5 | 0.0045 | |
| 17 | 110.550 | 110.550 | 6.818 | 6.240 | 5.509 | 4.582 | 133.700 | NC | 0.7 | 0.060049 | 1.5 | 0.0042 | |
| 18 | 117.250 | 117.250 | 6.822 | 6.244 | 5.512 | 4.586 | 140.413 | NC | 0.7 | 0.060049 | 1.5 | 0.0040 | |
| 19 | 123.950 | 123.950 | 6.825 | 6.247 | 5.515 | 4.588 | 147.126 | NC | 0.7 | 0.060049 | 1.5 | 0.0039 | |
| 20 | 130.650 | 130.650 | 6.828 | 6.250 | 5.518 | 4.591 | 153.837 | NC | 0.7 | 0.060049 | 1.5 | 0.0037 | |
| 21 | 137.350 | 137.350 | 6.830 | 6.253 | 5.521 | 4.594 | 160.548 | NC | 0.7 | 0.060049 | 1.5 | 0.0035 | |
| 22 | 144.050 | 144.050 | 6.833 | 6.255 | 5.523 | 4.596 | 167.257 | NC | 0.7 | 0.060049 | 1.5 | 0.0034 | |
| 23 | 150.750 | 150.750 | 6.835 | 6.257 | 5.525 | 4.598 | 173.966 | NC | 0.7 | 0.060049 | 1.5 | 0.0033 | |
| 24 | 157.450 | 157.450 | 6.837 | 6.259 | 5.527 | 4.600 | 180.674 | NC | 0.7 | 0.060049 | 1.5 | 0.0031 | |
| 25 | 164.150 | 164.150 | 6.839 | 6.261 | 5.529 | 4.602 | 187.381 | NC | 0.7 | 0.060049 | 1.5 | 0.0030 | |
| 26 | 170.850 | 170.850 | 6.840 | 6.263 | 5.531 | 4.604 | 194.088 | NC | 0.7 | 0.060049 | 1.5 | 0.0029 | |
| 27 | 177.550 | 177.550 | 6.842 | 6.265 | 5.533 | 4.605 | 200.794 | NC | 0.7 | 0.060049 | 1.5 | 0.0028 | |
| | | | | | | | | | | | | Sc Total | 0.0538 |

Lampiran 30 Penurunan total akibat beban timbunan tahap 4

| Kedalaman n (m) | Po kN/m ^{2(a)} | Pc' kN/m ² | σ_1 kN/m ^{2(b)} | σ_2 kN/m ^{2(c)} | σ_3 kN/m ^{2(d)} | σ_4 kN/m ^{2(e)} | σ_5 kN/m ^{2(f)} | a + b + c + d + e + f | Keterangan | Cc | Cs | e ₀ | Sc (m) |
|--------------------|----------------------------|--------------------------|------------------------------------|------------------------------------|------------------------------------|------------------------------------|------------------------------------|--------------------------|------------|-----|----------|----------------|--------|
| 1 | 3.350 | 58.271 | 5.735 | 5.777 | 5.203 | 4.362 | 3.255 | 27.682 | OC1 | 0.7 | 0.060049 | 1.5 | 0.0013 |
| 2 | 10.050 | 85.930 | 6.339 | 5.936 | 5.283 | 4.409 | 3.284 | 35.300 | OC1 | 0.7 | 0.060049 | 1.5 | 0.0010 |
| 3 | 16.750 | 94.530 | 6.522 | 6.021 | 5.334 | 4.443 | 3.306 | 42.376 | OC1 | 0.7 | 0.060049 | 1.5 | 0.0008 |
| 4 | 23.450 | 100.500 | 6.612 | 6.075 | 5.371 | 4.469 | 3.323 | 49.300 | OC1 | 0.7 | 0.060049 | 1.5 | 0.0007 |
| 5 | 30.150 | 100.818 | 6.666 | 6.111 | 5.398 | 4.489 | 3.337 | 56.152 | OC1 | 0.7 | 0.060049 | 1.5 | 0.0006 |
| 6 | 36.850 | 98.000 | 6.702 | 6.138 | 5.419 | 4.505 | 3.349 | 62.963 | OC1 | 0.7 | 0.060049 | 1.5 | 0.0006 |
| 7 | 43.550 | 103.162 | 6.728 | 6.159 | 5.435 | 4.519 | 3.359 | 69.749 | OC1 | 0.7 | 0.060049 | 1.5 | 0.0005 |
| 8 | 50.250 | 110.000 | 6.747 | 6.175 | 5.449 | 4.530 | 3.367 | 76.517 | OC1 | 0.7 | 0.060049 | 1.5 | 0.0005 |
| 9 | 56.950 | 104.279 | 6.762 | 6.188 | 5.460 | 4.539 | 3.374 | 83.273 | OC1 | 0.7 | 0.060049 | 1.5 | 0.0004 |
| 10 | 63.650 | 98.000 | 6.774 | 6.198 | 5.469 | 4.547 | 3.381 | 90.019 | OC1 | 0.7 | 0.060049 | 1.5 | 0.0004 |
| 11 | 70.350 | 104.875 | 6.784 | 6.207 | 5.477 | 4.554 | 3.386 | 96.759 | OC1 | 0.7 | 0.060049 | 1.5 | 0.0004 |
| 12 | 77.050 | 101.000 | 6.792 | 6.215 | 5.484 | 4.560 | 3.391 | 103.492 | OC2 | 0.7 | 0.060049 | 1.5 | 0.0000 |
| 13 | 83.750 | 105.210 | 6.799 | 6.221 | 5.490 | 4.566 | 3.396 | 110.222 | OC2 | 0.7 | 0.060049 | 1.5 | 0.0000 |
| 14 | 90.450 | 105.319 | 6.805 | 6.227 | 5.496 | 4.571 | 3.400 | 116.948 | OC2 | 0.7 | 0.060049 | 1.5 | 0.0001 |
| 15 | 97.150 | 105.400 | 6.810 | 6.232 | 5.501 | 4.575 | 3.403 | 123.670 | OC2 | 0.7 | 0.060049 | 1.5 | 0.0001 |
| 16 | 103.850 | 113.000 | 6.814 | 6.236 | 5.505 | 4.579 | 3.406 | 130.391 | NC | 0.7 | 0.060049 | 1.5 | 0.0032 |
| 17 | 110.550 | 110.550 | 6.818 | 6.240 | 5.509 | 4.582 | 3.409 | 137.109 | NC | 0.7 | 0.060049 | 1.5 | 0.0031 |
| 18 | 117.250 | 117.250 | 6.822 | 6.244 | 5.512 | 4.586 | 3.412 | 143.825 | NC | 0.7 | 0.060049 | 1.5 | 0.0029 |
| 19 | 123.950 | 123.950 | 6.825 | 6.247 | 5.515 | 4.588 | 3.414 | 150.540 | NC | 0.7 | 0.060049 | 1.5 | 0.0028 |
| 20 | 130.650 | 130.650 | 6.828 | 6.250 | 5.518 | 4.591 | 3.417 | 157.254 | NC | 0.7 | 0.060049 | 1.5 | 0.0027 |
| 21 | 137.350 | 137.350 | 6.830 | 6.253 | 5.521 | 4.594 | 3.419 | 163.966 | NC | 0.7 | 0.060049 | 1.5 | 0.0026 |
| 22 | 144.050 | 144.050 | 6.833 | 6.255 | 5.523 | 4.596 | 3.421 | 170.678 | NC | 0.7 | 0.060049 | 1.5 | 0.0025 |
| 23 | 150.750 | 150.750 | 6.835 | 6.257 | 5.525 | 4.598 | 3.423 | 177.388 | NC | 0.7 | 0.060049 | 1.5 | 0.0024 |
| 24 | 157.450 | 157.450 | 6.837 | 6.259 | 5.527 | 4.600 | 3.424 | 184.098 | NC | 0.7 | 0.060049 | 1.5 | 0.0023 |
| 25 | 164.150 | 164.150 | 6.839 | 6.261 | 5.529 | 4.602 | 3.426 | 190.807 | NC | 0.7 | 0.060049 | 1.5 | 0.0022 |
| 26 | 170.850 | 170.850 | 6.840 | 6.263 | 5.531 | 4.604 | 3.427 | 197.515 | NC | 0.7 | 0.060049 | 1.5 | 0.0021 |
| 27 | 177.550 | 177.550 | 6.842 | 6.265 | 5.533 | 4.605 | 3.429 | 204.223 | NC | 0.7 | 0.060049 | 1.5 | 0.0021 |
| | | | | | | | | | | | | Sc Total | 0.0383 |

Lampiran 31 Penurunan total akibat beban timbunan tahap 5

| Kedalaman (m) | Po kN/m ² (a) | Pc' kN/m ² | σ_1 kN/m ² (b) | σ_2 kN/m ² (c) | σ_3 kN/m ² (d) | σ_4 kN/m ² (e) | σ_5 kN/m ² (f) | σ_6 kN/m ² (f) | a+b+c+d +e+f+g | Keterangan | Cc | Cs | e ₀ | Sc (m) | |
|------------------|-----------------------------|--------------------------|-------------------------------------|-------------------------------------|-------------------------------------|-------------------------------------|-------------------------------------|-------------------------------------|-------------------|------------|-----|----------|----------------|----------|--------|
| 1 | 3.350 | 58.271 | 5.735 | 5.777 | 5.203 | 4.362 | 3.255 | 1.836 | 29.518 | OC1 | 0.7 | 0.060049 | 1.5 | 0.0007 | |
| 2 | 10.050 | 85.930 | 6.339 | 5.936 | 5.283 | 4.409 | 3.284 | 1.850 | 37.150 | OC1 | 0.7 | 0.060049 | 1.5 | 0.0005 | |
| 3 | 16.750 | 94.530 | 6.522 | 6.021 | 5.334 | 4.443 | 3.306 | 1.862 | 44.238 | OC1 | 0.7 | 0.060049 | 1.5 | 0.0004 | |
| 4 | 23.450 | 100.500 | 6.612 | 6.075 | 5.371 | 4.469 | 3.323 | 1.871 | 51.171 | OC1 | 0.7 | 0.060049 | 1.5 | 0.0004 | |
| 5 | 30.150 | 100.818 | 6.666 | 6.111 | 5.398 | 4.489 | 3.337 | 1.879 | 58.031 | OC1 | 0.7 | 0.060049 | 1.5 | 0.0003 | |
| 6 | 36.850 | 98.000 | 6.702 | 6.138 | 5.419 | 4.505 | 3.349 | 1.886 | 64.849 | OC1 | 0.7 | 0.060049 | 1.5 | 0.0003 | |
| 7 | 43.550 | 103.162 | 6.728 | 6.159 | 5.435 | 4.519 | 3.359 | 1.891 | 71.640 | OC1 | 0.7 | 0.060049 | 1.5 | 0.0003 | |
| 8 | 50.250 | 110.000 | 6.747 | 6.175 | 5.449 | 4.530 | 3.367 | 1.896 | 78.413 | OC1 | 0.7 | 0.060049 | 1.5 | 0.0003 | |
| 9 | 56.950 | 104.279 | 6.762 | 6.188 | 5.460 | 4.539 | 3.374 | 1.901 | 85.173 | OC1 | 0.7 | 0.060049 | 1.5 | 0.0002 | |
| 10 | 63.650 | 98.000 | 6.774 | 6.198 | 5.469 | 4.547 | 3.381 | 1.904 | 91.924 | OC1 | 0.7 | 0.060049 | 1.5 | 0.0002 | |
| 11 | 70.350 | 104.875 | 6.784 | 6.207 | 5.477 | 4.554 | 3.386 | 1.908 | 98.666 | OC1 | 0.7 | 0.060049 | 1.5 | 0.0002 | |
| 12 | 77.050 | 101.000 | 6.792 | 6.215 | 5.484 | 4.560 | 3.391 | 1.911 | 105.403 | OC2 | 0.7 | 0.060049 | 1.5 | 0.0003 | |
| 13 | 83.750 | 105.210 | 6.799 | 6.221 | 5.490 | 4.566 | 3.396 | 1.913 | 112.135 | OC2 | 0.7 | 0.060049 | 1.5 | 0.0004 | |
| 14 | 90.450 | 105.319 | 6.805 | 6.227 | 5.496 | 4.571 | 3.400 | 1.916 | 118.864 | OC2 | 0.7 | 0.060049 | 1.5 | 0.0008 | |
| 15 | 97.150 | 105.400 | 6.810 | 6.232 | 5.501 | 4.575 | 3.403 | 1.918 | 125.589 | OC2 | 0.7 | 0.060049 | 1.5 | 0.0012 | |
| 16 | 103.850 | 113.000 | 6.814 | 6.236 | 5.505 | 4.579 | 3.406 | 1.920 | 132.311 | NC | 0.7 | 0.060049 | 1.5 | 0.0018 | |
| 17 | 110.550 | 110.550 | 6.818 | 6.240 | 5.509 | 4.582 | 3.409 | 1.922 | 139.031 | NC | 0.7 | 0.060049 | 1.5 | 0.0017 | |
| 18 | 117.250 | 117.250 | 6.822 | 6.244 | 5.512 | 4.586 | 3.412 | 1.924 | 145.749 | NC | 0.7 | 0.060049 | 1.5 | 0.0016 | |
| 19 | 123.950 | 123.950 | 6.825 | 6.247 | 5.515 | 4.588 | 3.414 | 1.925 | 152.466 | NC | 0.7 | 0.060049 | 1.5 | 0.0015 | |
| 20 | 130.650 | 130.650 | 6.828 | 6.250 | 5.518 | 4.591 | 3.417 | 1.927 | 159.181 | NC | 0.7 | 0.060049 | 1.5 | 0.0015 | |
| 21 | 137.350 | 137.350 | 6.830 | 6.253 | 5.521 | 4.594 | 3.419 | 1.928 | 165.895 | NC | 0.7 | 0.060049 | 1.5 | 0.0014 | |
| 22 | 144.050 | 144.050 | 6.833 | 6.255 | 5.523 | 4.596 | 3.421 | 1.929 | 172.607 | NC | 0.7 | 0.060049 | 1.5 | 0.0014 | |
| 23 | 150.750 | 150.750 | 6.835 | 6.257 | 5.525 | 4.598 | 3.423 | 1.931 | 179.319 | NC | 0.7 | 0.060049 | 1.5 | 0.0013 | |
| 24 | 157.450 | 157.450 | 6.837 | 6.259 | 5.527 | 4.600 | 3.424 | 1.932 | 186.030 | NC | 0.7 | 0.060049 | 1.5 | 0.0013 | |
| 25 | 164.150 | 164.150 | 6.839 | 6.261 | 5.529 | 4.602 | 3.426 | 1.933 | 192.740 | NC | 0.7 | 0.060049 | 1.5 | 0.0012 | |
| 26 | 170.850 | 170.850 | 6.840 | 6.263 | 5.531 | 4.604 | 3.427 | 1.934 | 199.449 | NC | 0.7 | 0.060049 | 1.5 | 0.0012 | |
| 27 | 177.550 | 177.550 | 6.842 | 6.265 | 5.533 | 4.605 | 3.429 | 1.935 | 206.158 | NC | 0.7 | 0.060049 | 1.5 | 0.0011 | |
| | | | | | | | | | | | | | | Sc Total | 0.0237 |

Lampiran 32 Penurunan total akibat beban timbunan tahap 6



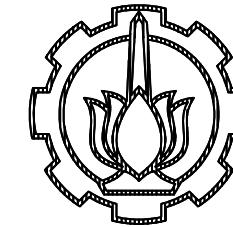
Penulis bernama Zakky Rachmadi Ma'ruf, dilahirkan di Surabaya 20 Januari 1997, merupakan anak kedua dari 2 bersaudara. Penulis telah menempuh pendidikan formal di TK Dharma Wanita (Sidoarjo), SD Wedoro I (Sidoarjo), SMP Negeri 22 (Surabaya), dan SMA Negeri 20 (Surabaya). Penulis melanjutkan pendidikan sarjana di Jurusan Diploma Teknik Infrastruktur Sipil Fakultas Vokasi - ITS pada tahun 2014 dan terdaftar dengan NRP 3114041019. Di departemen Teknik Infrastruktur Sipil

ini penulis mengambil proyek akhir terapan dengan bidang studi Geoteknik. Penulis pernah aktif dalam beberapa kegiatan seminar, pelatihan, dan kepanitiaan.

Contact Person:

Email : zakkyrachmadimaruf@yahoo.co.id

No. Hp : 0812 – 4901 – 5080



INSTITUT TEKNOLOGI SEPULUH NOPEMBER
FAKULTAS VOKASI
PROGRAM DIPLOMA IV
TEKNIK INFRASTRUKTUR
SIPIL

MATA KULIAH

Proyek Akhir Terapan

JUDUL GAMBAR

Denah Lokasi dan Potongan Memanjang

DOSEN PEMBIMBING

M. Khoiri, ST. MT. PhD

NAMA MAHASISWA

Zakky Rachmadi Ma'ruf
1011141000019

KETERANGAN

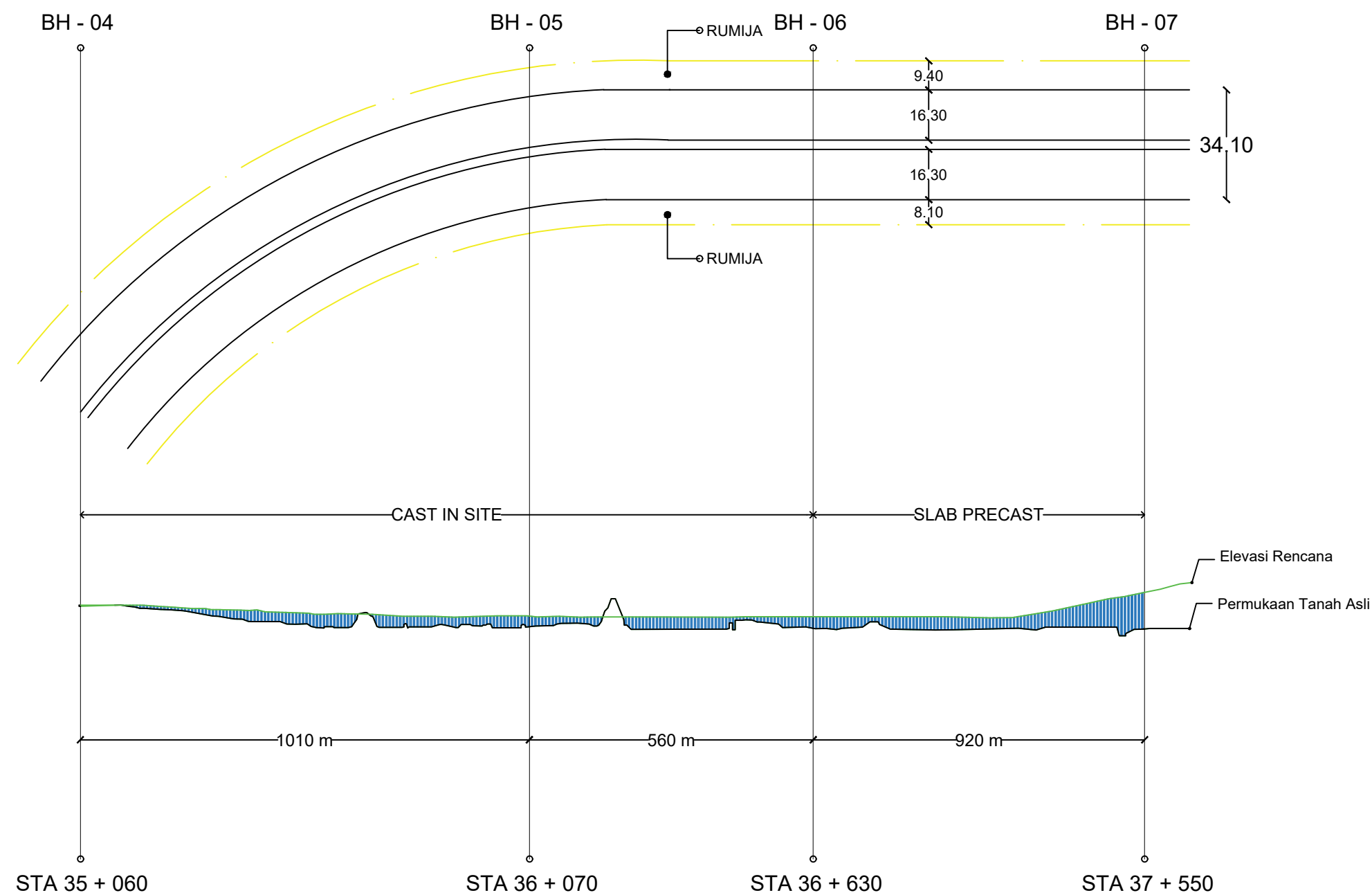
KODE GAMBAR

NO.

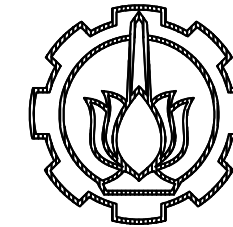
JUMLAH

1

21



DENAH LOKASI DAN POTONGAN MEMANJANG



INSTITUT TEKNOLOGI SEPULUH NOPEMBER
FAKULTAS VOKASI
PROGRAM DIPLOMA IV
TEKNIK INFRASTRUKTUR
SIPIL

MATA KULIAH

Proyek Akhir Terapan

JUDUL GAMBAR

Denah Lokasi dan Potongan Memanjang

DOSEN PEMBIMBING

M. Khoiri, ST. MT. PhD

NAMA MAHASISWA

Zakky Rachmadi Ma'ruf
1011141000019

KETERANGAN

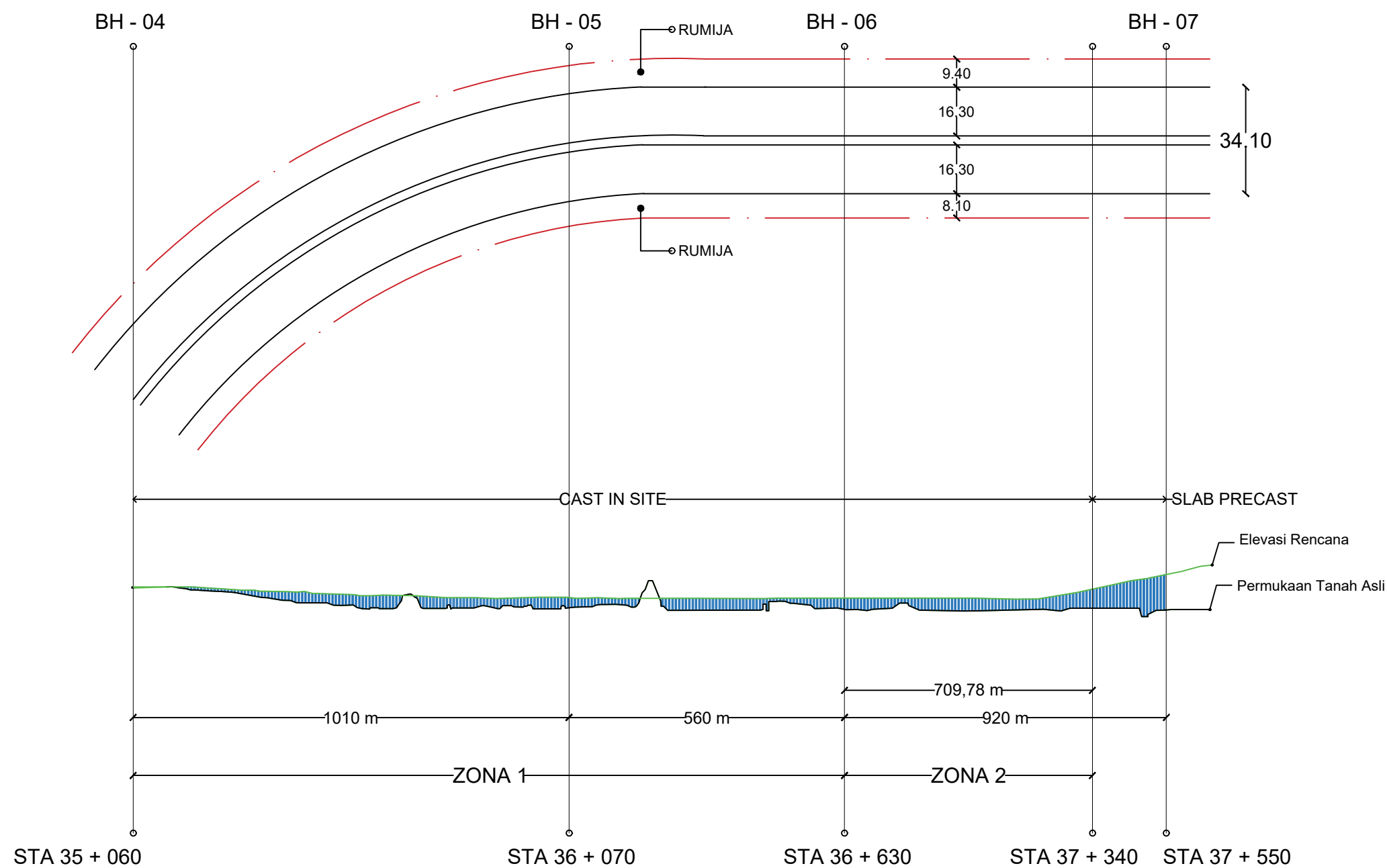
KODE GAMBAR

NO.

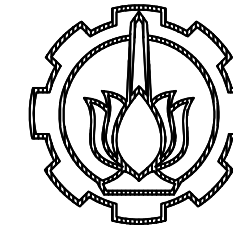
2

JUMLAH

21



DENAH LOKASI DAN POTONGAN MEMANJANG



INSTITUT TEKNOLOGI SEPULUH NOPEMBER
 FAKULTAS VOKASI
 PROGRAM DIPLOMA IV
 TEKNIK INFRASTRUKTUR
 SIPIL

MATA KULIAH

Proyek Akhir Terapan

JUDUL GAMBAR

Potongan Memanjang & Stratigrafi Tanah
 BH - 04 s.d BH - 07

DOSEN PEMBIMBING

M. Khoiri, ST. MT. PhD

NAMA MAHASISWA

Zakky Rachmadi Ma'ruf
 10111410000019

KETERANGAN

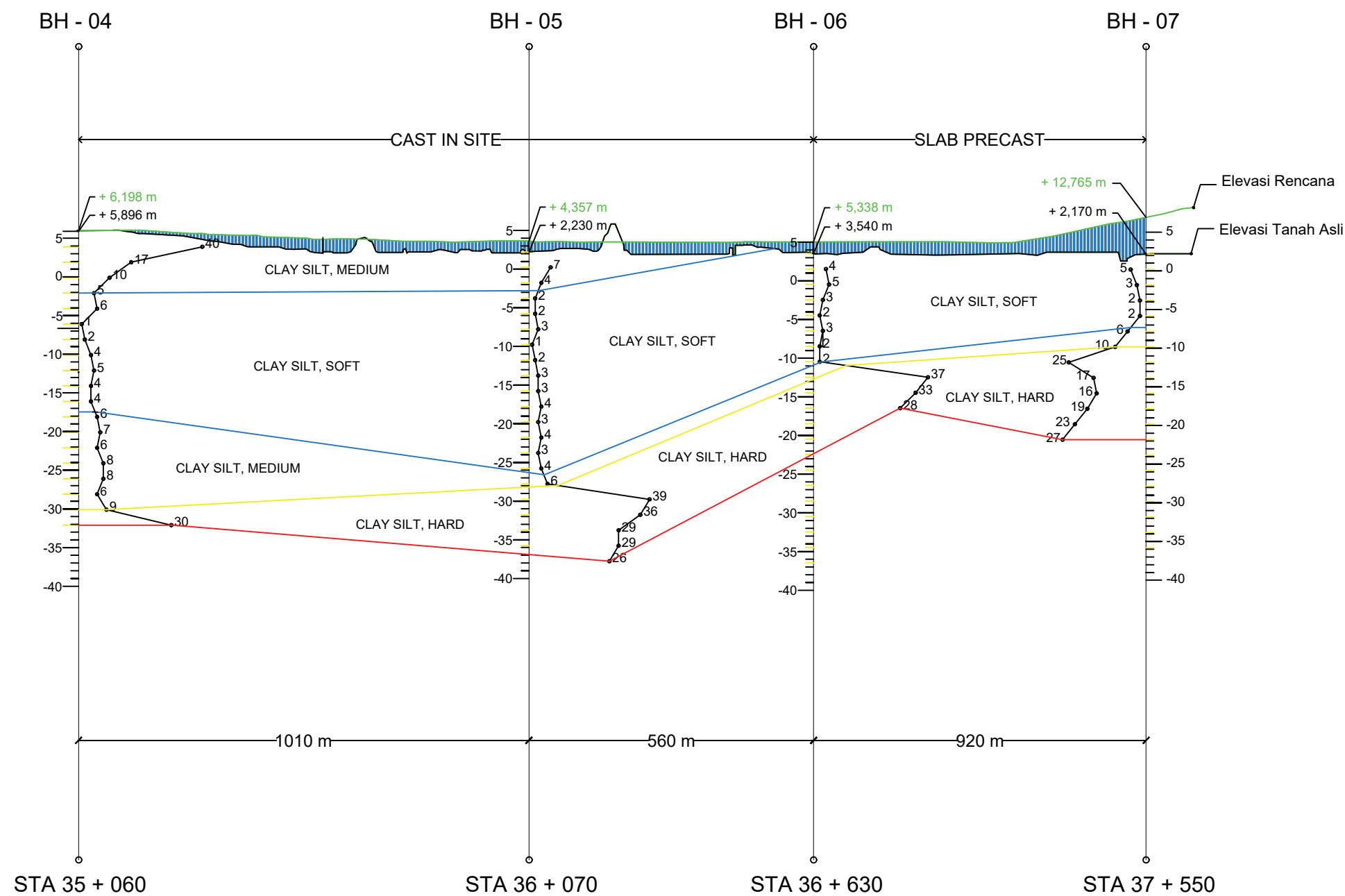
KODE GAMBAR

NO.

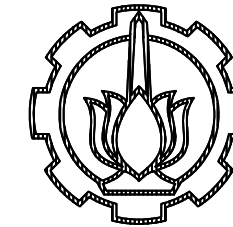
JUMLAH

3

21



POTONGAN MEMANJANG & STRATIGRAFI TANAH BH 04 - BH 07



INSTITUT TEKNOLOGI SEPULUH NOPEMBER
 FAKULTAS VOKASI
 PROGRAM DIPLOMA IV
 TEKNIK INFRASTRUKTUR
 SIPIL

MATA KULIAH

Proyek Akhir Terapan

JUDUL GAMBAR

Potongan Memanjang & Stratigrafi Tanah
 BH - 04 s.d BH - 07

DOSEN PEMBIMBING

M. Khoiri, ST. MT. PhD

NAMA MAHASISWA

Zakky Rachmadi Ma'ruf
 1011141000019

KETERANGAN

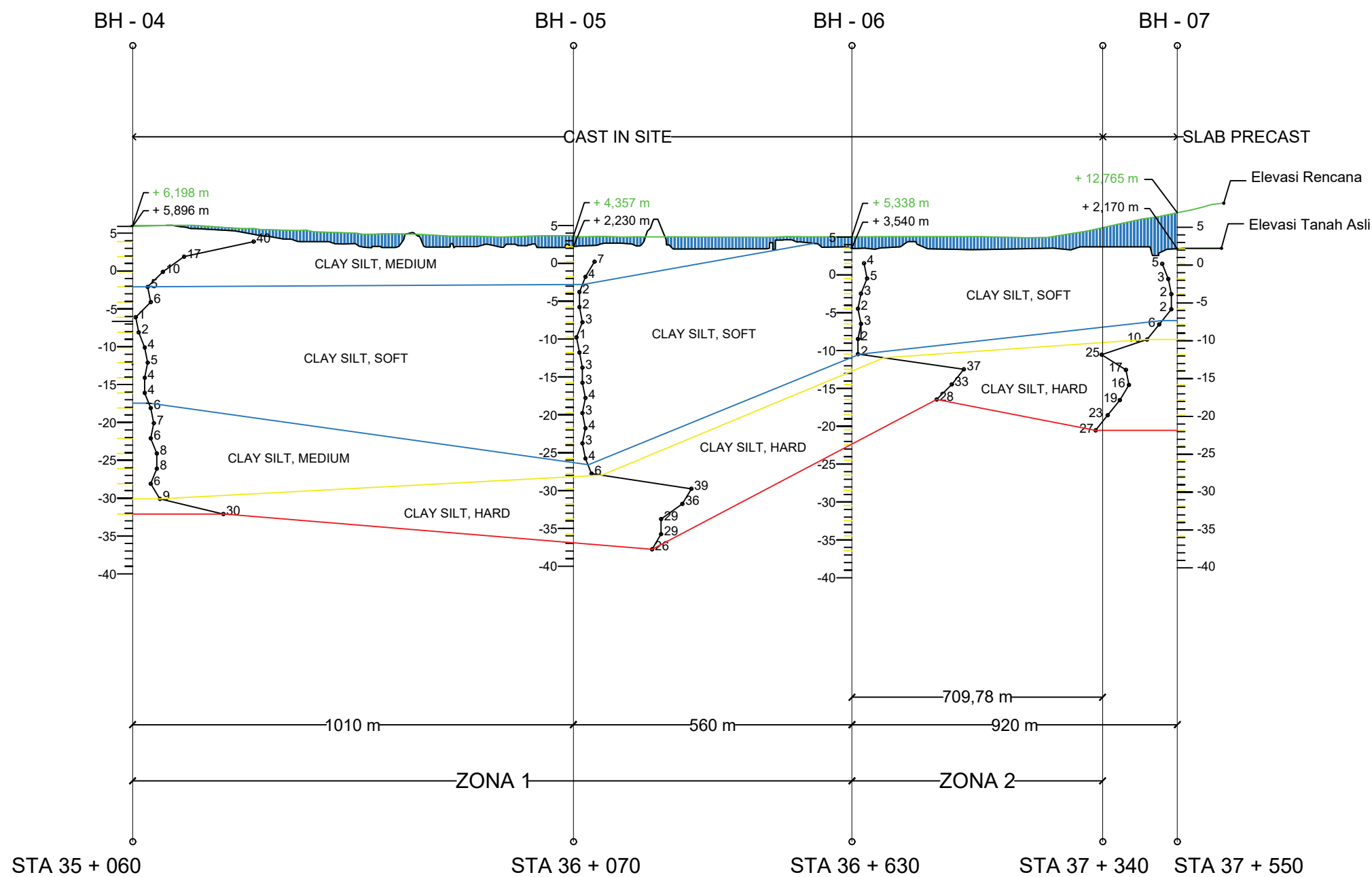
KODE GAMBAR

NO.

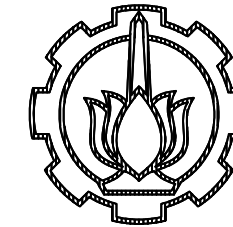
4

JUMLAH

21



POTONGAN MEMANJANG & STRATIGRAFI TANAH BH 04 - BH 07



INSTITUT TEKNOLOGI SEPULUH NOPEMBER
 FAKULTAS VOKASI
 PROGRAM DIPLOMA IV
 TEKNIK INFRASTRUKTUR
 SIPIL

MATA KULIAH

Proyek Akhir Terapan

JUDUL GAMBAR

Potongan Memanjang & Kedalaman Tanah Lunak BH - 04 s.d BH - 07

DOSEN PEMBIMBING

M. Khoiri, ST. MT. PhD

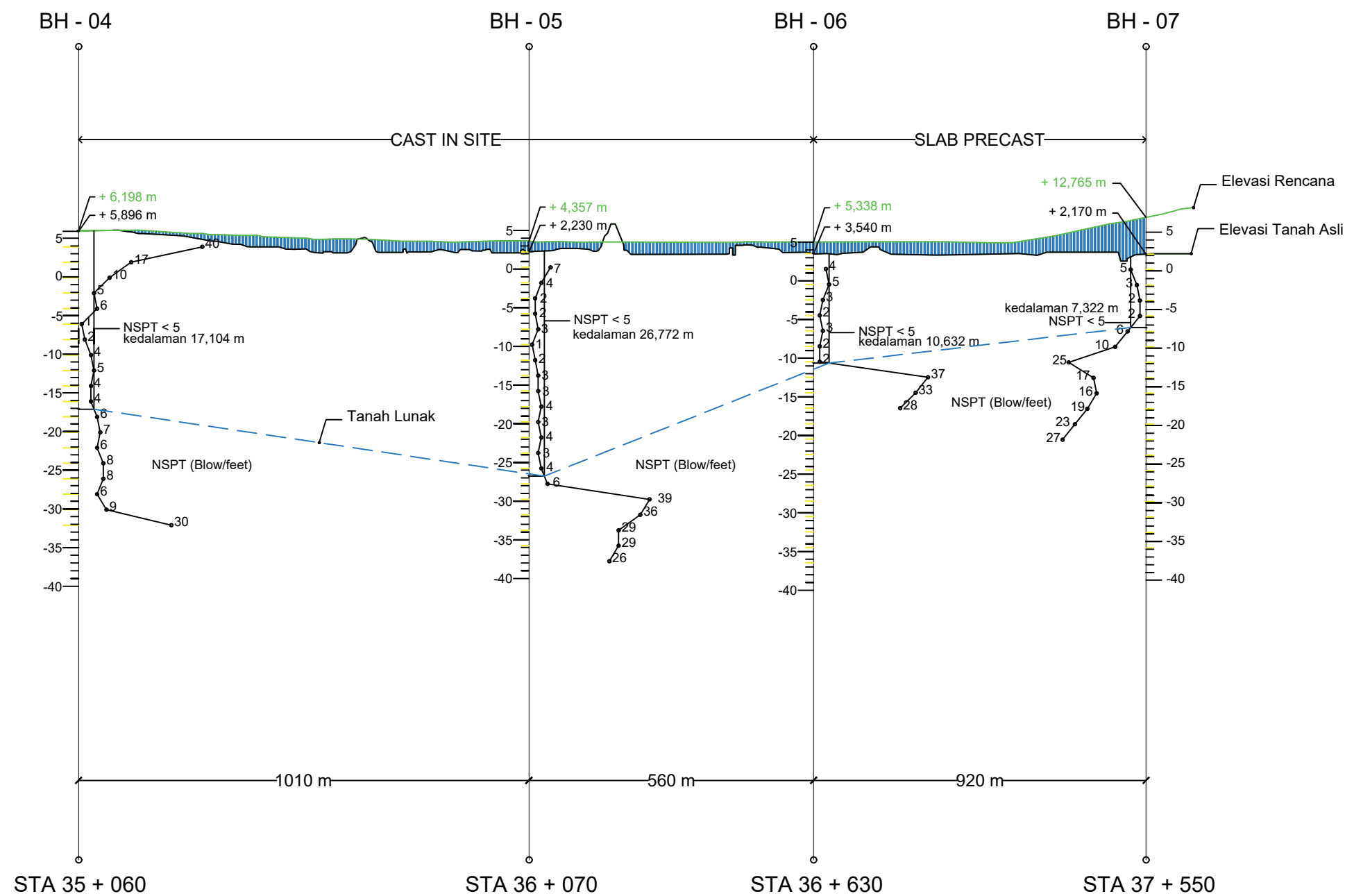
NAMA MAHASISWA

Zakky Rachmadi Ma'ruf
 10111410000019

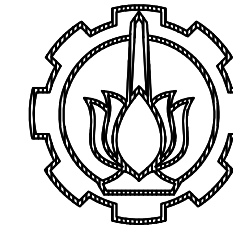
KETERANGAN

KODE GAMBAR

| NO. | JUMLAH |
|-----|--------|
| 5 | 21 |



POTONGAN MEMANJANG & KEDALAMAN TANAH LUNAK BH 04 - BH 07



INSTITUT TEKNOLOGI SEPULUH NOPEMBER
 FAKULTAS VOKASI
 PROGRAM DIPLOMA IV
 TEKNIK INFRASTRUKTUR
 SIPIL

MATA KULIAH

Proyek Akhir Terapan

JUDUL GAMBAR

Potongan Memanjang & Kedalaman Tanah Lunak BH - 04 s.d BH - 07

DOSEN PEMBIMBING

M. Khoiri, ST. MT. PhD

NAMA MAHASISWA

Zakky Rachmadi Ma'ruf
 10111410000019

KETERANGAN

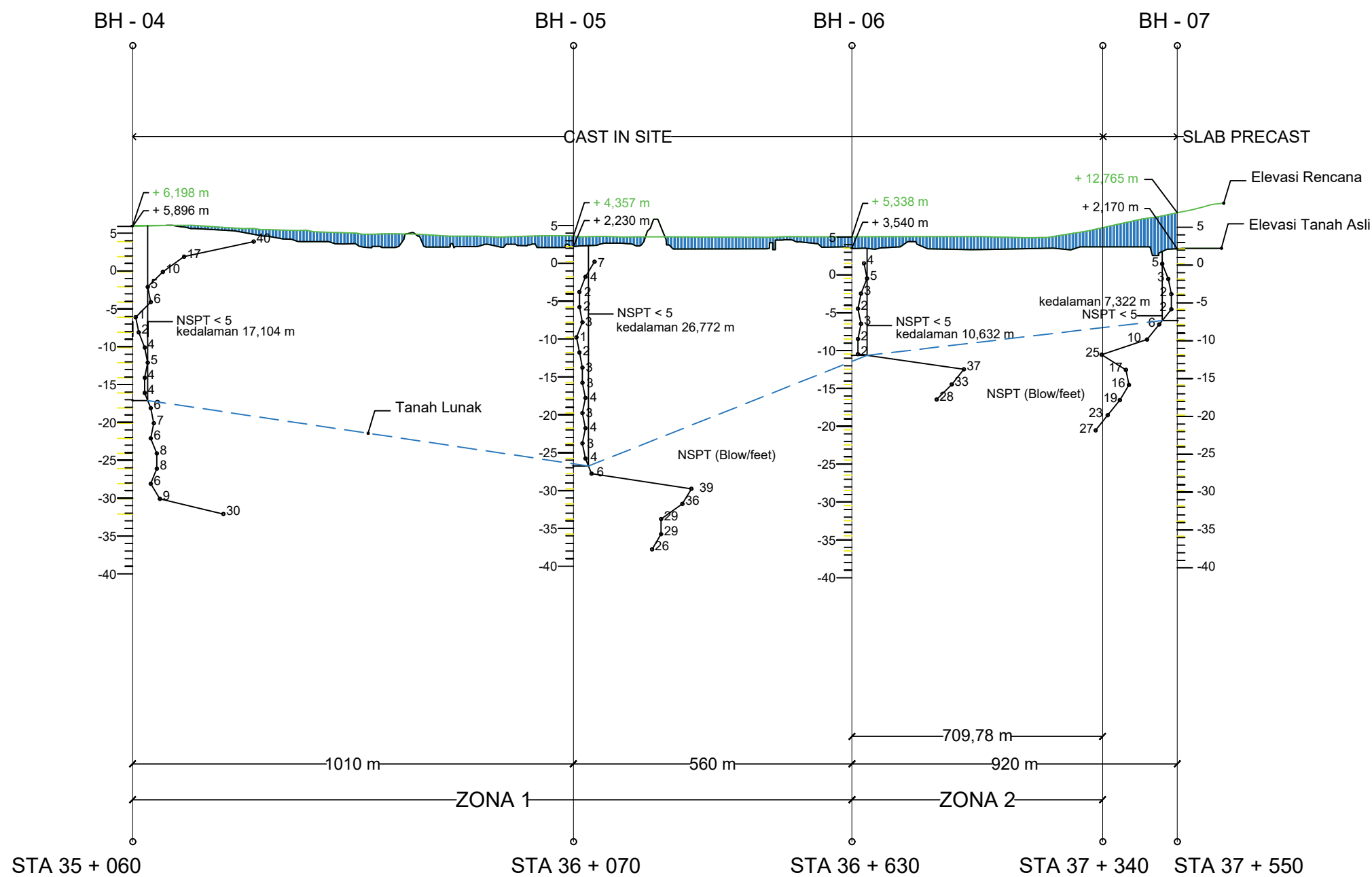
KODE GAMBAR

NO.

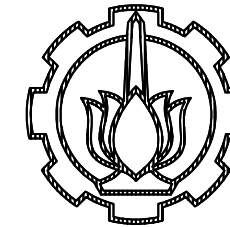
6

JUMLAH

21



POTONGAN MEMANJANG & KEDALAMAN TANAH LUNAK BH 04 - BH 07



INSTITUT TEKNOLOGI SEPULUH NOPEMBER
 FAKULTAS VOKASI
 PROGRAM DIPLOMA IV
 TEKNIK INFRASTRUKTUR
 SIPIL

MATA KULIAH

Proyek Akhir Terapan

JUDUL GAMBAR

Potongan Memanjang & Soil Description

DOSEN PEMBIMBING

M. Khoiri, ST. MT. PhD

NAMA MAHASISWA

Zakky Rachmadi Ma'ruf
 10111410000019

KETERANGAN

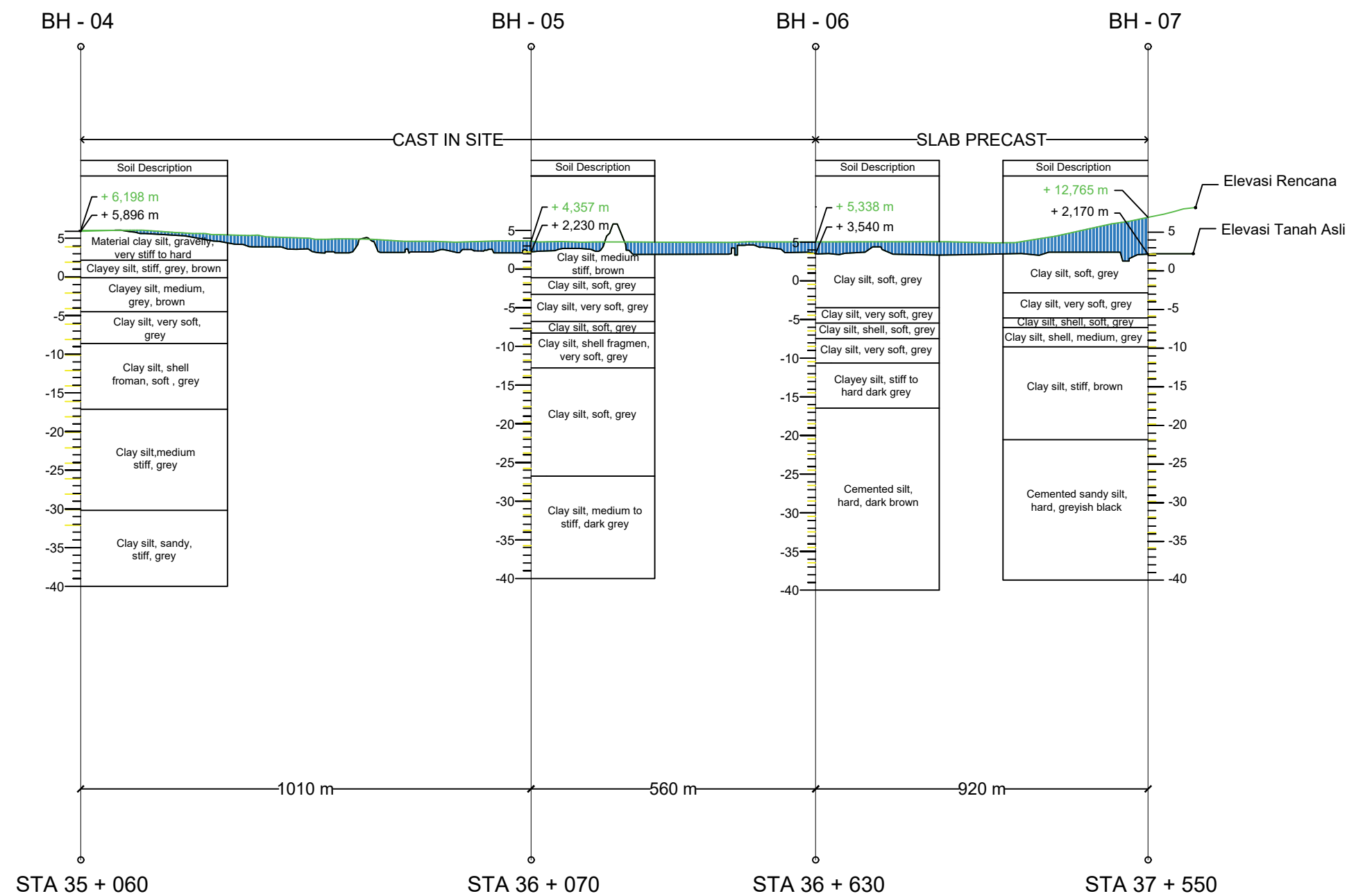
KODE GAMBAR

NO.

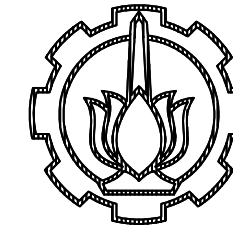
JUMLAH

7

21



POTONGAN MEMANJANG & SOIL DESCRIPTION



INSTITUT TEKNOLOGI SEPULUH NOPEMBER
 FAKULTAS VOKASI
 PROGRAM DIPLOMA IV
 TEKNIK INFRASTRUKTUR
 SIPIL

MATA KULIAH

Proyek Akhir Terapan

JUDUL GAMBAR

Potongan Memanjang & Soil Description

DOSEN PEMBIMBING

M. Khoiri, ST. MT. PhD

NAMA MAHASISWA

Zakky Rachmadi Ma'ruf
 10111410000019

KETERANGAN

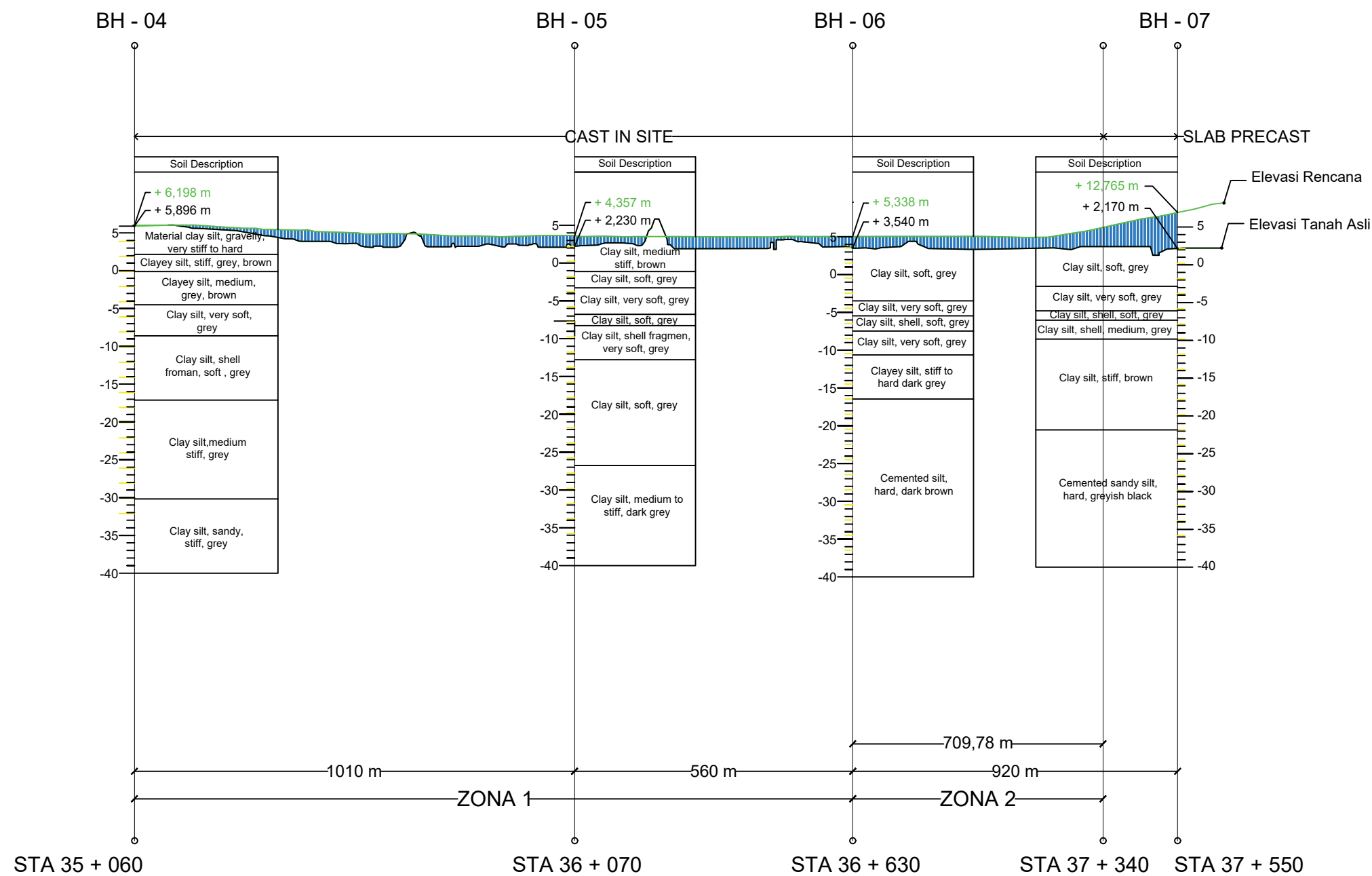
KODE GAMBAR

NO.

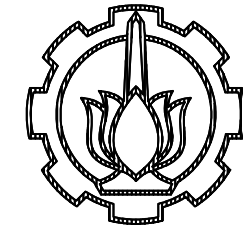
8

JUMLAH

21



POTONGAN MEMANJANG & SOIL DESCRIPTION



INSTITUT TEKNOLOGI SEPULUH NOPEMBER
 FAKULTAS VOKASI
 PROGRAM DIPLOMA IV
 TEKNIK INFRASTRUKTUR
 SIPIL

MATA KULIAH

Proyek Akhir Terapan

JUDUL GAMBAR

Zona PVD dan Tanpa PVD

DOSEN PEMBIMBING

M. Khoiri, ST. MT. PhD

NAMA MAHASISWA

Zakky Rachmadi Ma'ruf
 10111410000019

KETERANGAN

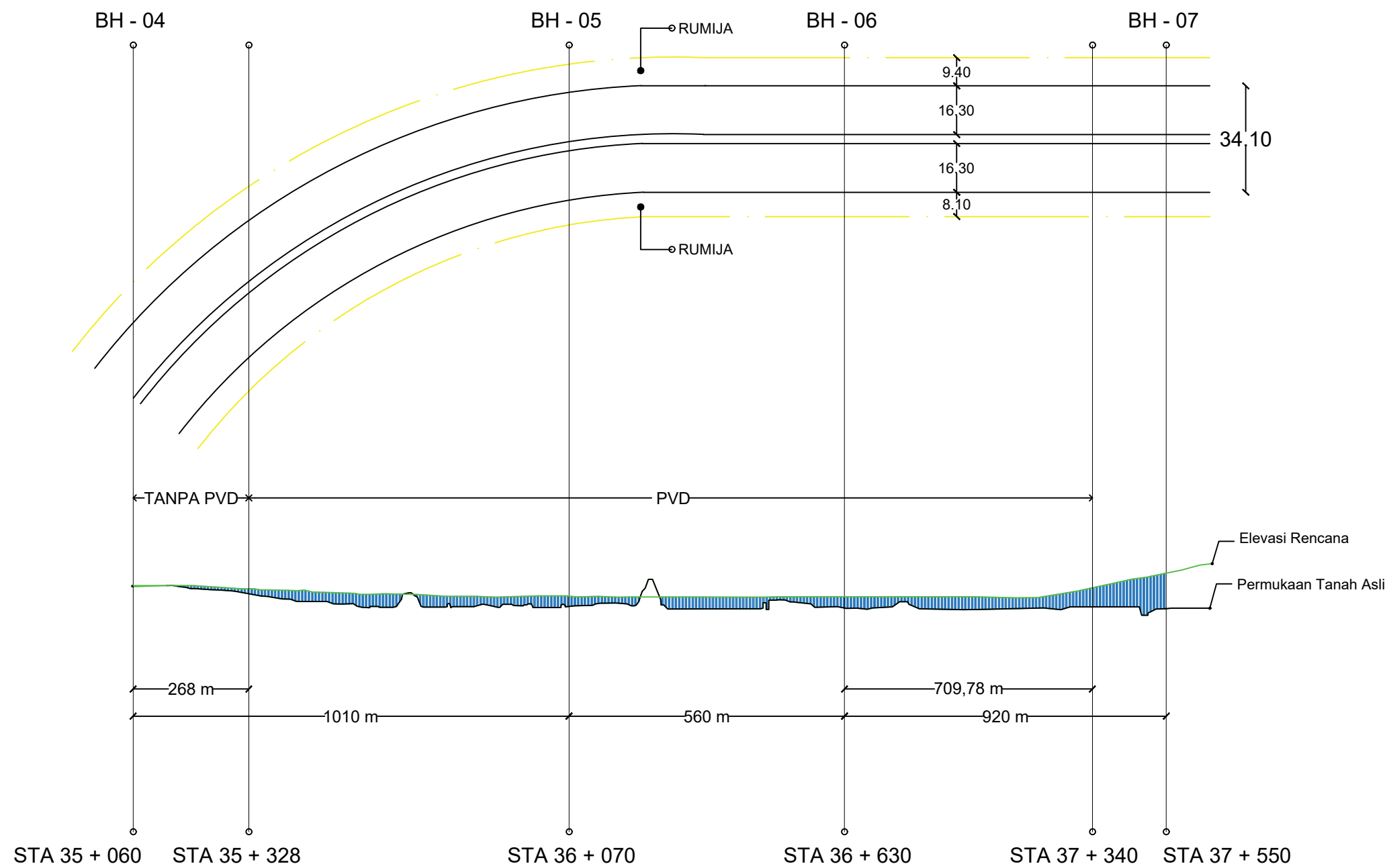
KODE GAMBAR

NO.

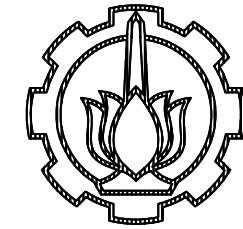
9

JUMLAH

21



ZONA PVD DAN TANPA PVD



INSTITUT TEKNOLOGI SEPULUH NOPEMBER
 FAKULTAS VOKASI
 PROGRAM DIPLOMA IV
 TEKNIK INFRASTRUKTUR
 SIPIL

MATA KULIAH

Proyek Akhir Terapan

JUDUL GAMBAR

DENAH LOKASI DAN POTONGAN MEMANJANG

DOSEN PEMBIMBING

M. Khoiri, ST. MT. PhD

NAMA MAHASISWA

Zakky Rachmadi Ma'ruf
 1011141000019

KETERANGAN

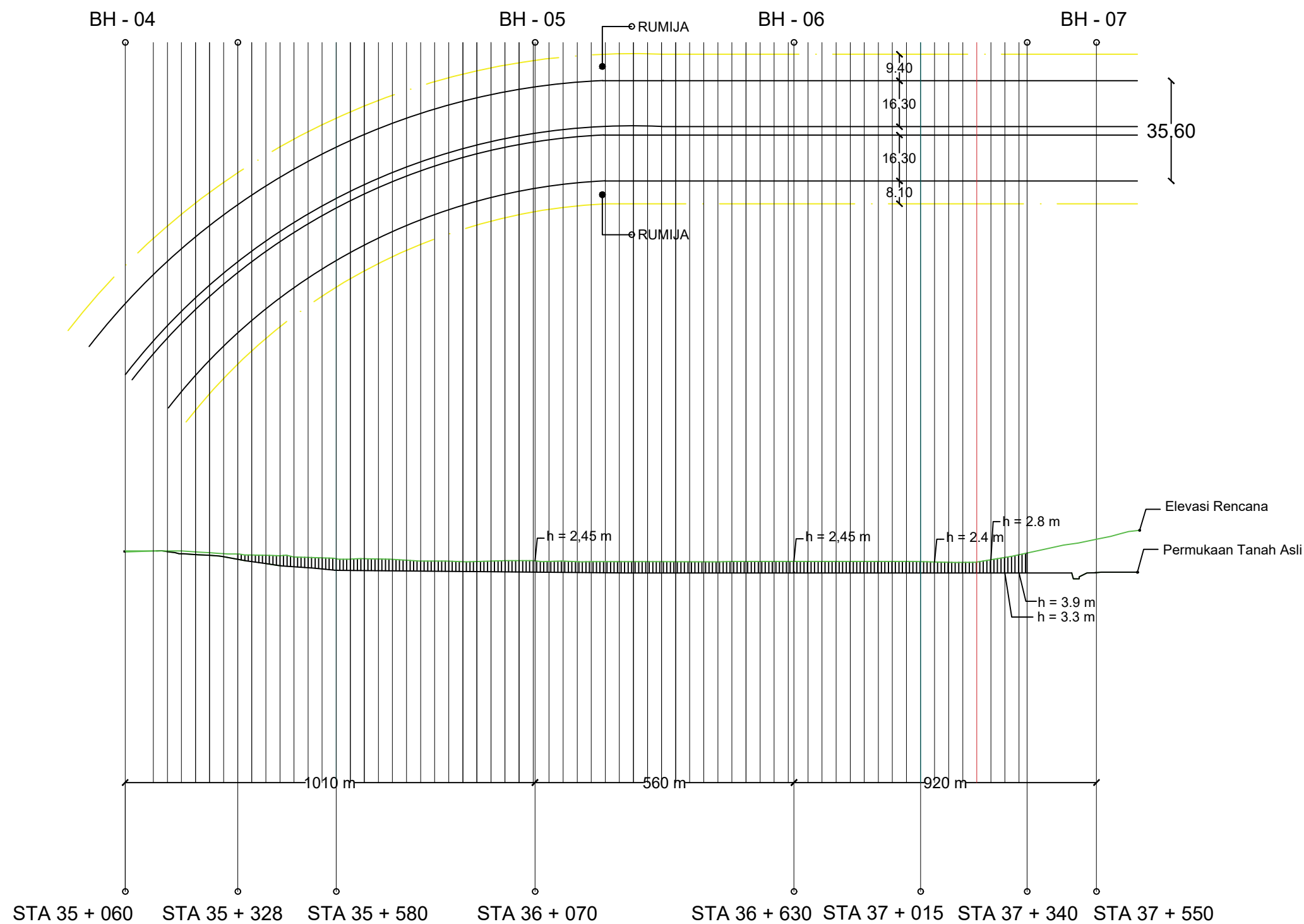
KODE GAMBAR

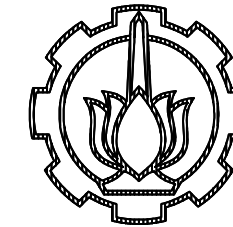
NO.

JUMLAH

10

21





INSTITUT TEKNOLOGI SEPULUH NOPEMBER
 FAKULTAS VOKASI
 PROGRAM DIPLOMA IV
 TEKNIK INFRASTRUKTUR
 SIPIL

MATA KULIAH

Proyek Akhir Terapan

JUDUL GAMBAR

Tipikal Potongan Melintang Pile Slab

DOSEN PEMBIMBING

M. Khoiri, ST. MT. PhD

NAMA MAHASISWA

Zakky Rachmadi Ma'ruf
 1011141000019

KETERANGAN

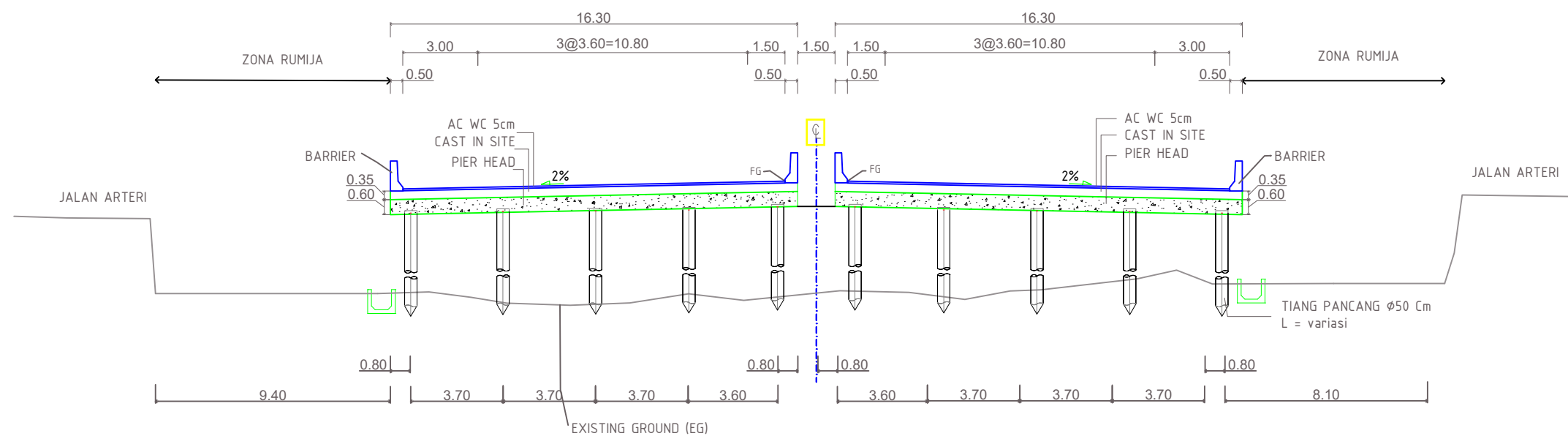
KODE GAMBAR

NO.

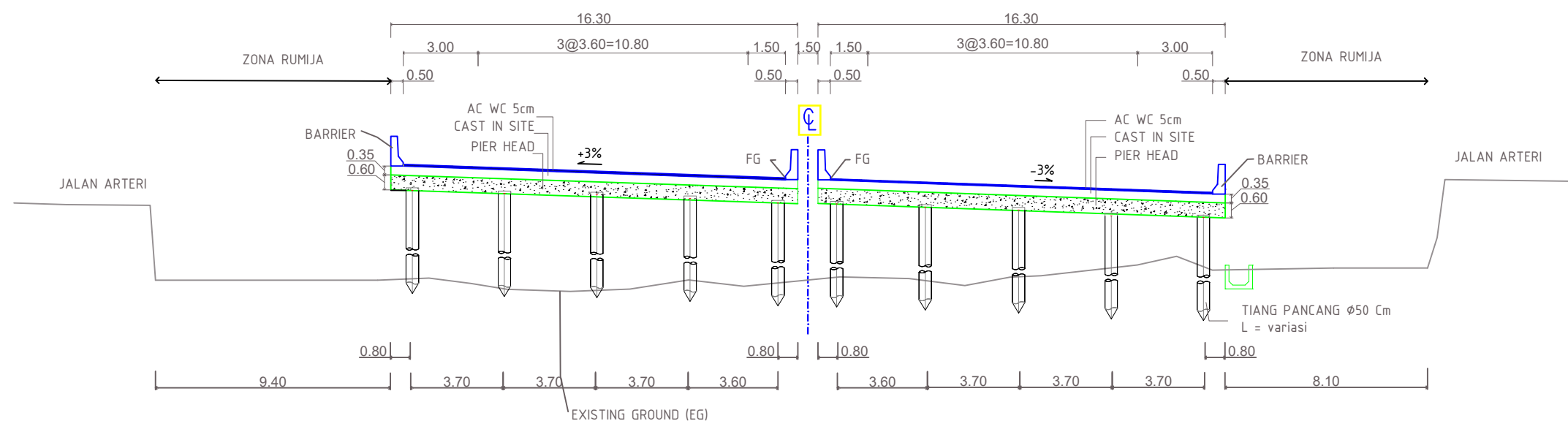
11

JUMLAH

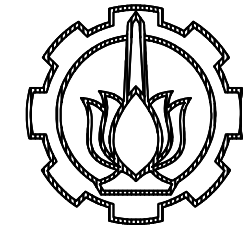
21



TIPIKAL POTONGAN MELINTANG PILE SLAB STA 35 + 475 - 36 + 625



TIPIKAL POTONGAN MELINTANG PILE SLAB STA 35 + 060 - 35 + 450



INSTITUT TEKNOLOGI SEPULUH NOPEMBER
 FAKULTAS VOKASI
 PROGRAM DIPLOMA IV
 TEKNIK INFRASTRUKTUR
 SIPIL

MATA KULIAH

Proyek Akhir Terapan

JUDUL GAMBAR

Potongan Melintang BH - 05

DOSEN PEMBIMBING

M. Khoiri, ST. MT. PhD

NAMA MAHASISWA

Zakky Rachmadi Ma'ruf
 1011141000019

KETERANGAN

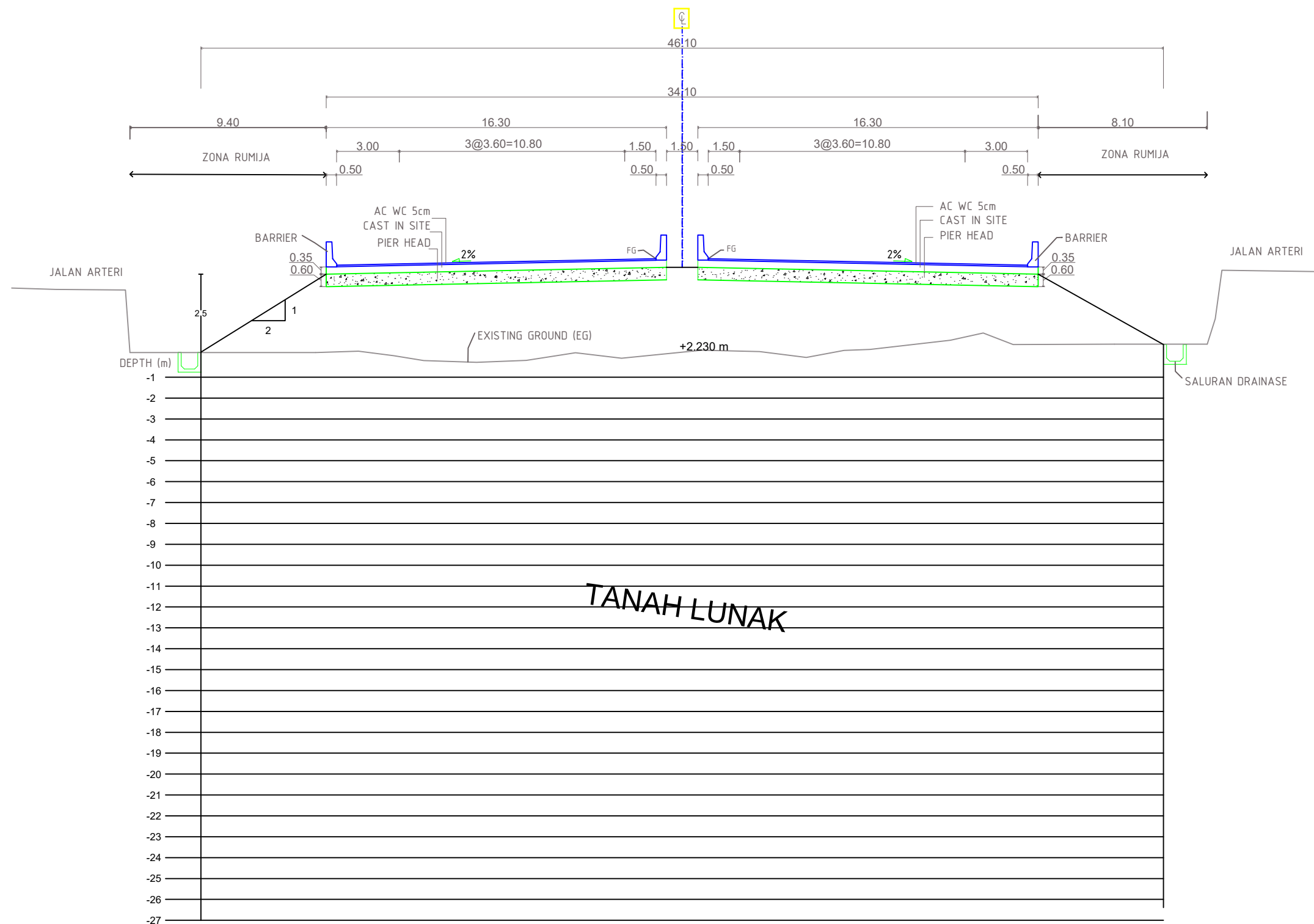
KODE GAMBAR

NO.

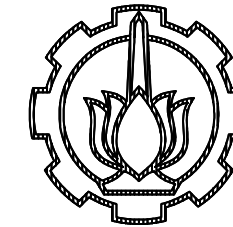
12

JUMLAH

21



POTONGAN MELINTANG PADA BH - 05 DENGAN KEDALAMAN TANAH LUNAK 27 m



INSTITUT TEKNOLOGI SEPULUH NOPEMBER
 FAKULTAS VOKASI
 PROGRAM DIPLOMA IV
 TEKNIK INFRASTRUKTUR
 SIPIL

MATA KULIAH

Proyek Akhir Terapan

JUDUL GAMBAR

Potongan Melintang BH - 06

DOSEN PEMBIMBING

M. Khoiri, ST. MT. PhD

NAMA MAHASISWA

Zakky Rachmadi Ma'ruf
 1011141000019

KETERANGAN

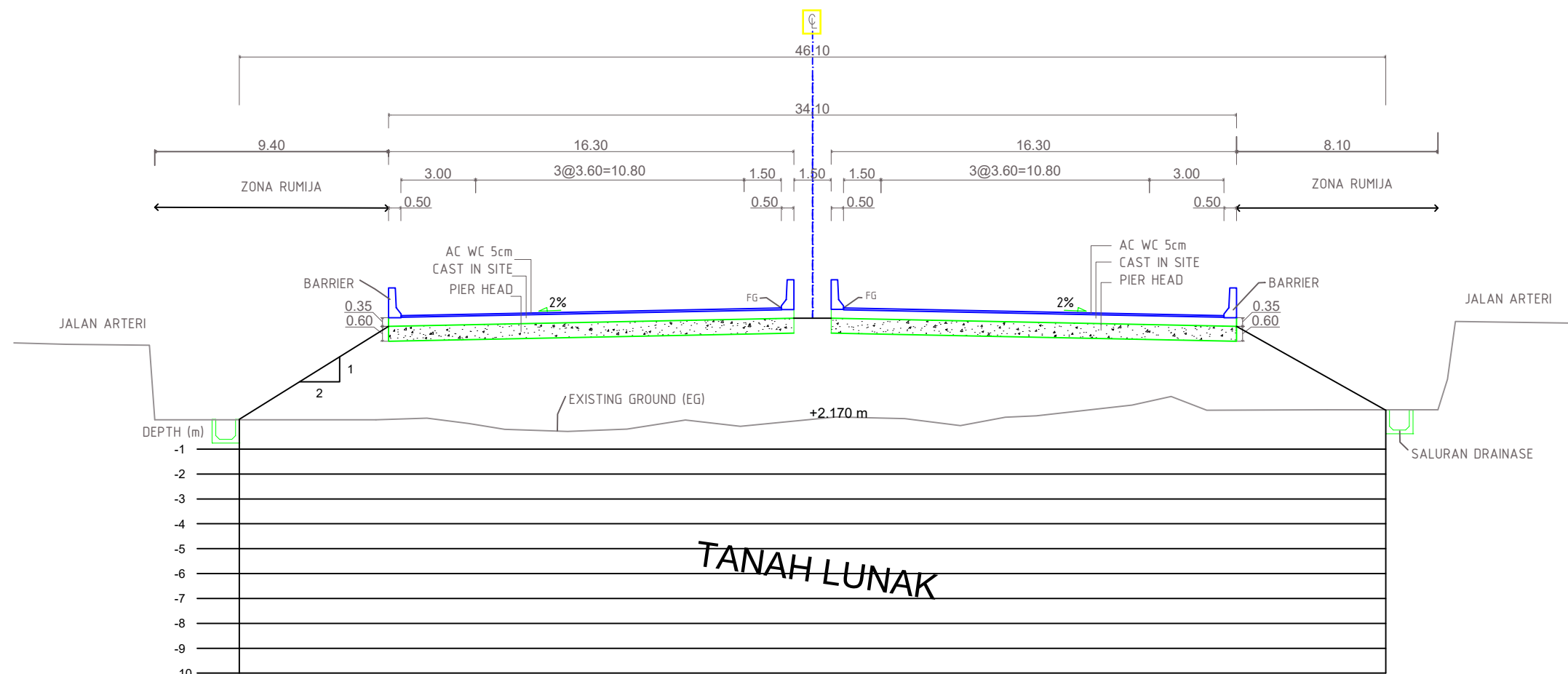
KODE GAMBAR

NO.

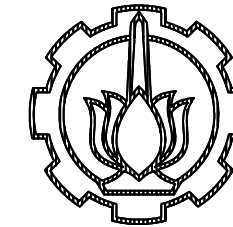
13

JUMLAH

21



POTONGAN MELINTANG PADA BH - 06 DENGAN KEDALAMAN TANAH LUNAK 10 m



INSTITUT TEKNOLOGI SEPULUH NOPEMBER
 FAKULTAS VOKASI
 PROGRAM DIPLOMA IV
 TEKNIK INFRASTRUKTUR
 SIPIL

MATA KULIAH

Proyek Akhir Terapan

JUDUL GAMBAR

Potongan Melintang STA 36+070 s.d
 36+630

DOSEN PEMBIMBING

M. Khoiri, ST. MT. PhD

NAMA MAHASISWA

Zakky Rachmadi Ma'ruf
 10111410000019

KETERANGAN

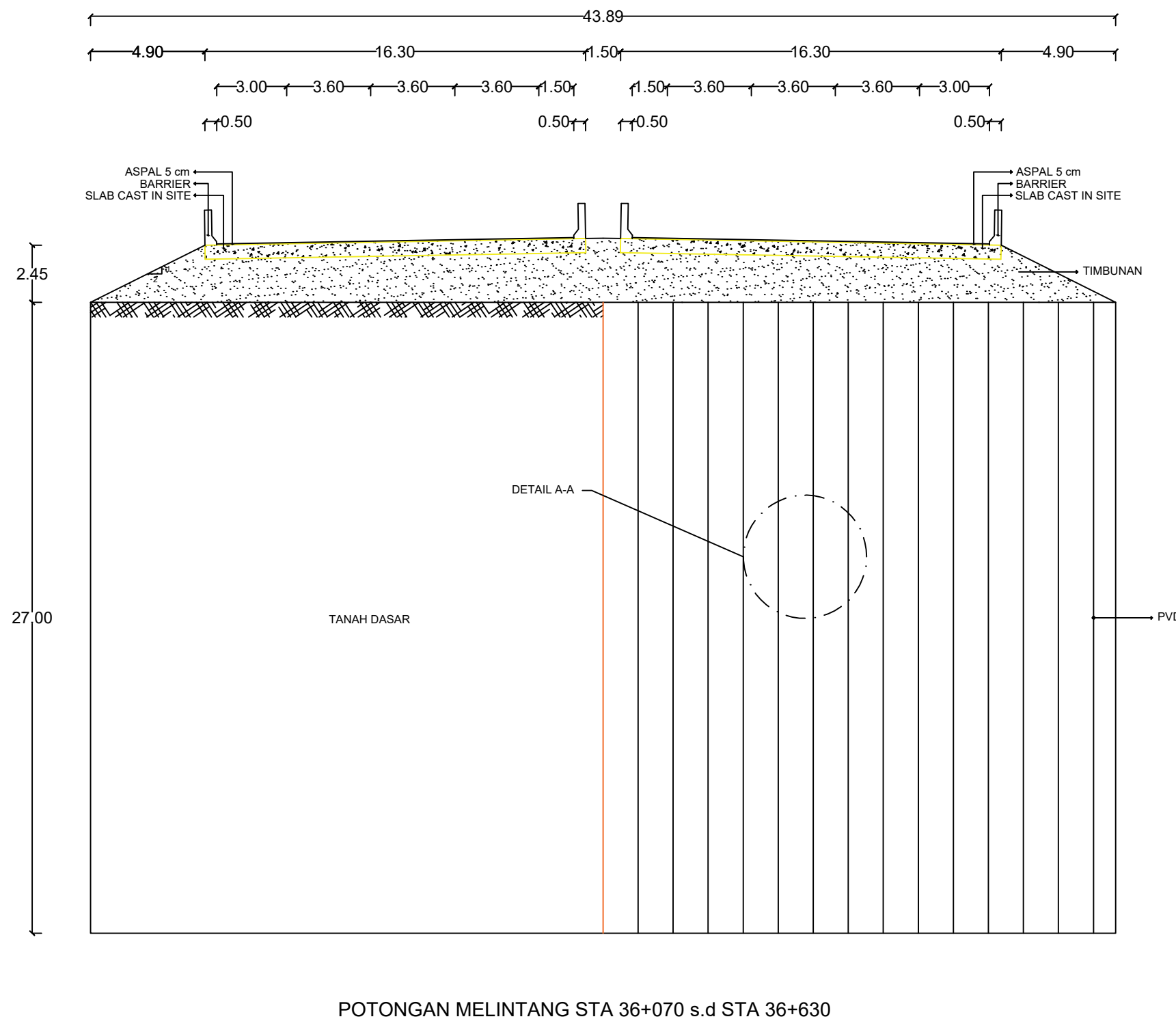
KODE GAMBAR

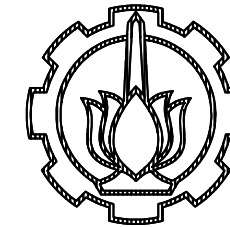
NO.

14

JUMLAH

21





INSTITUT TEKNOLOGI SEPULUH NOPEMBER
 FAKULTAS VOKASI
 PROGRAM DIPLOMA IV
 TEKNIK INFRASTRUKTUR
 SIPIL

MATA KULIAH

Proyek Akhir Terapan

JUDUL GAMBAR

Potongan Melintang STA 37+015 s.d
 37+186 dan STA 37+303

DOSEN PEMBIMBING

M. Khoiri, ST. MT. PhD

NAMA MAHASISWA

Zakky Rachmadi Ma'ruf
 10111410000019

KETERANGAN

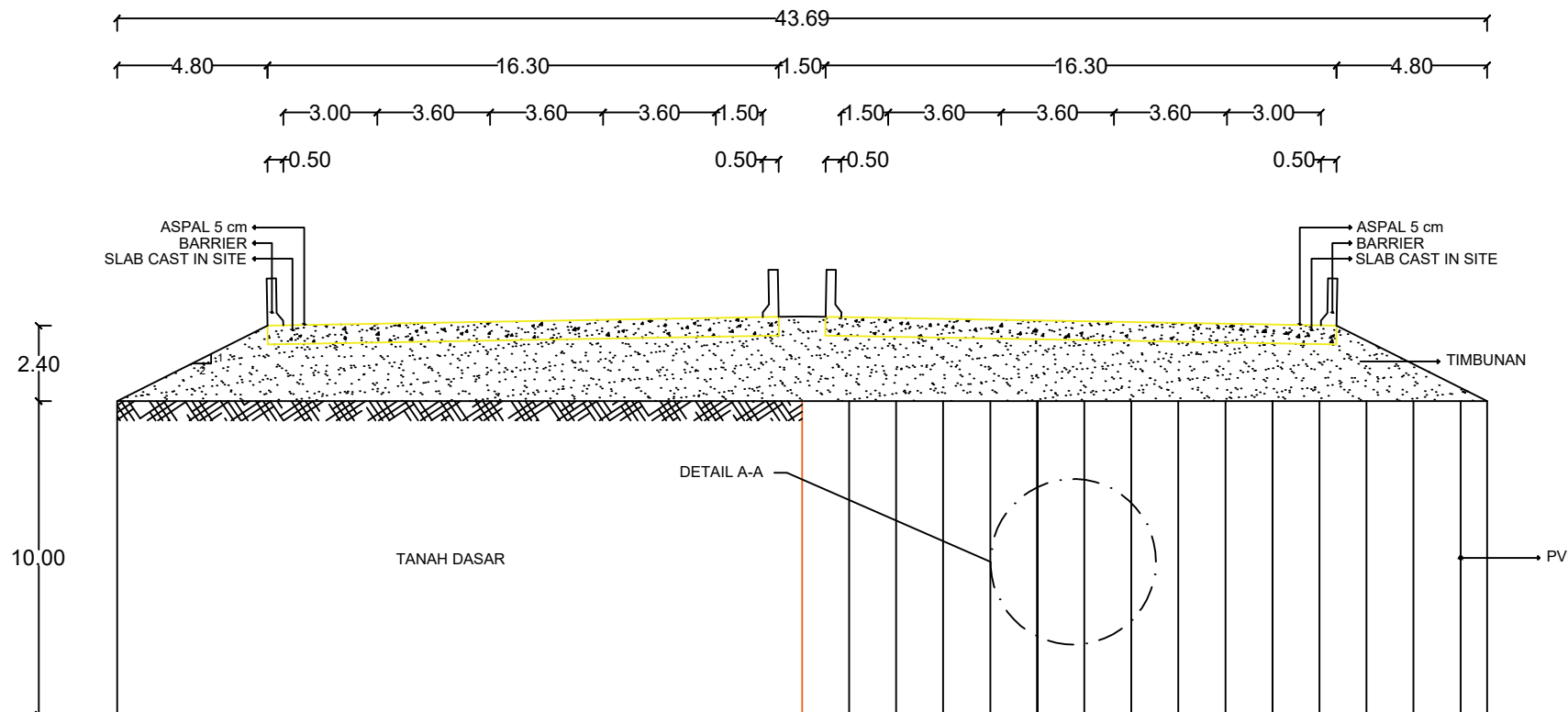
KODE GAMBAR

NO.

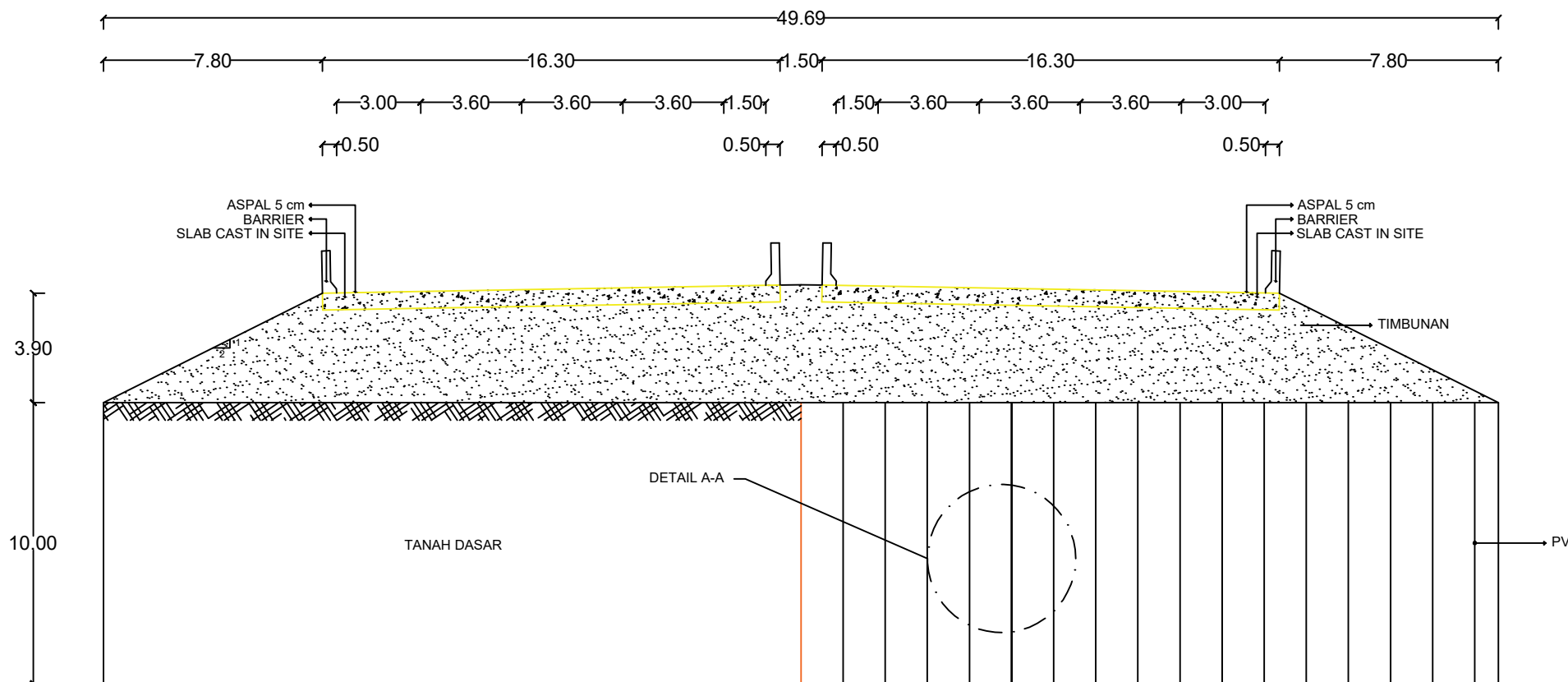
15

JUMLAH

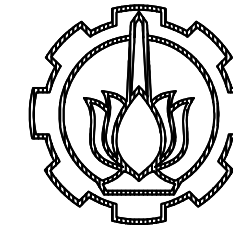
21



POTONGAN MELINTANG STA 37+015 s.d STA 37+186



POTONGAN MELINTANG STA 37+303



INSTITUT TEKNOLOGI SEPULUH NOPEMBER
 FAKULTAS VOKASI
 PROGRAM DIPLOMA IV
 TEKNIK INFRASTRUKTUR
 SIPIL

MATA KULIAH

Proyek Akhir Terapan

JUDUL GAMBAR

Potongan Melintang STA 37+225 s.d
 37+264

DOSEN PEMBIMBING

M. Khoiri, ST. MT. PhD

NAMA MAHASISWA

Zakky Rachmadi Ma'ruf
 10111410000019

KETERANGAN

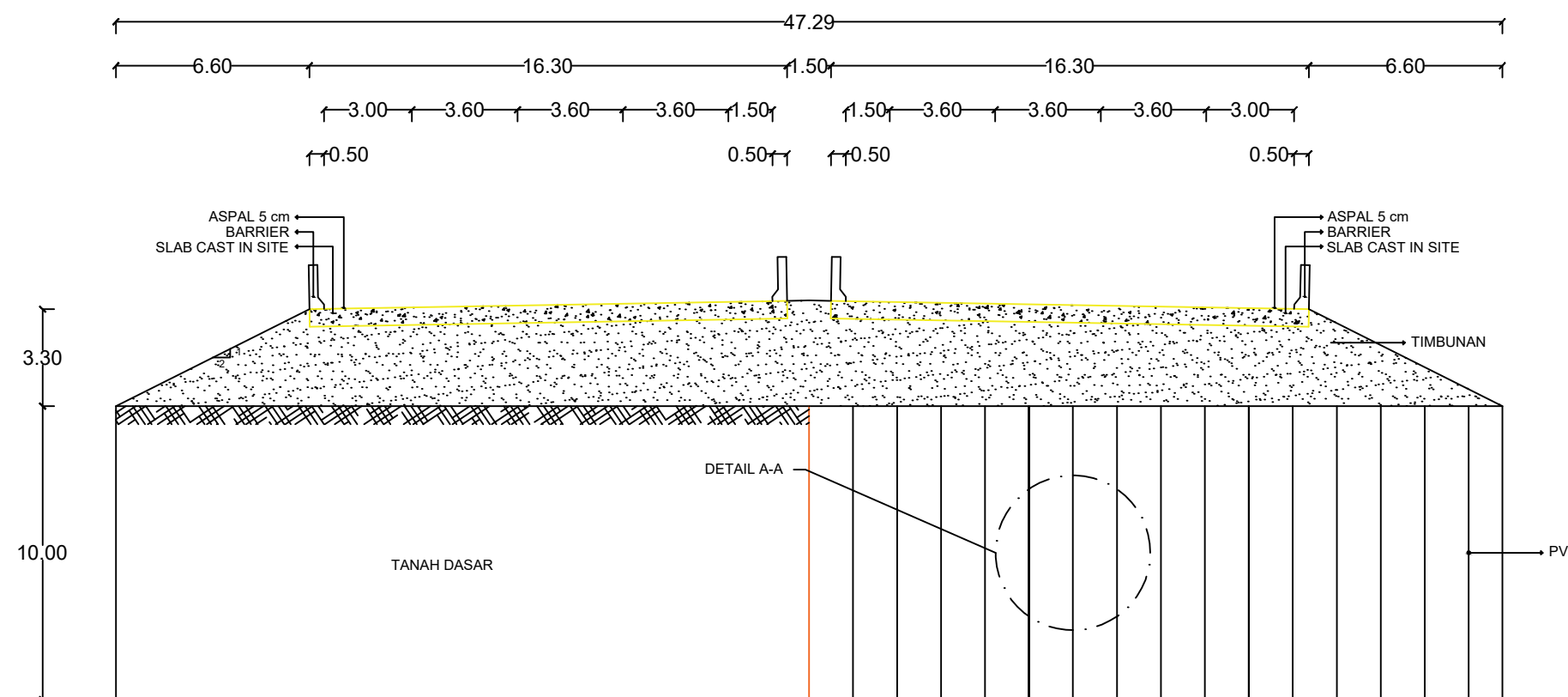
KODE GAMBAR

NO.

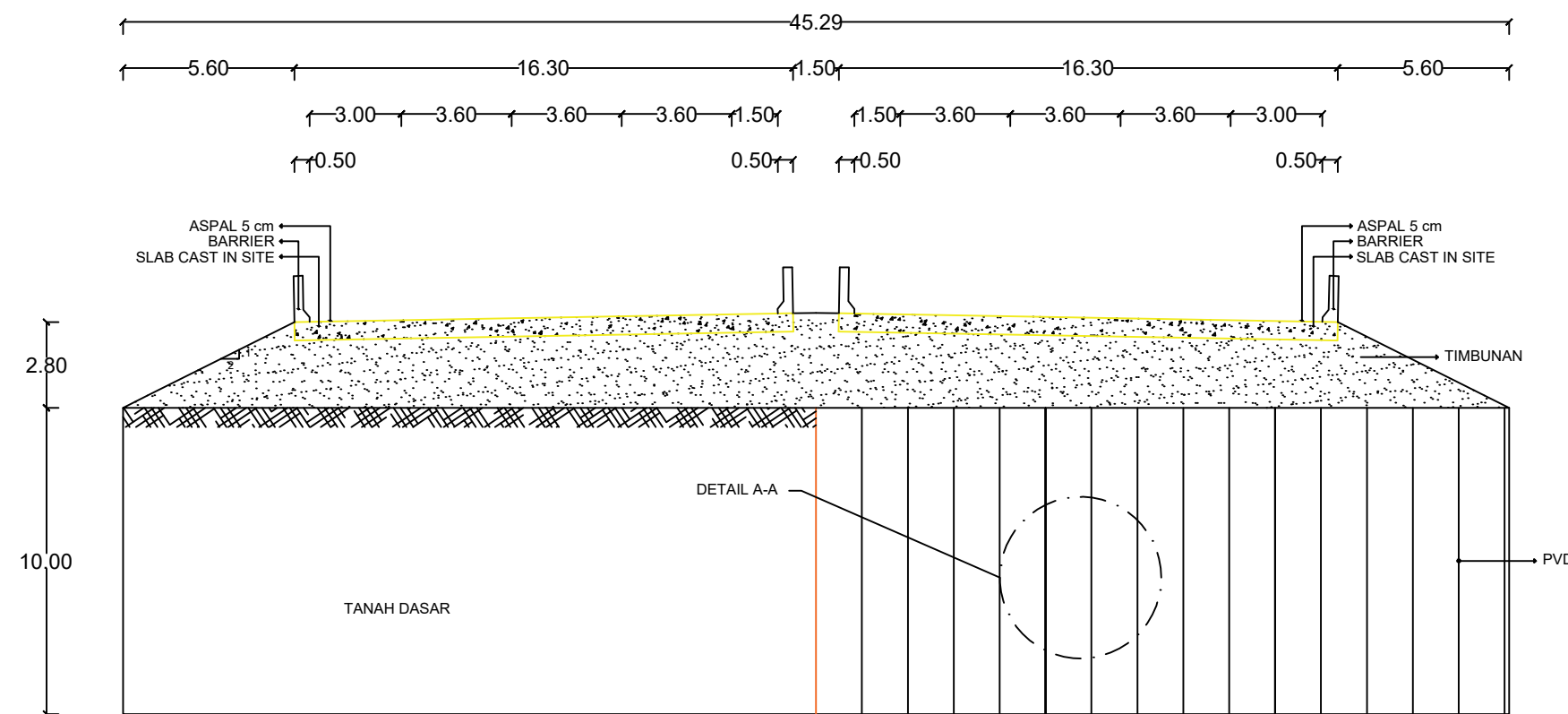
16

JUMLAH

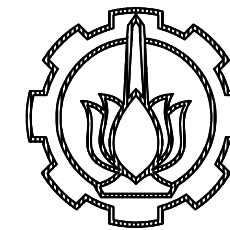
21



POTONGAN MELINTANG STA 37+264



POTONGAN MELINTANG STA 37+225



INSTITUT TEKNOLOGI SEPULUH NOPEMBER
FAKULTAS VOKASI
PROGRAM DIPLOMA IV
TEKNIK INFRASTRUKTUR
SIPIL

MATA KULIAH

Proyek Akhir Terapan

JUDUL GAMBAR

Detail A-A

DOSEN PEMBIMBING

M. Khoiri, ST. MT. PhD

NAMA MAHASISWA

Zakky Rachmadi Ma'ruf
1011141000019

KETERANGAN

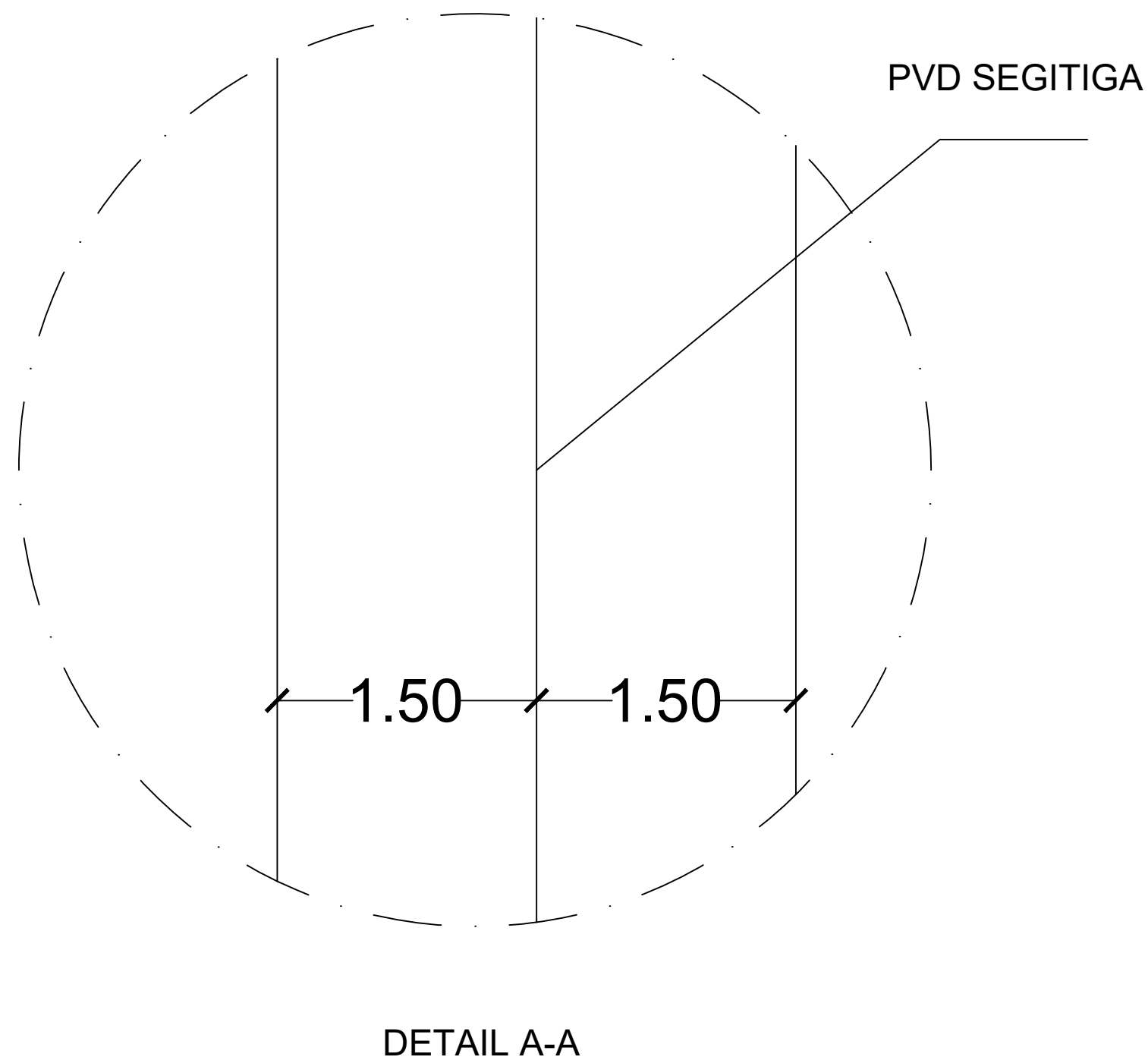
KODE GAMBAR

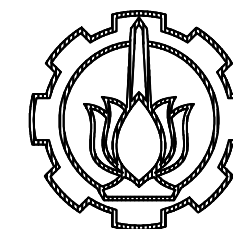
NO.

17

JUMLAH

21





INSTITUT TEKNOLOGI SEPULUH NOPEMBER
 FAKULTAS VOKASI
 PROGRAM DIPLOMA IV
 TEKNIK INFRASTRUKTUR
 SIPIL

MATA KULIAH

Proyek Akhir Terapan

JUDUL GAMBAR

Potongan Memanjang STA 36+070 s.d
 36+630 dan Detail 1-1

DOSEN PEMBIMBING

M. Khoiri, ST. MT. PhD

NAMA MAHASISWA

Zakky Rachmadi Ma'ruf
 10111410000019

KETERANGAN

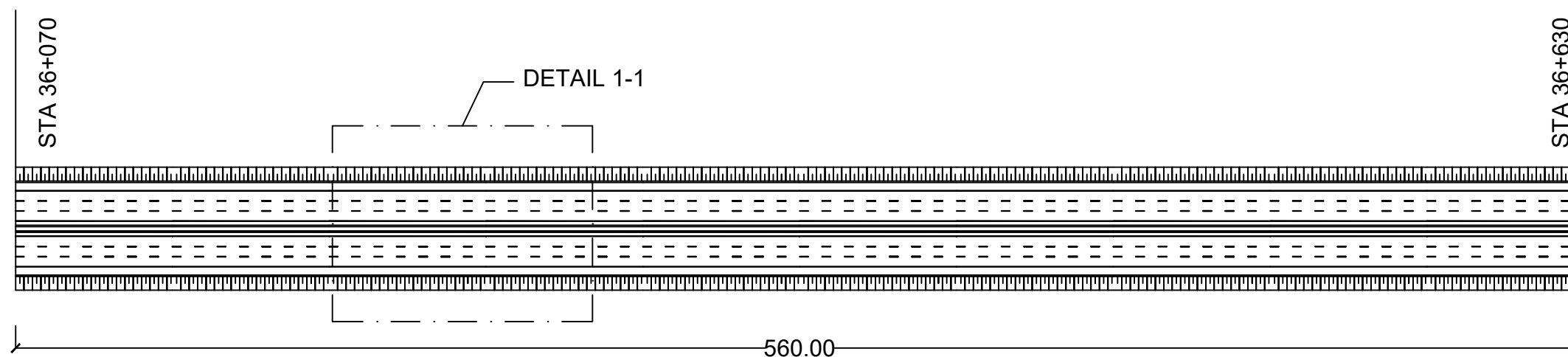
KODE GAMBAR

NO.

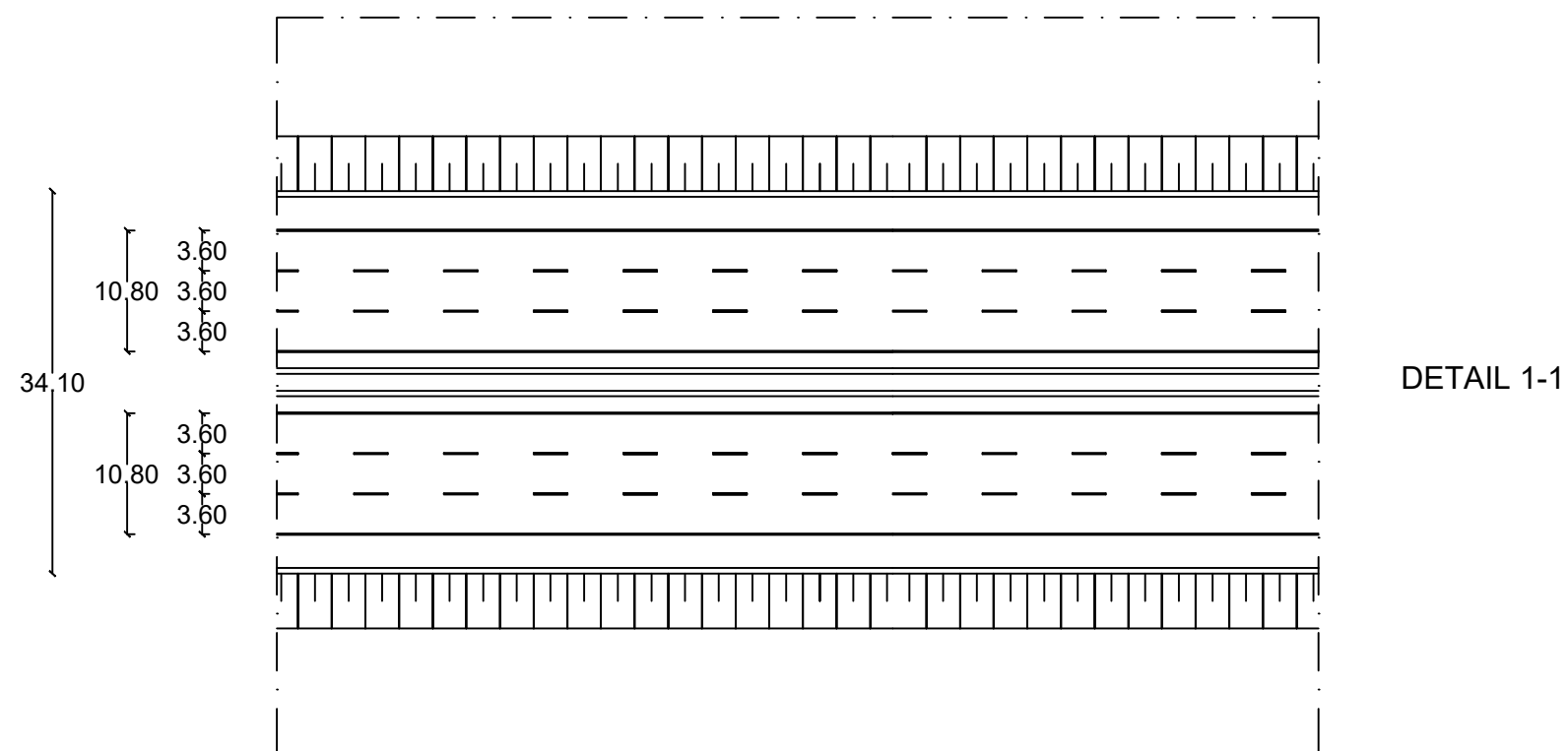
18

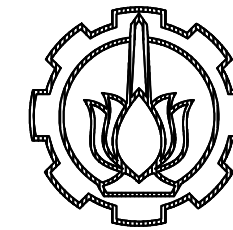
JUMLAH

21



POTONGAN MEMANJANG STA 36+070 s.d STA 36+630





INSTITUT TEKNOLOGI SEPULUH NOPEMBER
FAKULTAS VOKASI
PROGRAM DIPLOMA IV
TEKNIK INFRASTRUKTUR
SIPIL

MATA KULIAH

Proyek Akhir Terapan

JUDUL GAMBAR

Potongan Memanjang STA 36+070 s.d
36+630 dan Detail 1-1

DOSEN PEMBIMBING

M. Khoiri, ST. MT. PhD

NAMA MAHASISWA

Zakky Rachmadi Ma'ruf
10111410000019

KETERANGAN

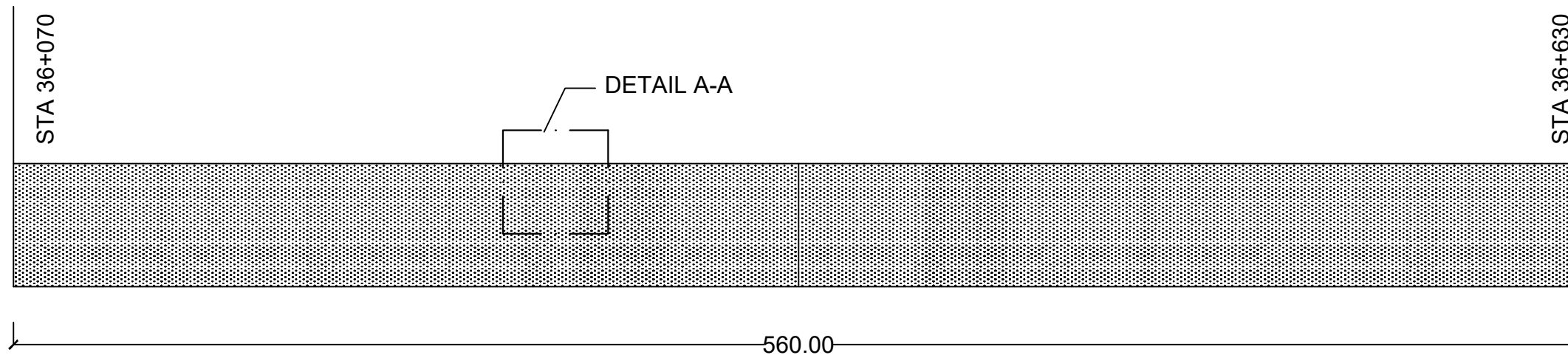
KODE GAMBAR

NO.

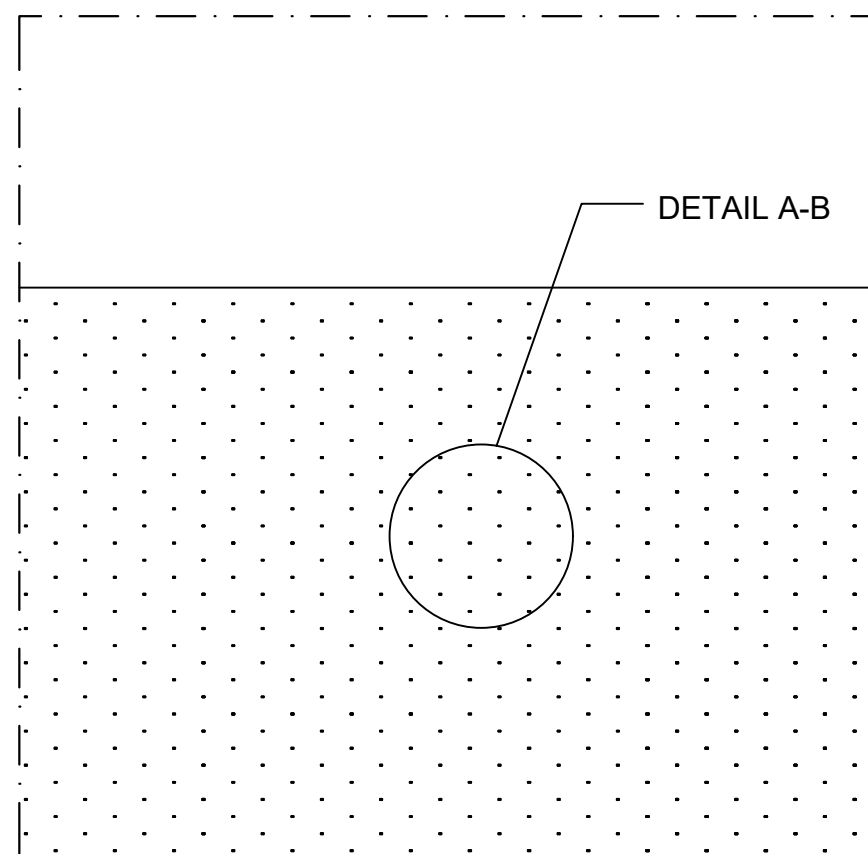
19

JUMLAH

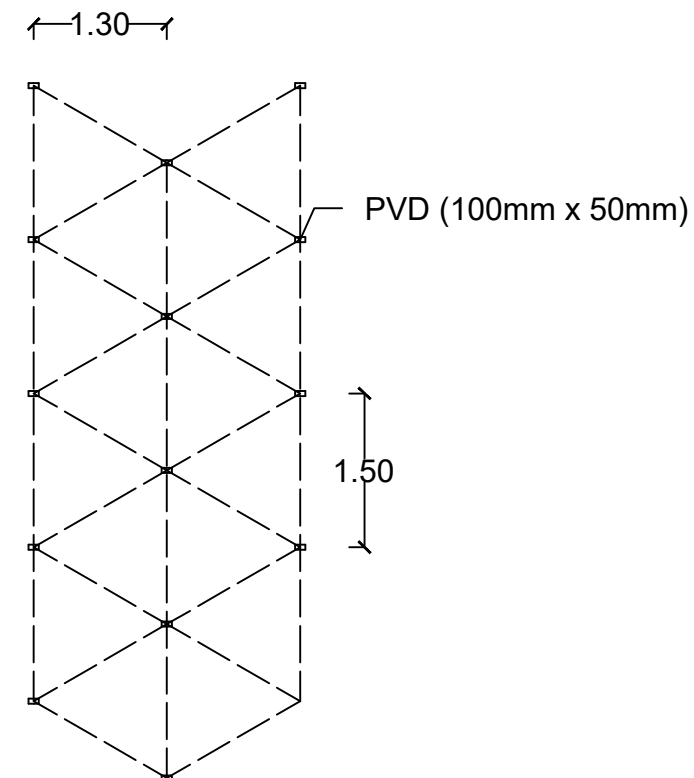
21



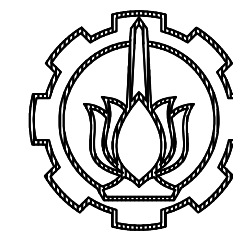
POTONGAN MEMANJANG STA 36+070 s.d STA 36+630



DETAIL A-A



DETAIL A-B



INSTITUT TEKNOLOGI SEPULUH NOPEMBER
 FAKULTAS VOKASI
 PROGRAM DIPLOMA IV
 TEKNIK INFRASTRUKTUR
 SIPIL

MATA KULIAH

Proyek Akhir Terapan

JUDUL GAMBAR

Potongan Memanjang STA 36+070 s.d
 36+630 dan Detail 1-1

DOSEN PEMBIMBING

M. Khoiri, ST. MT. PhD

NAMA MAHASISWA

Zakky Rachmadi Ma'ruf
 10111410000019

KETERANGAN

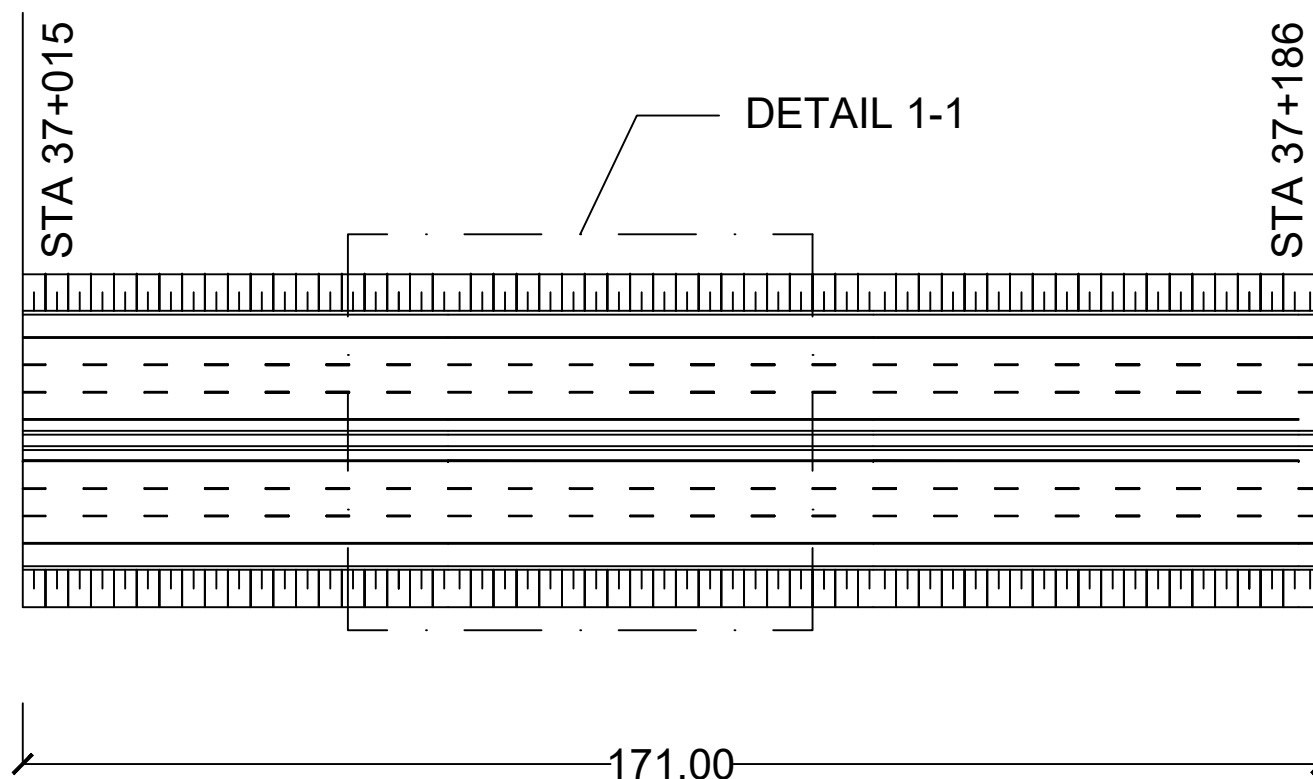
KODE GAMBAR

NO.

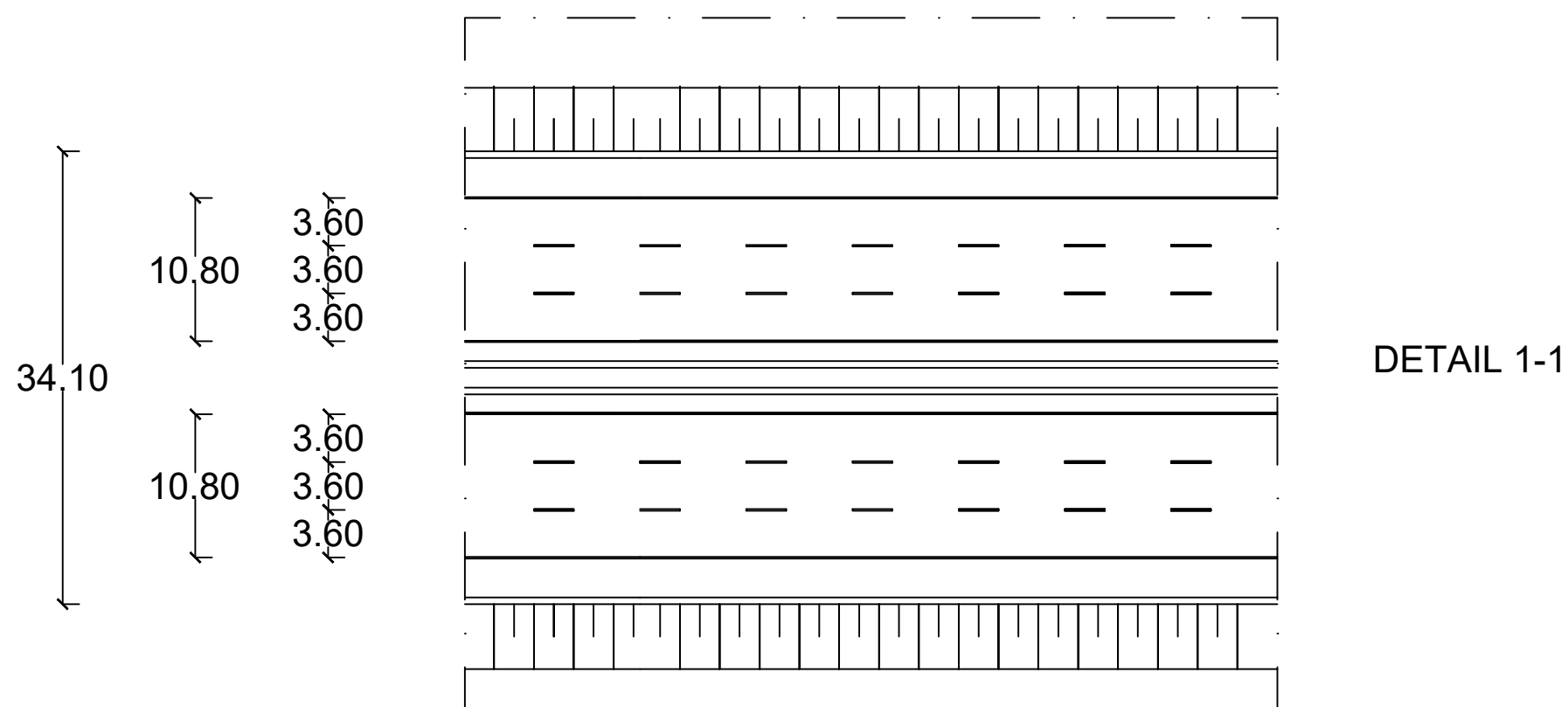
20

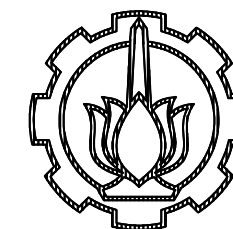
JUMLAH

21



POTONGAN MEMANJANG STA 37+015 s.d STA 37+186





INSTITUT TEKNOLOGI SEPULUH NOPEMBER
 FAKULTAS VOKASI
 PROGRAM DIPLOMA IV
 TEKNIK INFRASTRUKTUR
 SIPIL

MATA KULIAH

Proyek Akhir Terapan

JUDUL GAMBAR

Potongan Memanjang STA 36+070 s.d
 36+630 dan Detail 1-1

DOSEN PEMBIMBING

M. Khoiri, ST. MT. PhD

NAMA MAHASISWA

Zakky Rachmadi Ma'ruf
 1011141000019

KETERANGAN

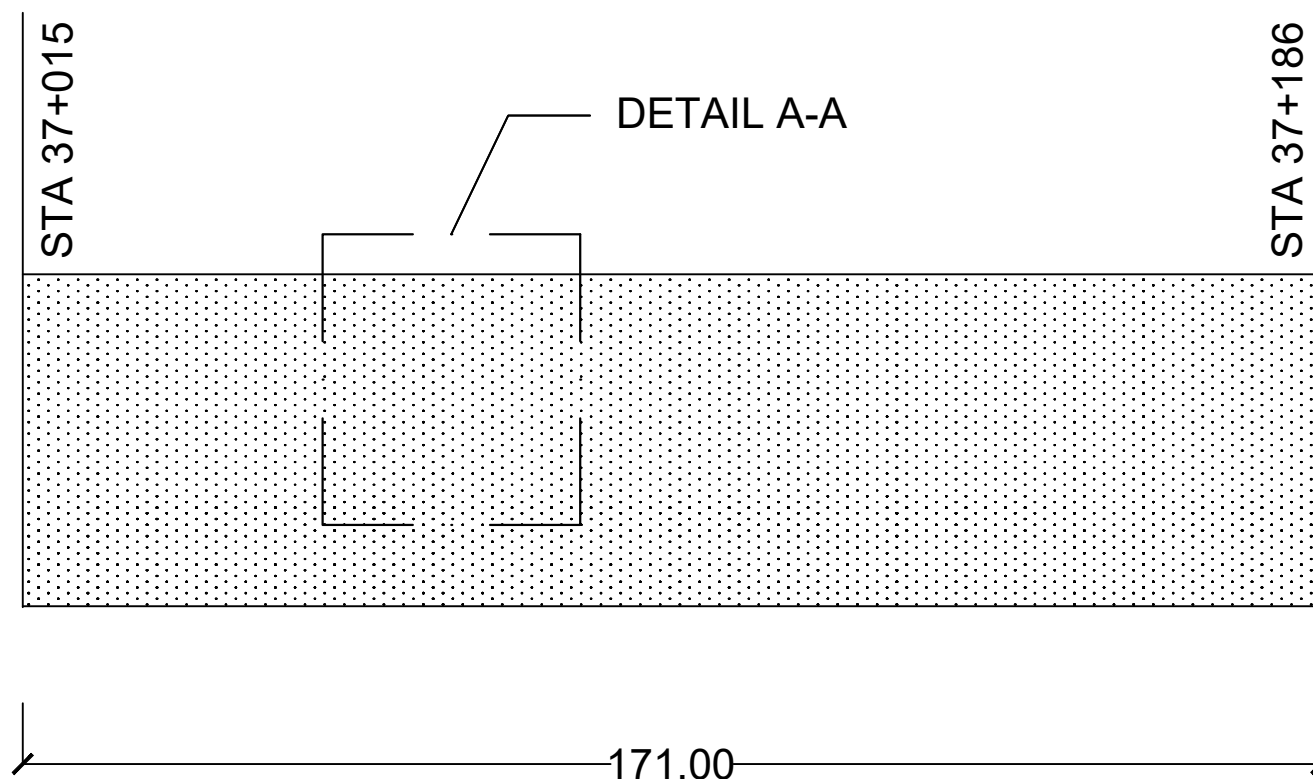
KODE GAMBAR

NO.

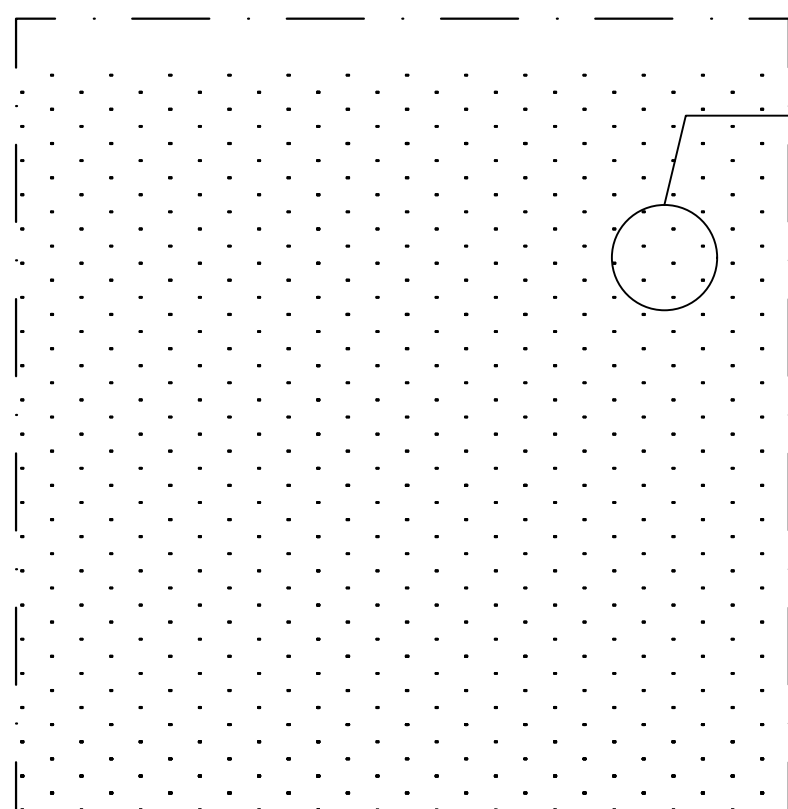
21

JUMLAH

21

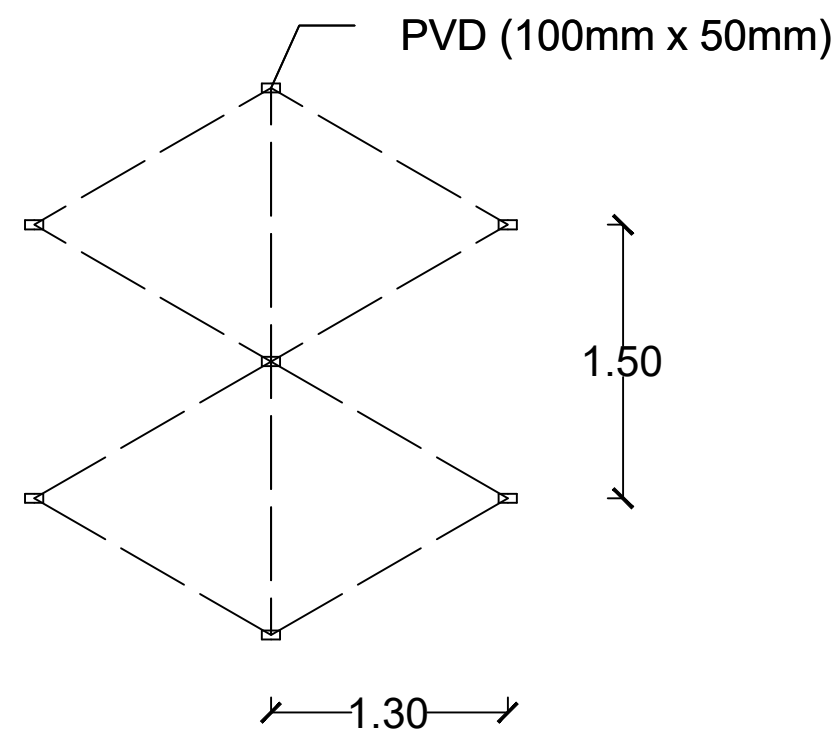


POTONGAN MEMANJANG STA 37+015 s.d STA 37+186



DETAIL A-A

DETAIL A-B



DETAIL A-B